

Program EVALPLOT
(Version 2015-2)

by

Dermott E. Cullen
(Present Contact Information)

Dermott E. Cullen
1466 Hudson Way
Livermore, CA 94550
U.S.A.

Tele: 925-443-1911

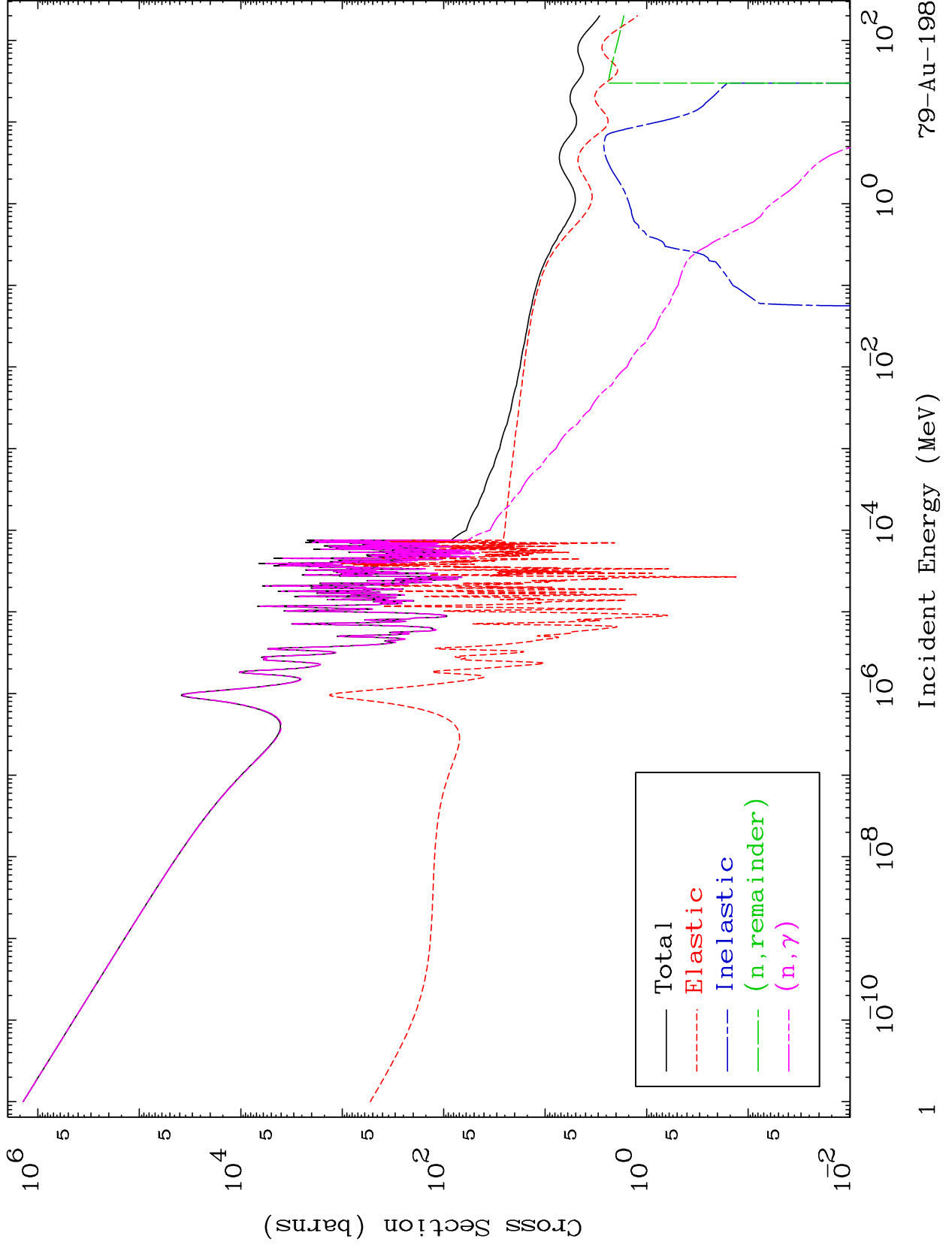
E.Mail:redcullen1@comcast.net
Web:home.comcast.net/~redcullen1

Press Mouse Button to Start

MAT 7928

Major
293 Kelvin Cross Sections

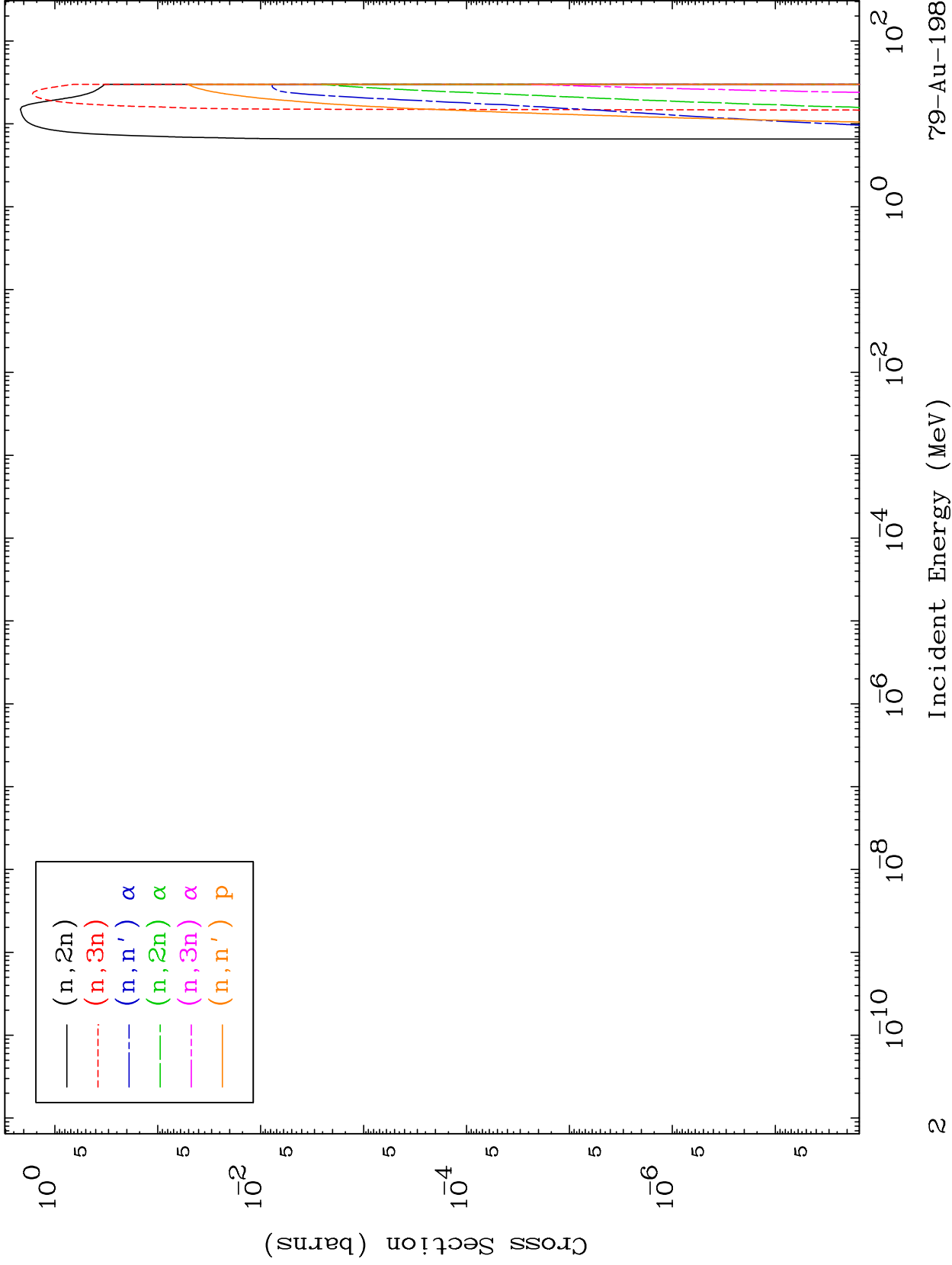
79-Au-198

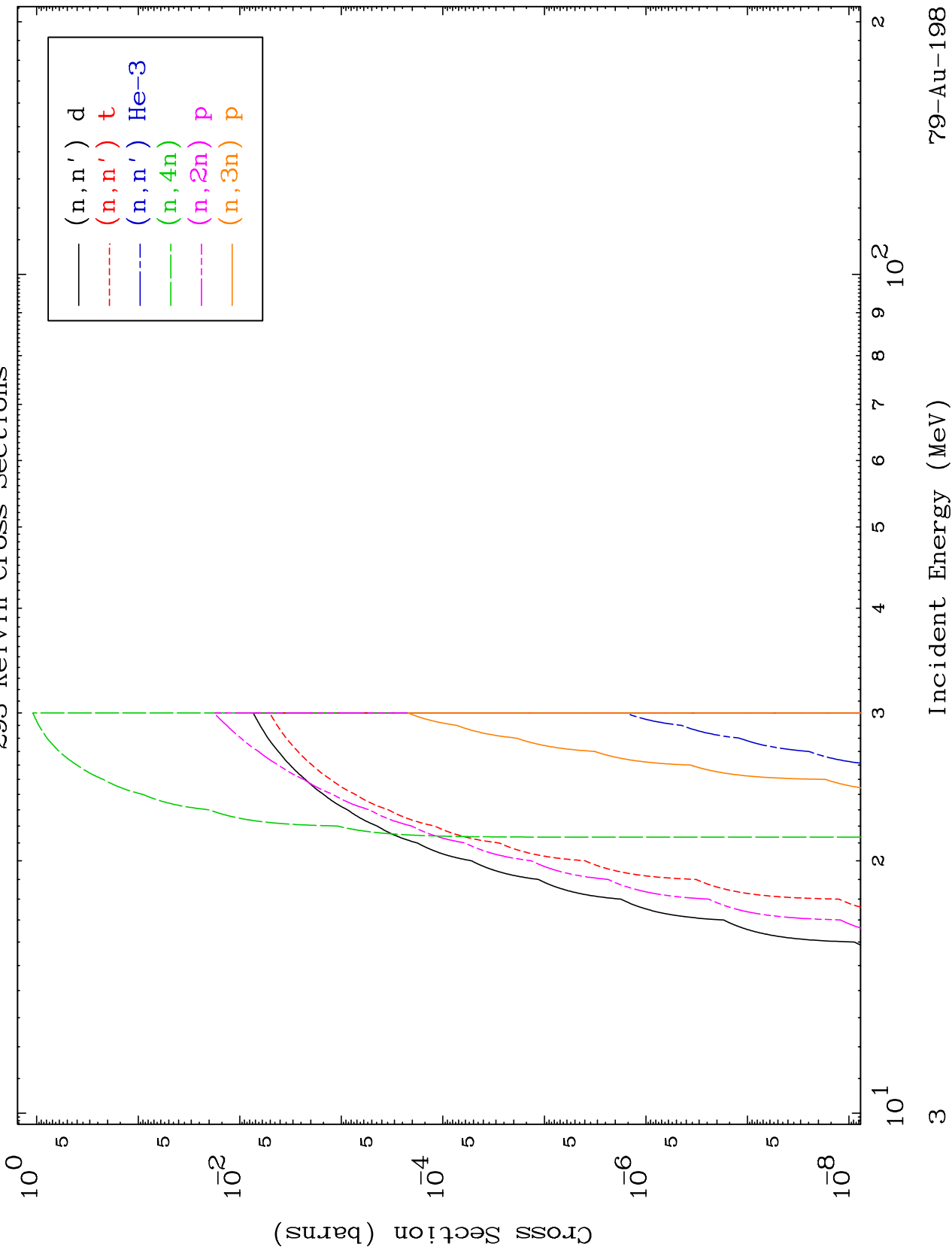


MAT 7928

Neutron Production
293 Kelvin Cross Sections

79-Au-198

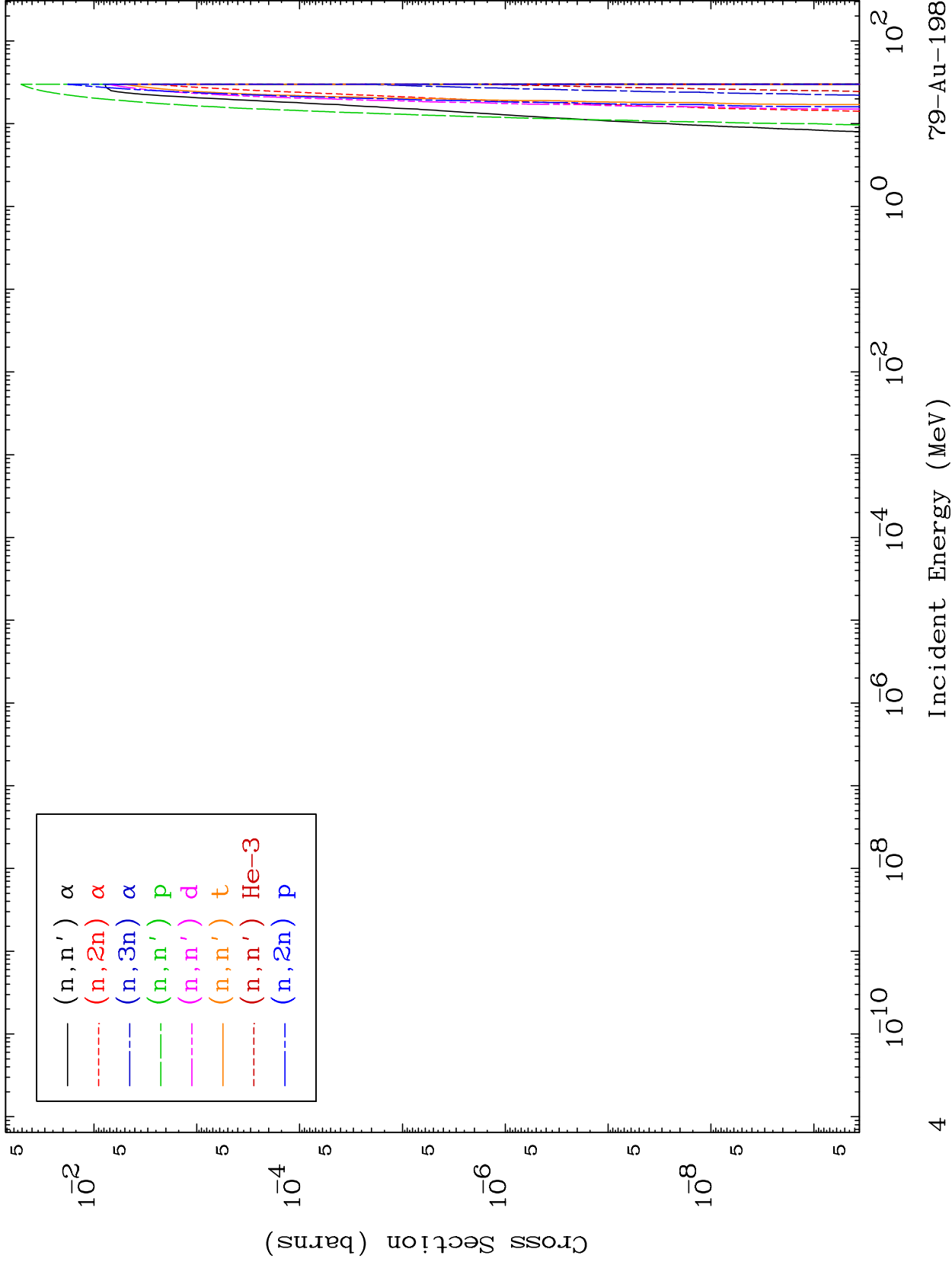




MAT 7928

Charged Particle
293 Kelvin Cross Sections

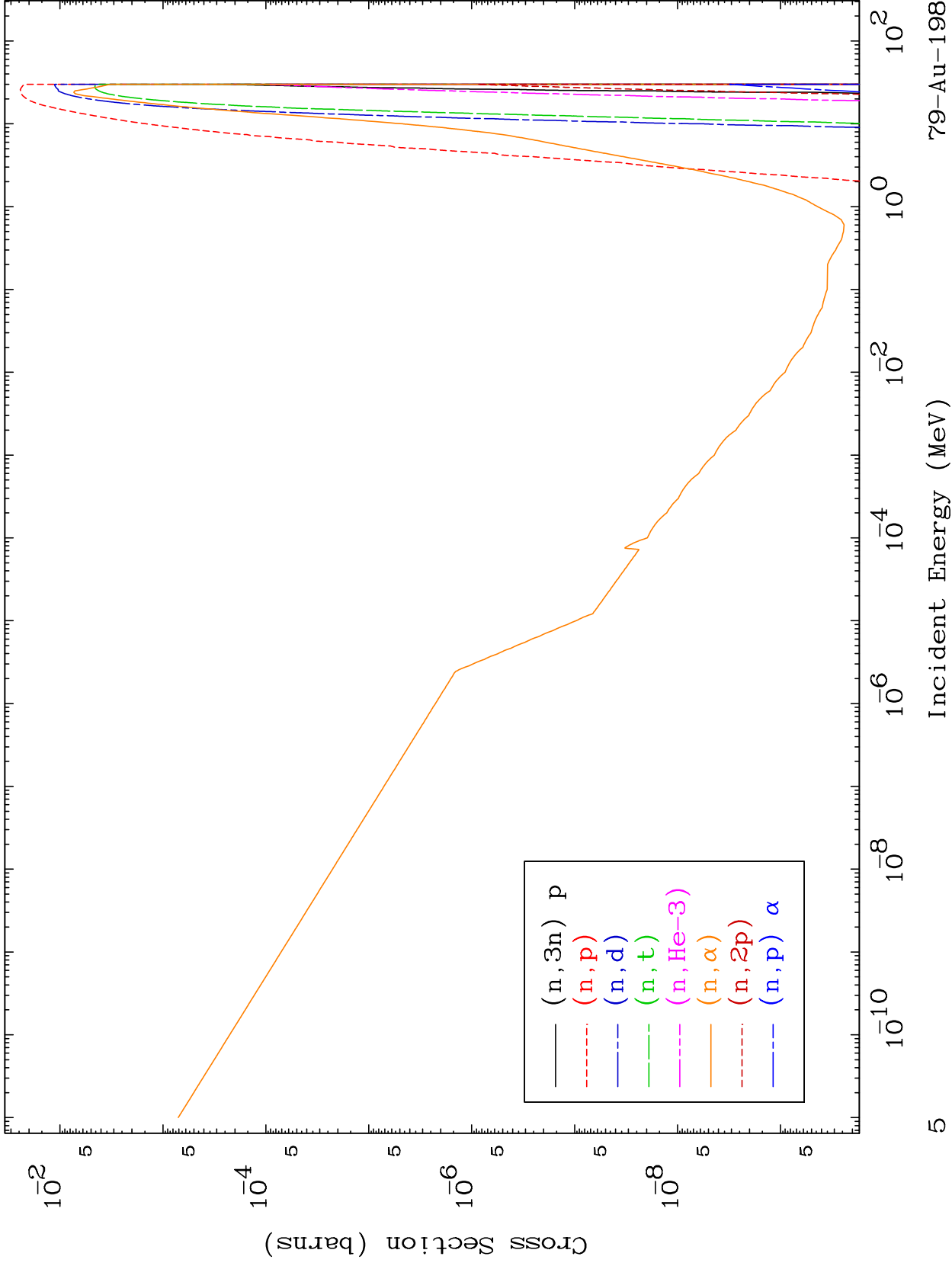
79-Au-198

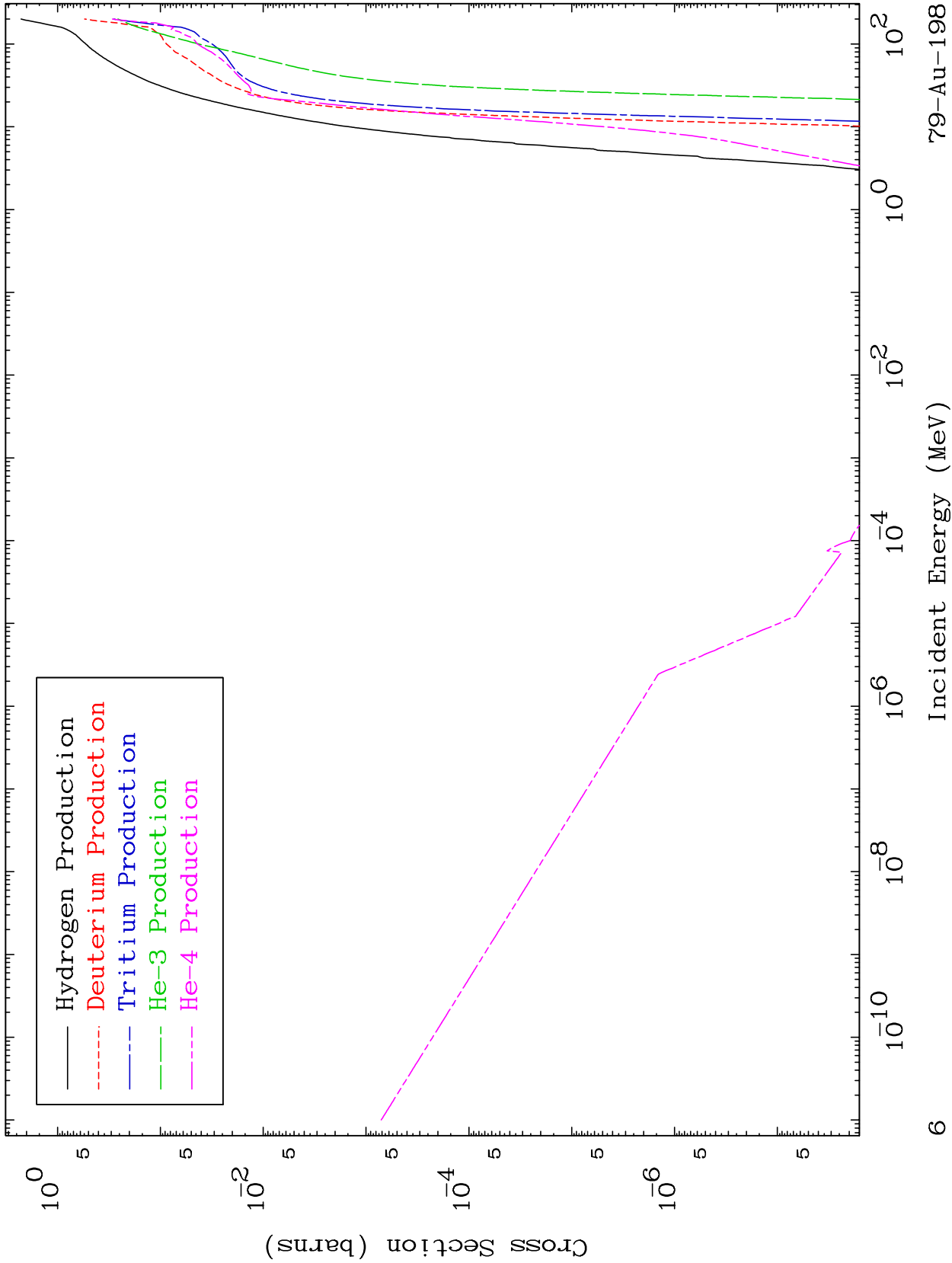


MAT 7928

Charged Particle
293 Kelvin Cross Sections

79-Au-198

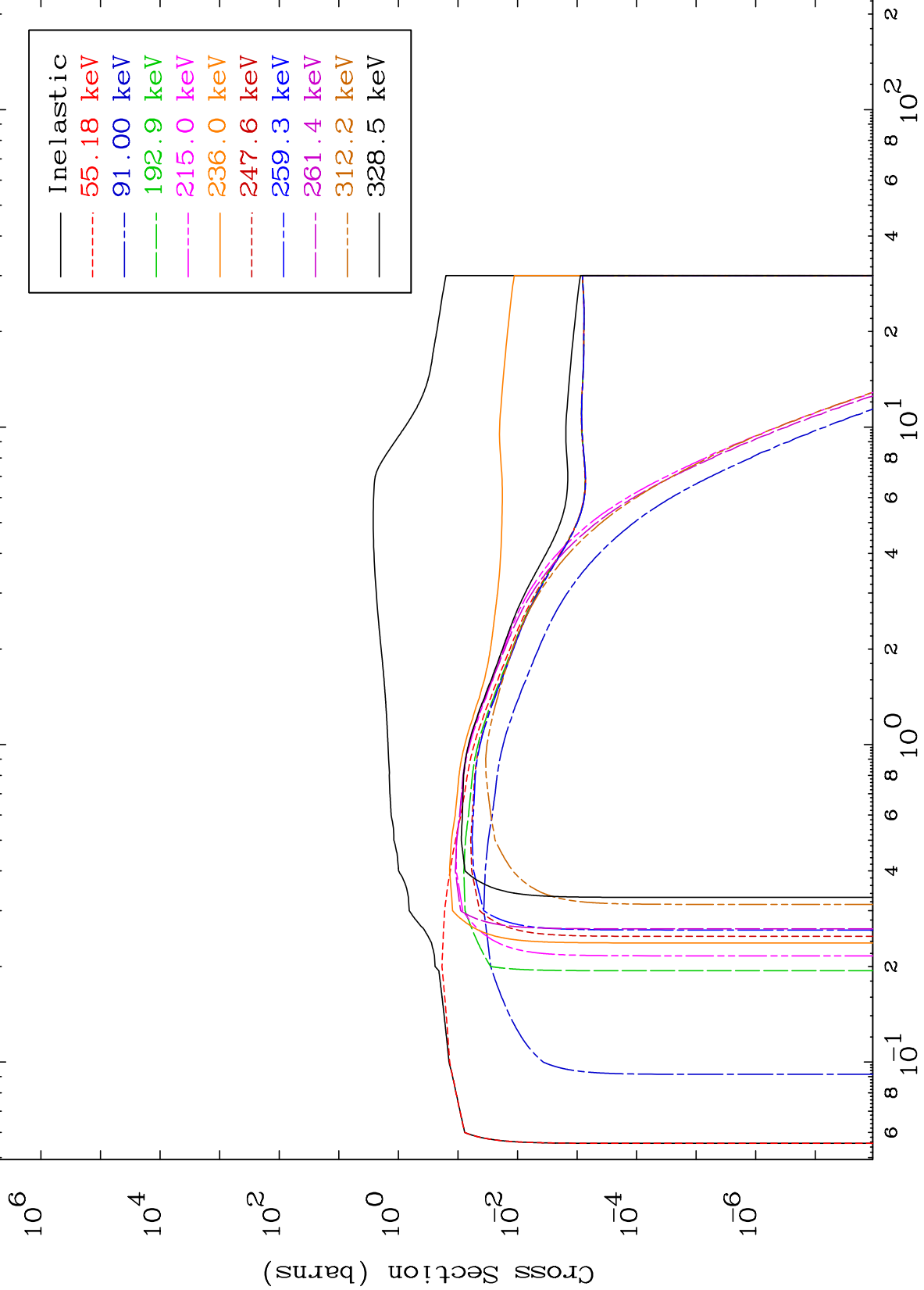




MAT 7928

(n,n') Level
293 Kelvin Cross Sections

79-Au-198



7

Incident Energy (MeV)

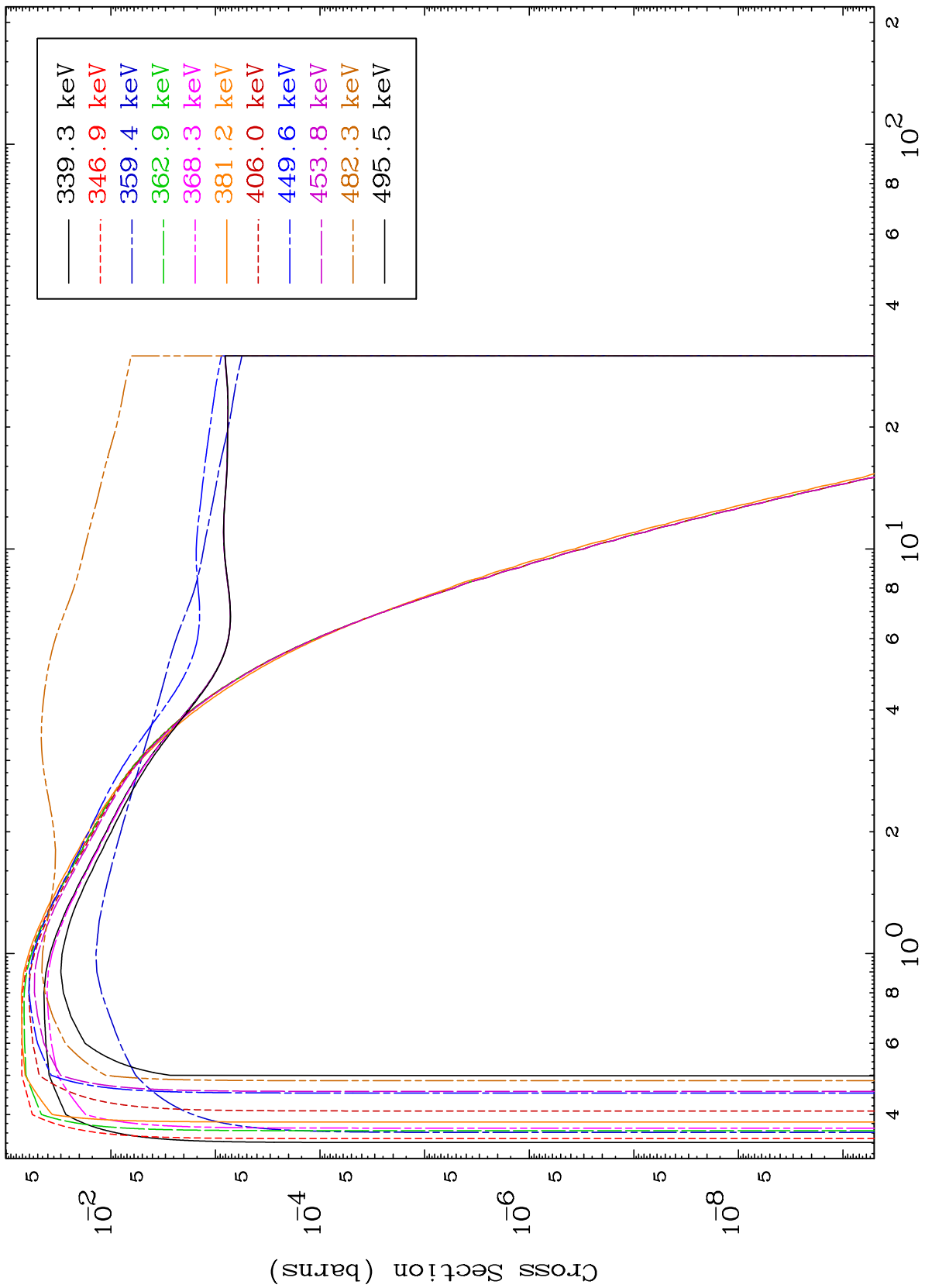
79-Au-198

MAT 7928

(n,n') Level

79-Au-198

293 Kelvin Cross Sections



Incident Energy (MeV)

79-Au-198

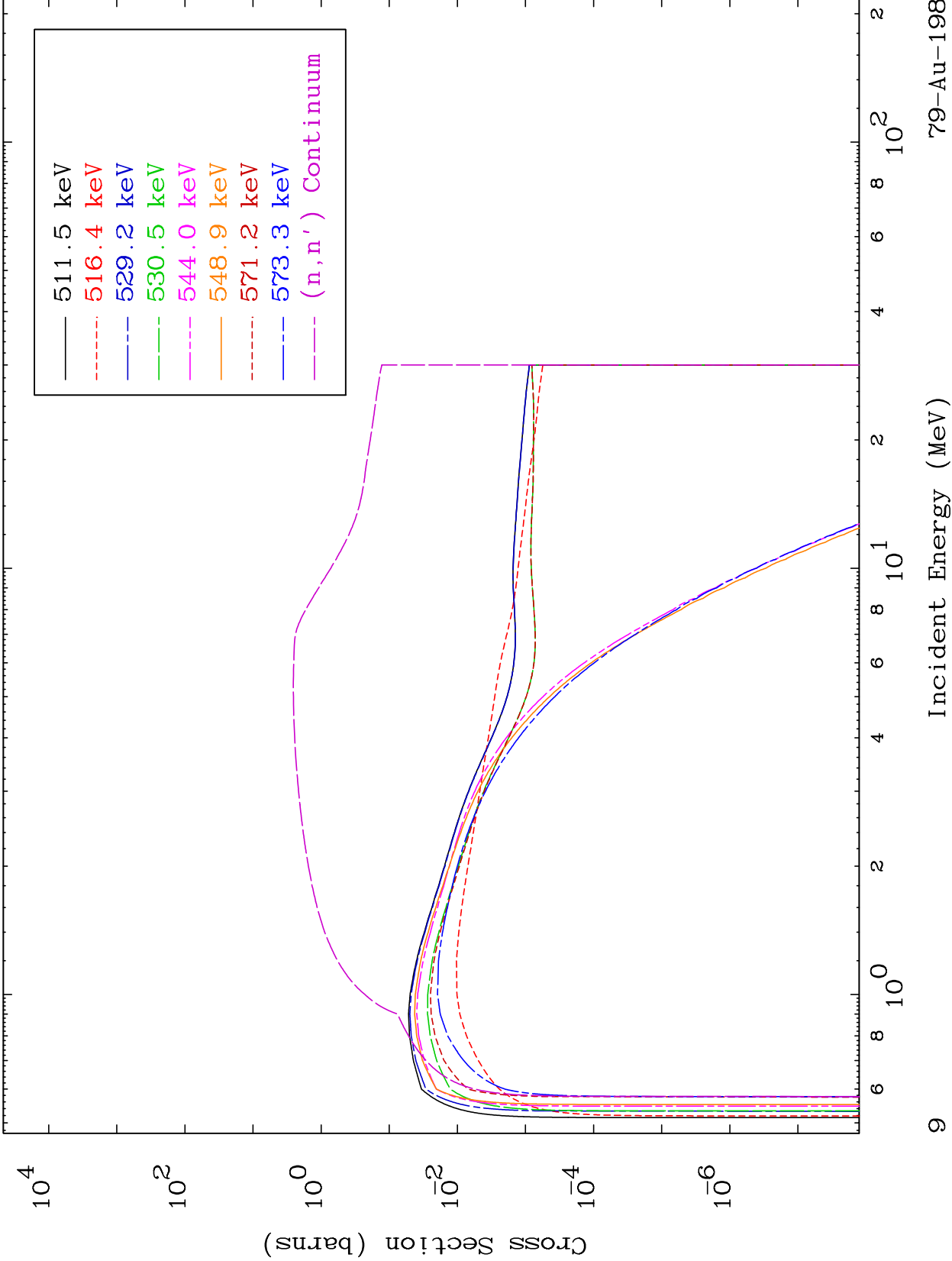
8

MAT 7928

(n,n') Level

79-Au-198

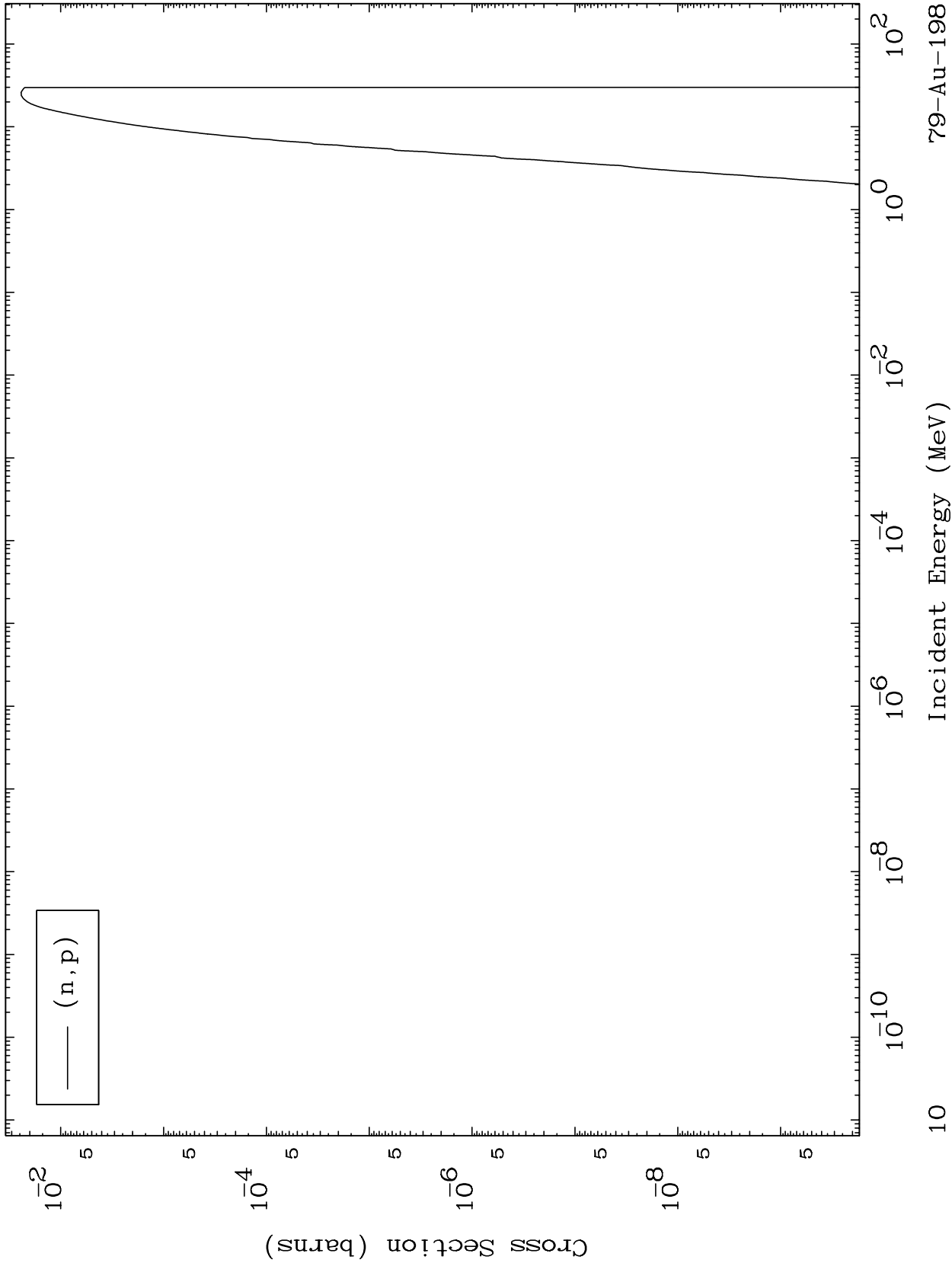
293 Kelvin Cross Sections



MAT 7928

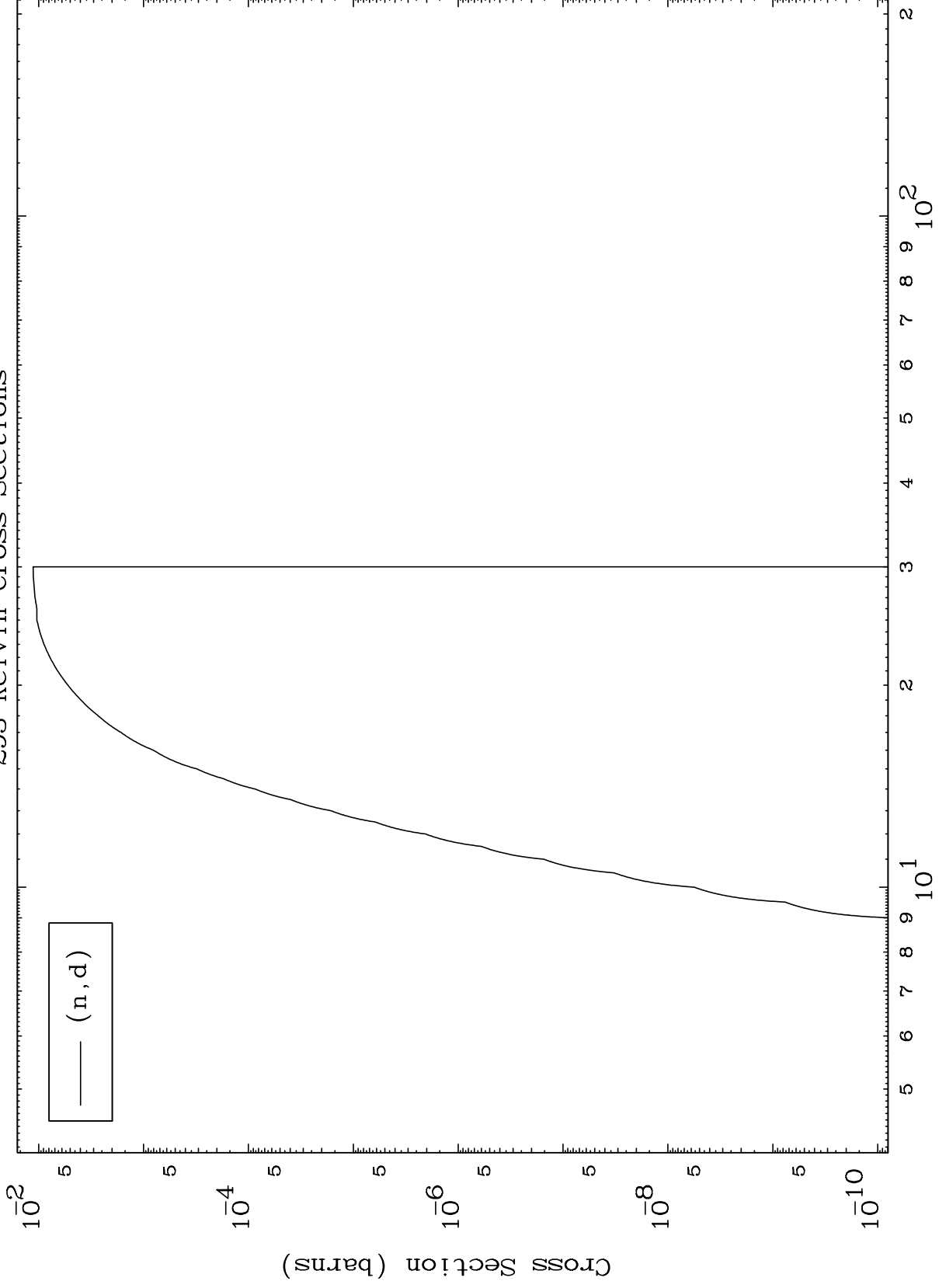
(n,p) Levels
293 Kelvin Cross Sections

79-Au-198



10

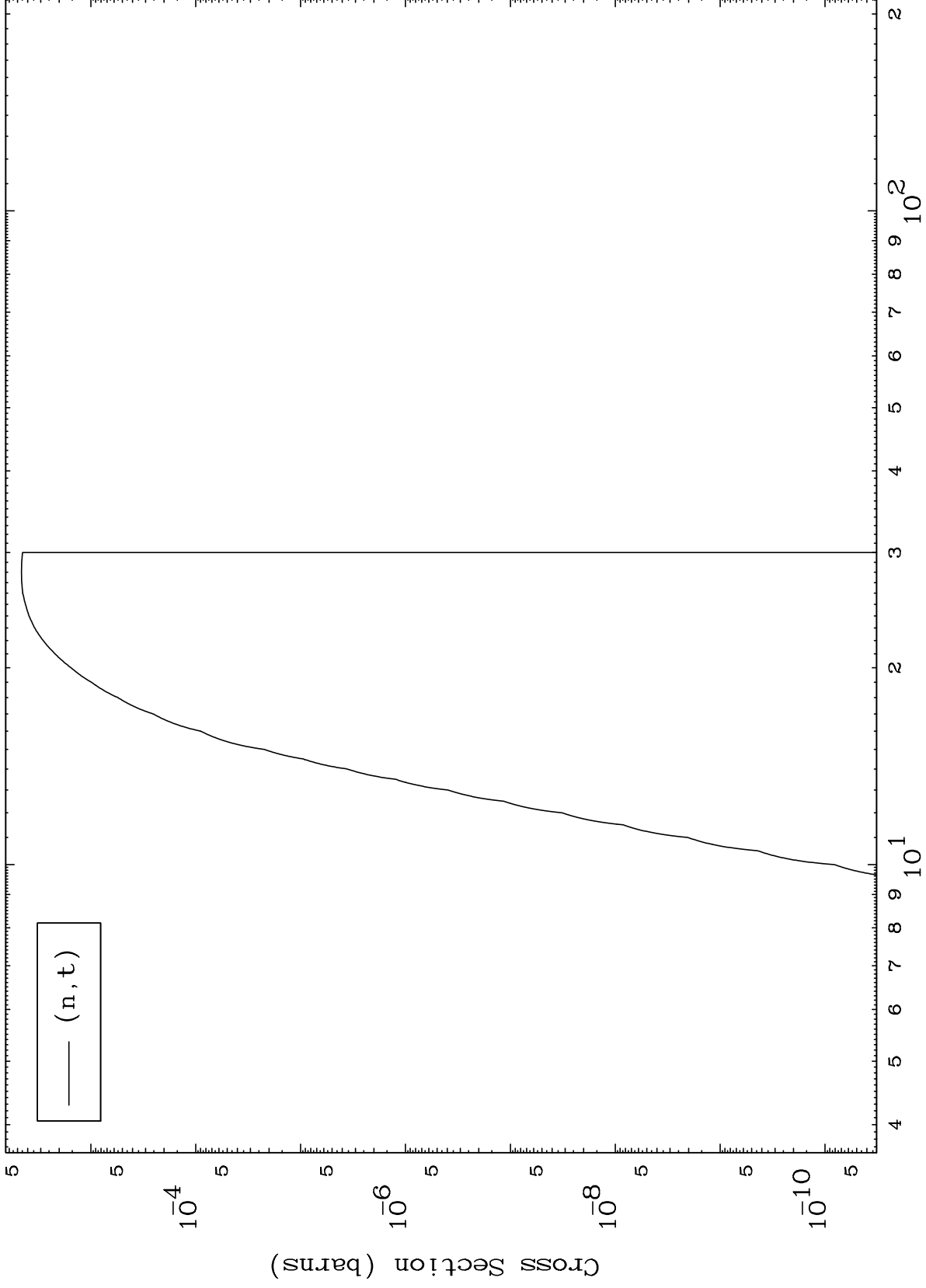
79-Au-198



MAT 7928

(n,t) Levels
293 Kelvin Cross Sections

79-Au-198



12

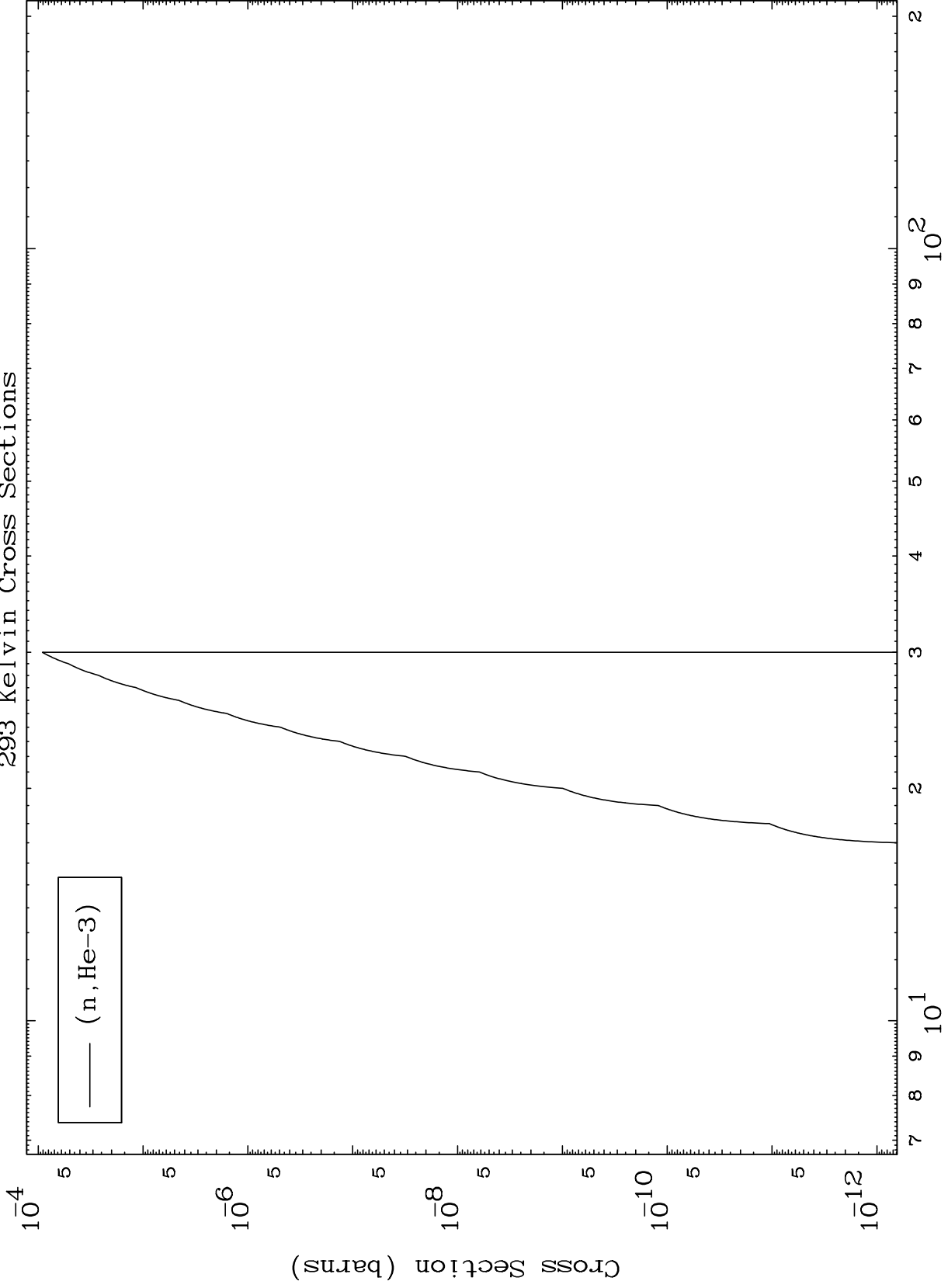
Incident Energy (MeV)

79-Au-198

MAT 7928

(n,He3) Levels
293 Kelvin Cross Sections

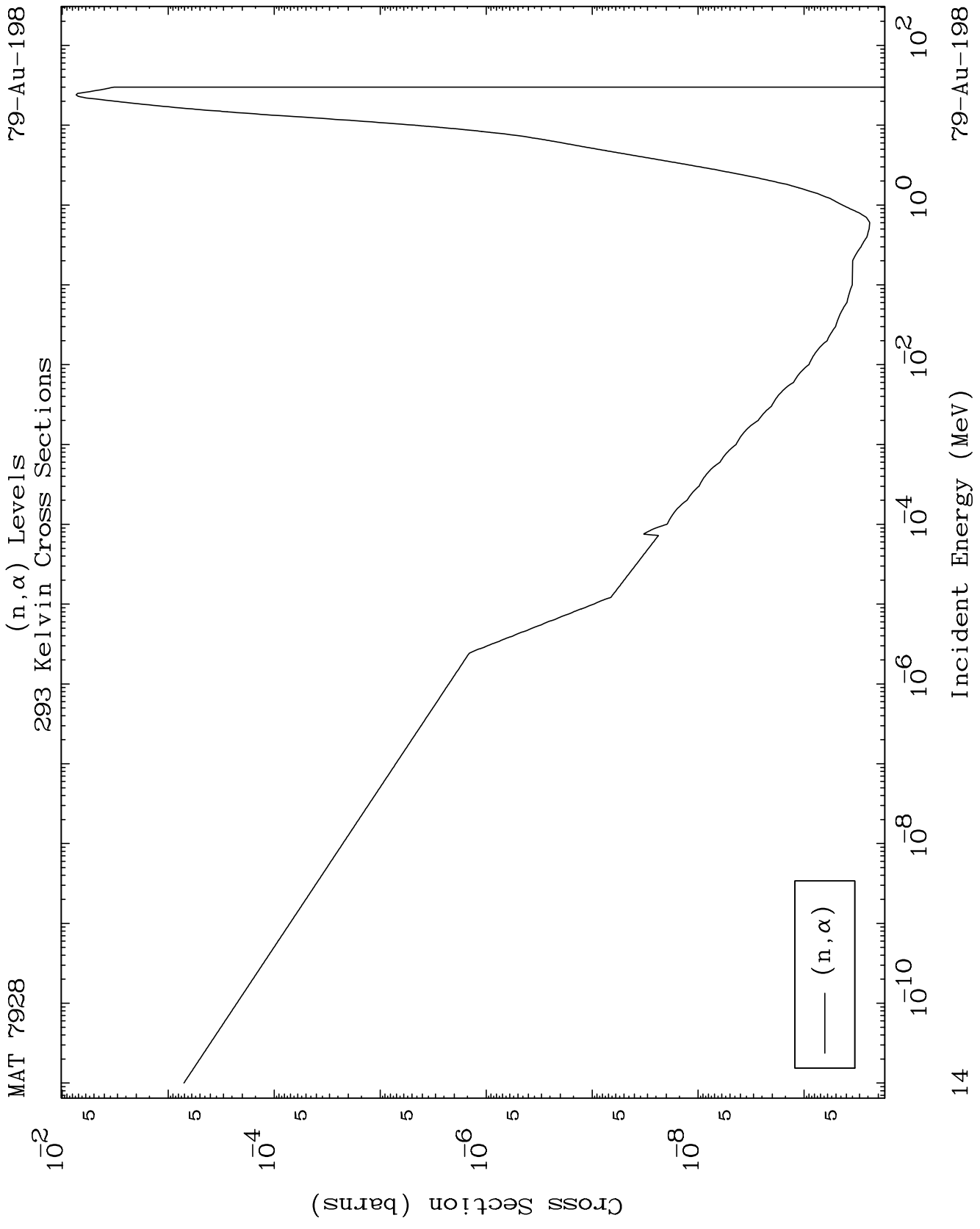
79-Au-198

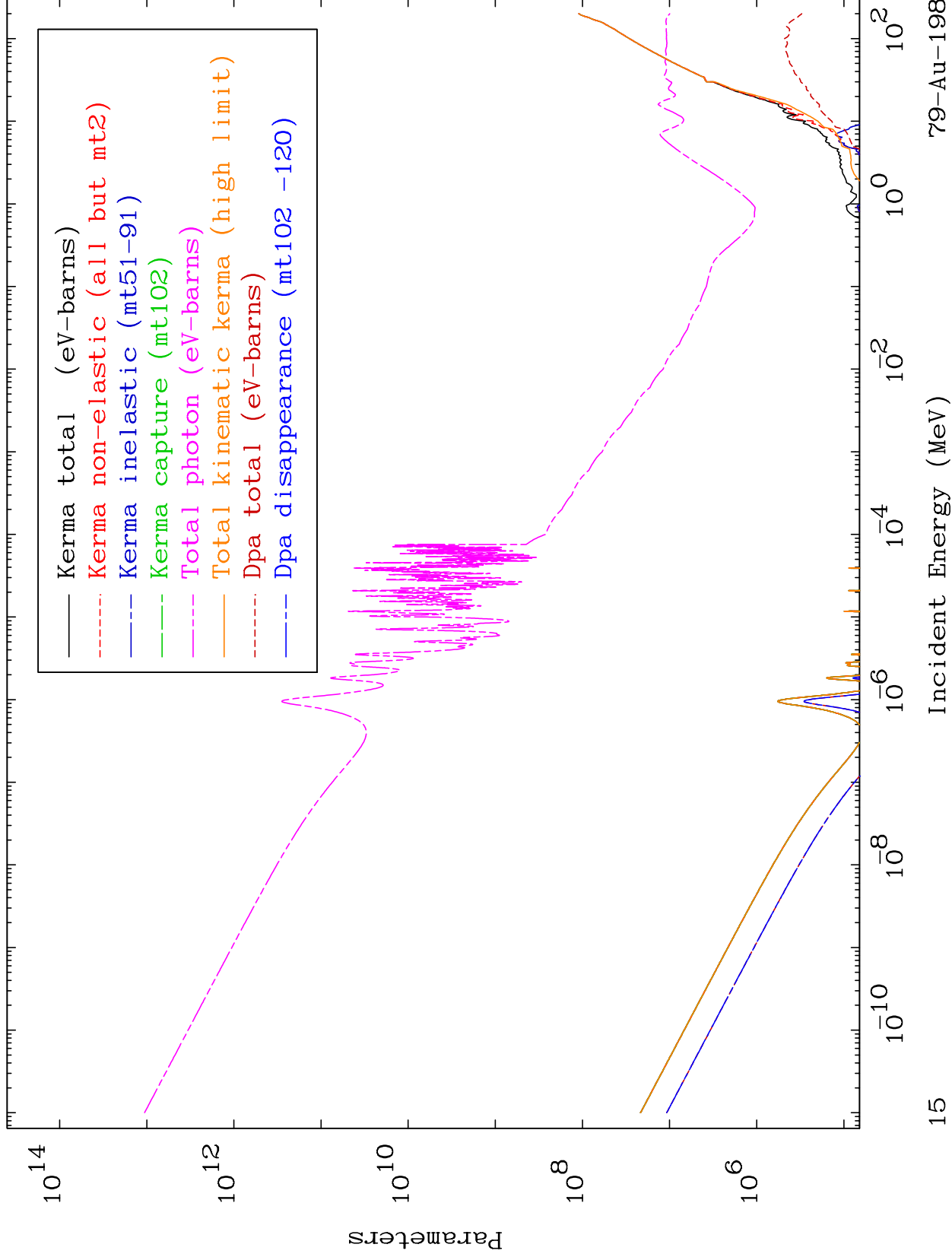


13

Incident Energy (MeV)

79-Au-198

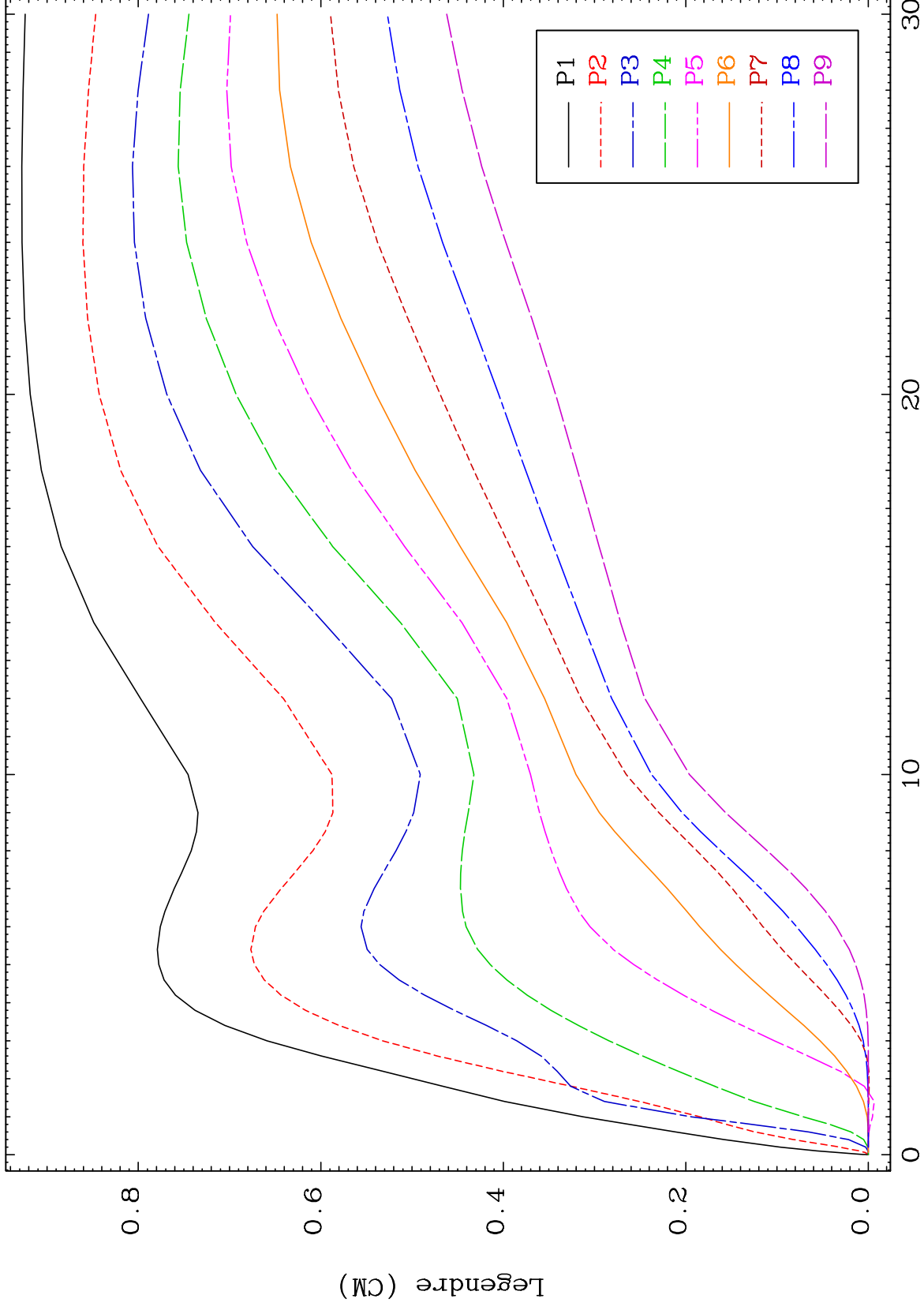




MAT 7928

79-Au-198

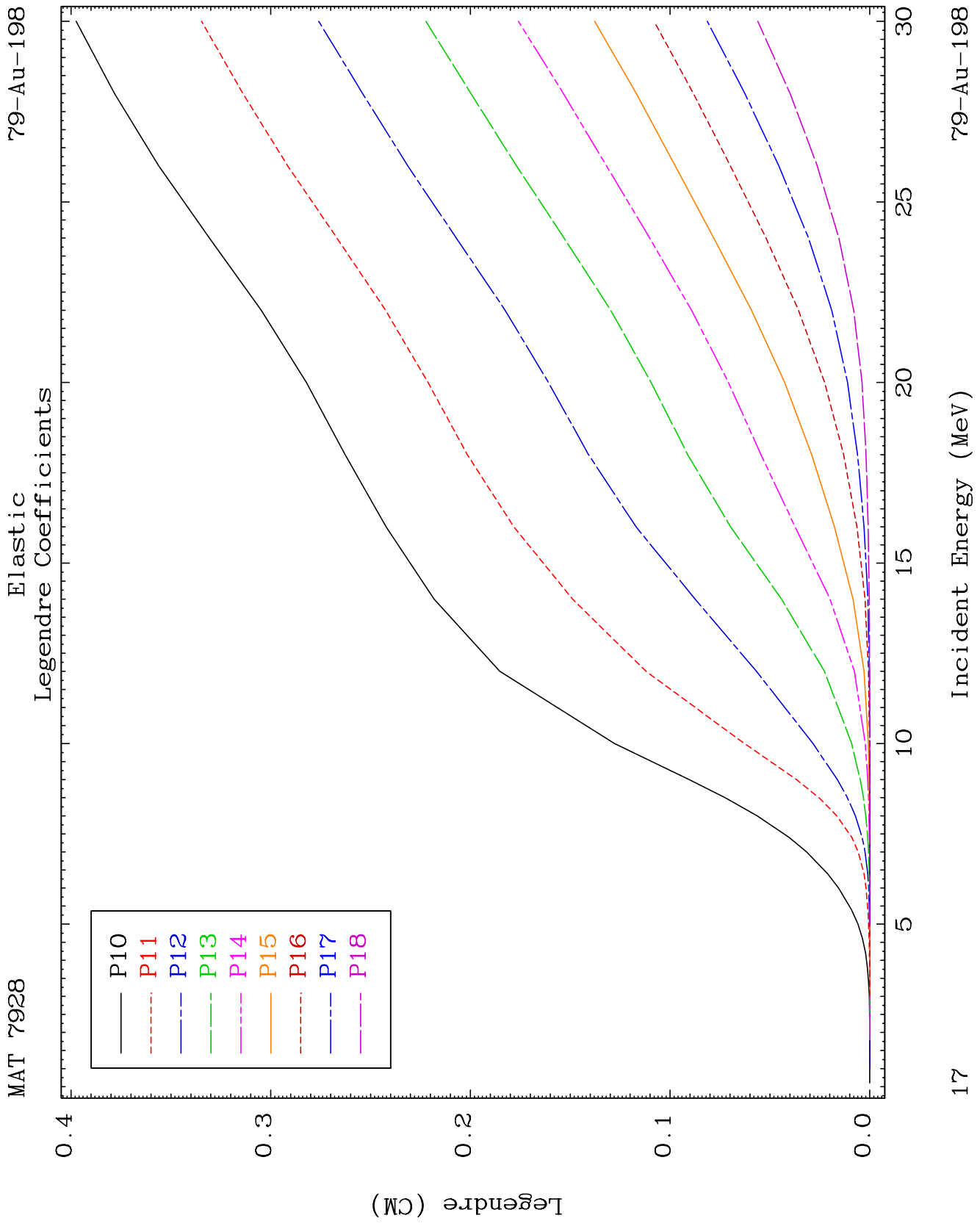
Elastic Legendre Coefficients



16

Incident Energy (MeV)

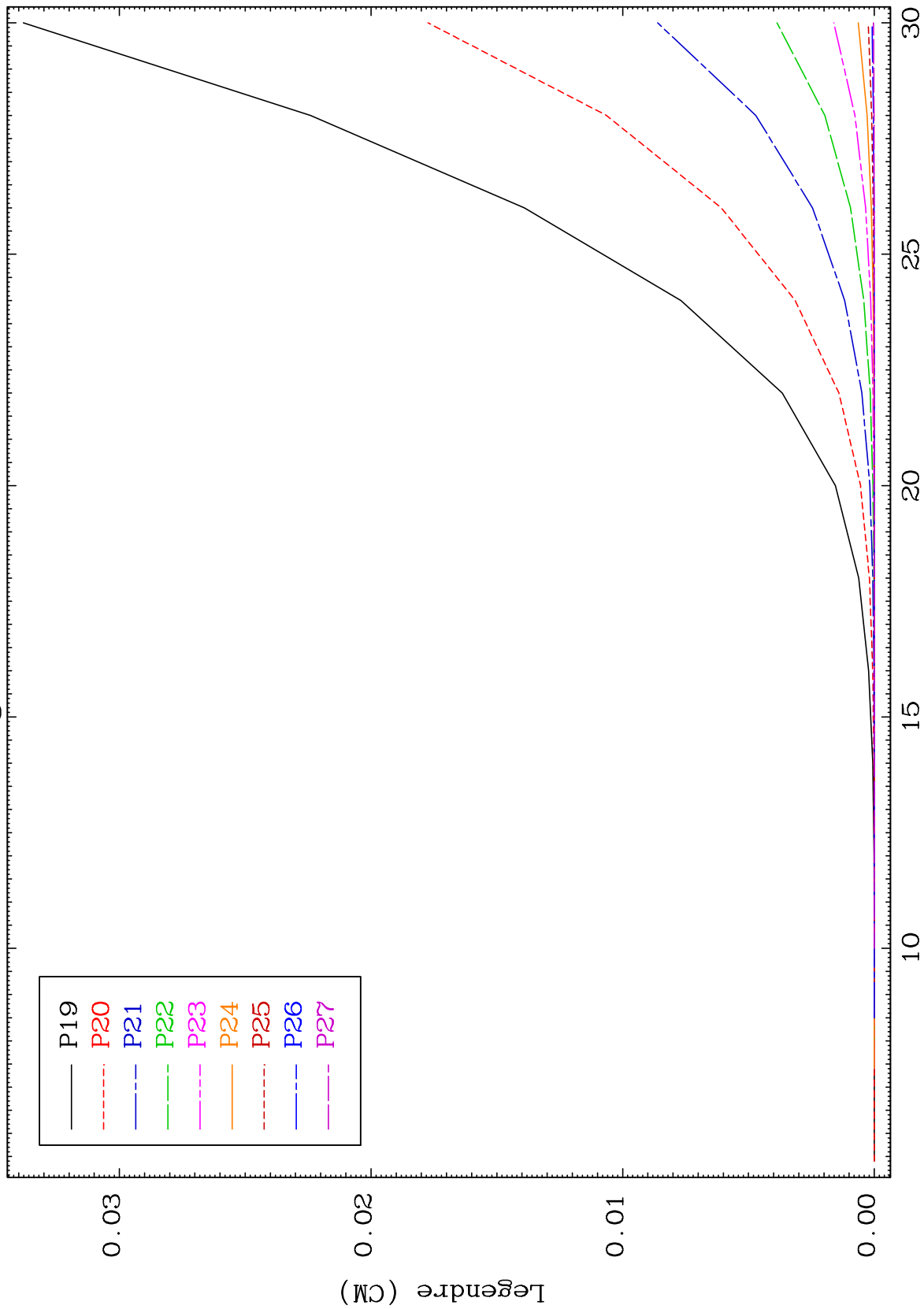
79-Au-198



MAT 7928

Elastic Legendre Coefficients

79-Au-198



18

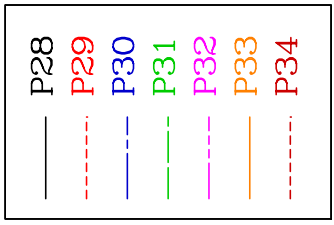
Incident Energy (MeV)

79-Au-198

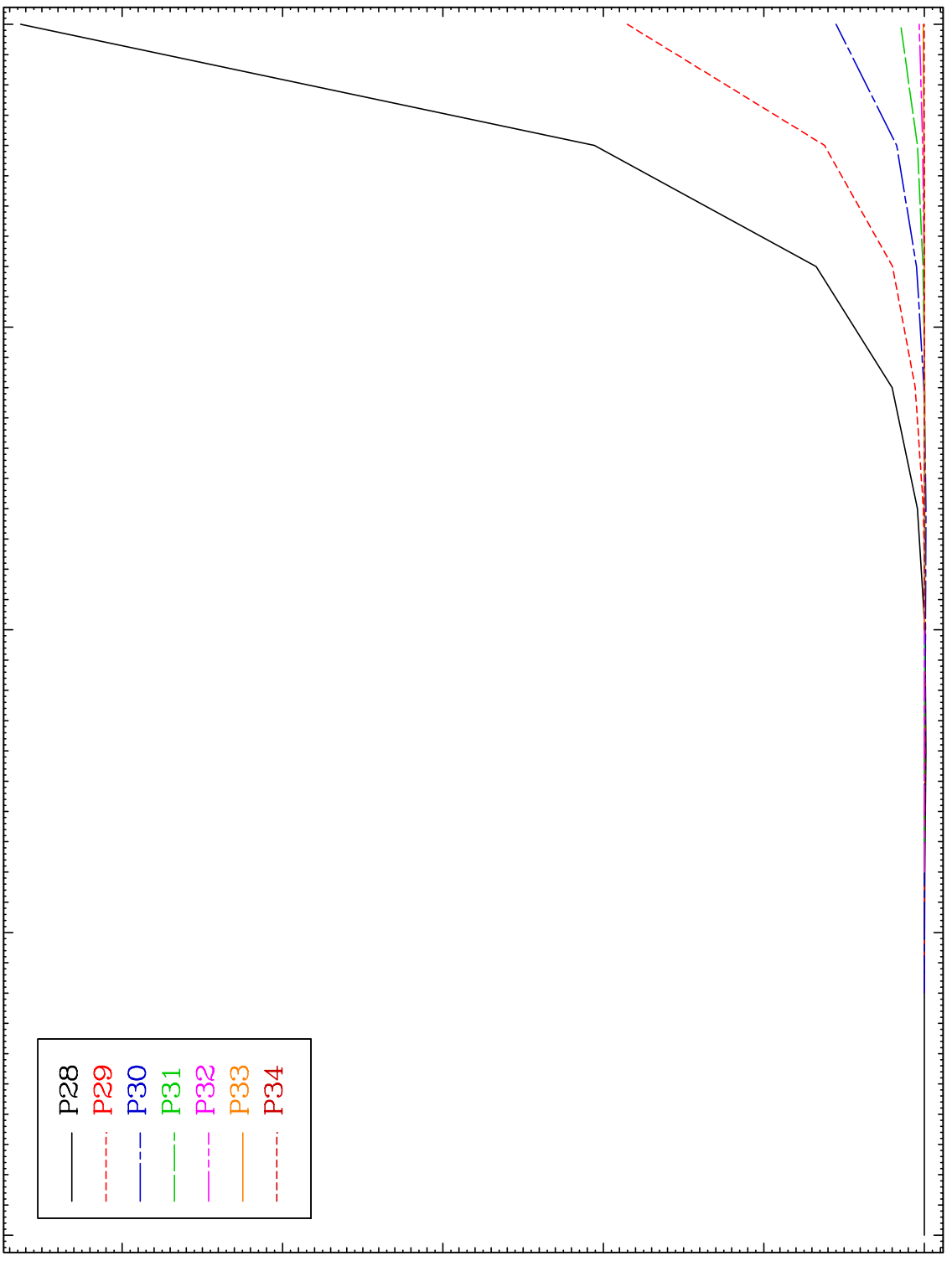
MAT 7928

Elastic Legendre Coefficients

79-Au-198



$\times 10^{-5}$
1.0
0.8
0.6
0.4
0.2
0.0



30

25

20

15

10

Incident Energy (MeV)

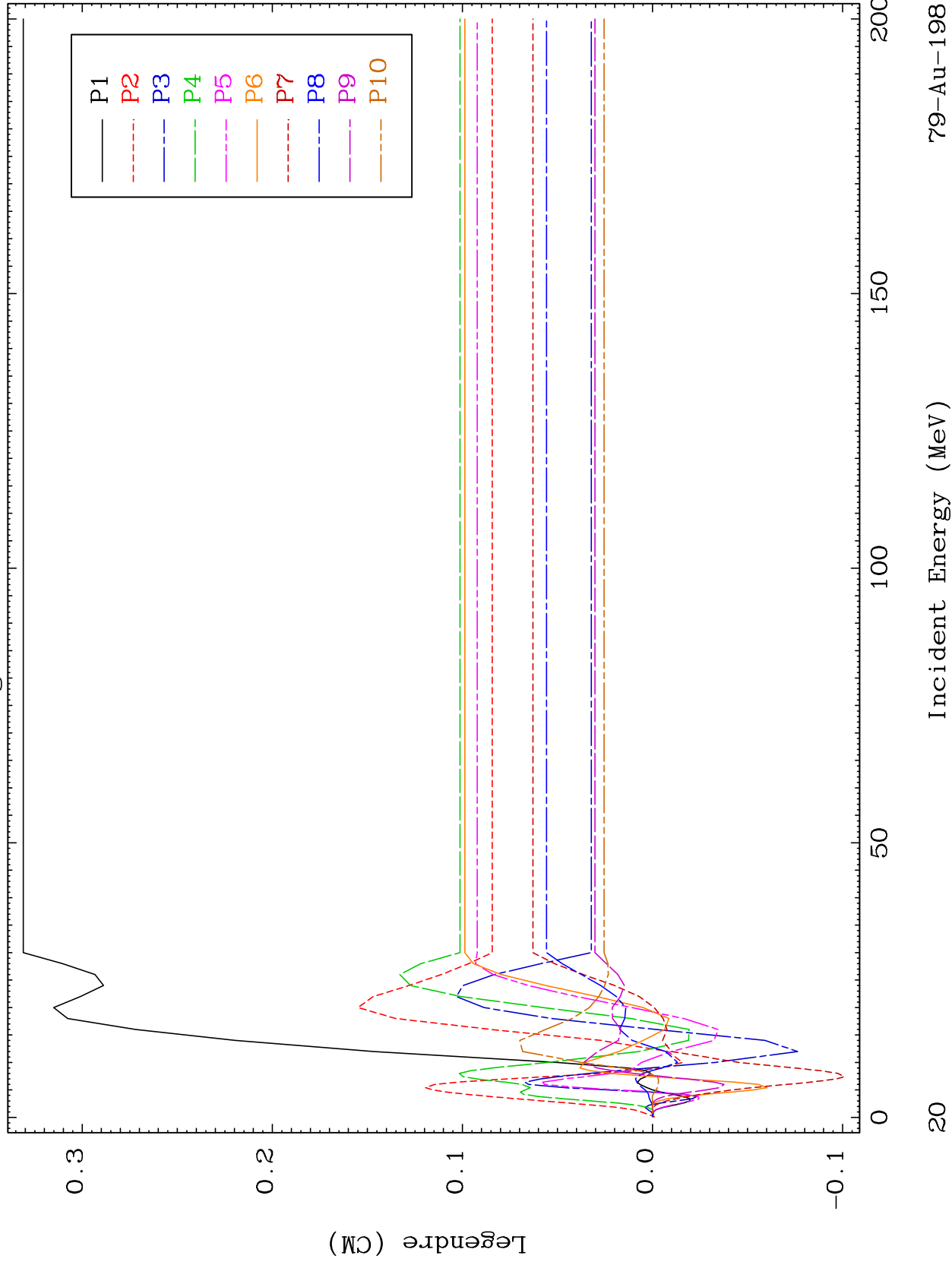
79-Au-198

19

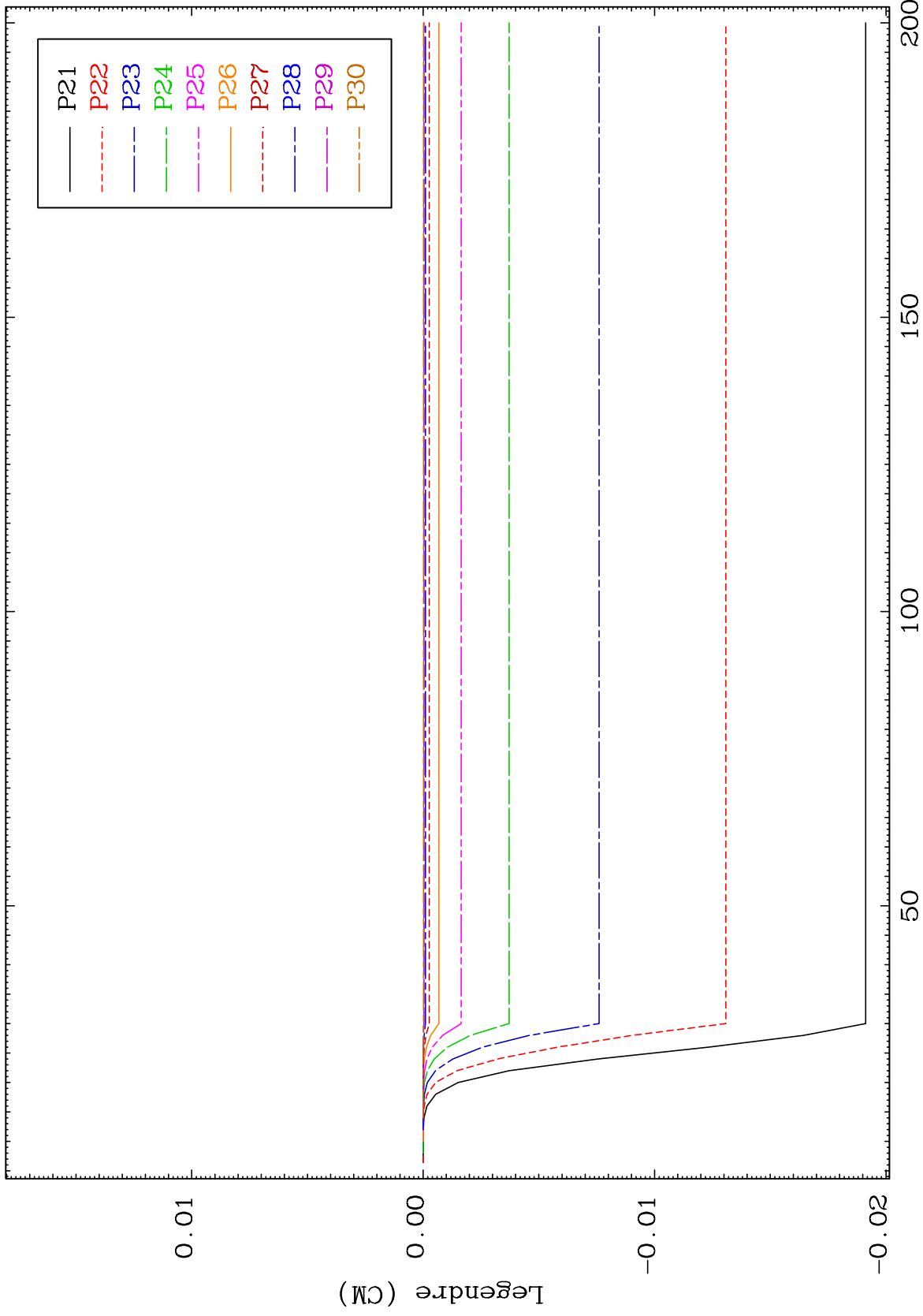
MAT 7928

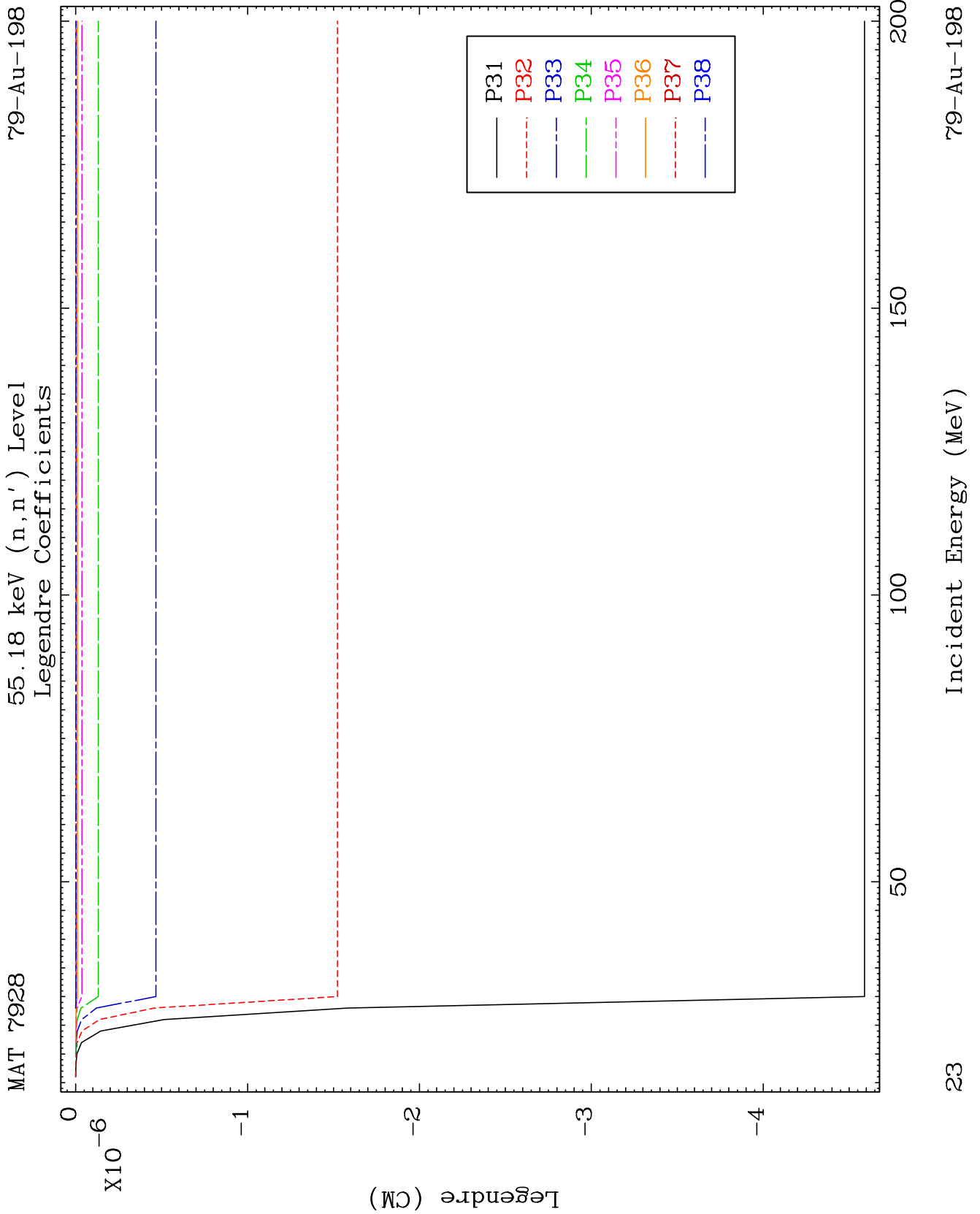
55.18 keV (n,n') Level
Legendre Coefficients

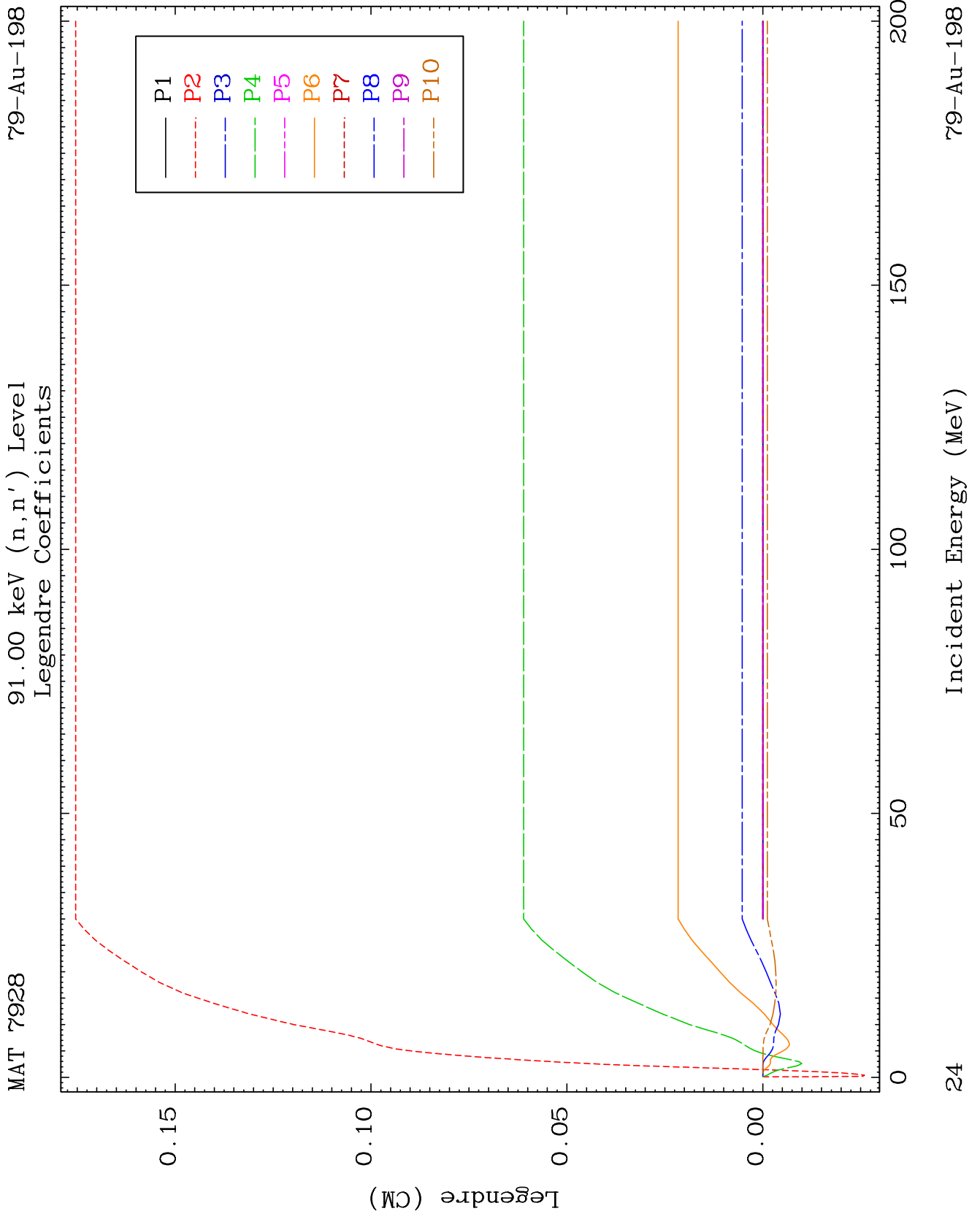
79-Au-198



79-Au-198



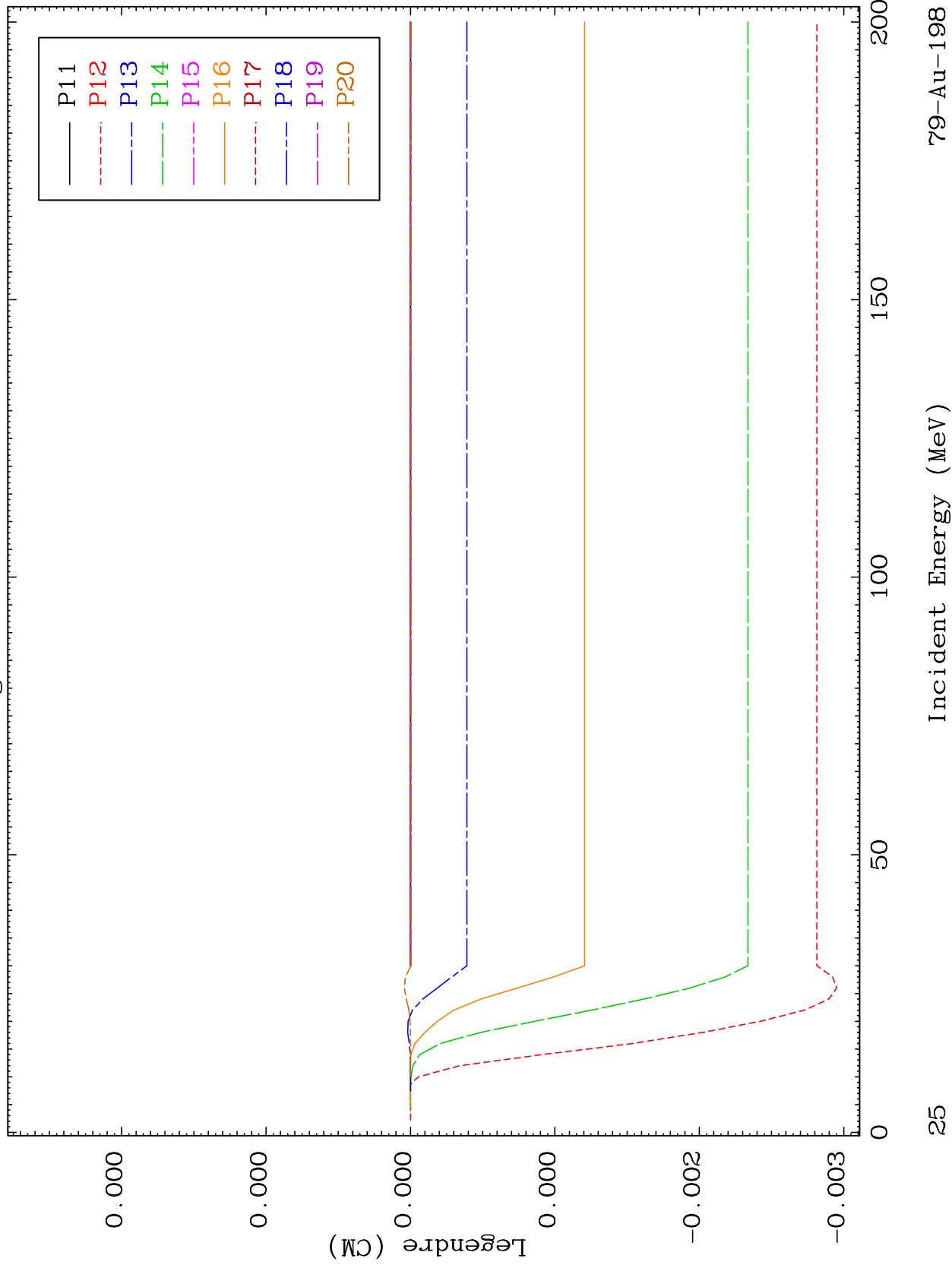




MAT 7928

91.00 keV (n,n') Level
Legendre Coefficients

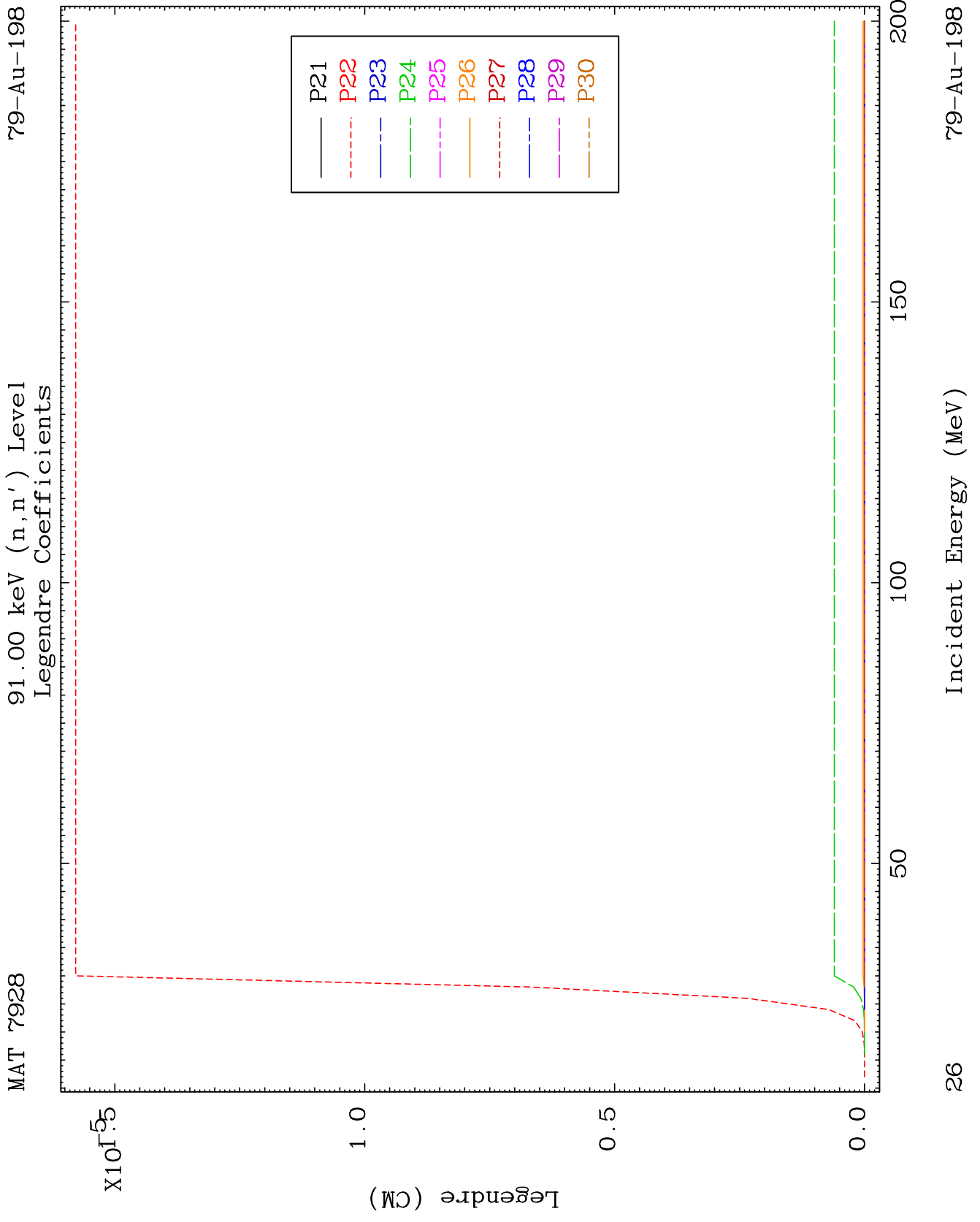
79-Au-198

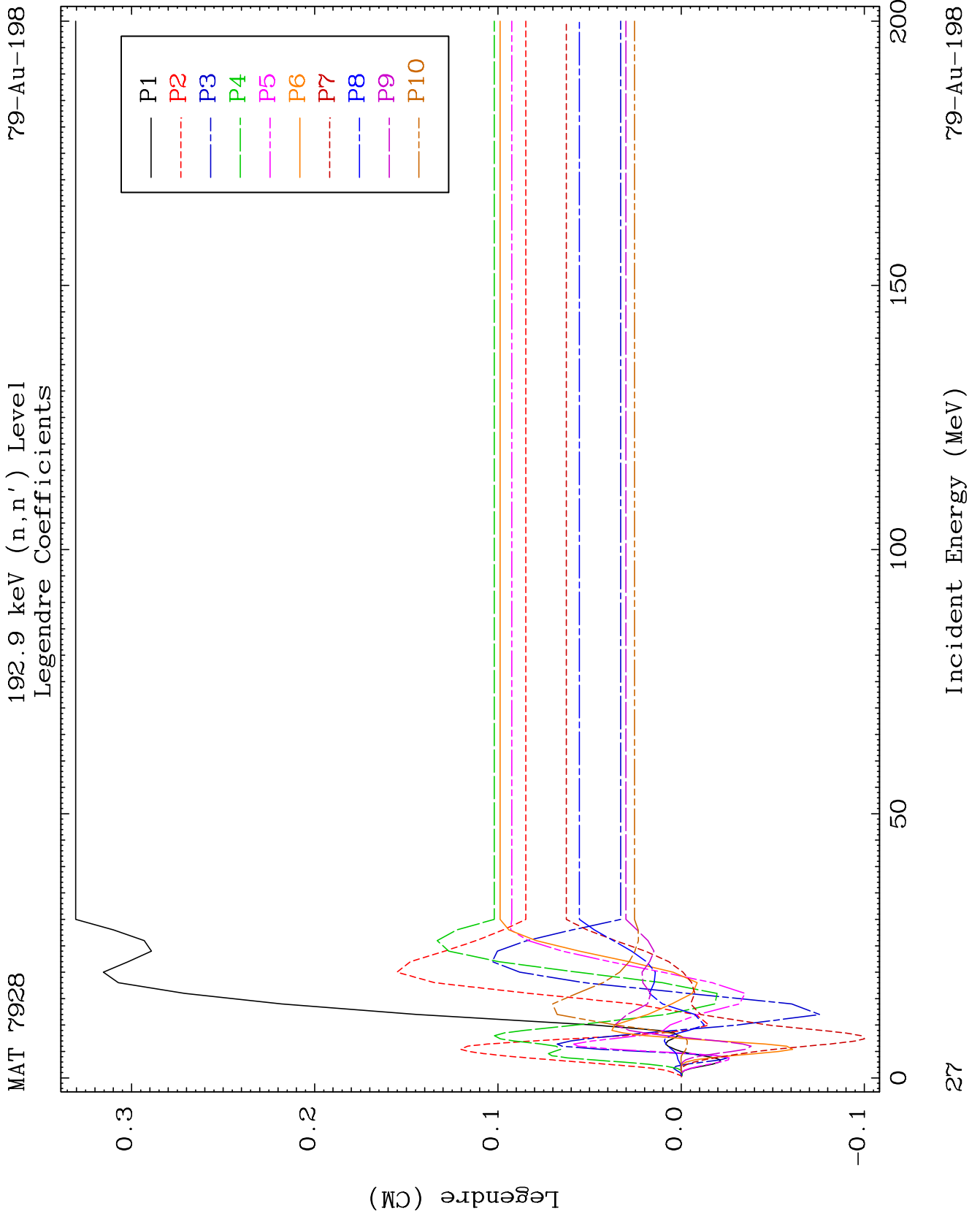


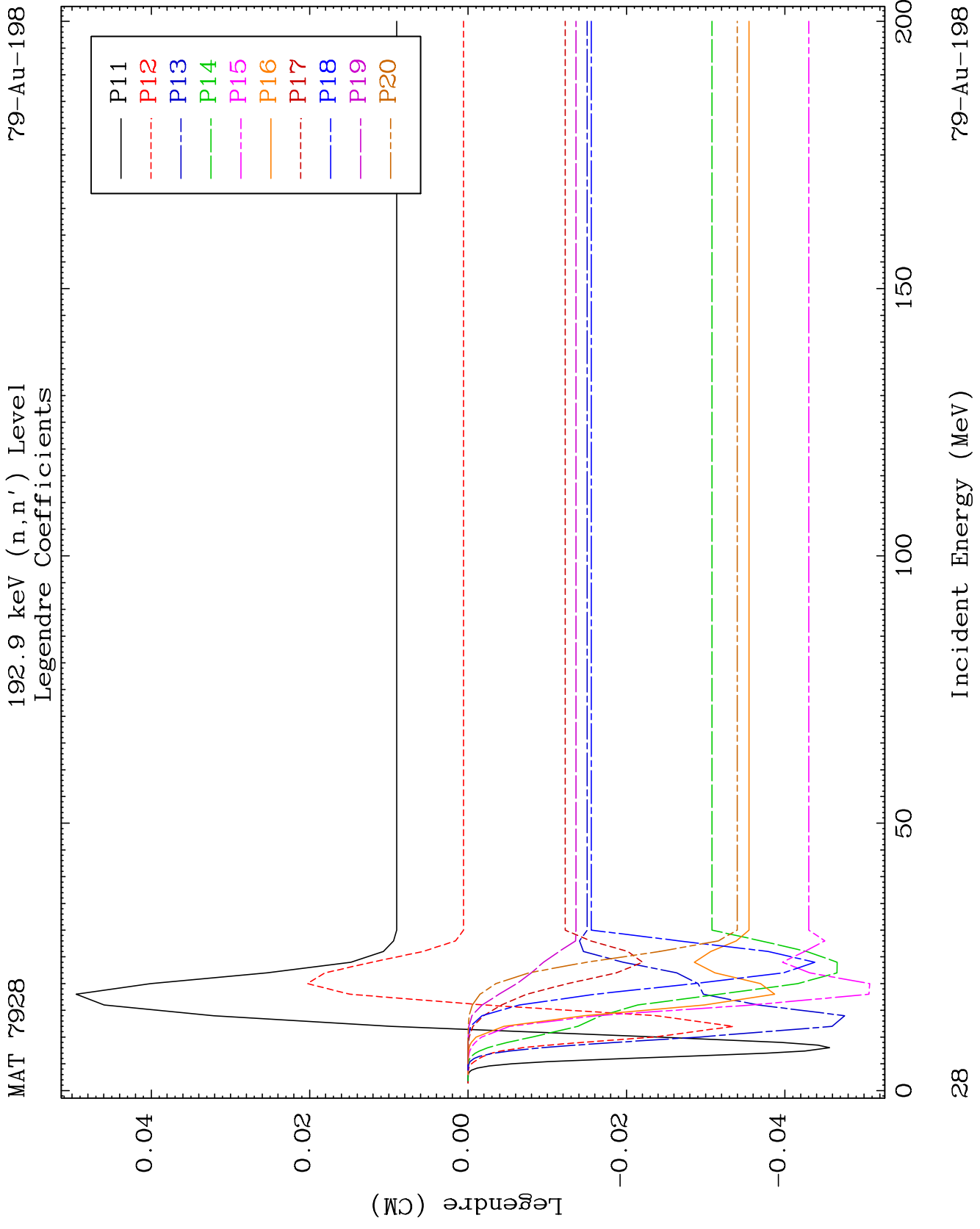
79-Au-198

Incident Energy (MeV)

25



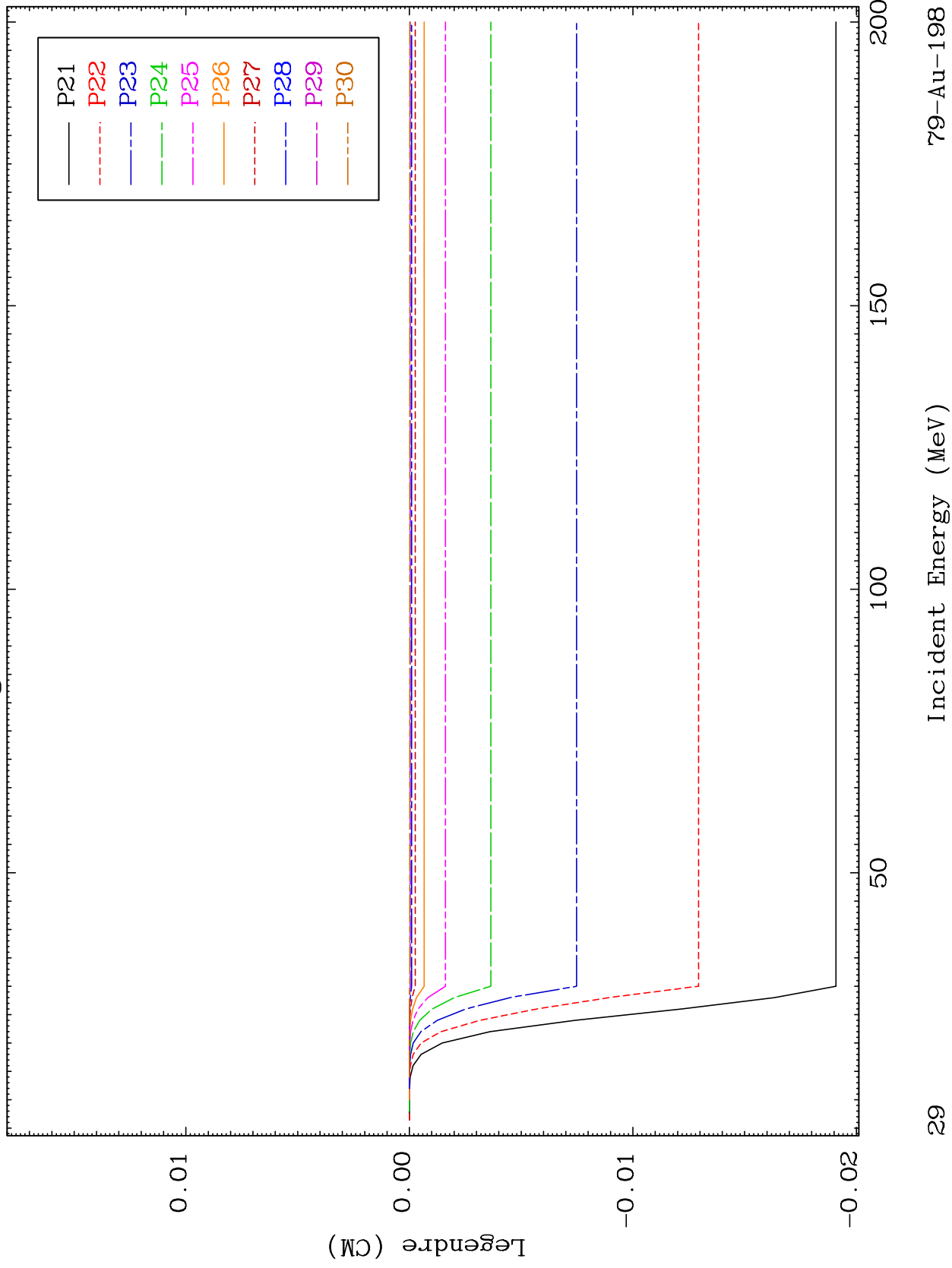




MAT 7928

192.9 keV (n,n') Level
Legendre Coefficients

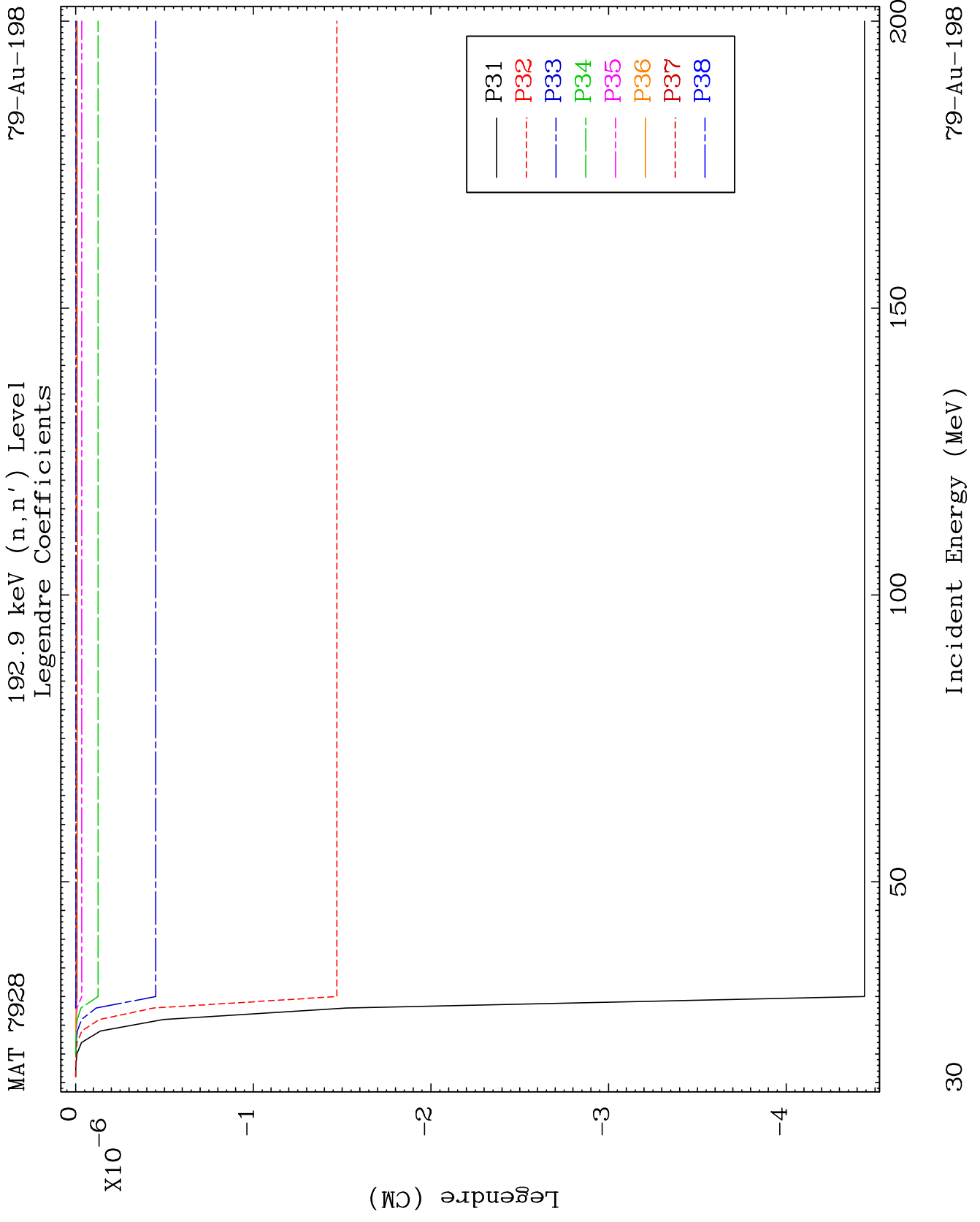
79-Au-198

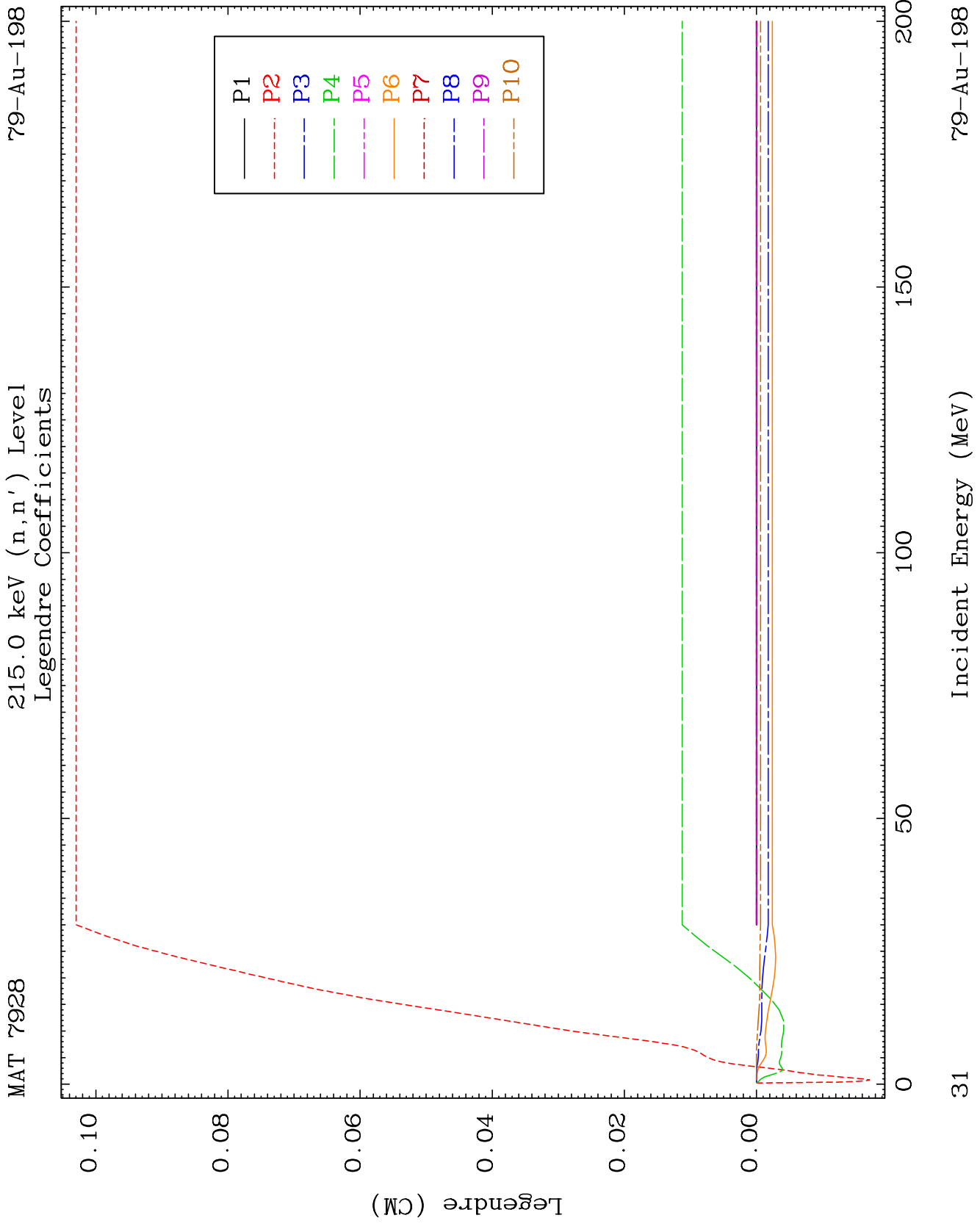


29

Incident Energy (MeV)

79-Au-198

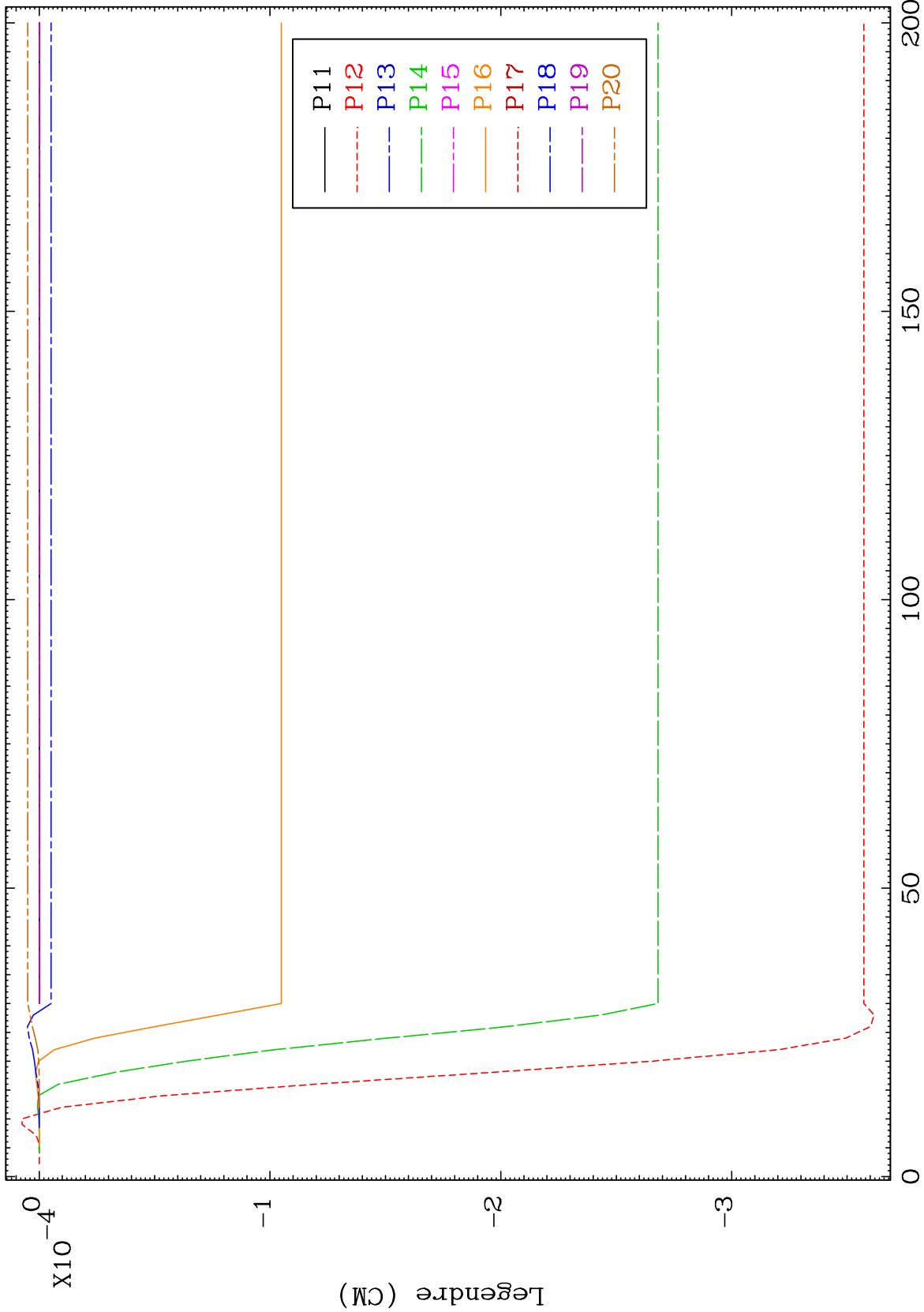




MAT 7928

215.0 keV (n,n') Level
Legendre Coefficients

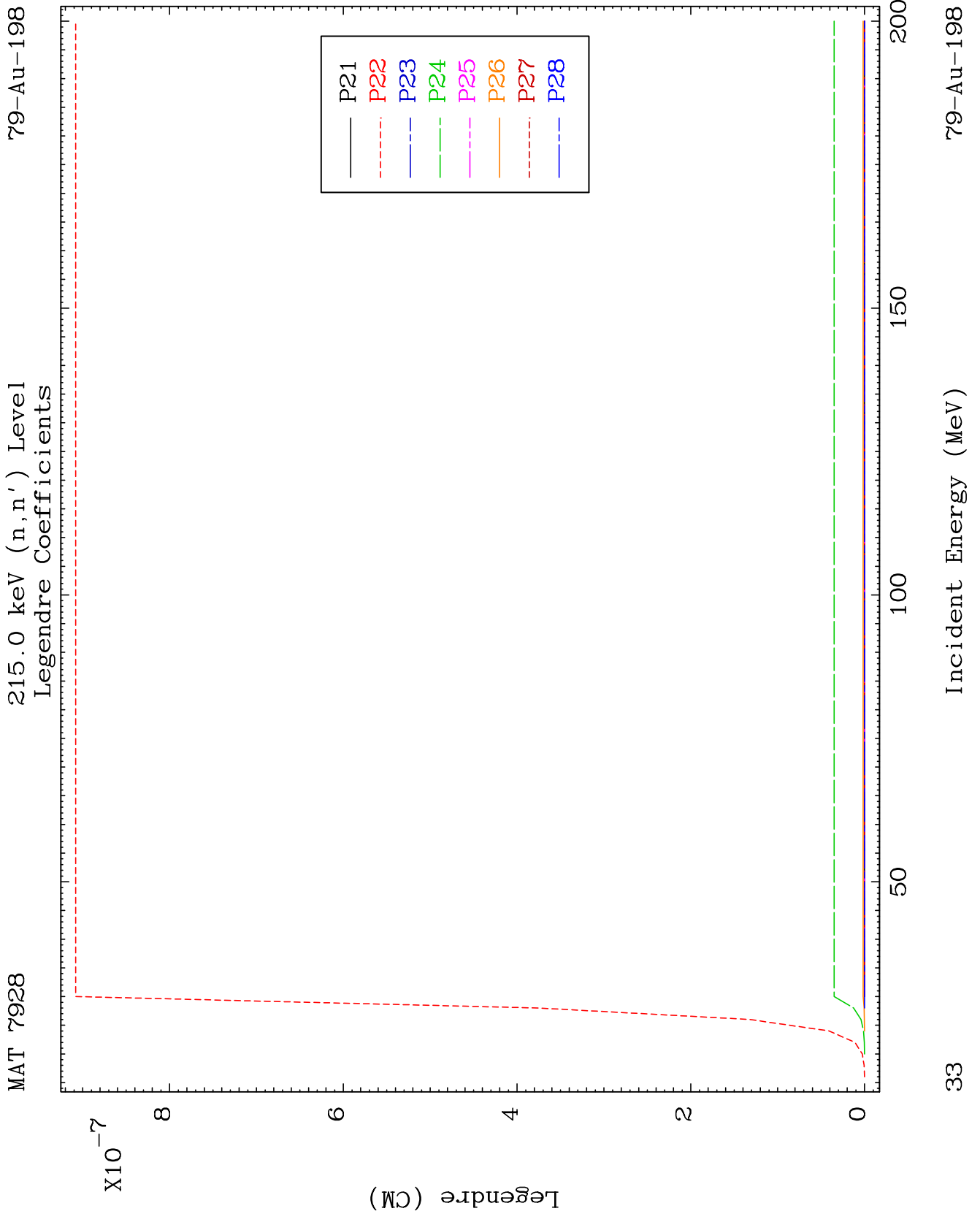
79-Au-198

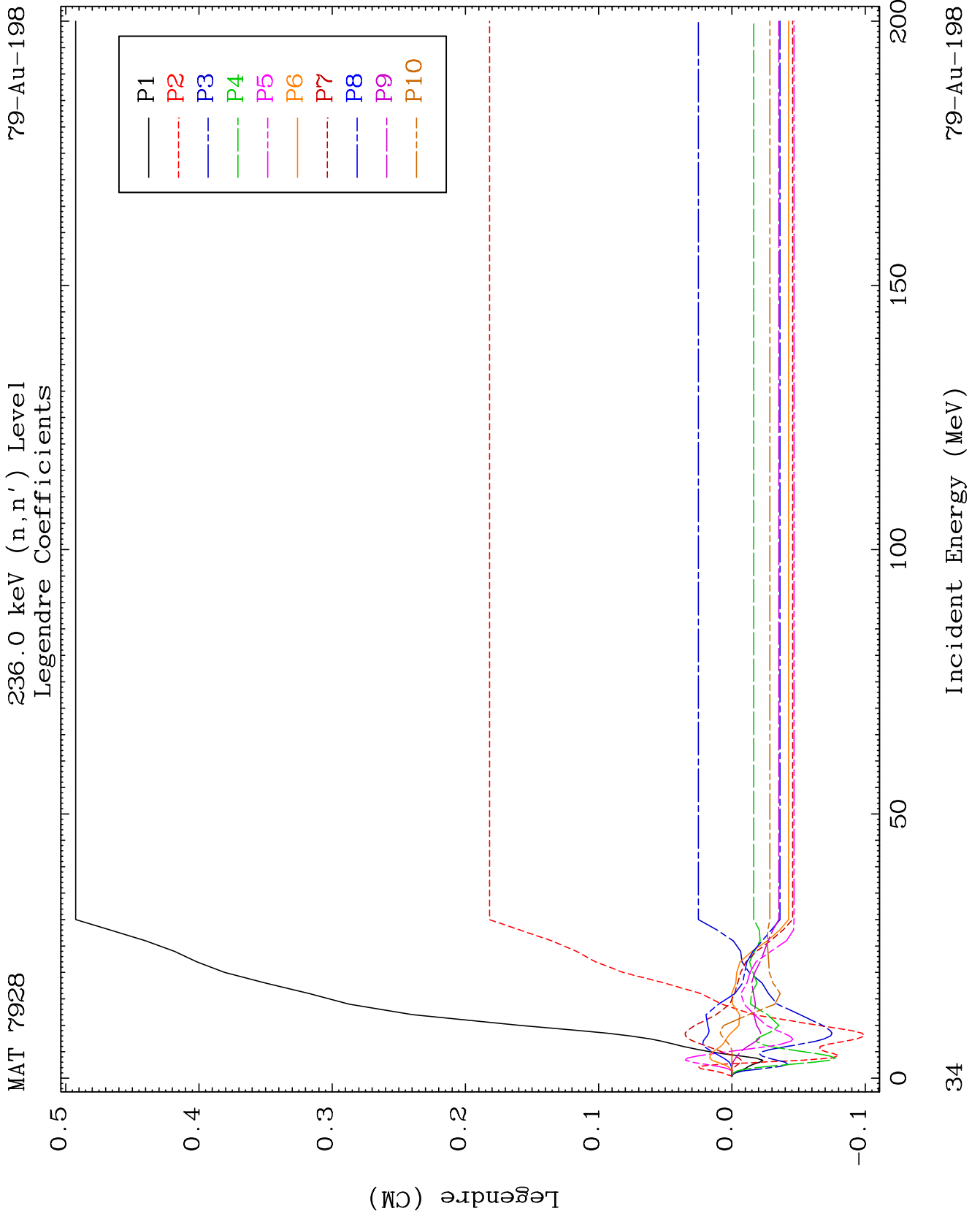


32

Incident Energy (MeV)

79-Au-198

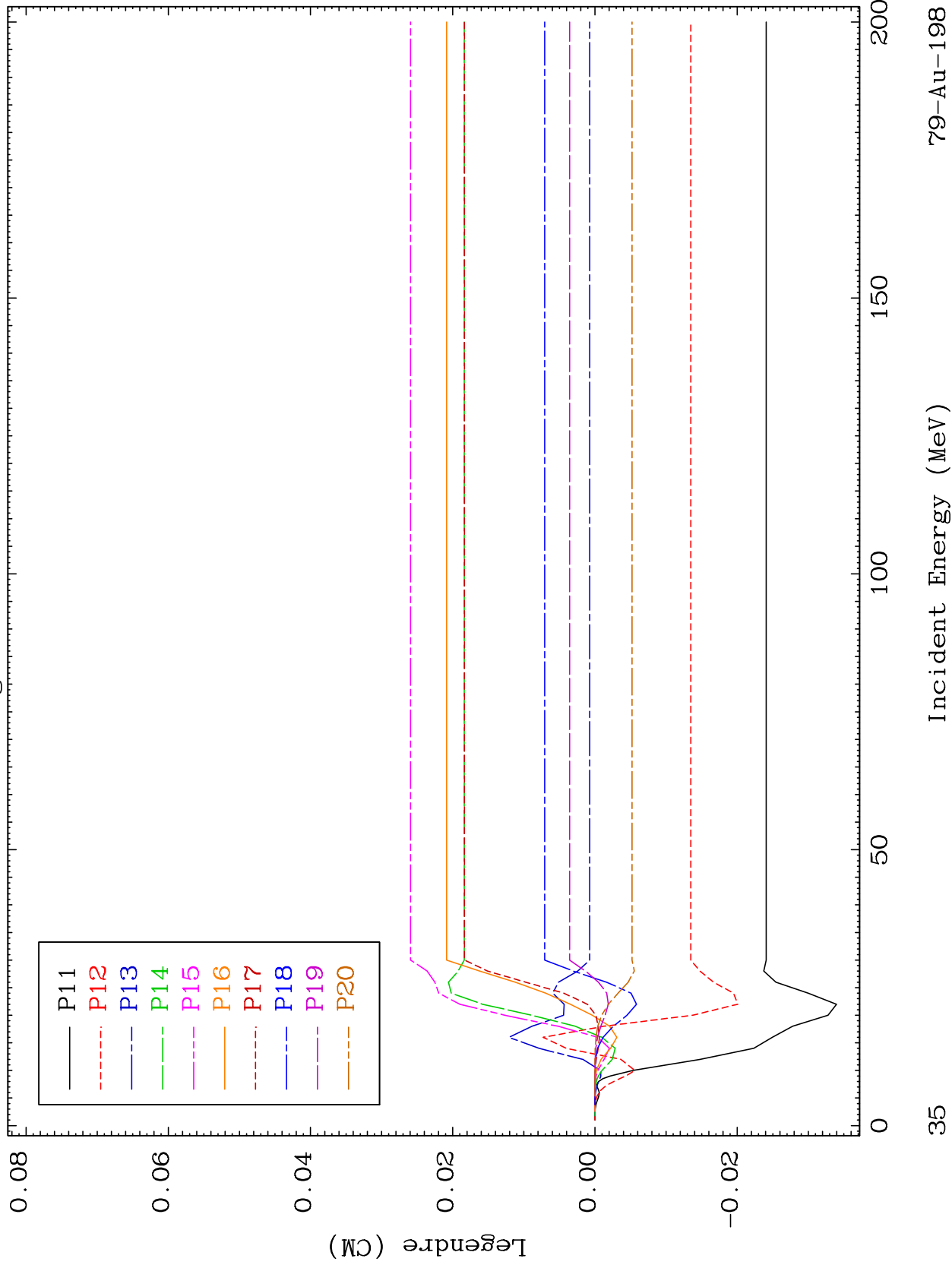




MAT 7928

236.0 keV (n,n') Level
Legendre Coefficients

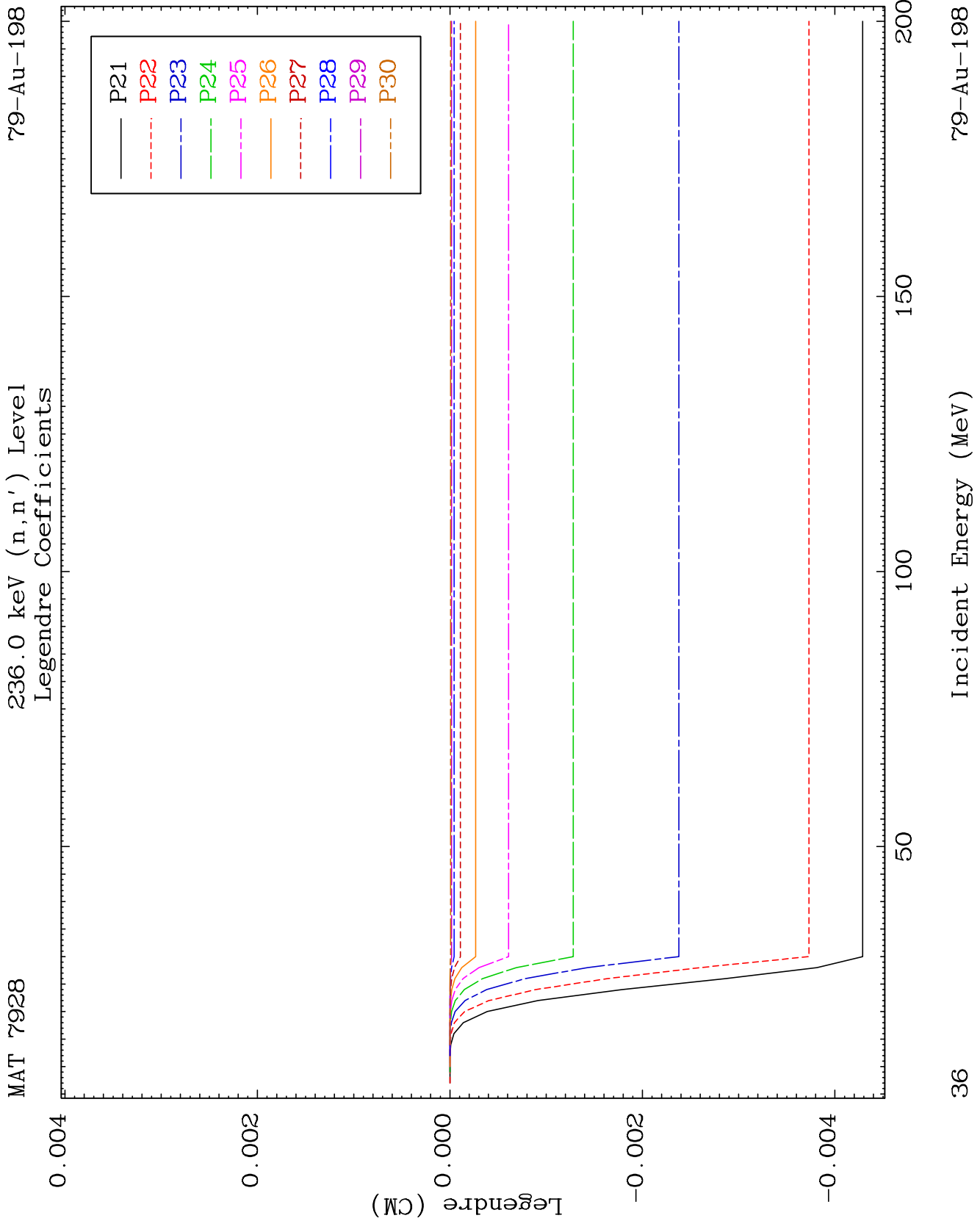
79-Au-198

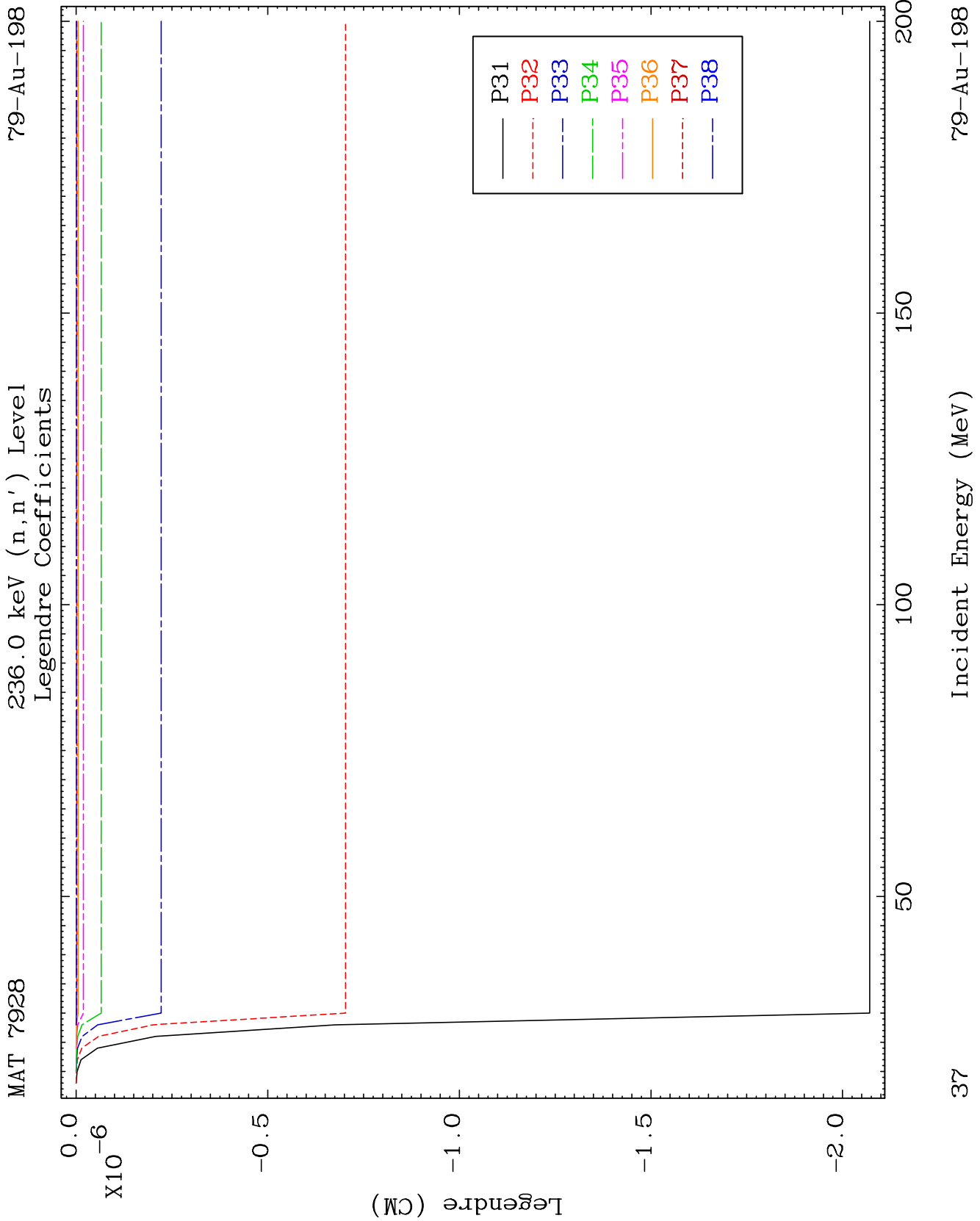


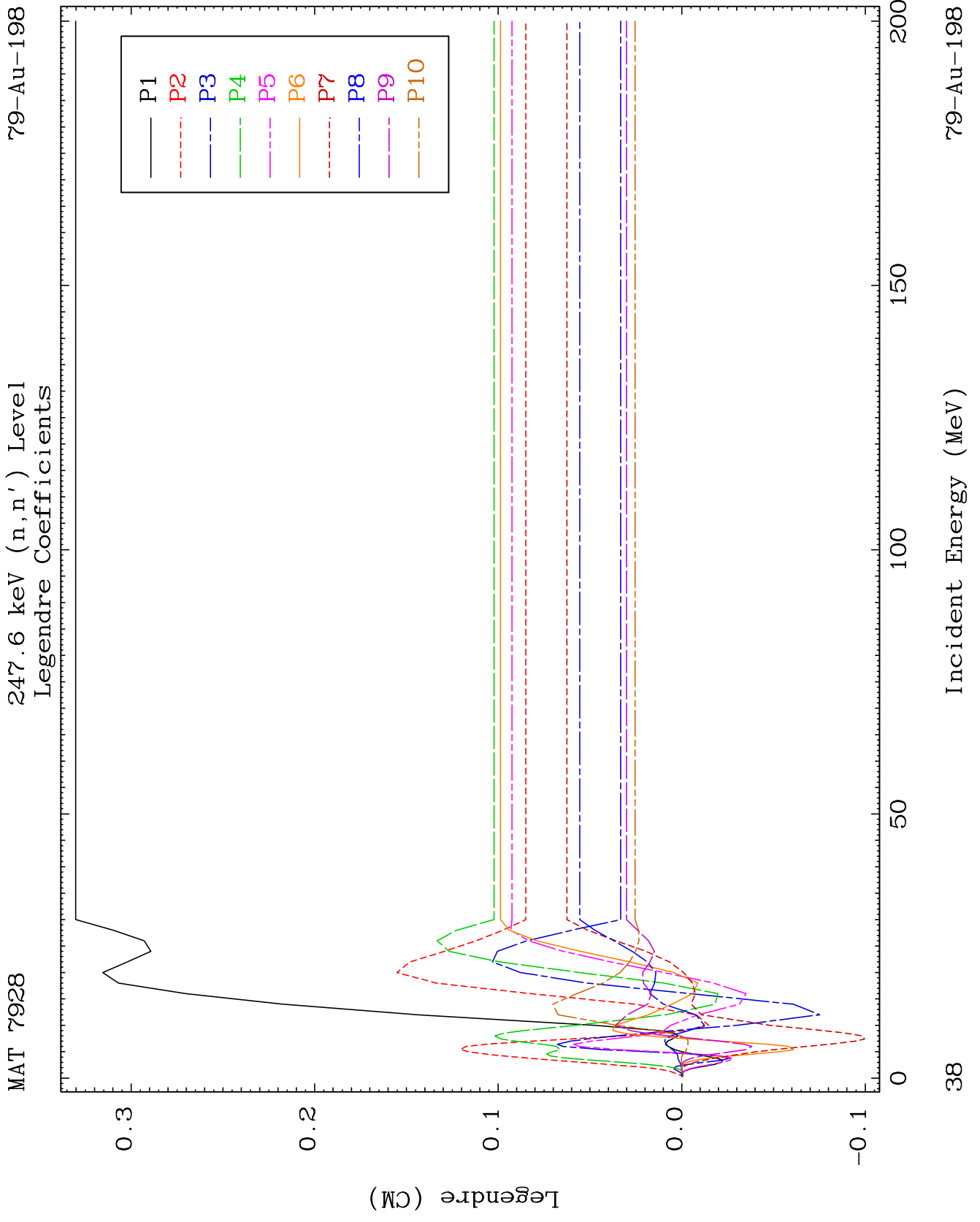
79-Au-198

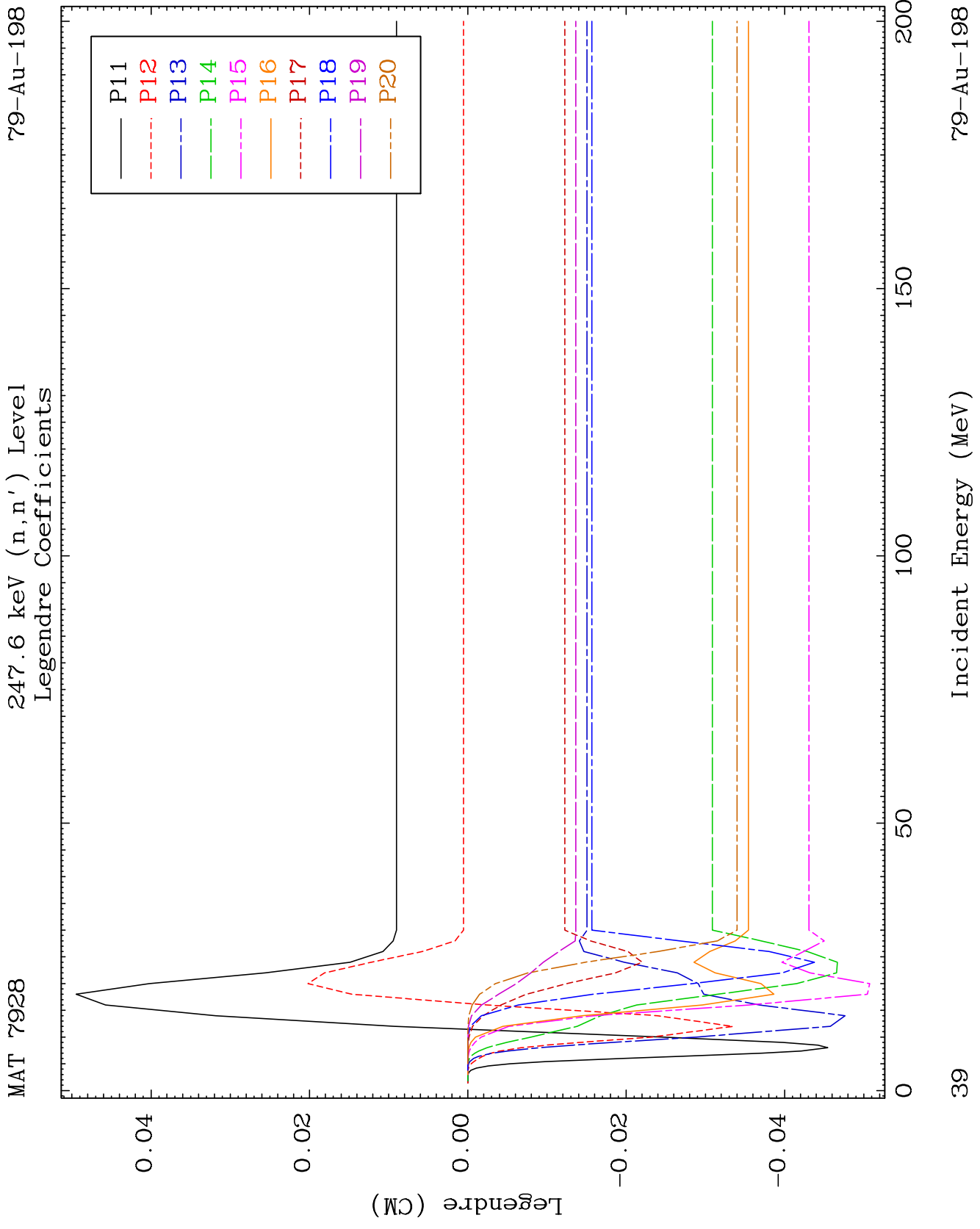
Incident Energy (MeV)

35





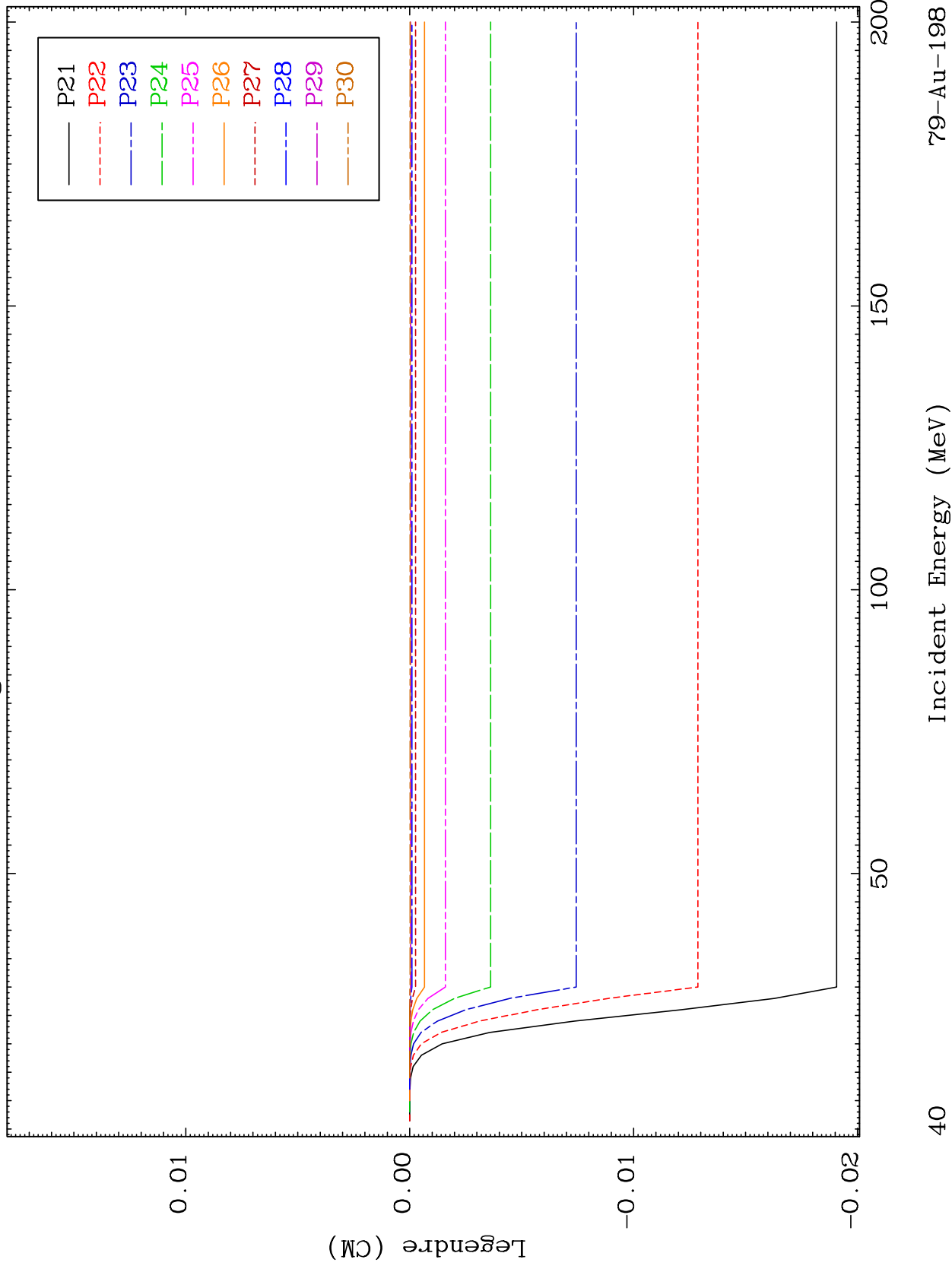




MAT 7928

247.6 keV (n,n') Level
Legendre Coefficients

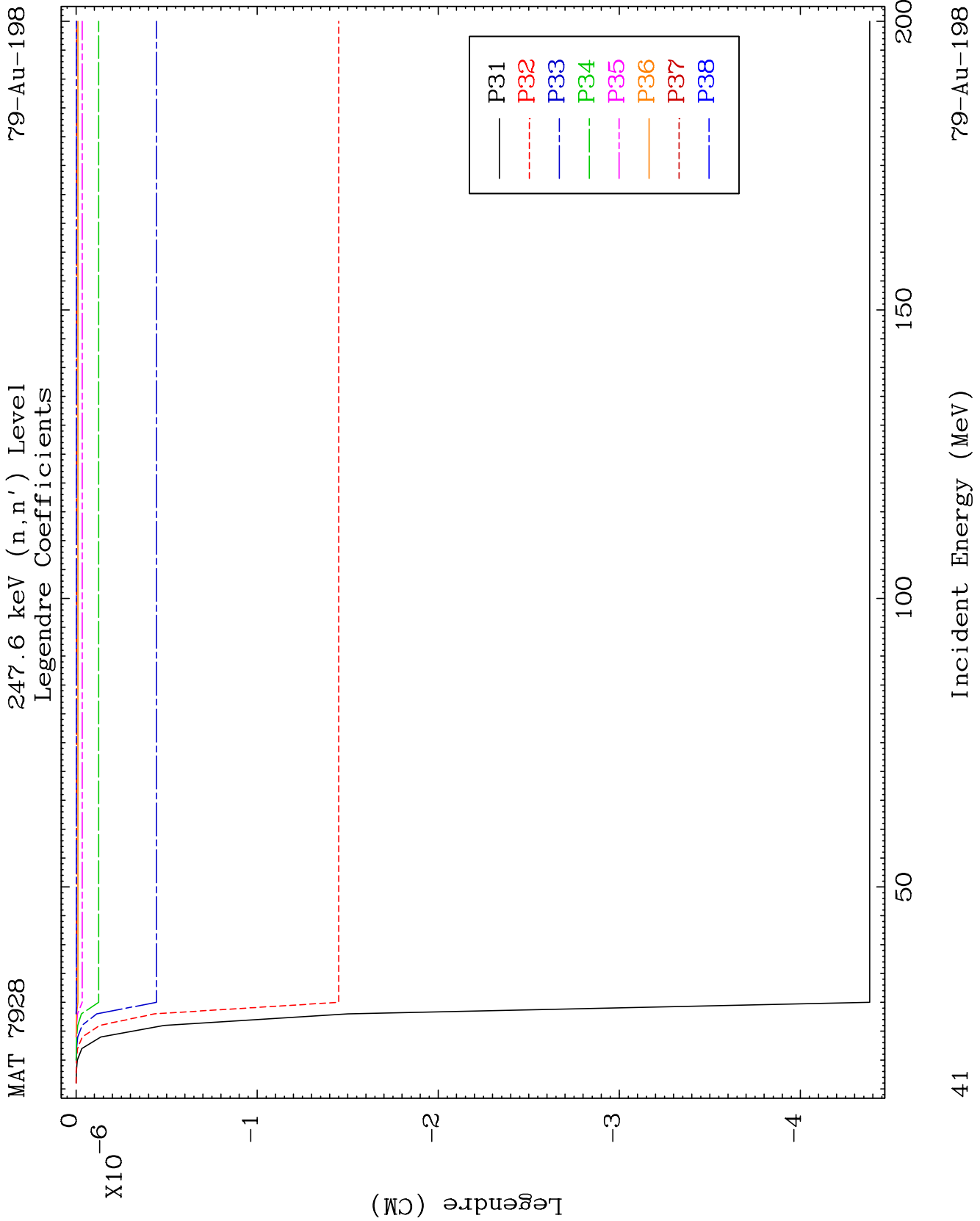
79-Au-198



79-Au-198

Incident Energy (MeV)

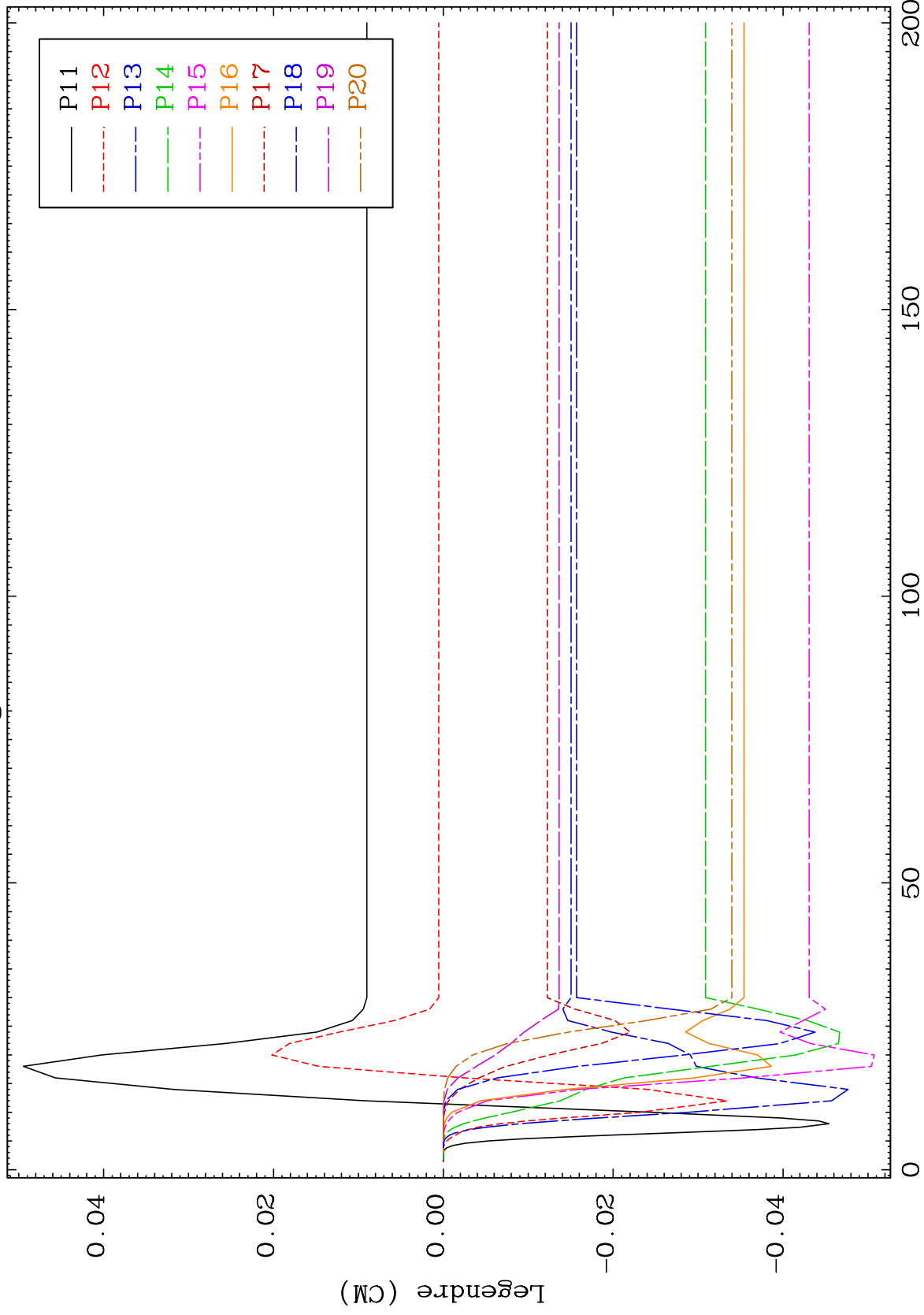
40



MAT 7928

259.3 keV (n,n') Level
Legendre Coefficients

79-Au-198



43

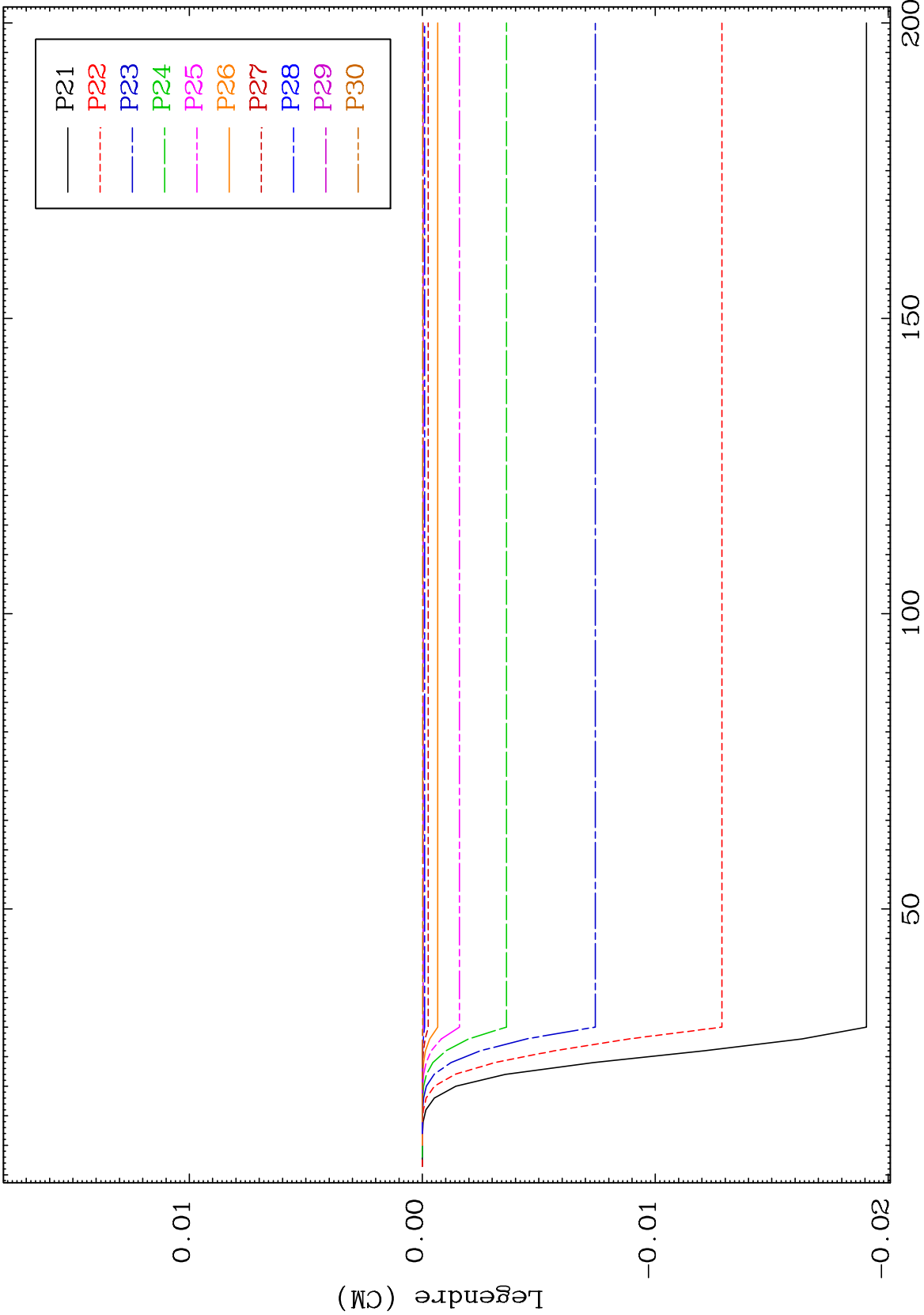
Incident Energy (MeV)

79-Au-198

MAT 7928

259.3 keV (n,n') Level
Legendre Coefficients

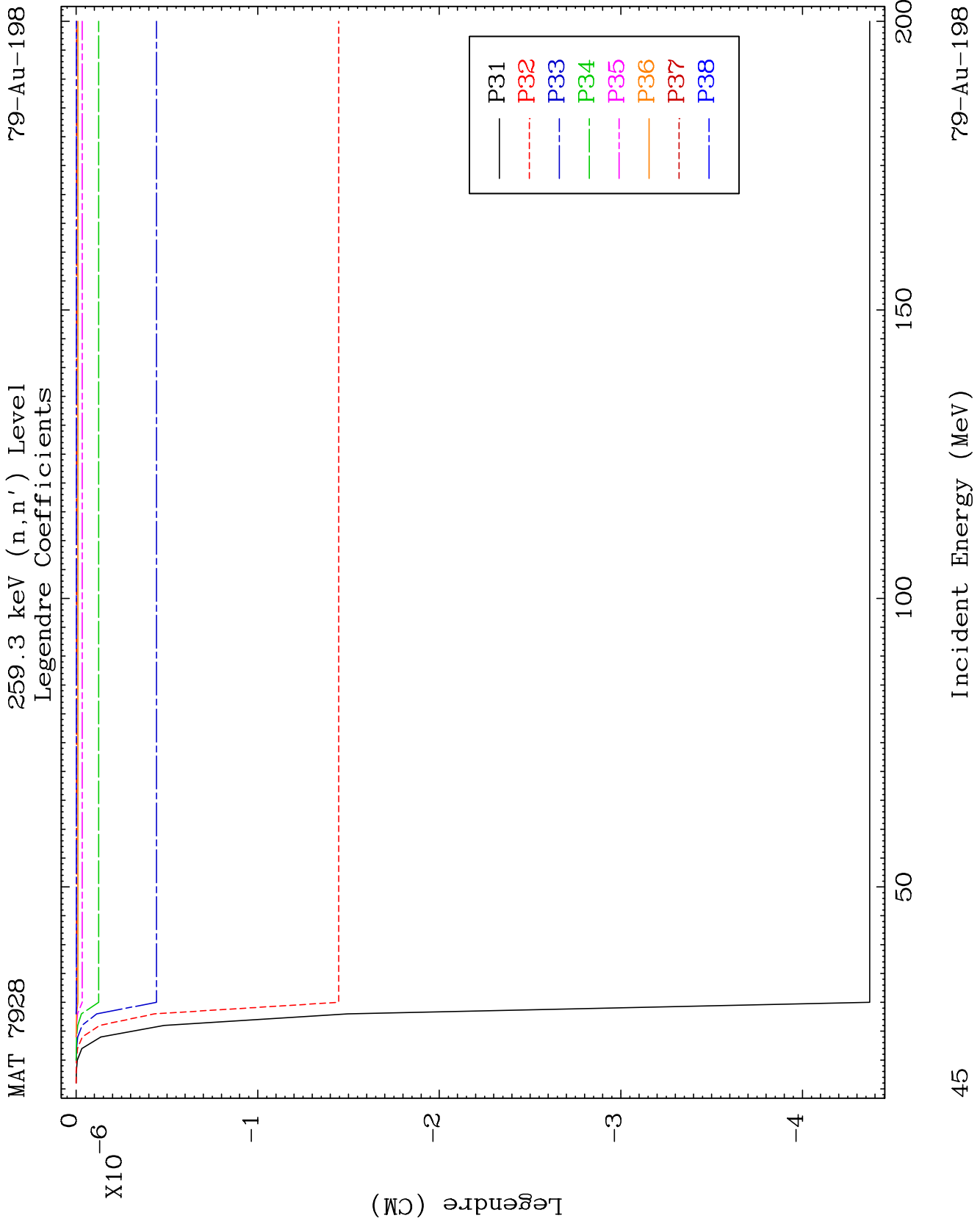
79-Au-198

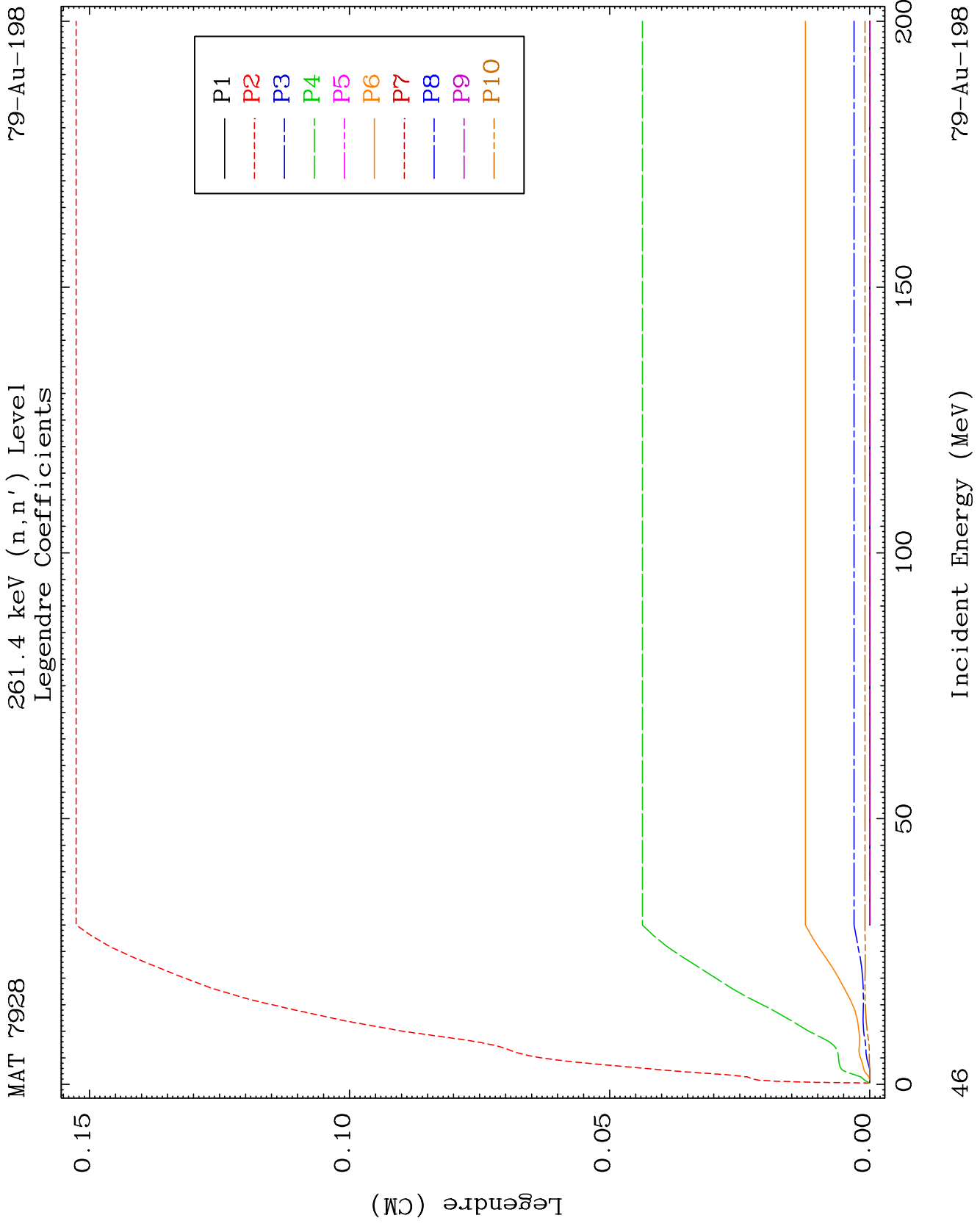


44

Incident Energy (MeV)

79-Au-198

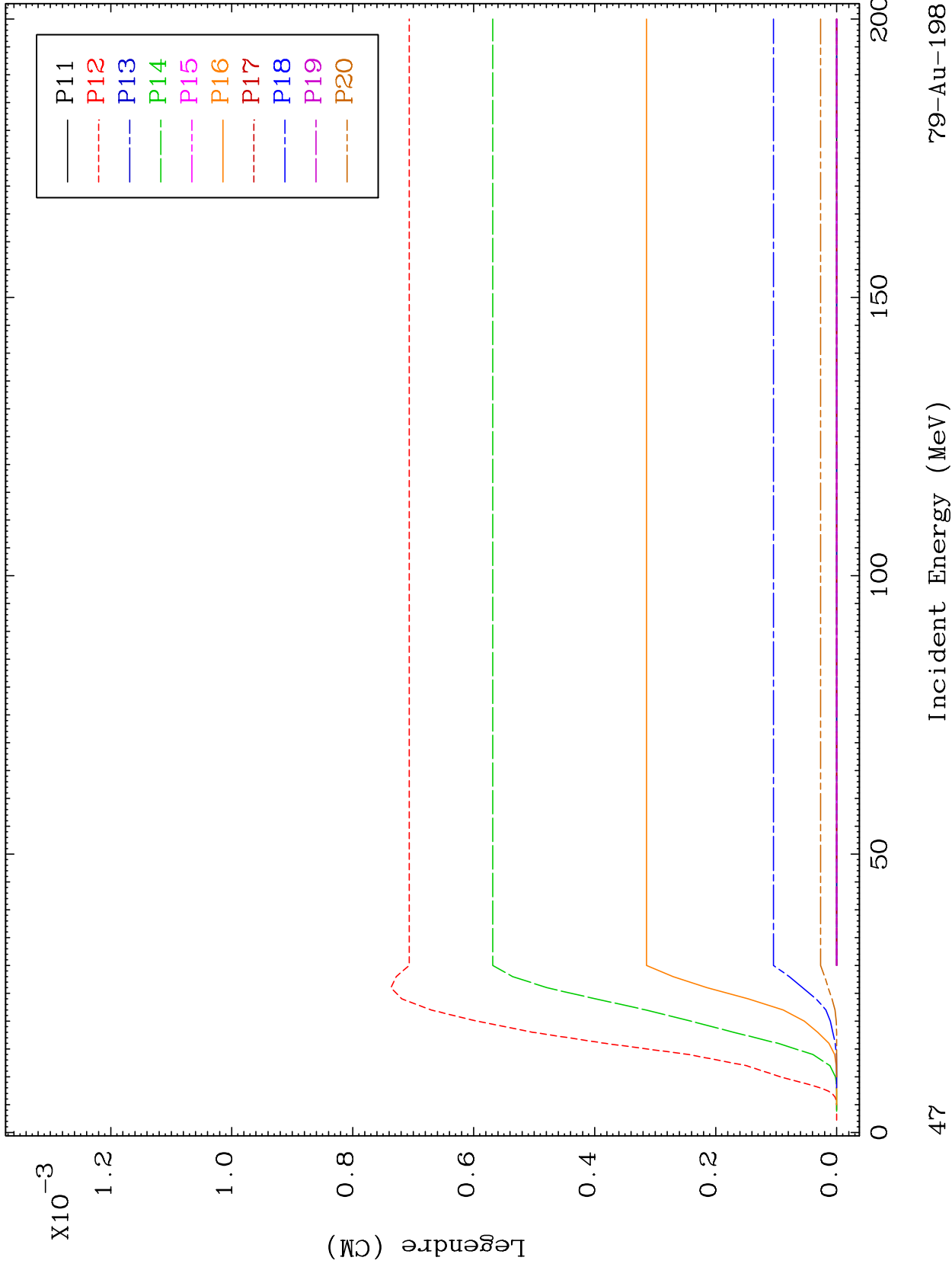




MAT 7928

261.4 keV (n,n') Level
Legendre Coefficients

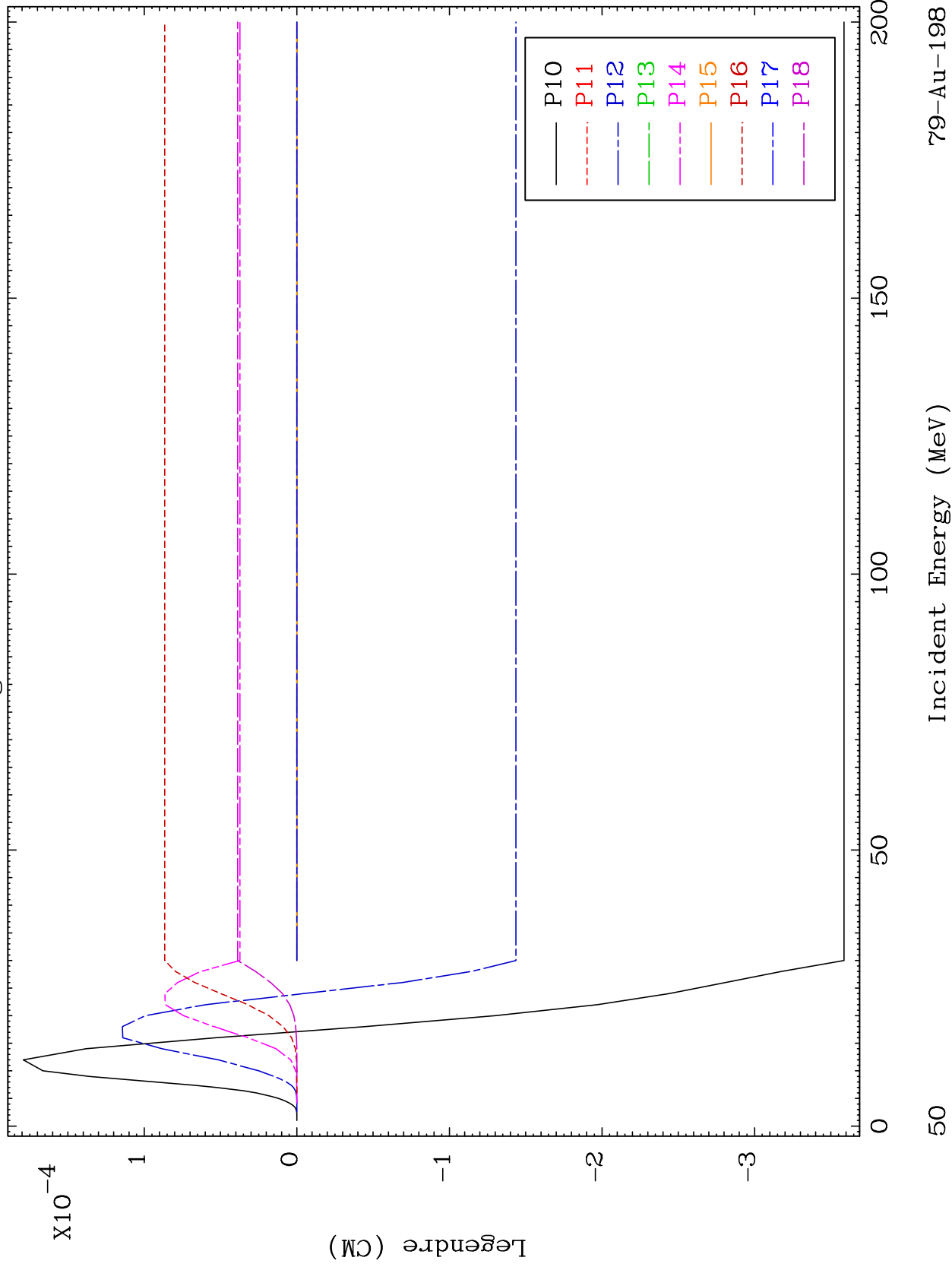
79-Au-198



MAT 7928

312.2 keV (n,n') Level
Legendre Coefficients

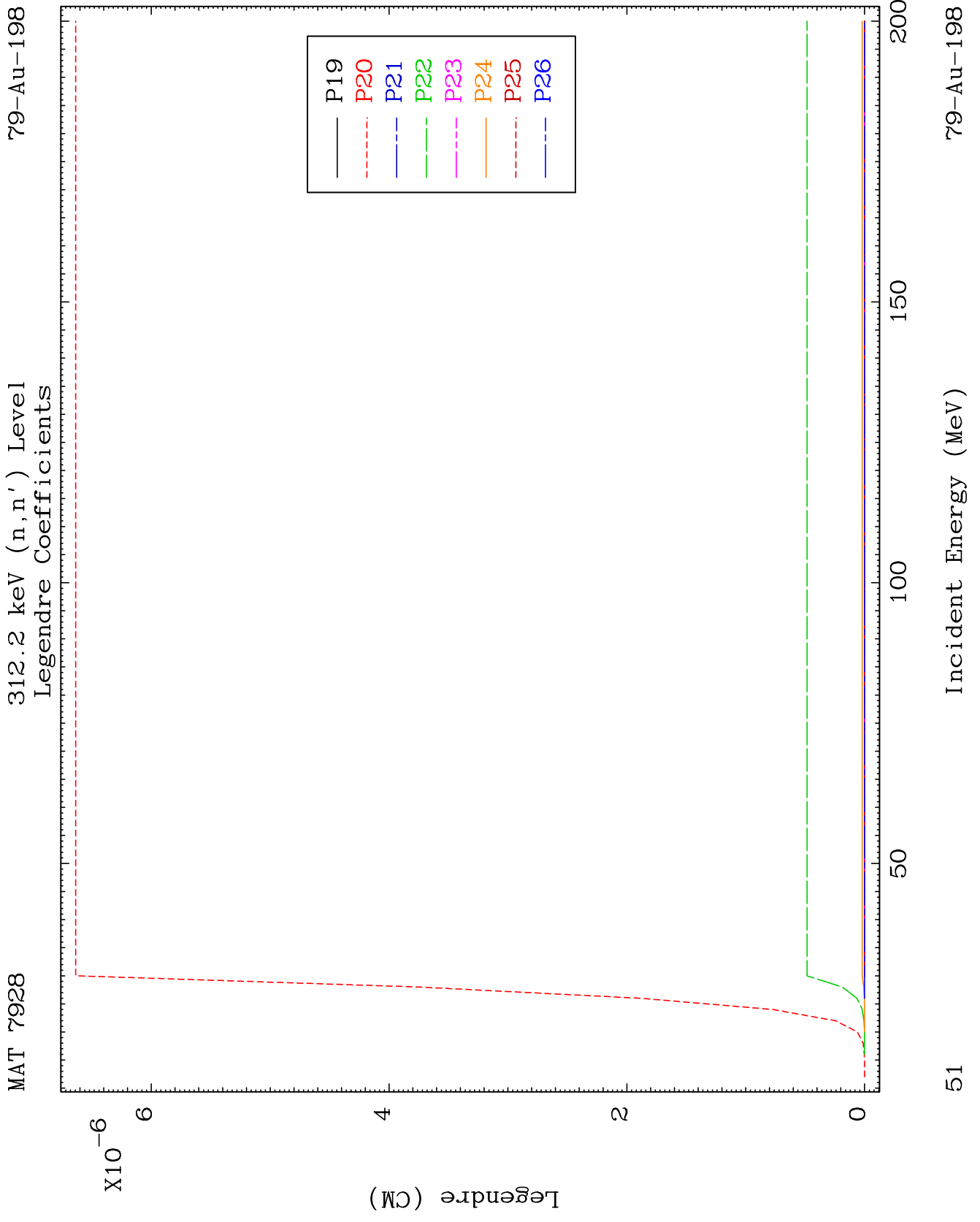
79-Au-198

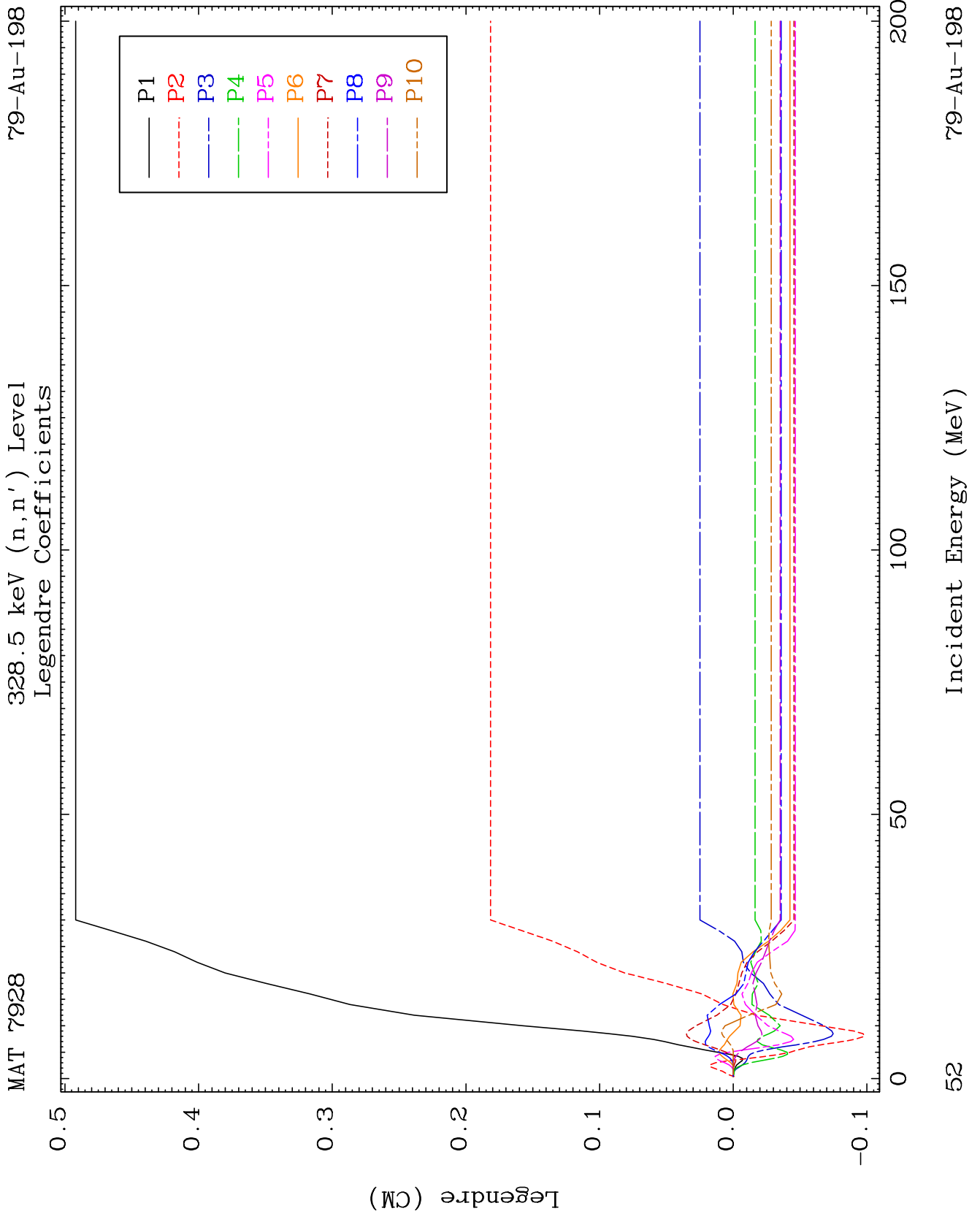


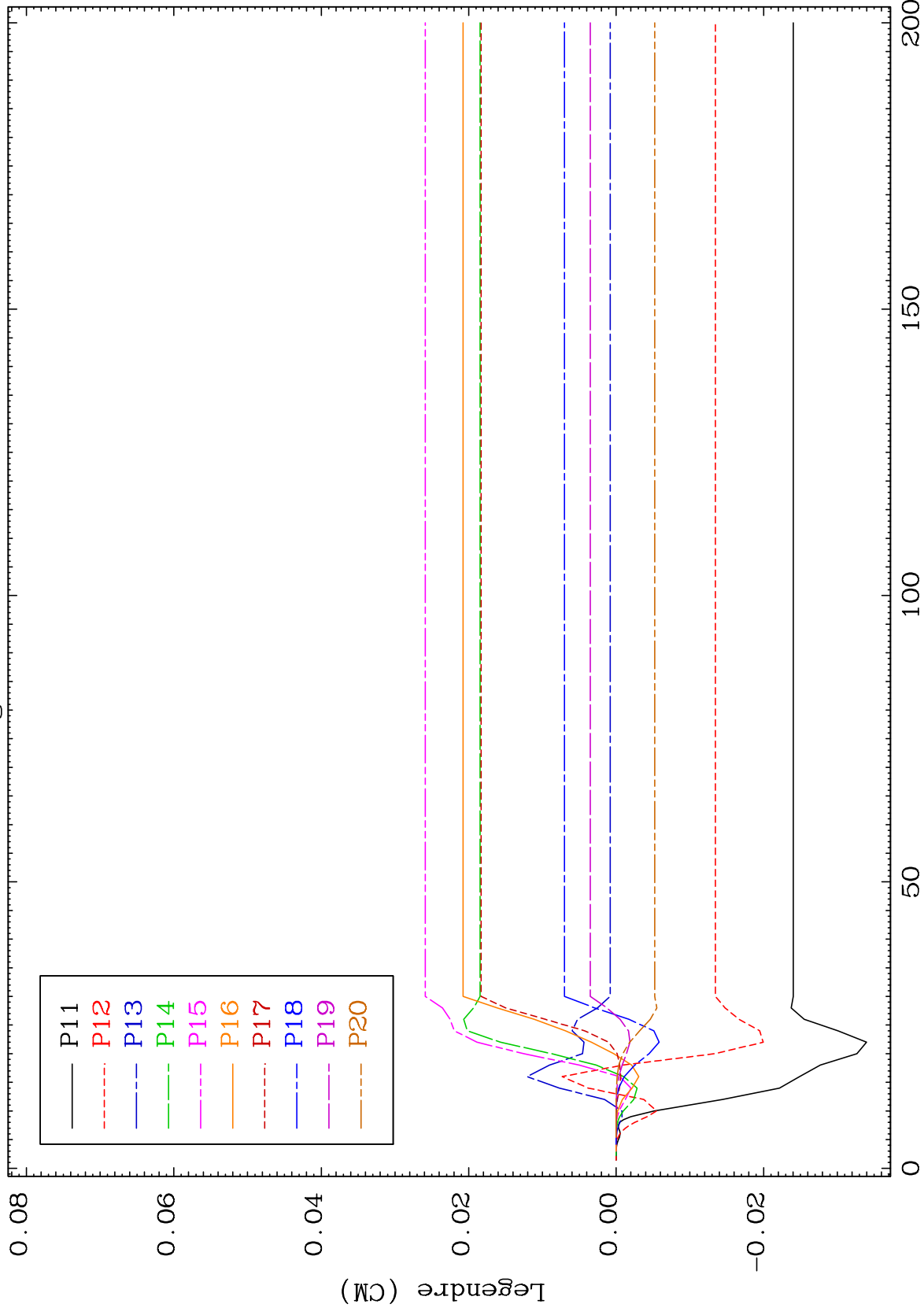
79-Au-198

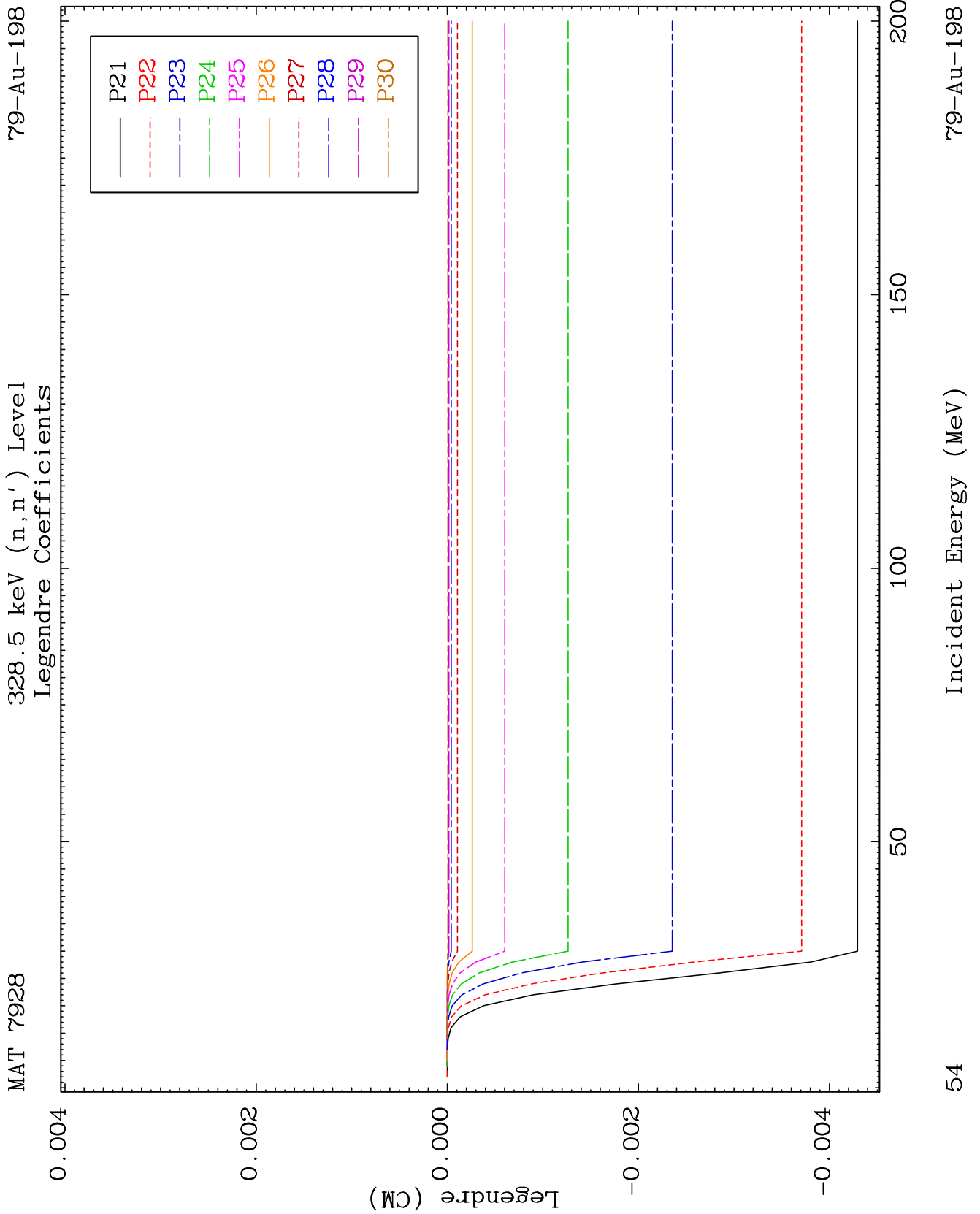
Incident Energy (MeV)

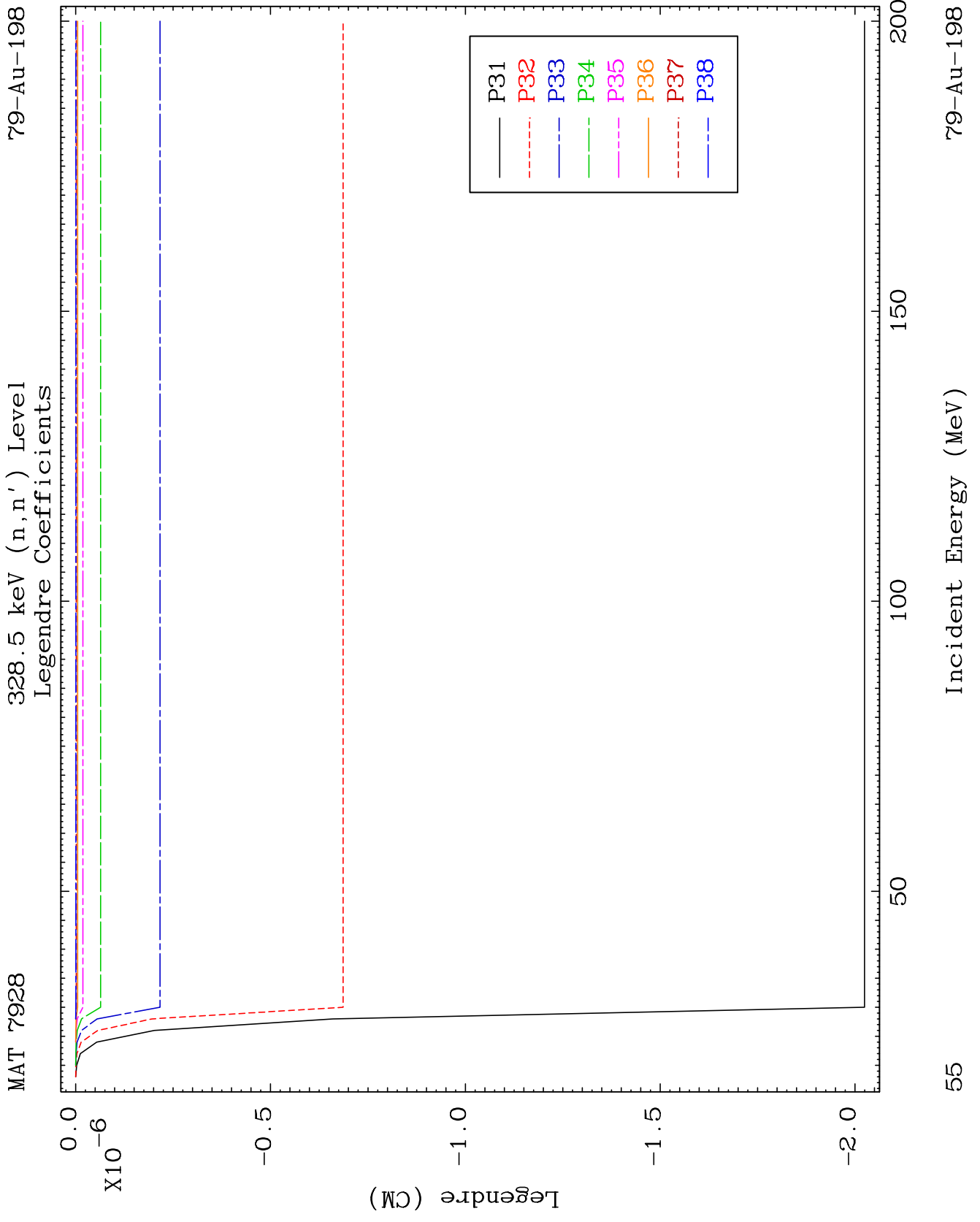
50







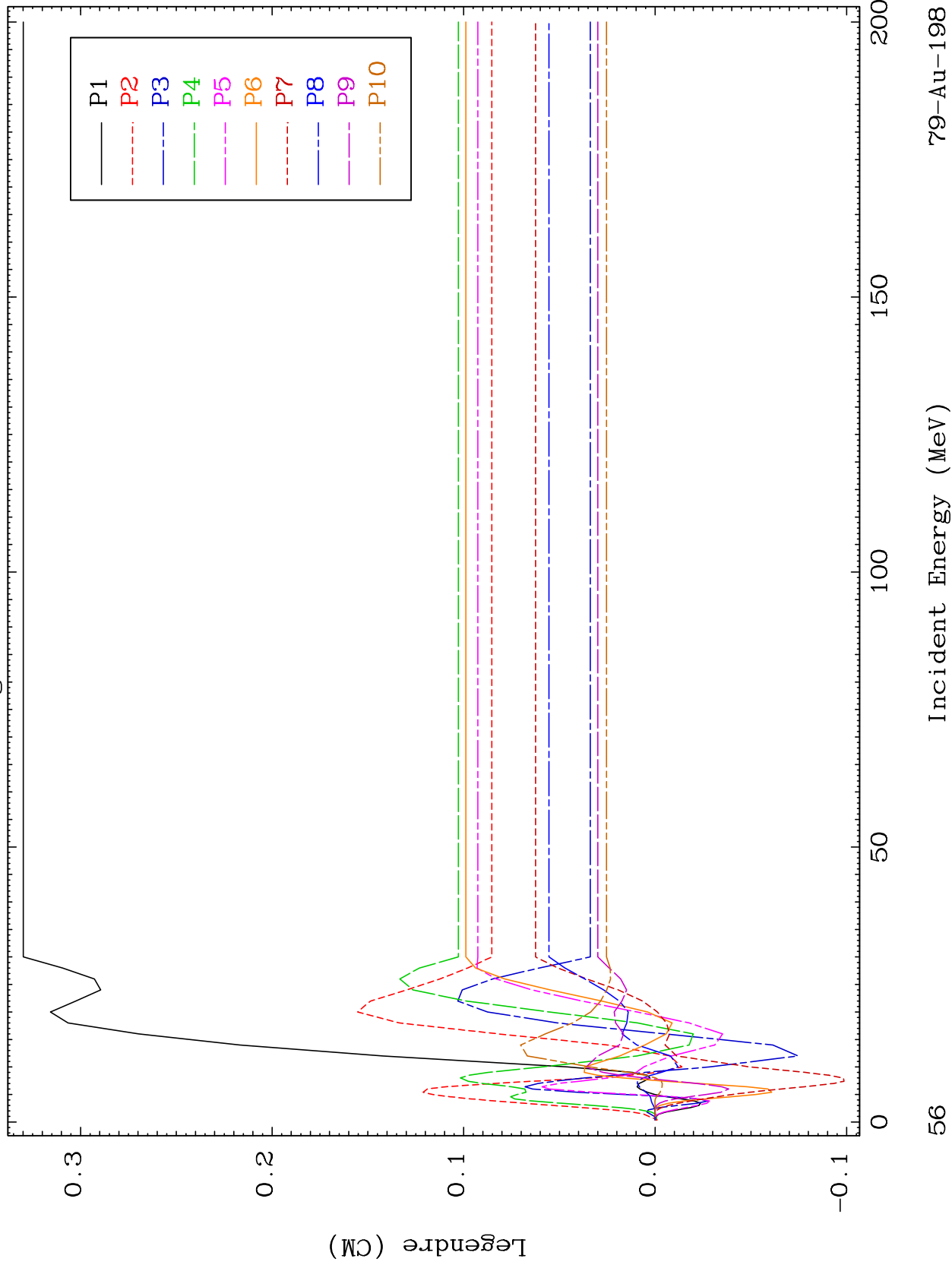




MAT 7928

339.3 keV (n,n') Level
Legendre Coefficients

79-Au-198



79-Au-198

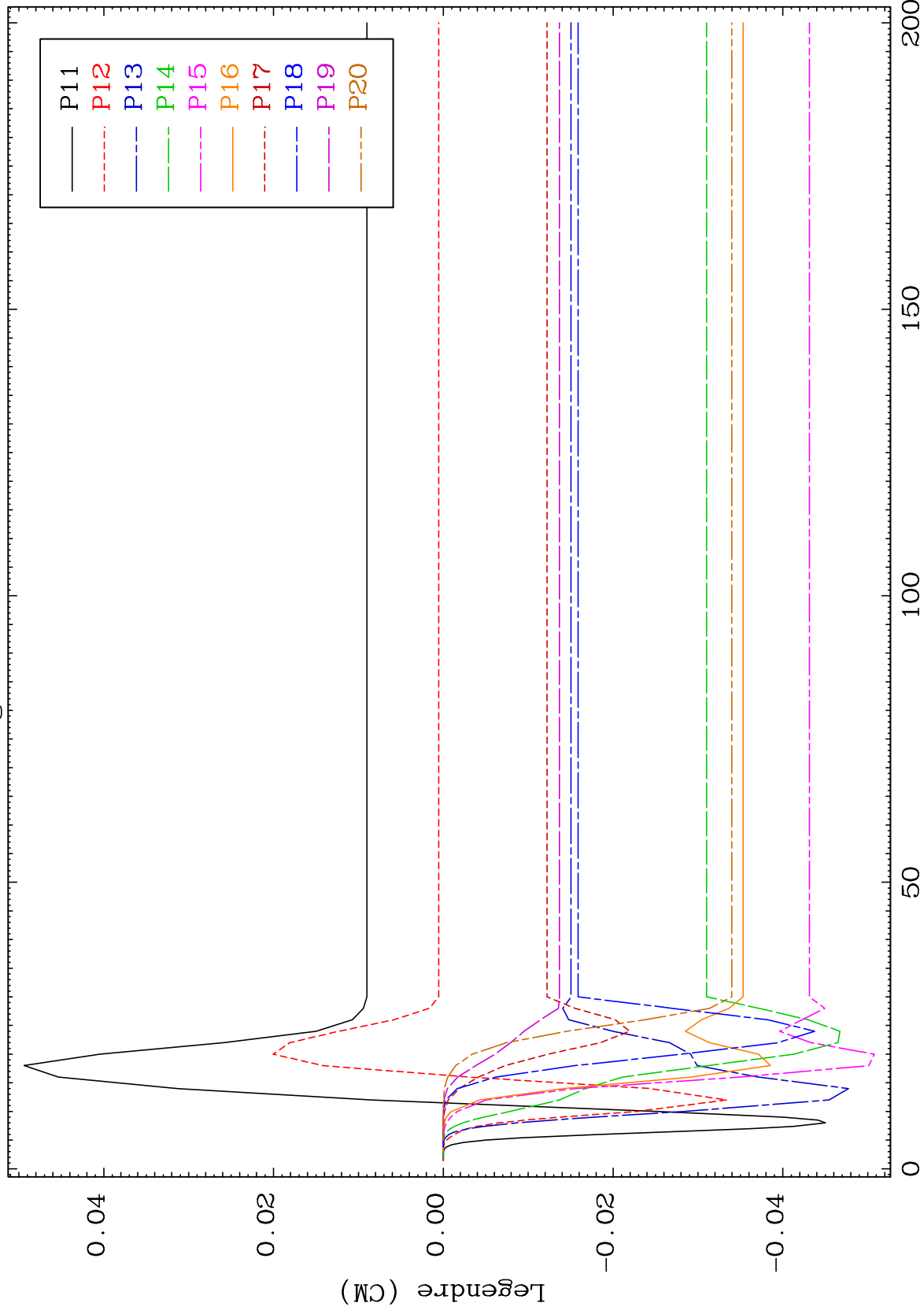
Incident Energy (MeV)

56

MAT 7928

339.3 keV (n,n') Level
Legendre Coefficients

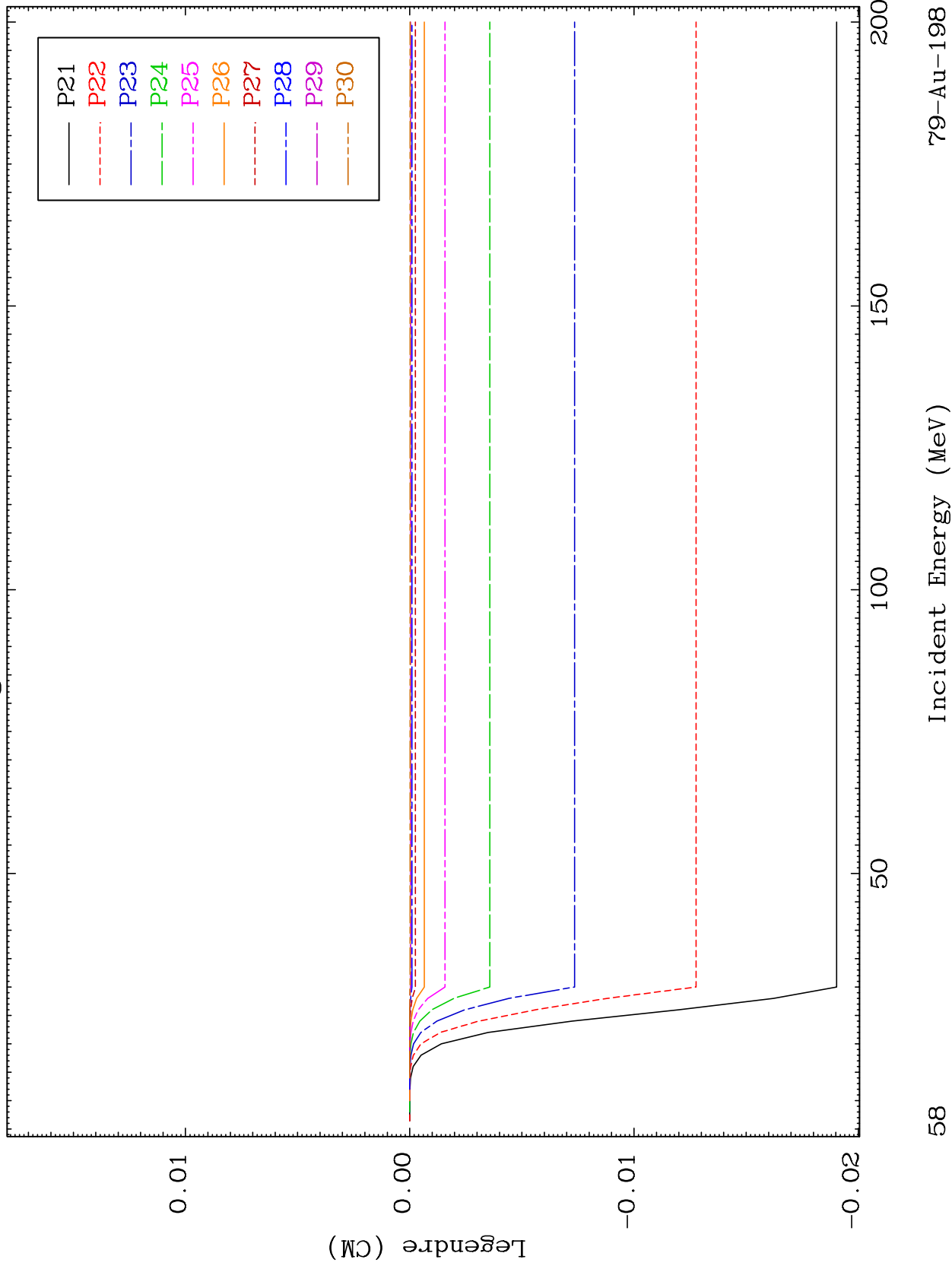
79-Au-198

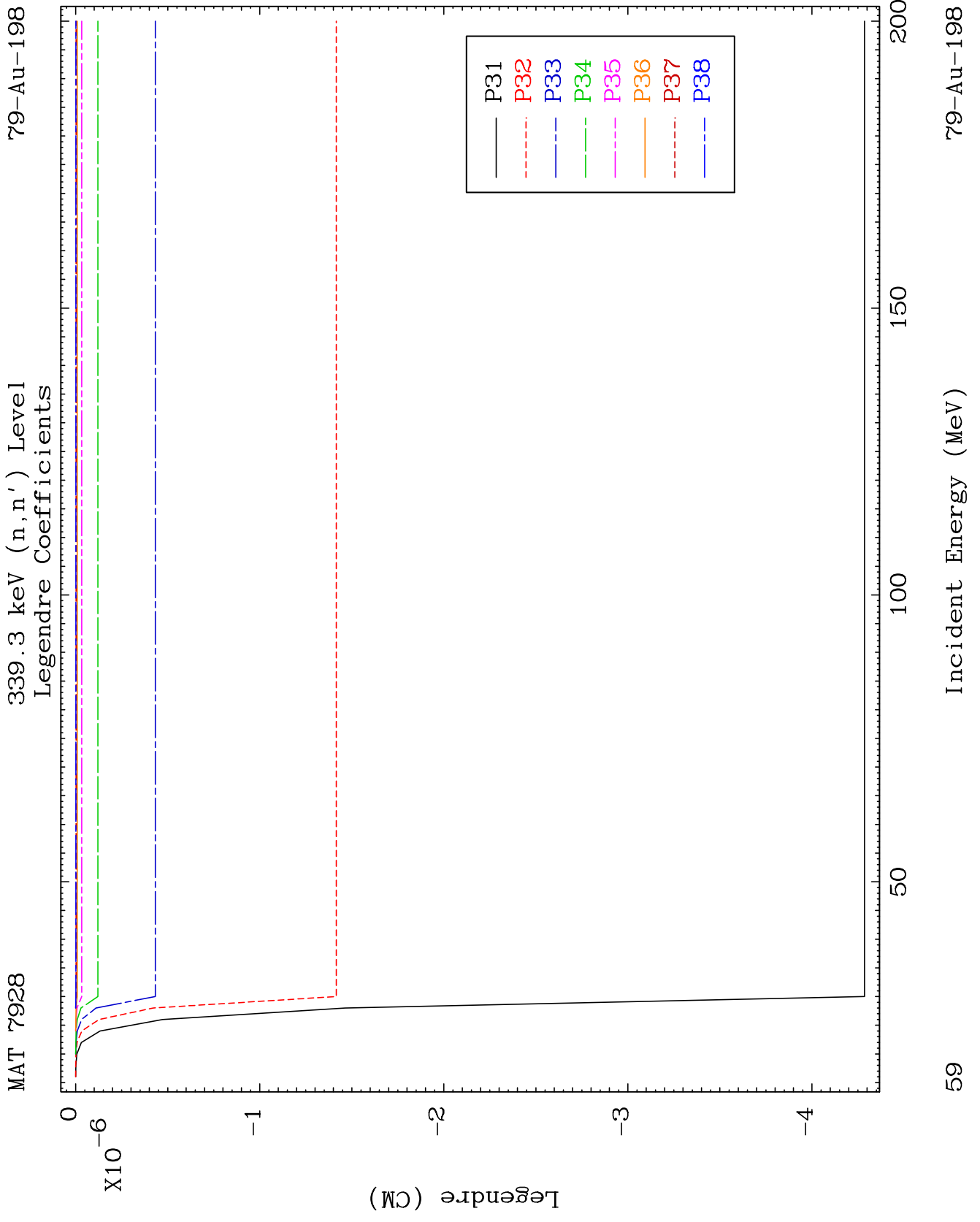


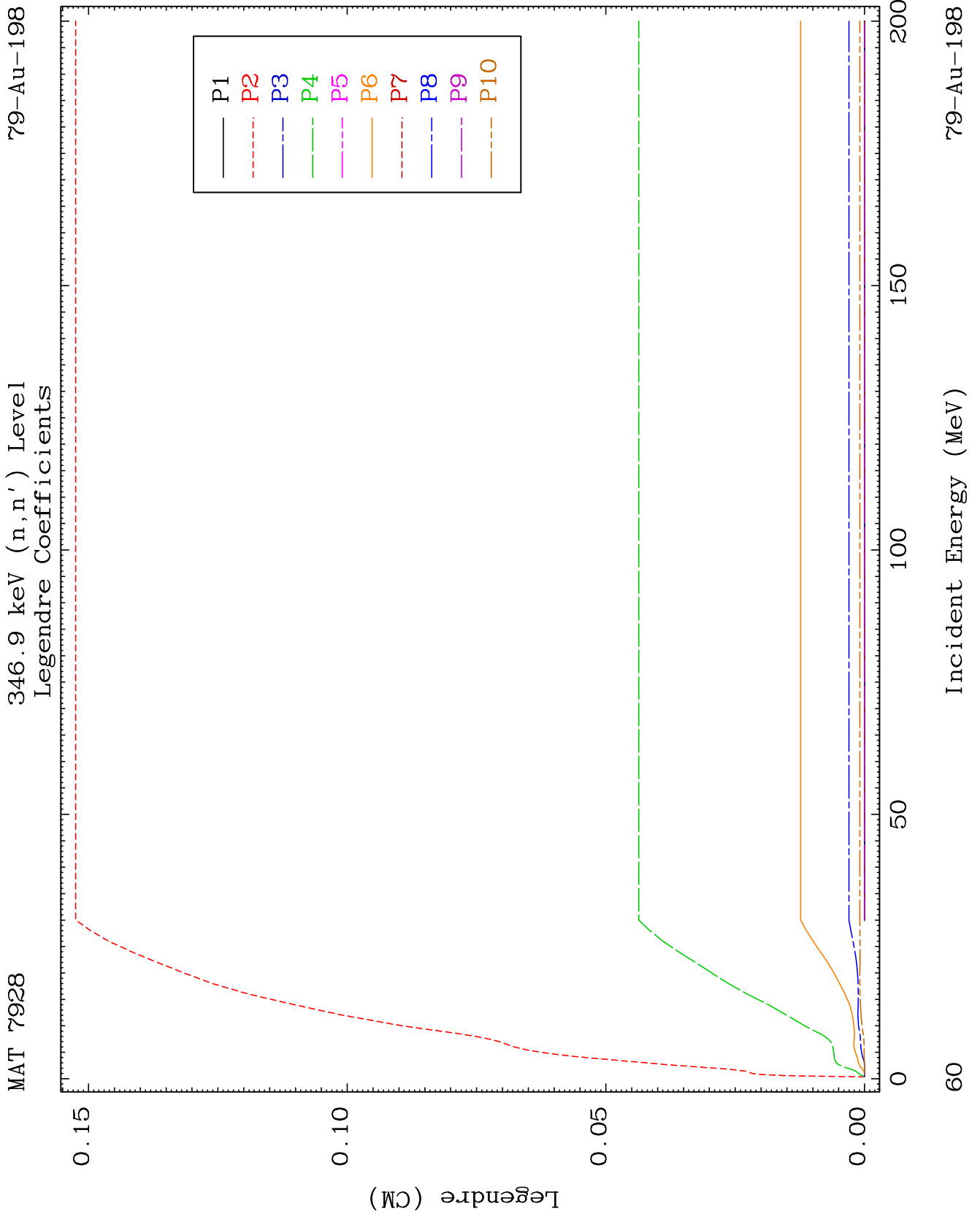
57

Incident Energy (MeV)

79-Au-198



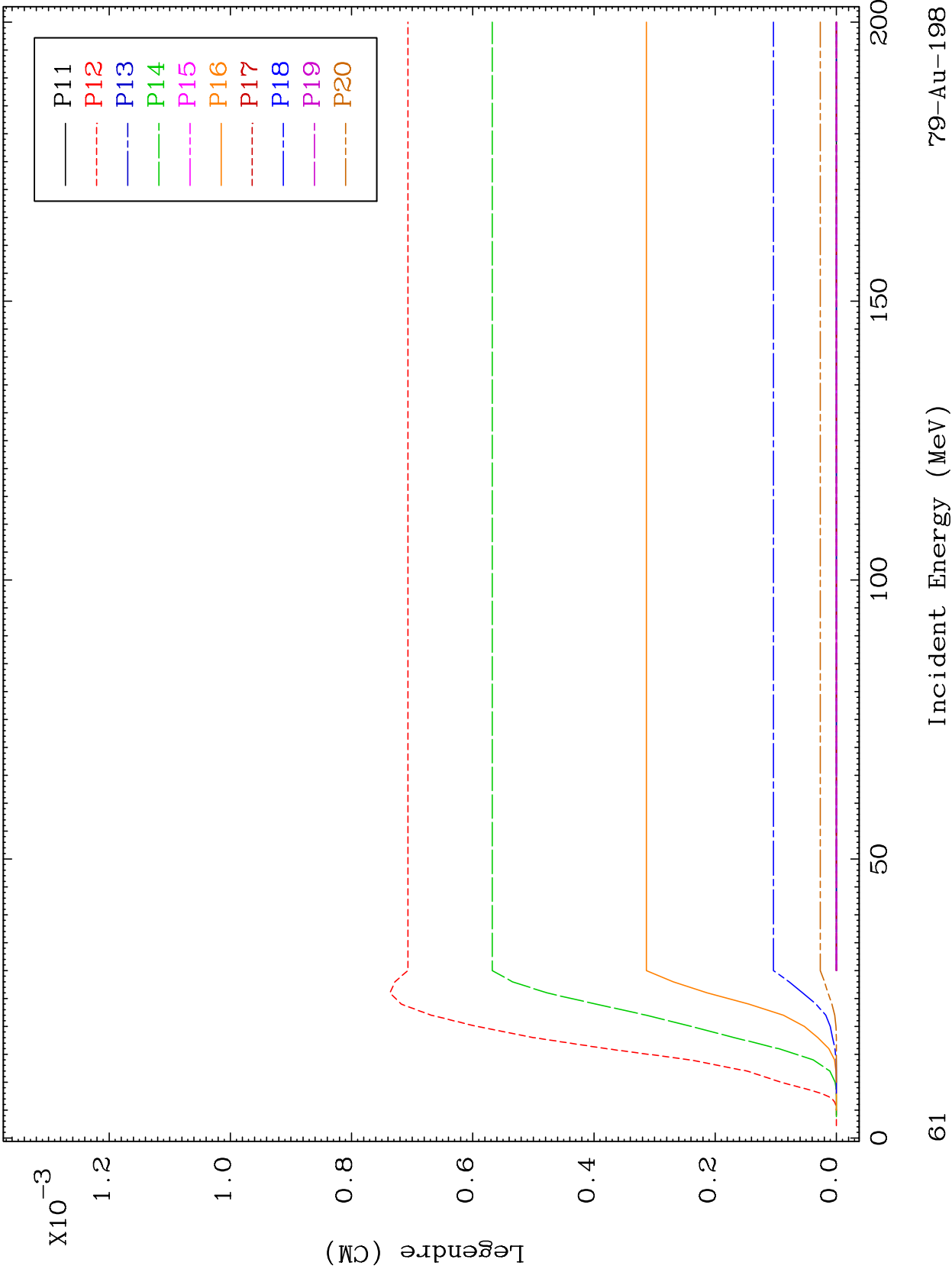




MAT 7928

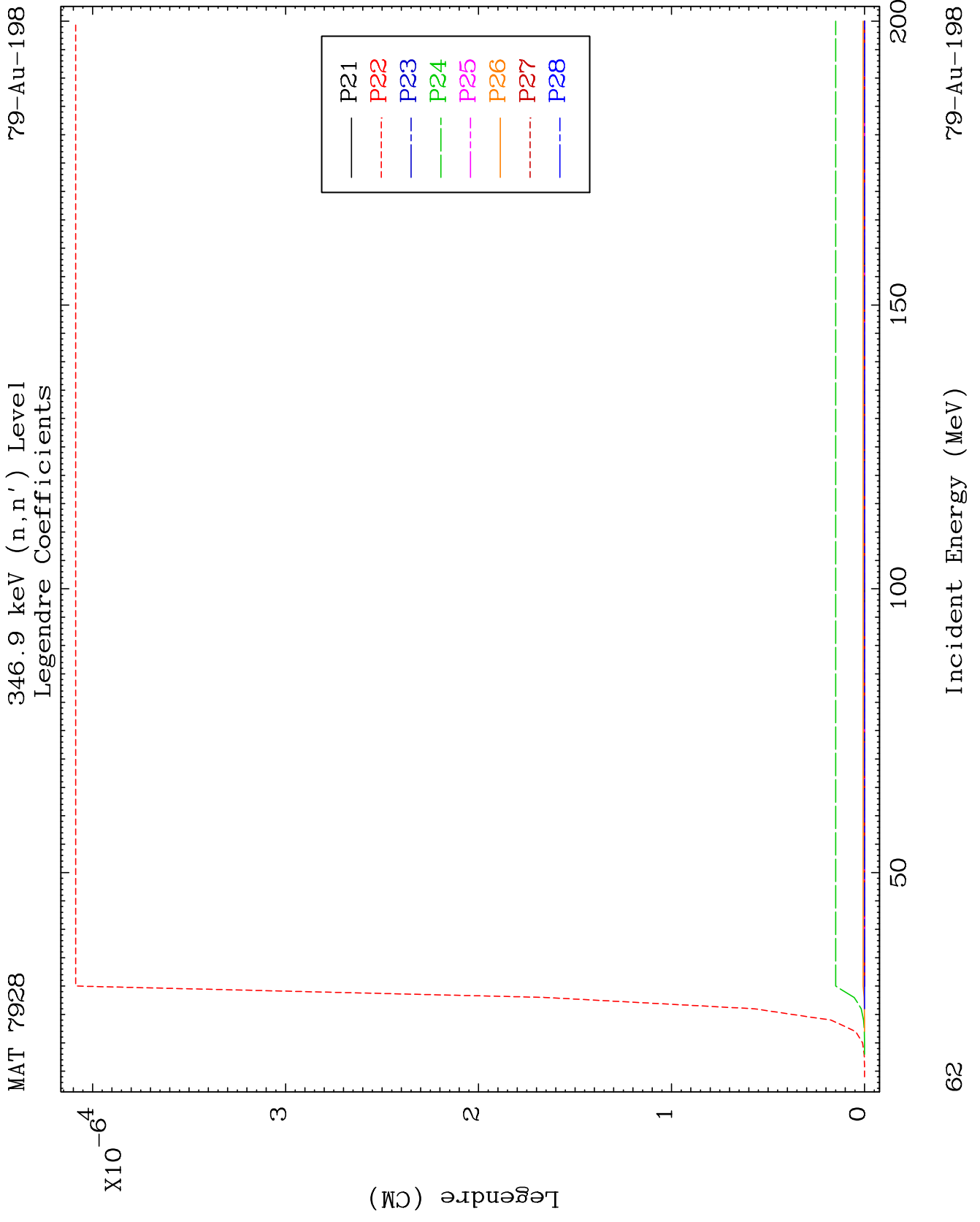
346.9 keV (n,n') Level
Legendre Coefficients

79-Au-198



61

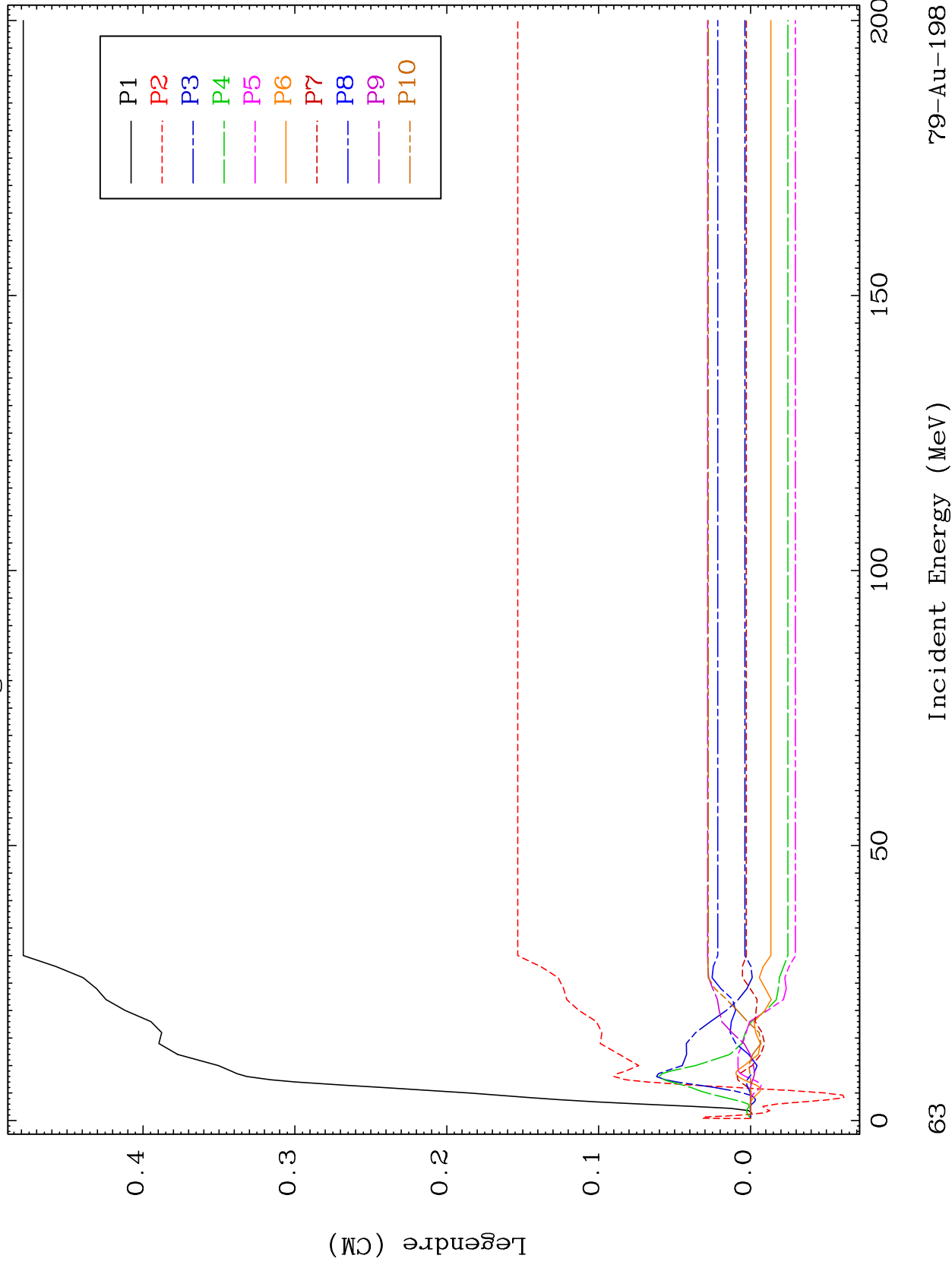
79-Au-198



MAT 7928

359.4 keV (n,n') Level
Legendre Coefficients

79-Au-198



79-Au-198

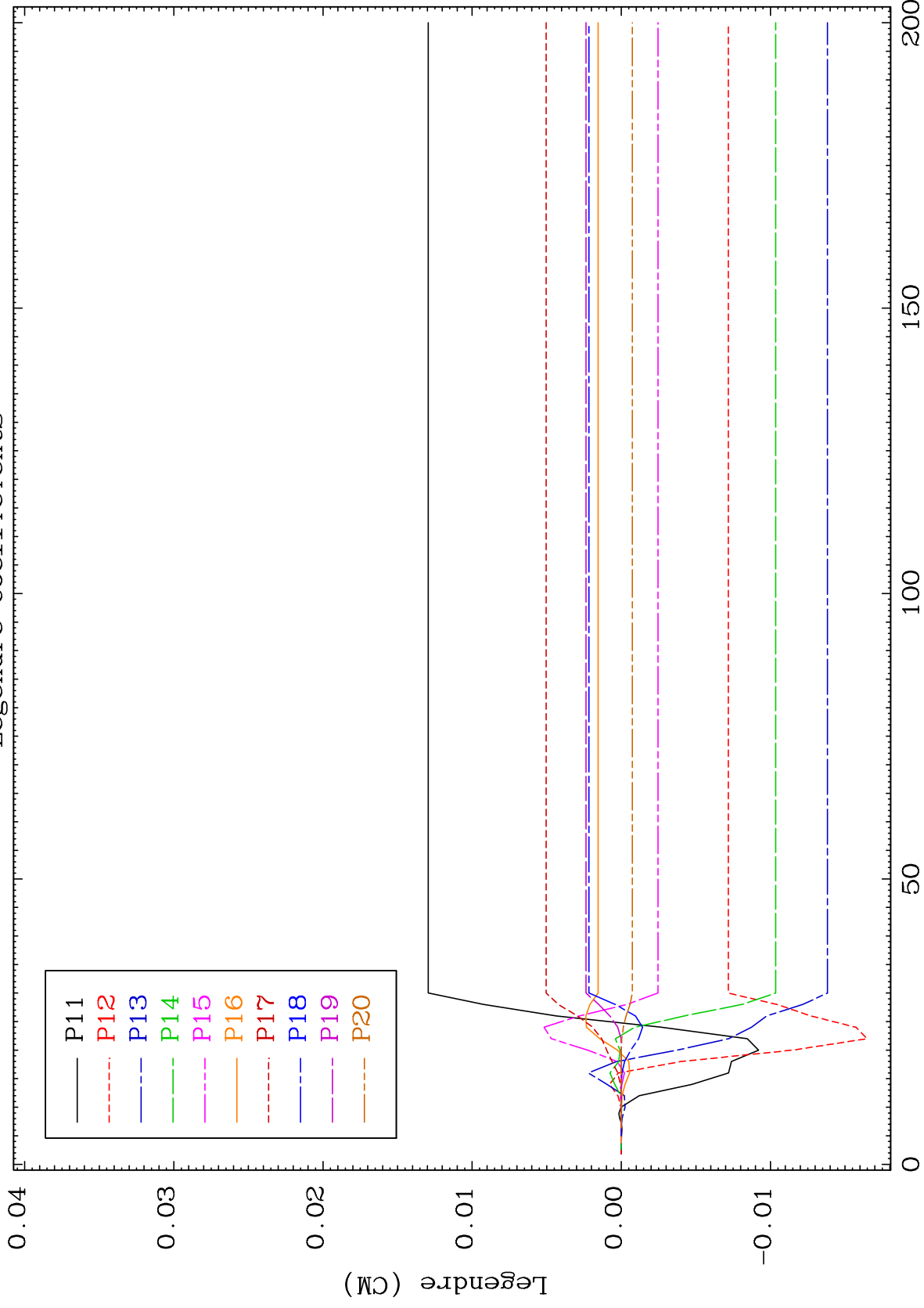
Incident Energy (MeV)

63

MAT 7928

359.4 keV (n,n') Level
Legendre Coefficients

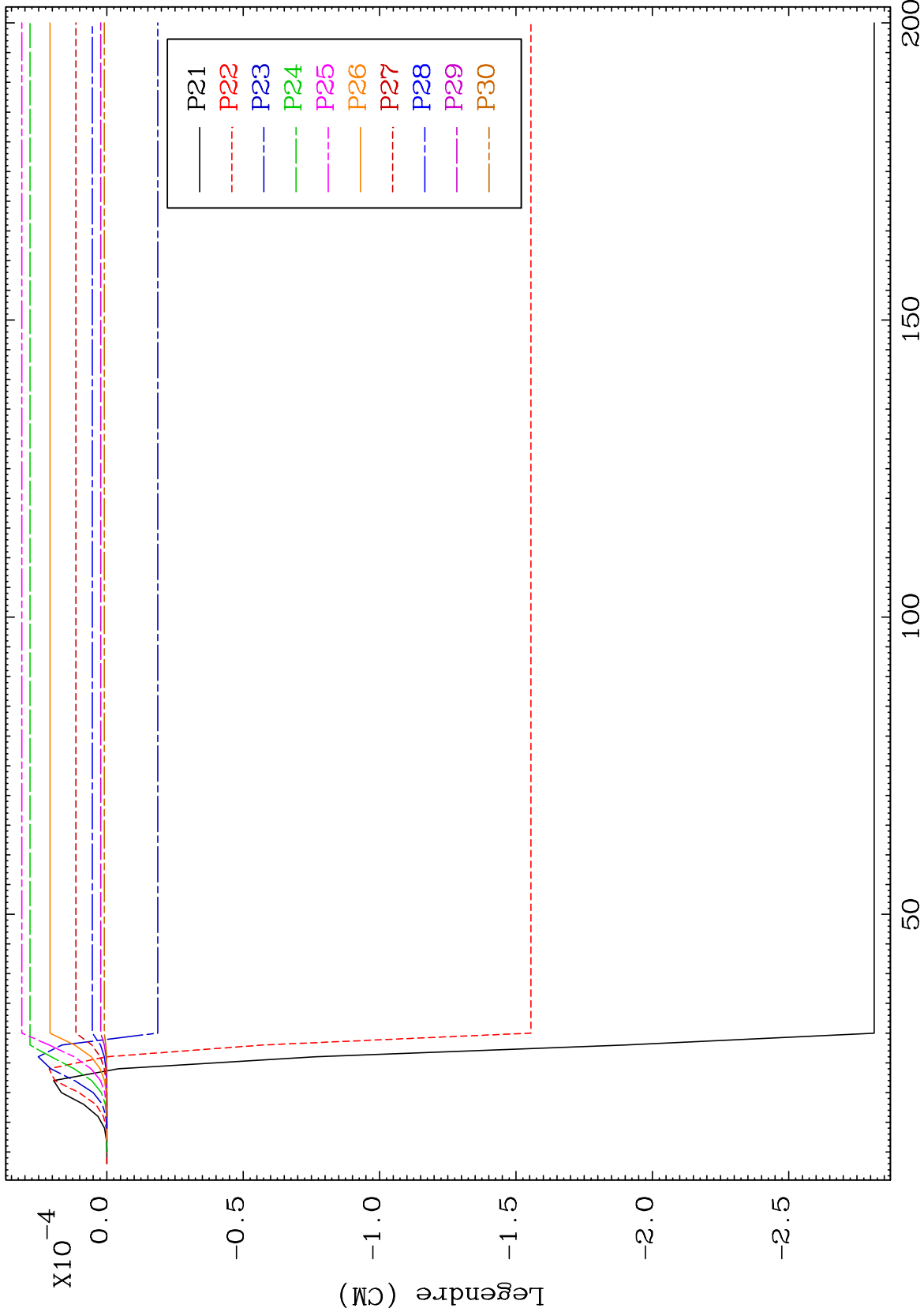
79-Au-198

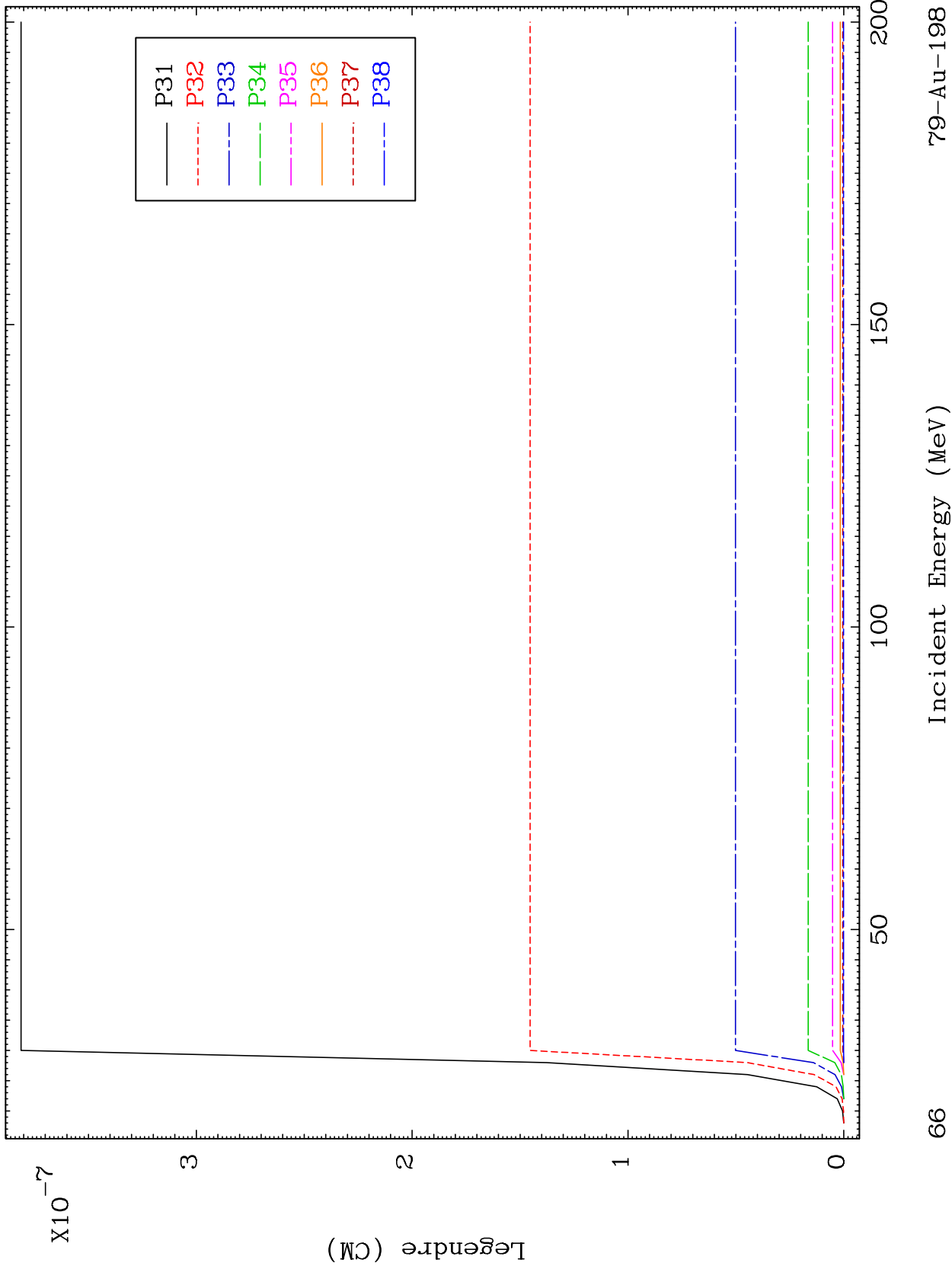


64

Incident Energy (MeV)

79-Au-198

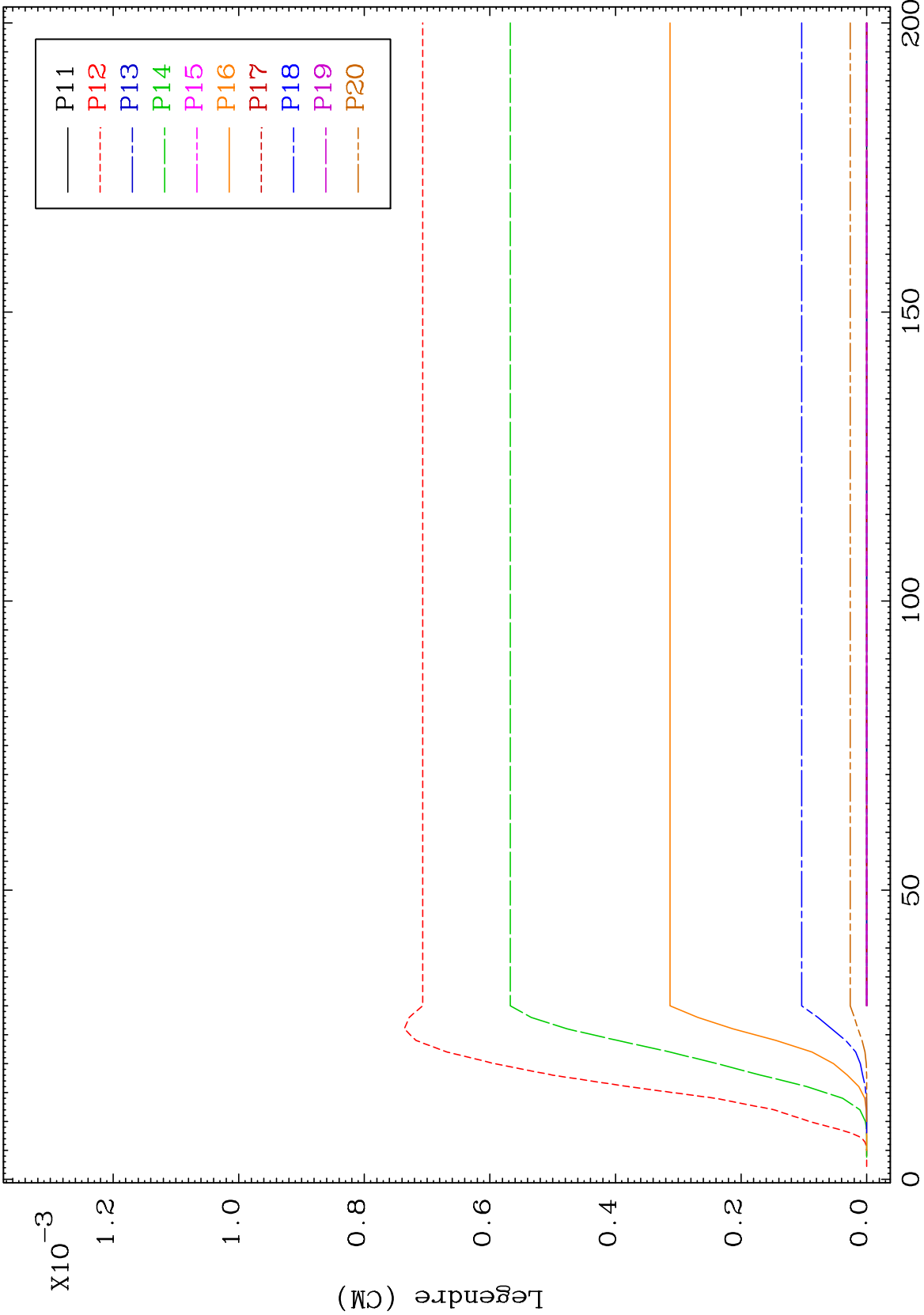




MAT 7928

362.9 keV (n,n') Level
Legendre Coefficients

79-Au-198



68

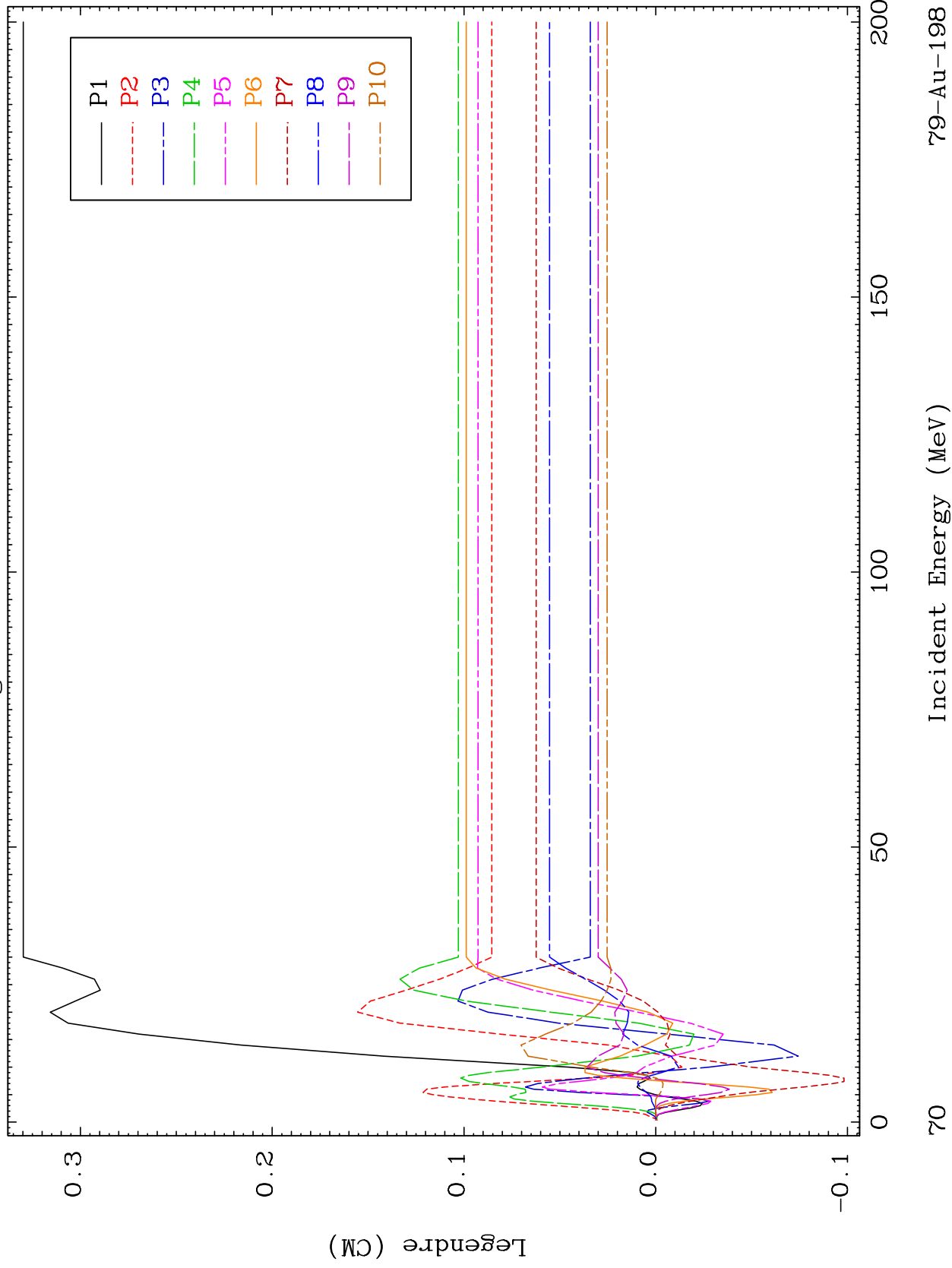
Incident Energy (MeV)

79-Au-198

MAT 7928

368.3 keV (n,n') Level
Legendre Coefficients

79-Au-198

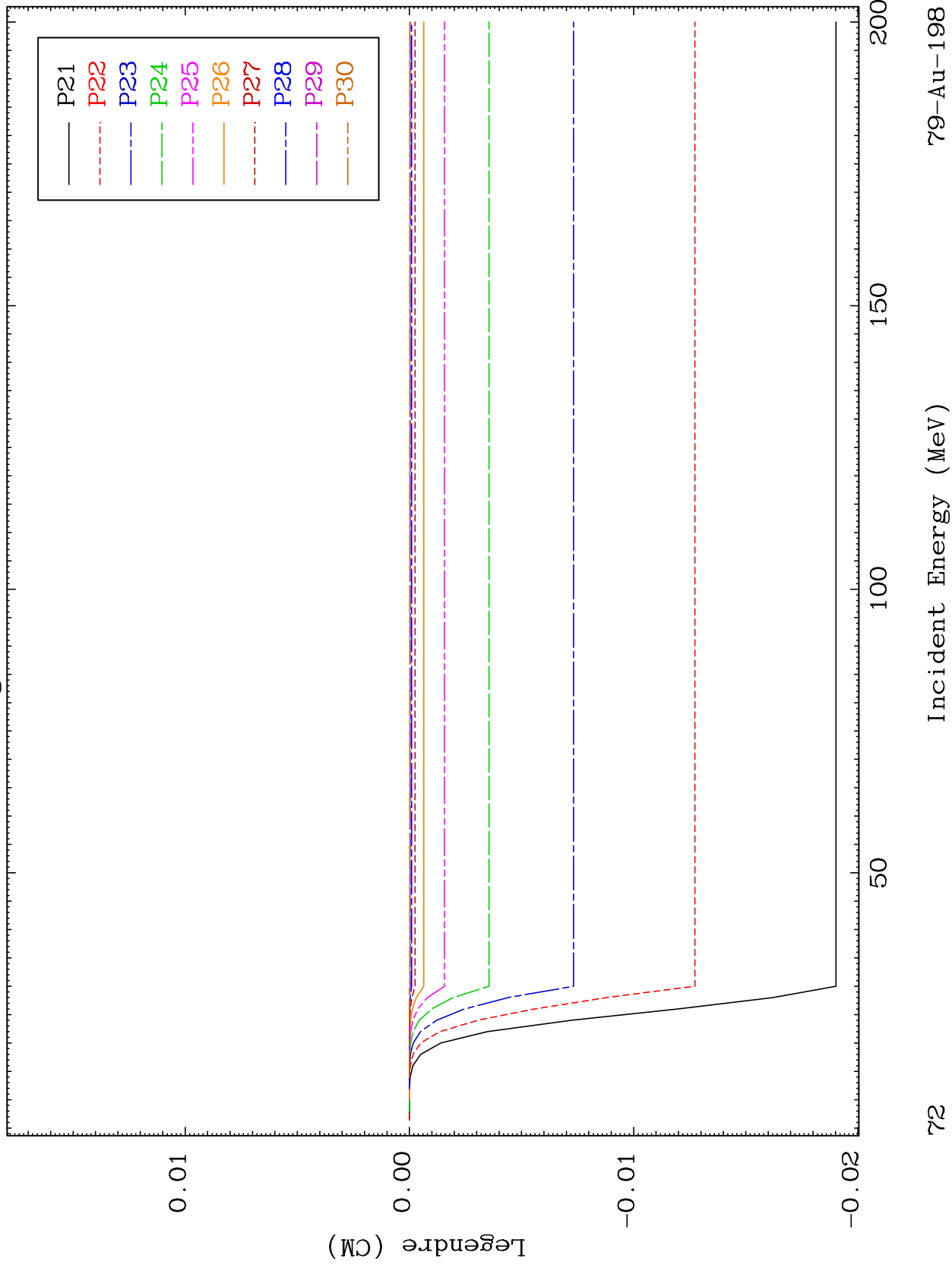


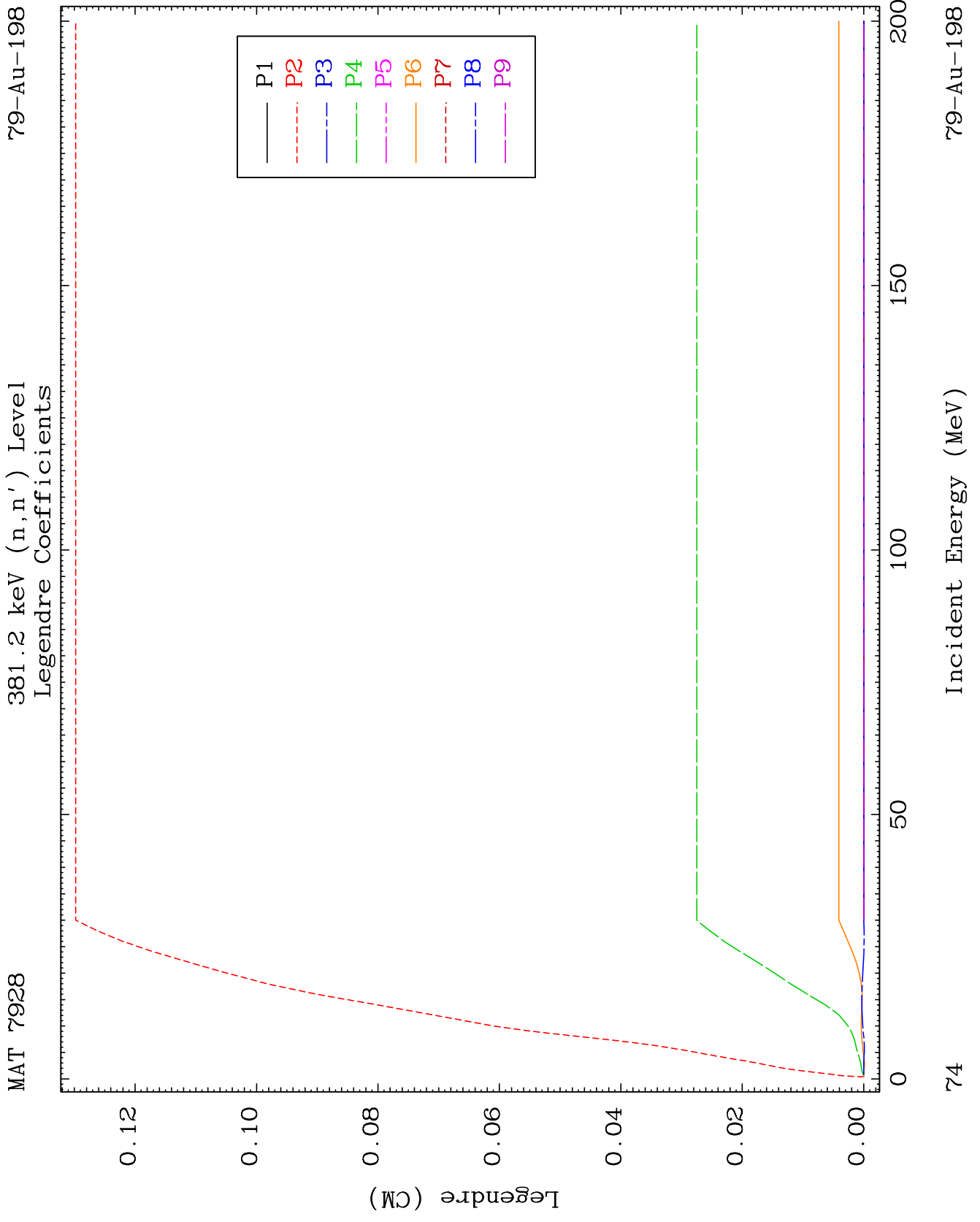
79-Au-198

MAT 7928

368.3 keV (n,n') Level
Legendre Coefficients

79-Au-198

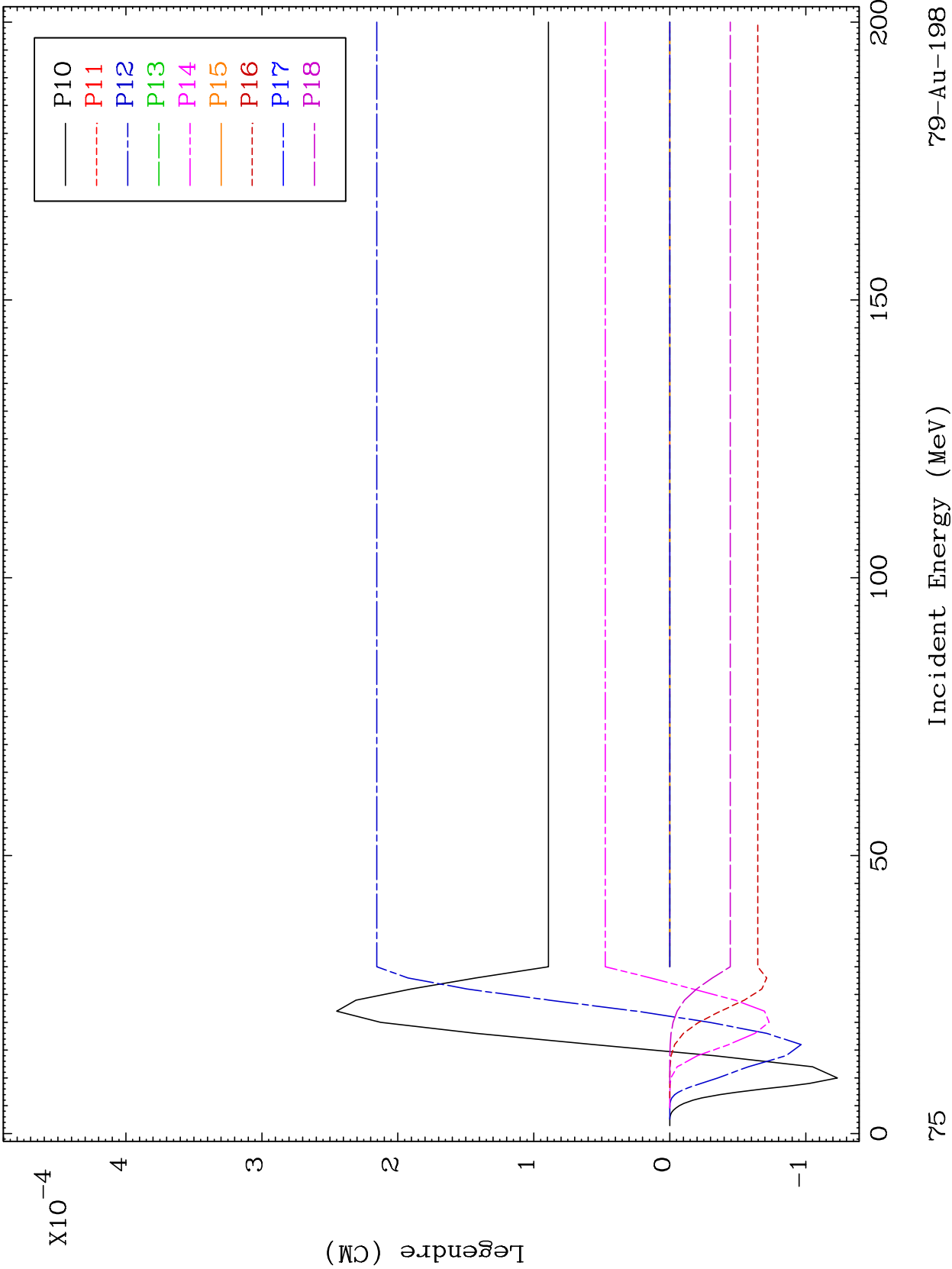




MAT 7928

381.2 keV (n,n') Level
Legendre Coefficients

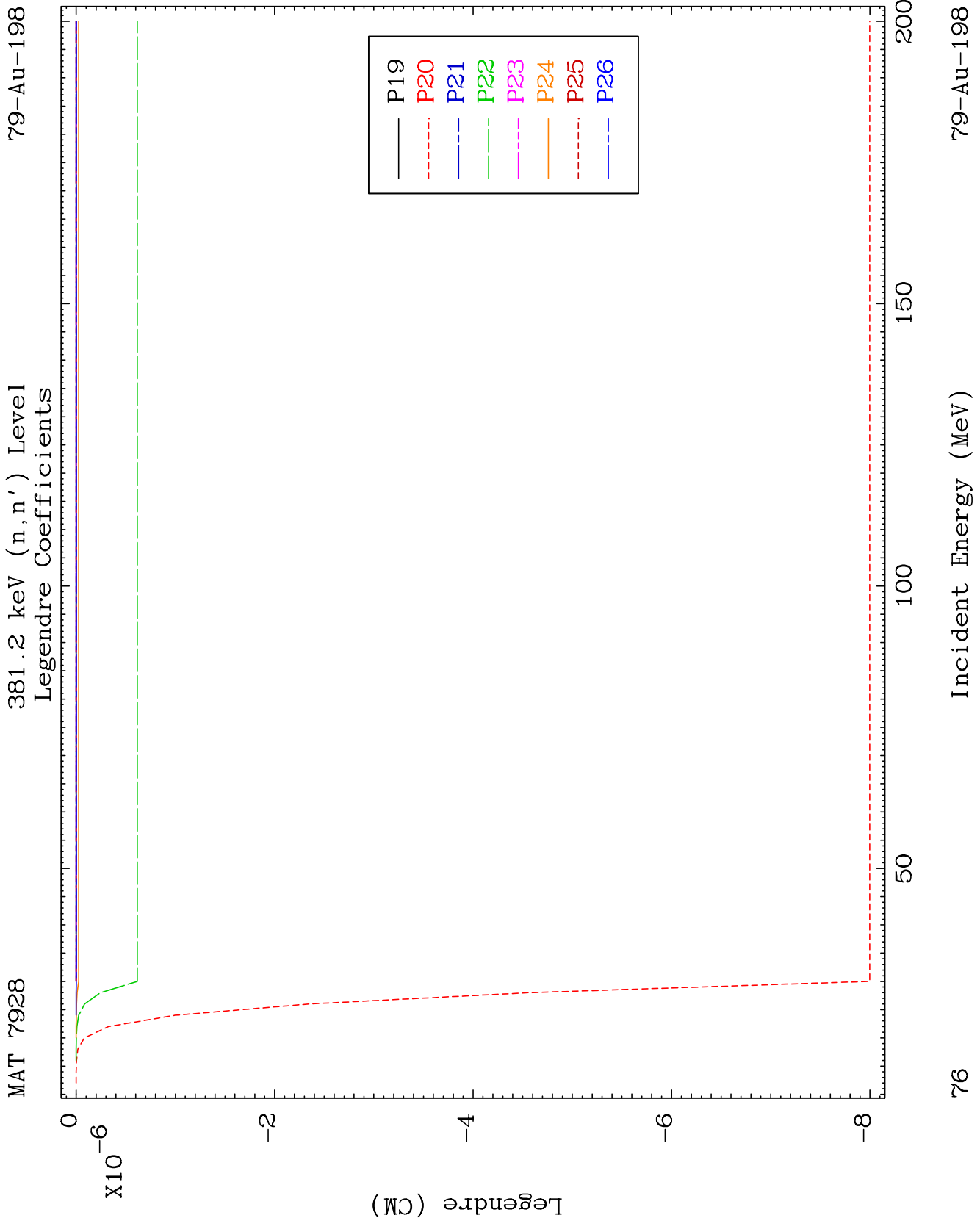
79-Au-198

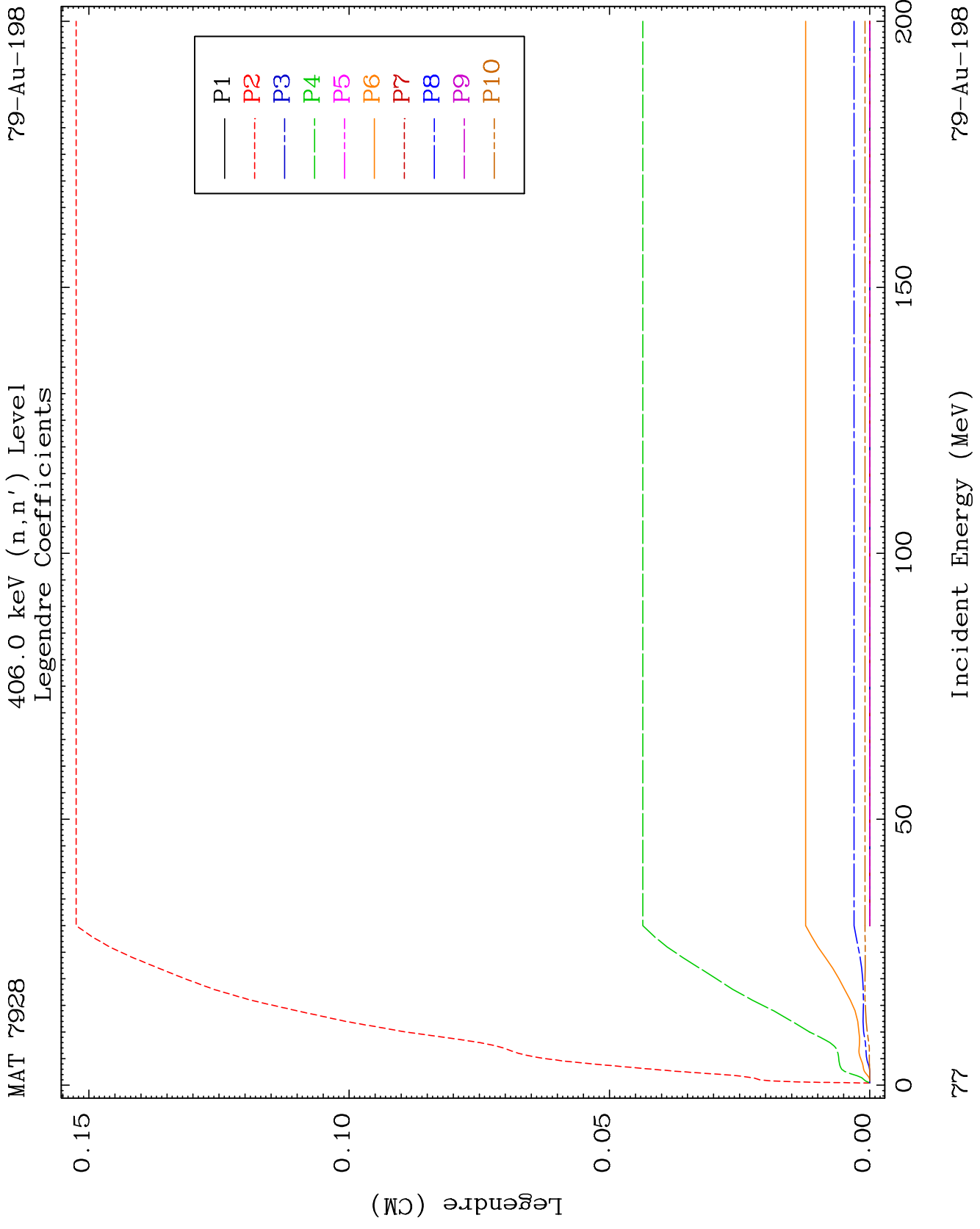


79-Au-198

Incident Energy (MeV)

75

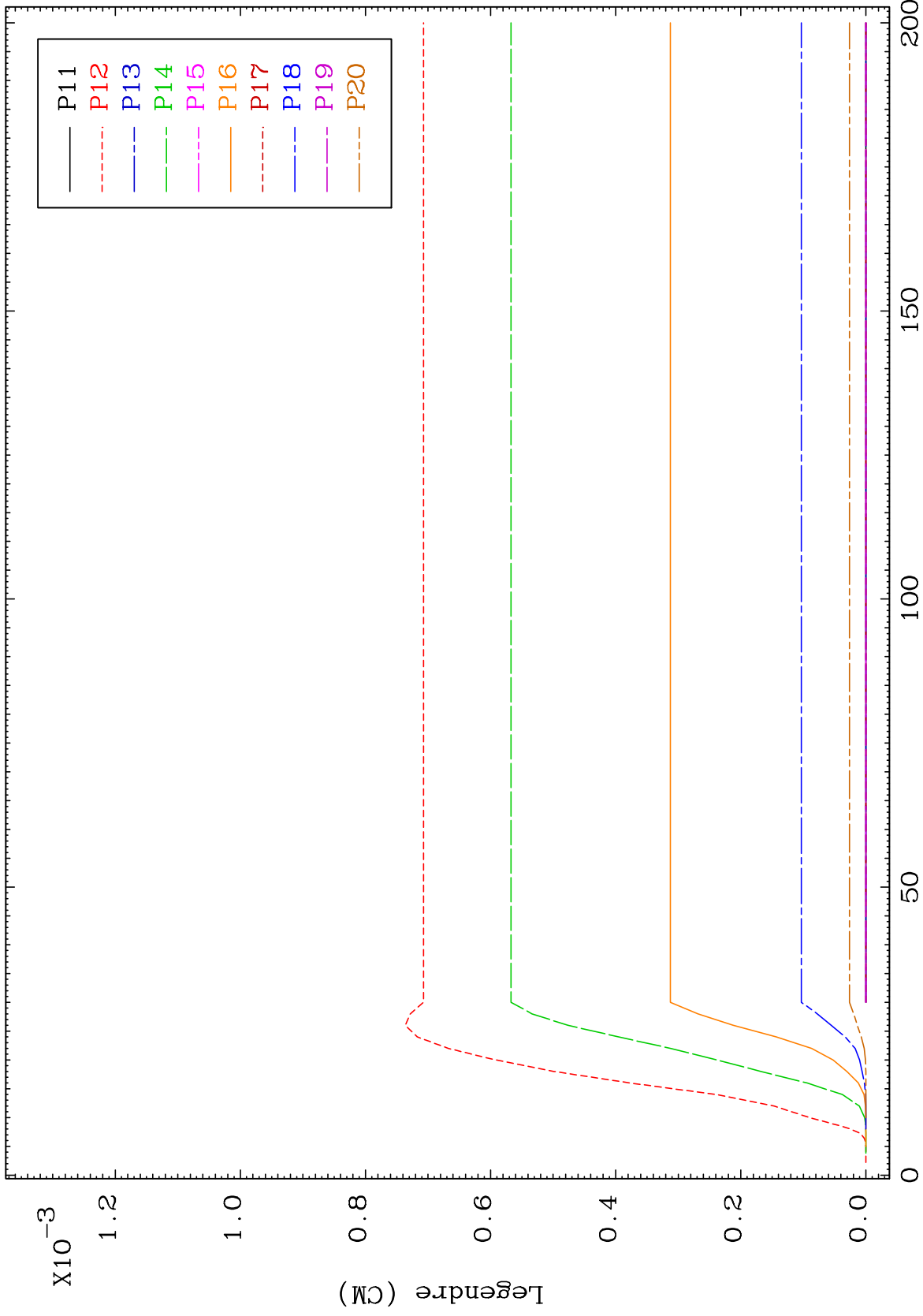




MAT 7928

406.0 keV (n,n') Level
Legendre Coefficients

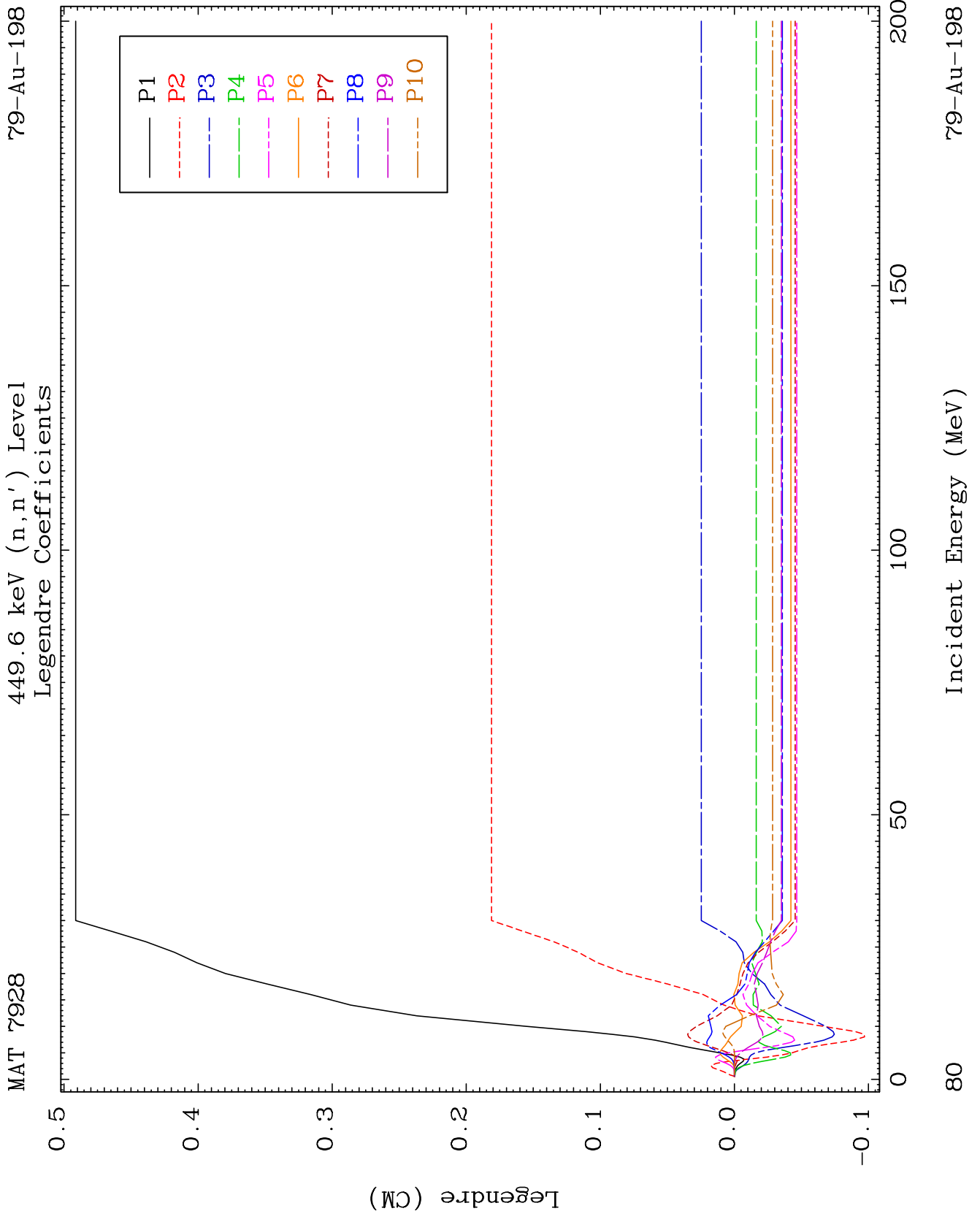
79-Au-198



78

Incident Energy (MeV)

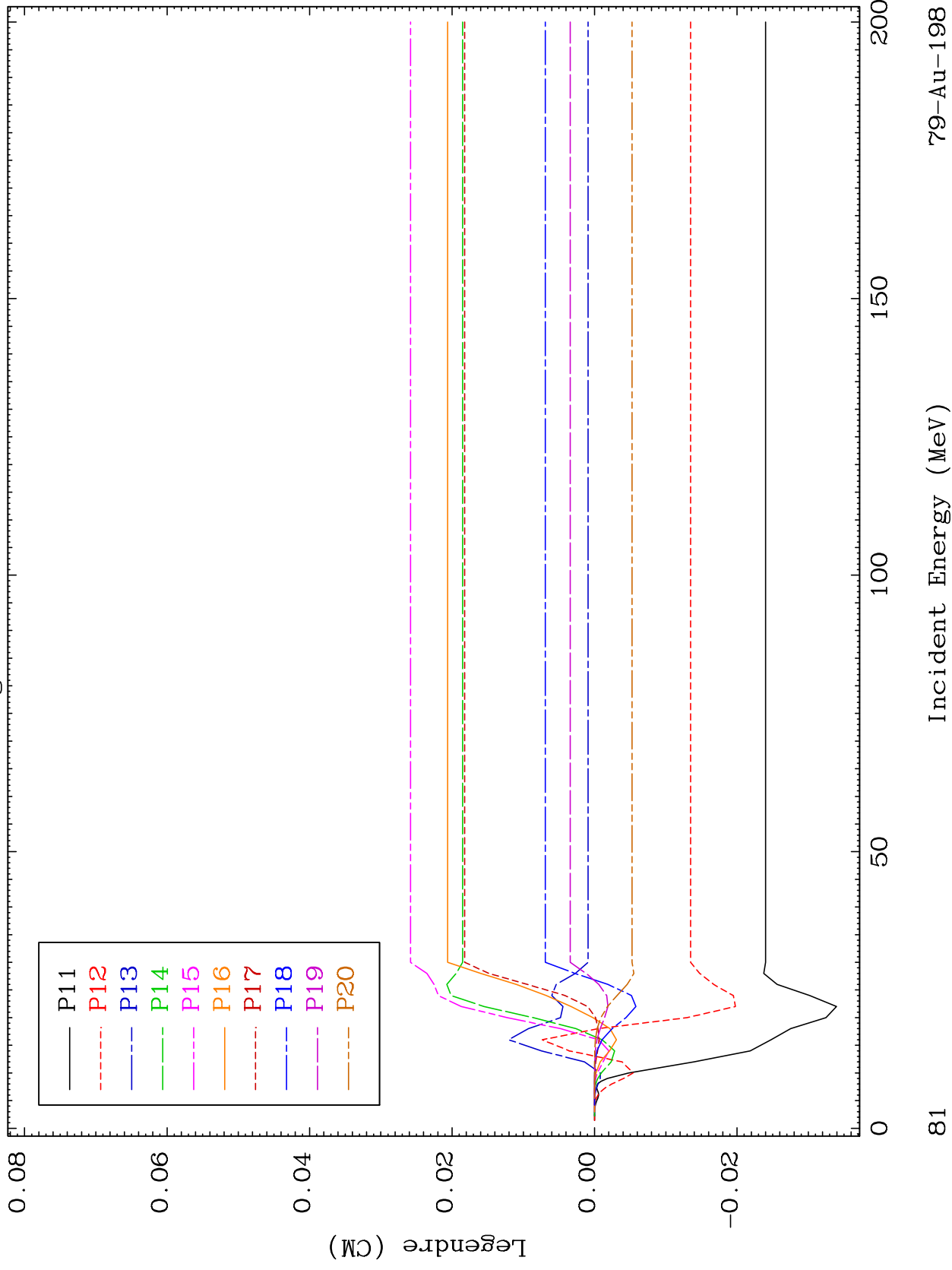
79-Au-198



MAT 7928

449.6 keV (n,n') Level
Legendre Coefficients

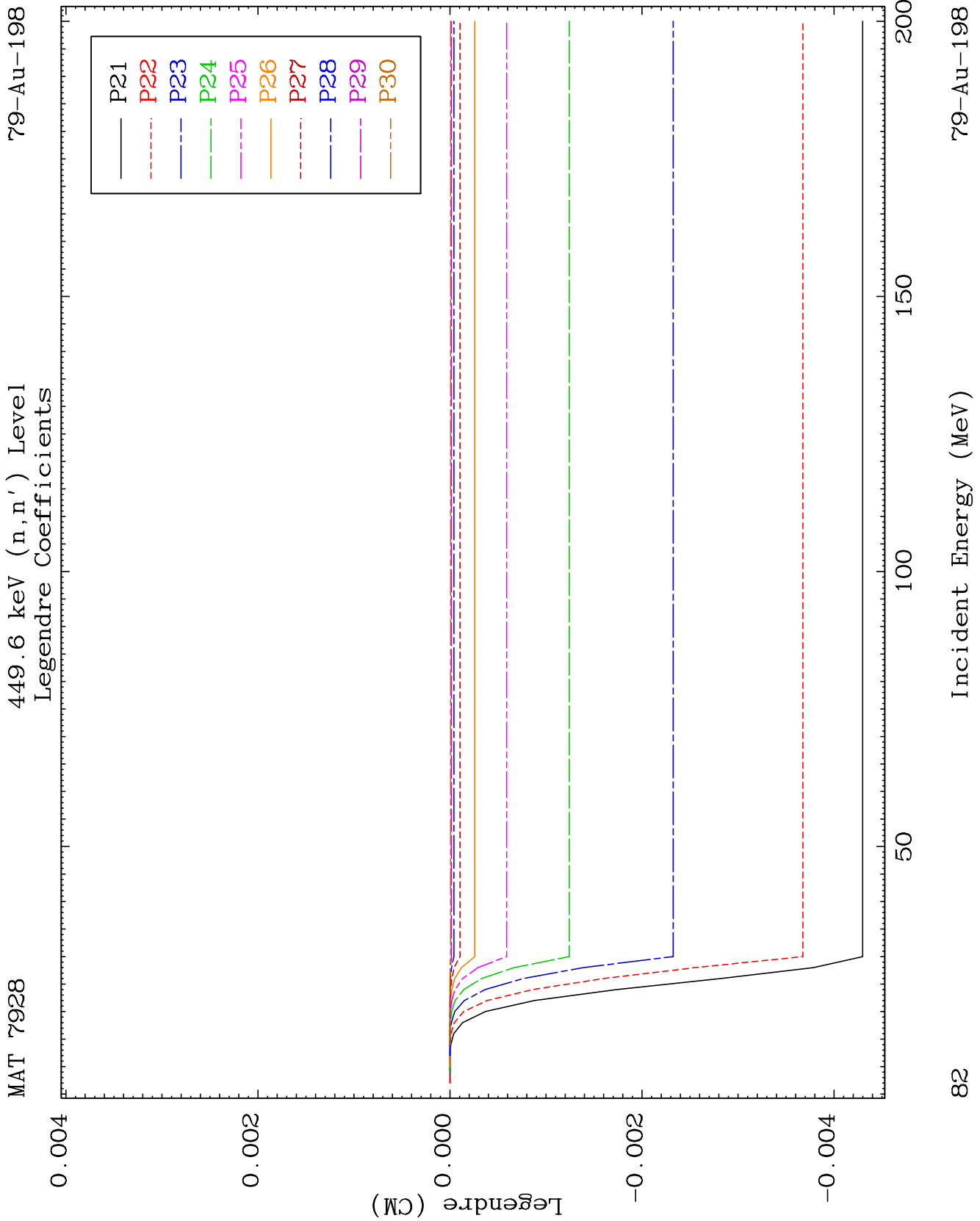
79-Au-198

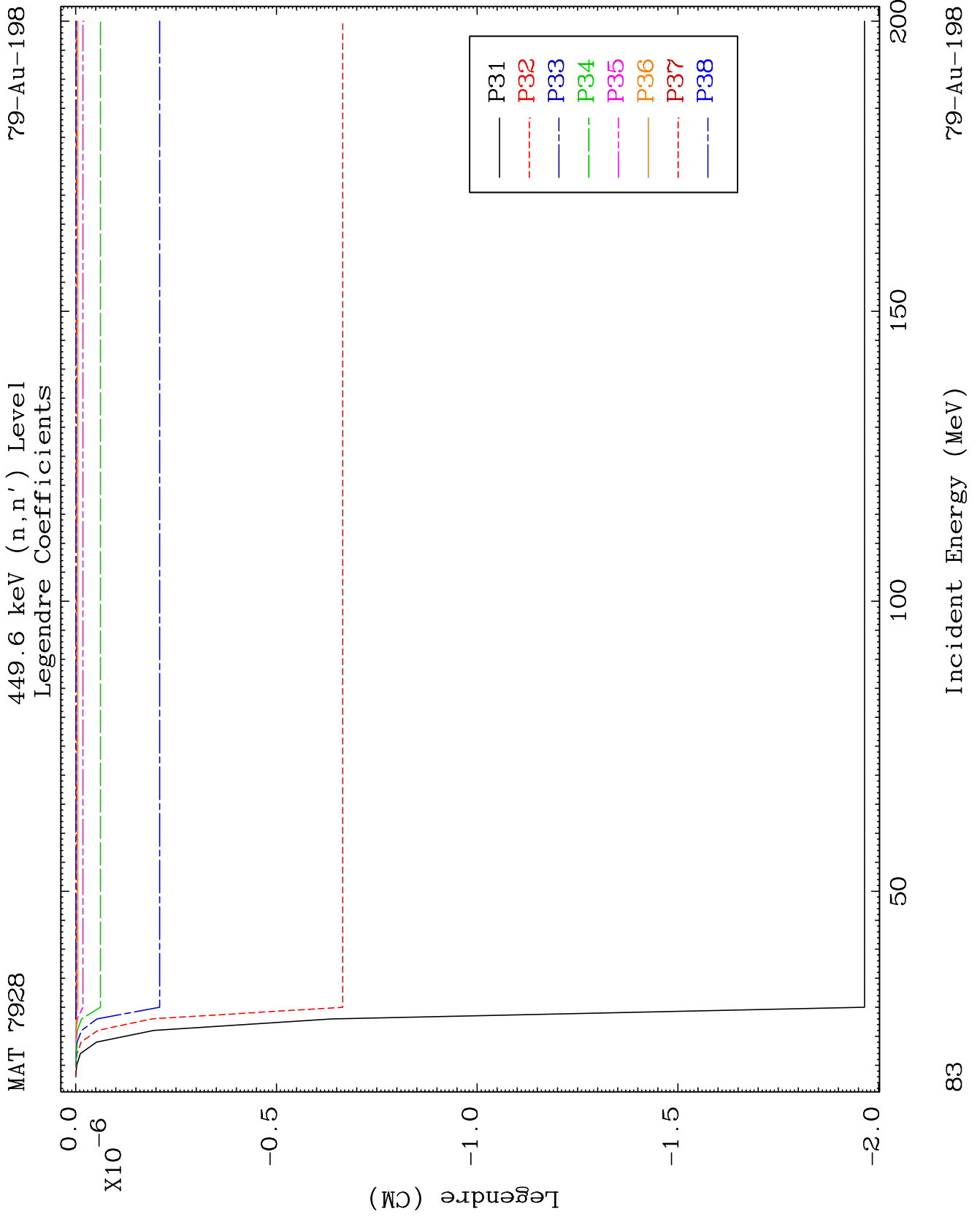


81

Incident Energy (MeV)

79-Au-198

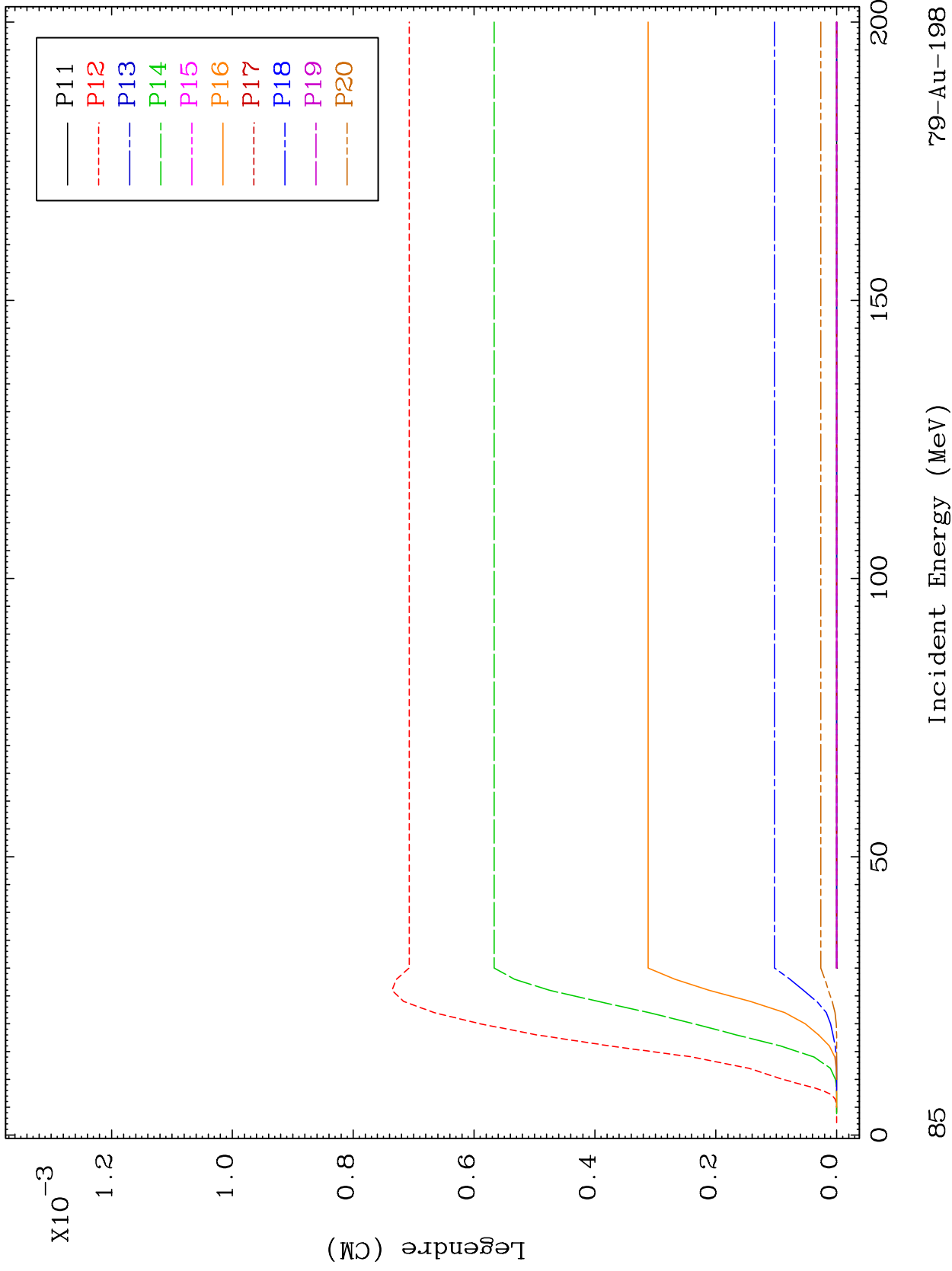




MAT 7928

453.8 keV (n,n') Level
Legendre Coefficients

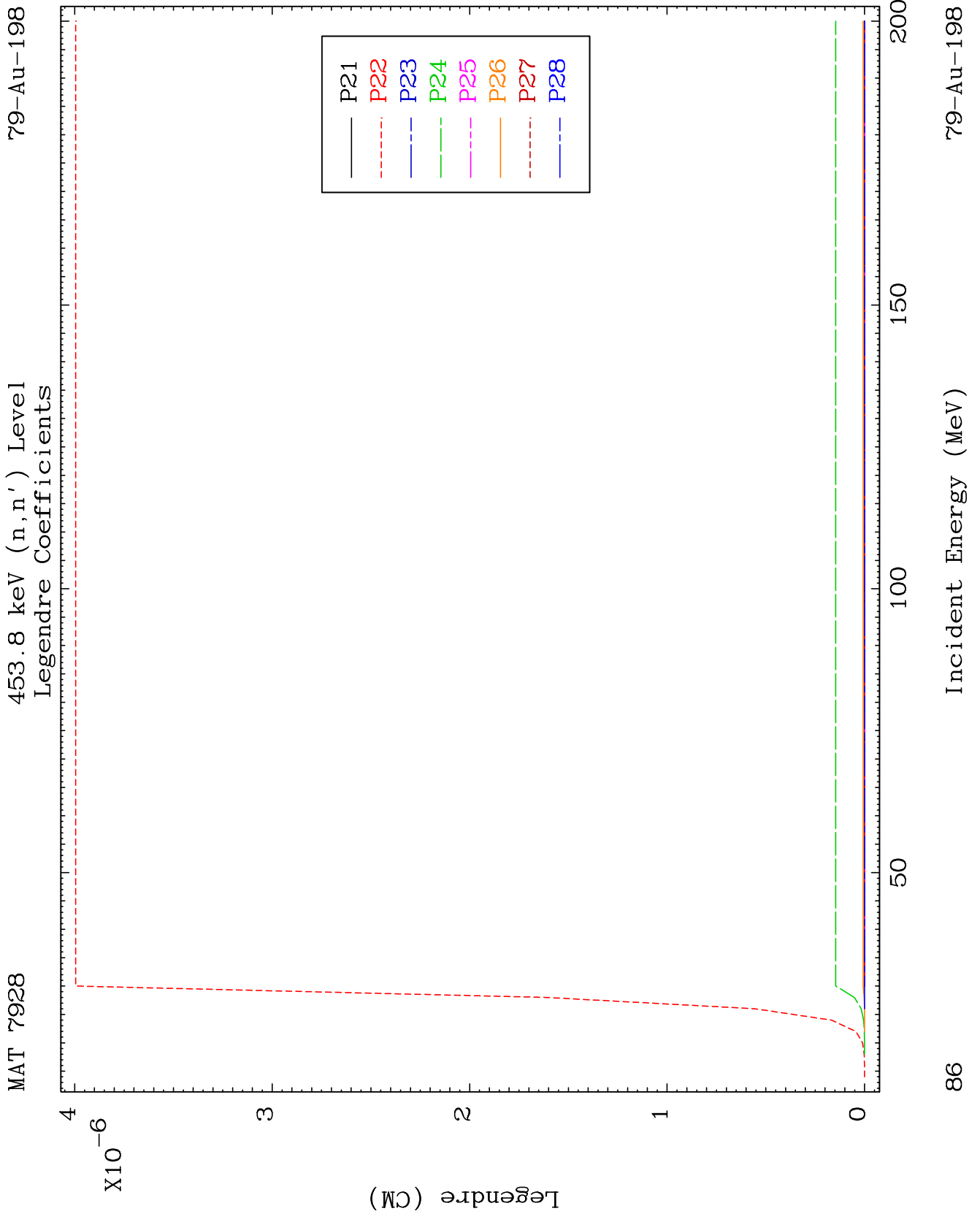
79-Au-198

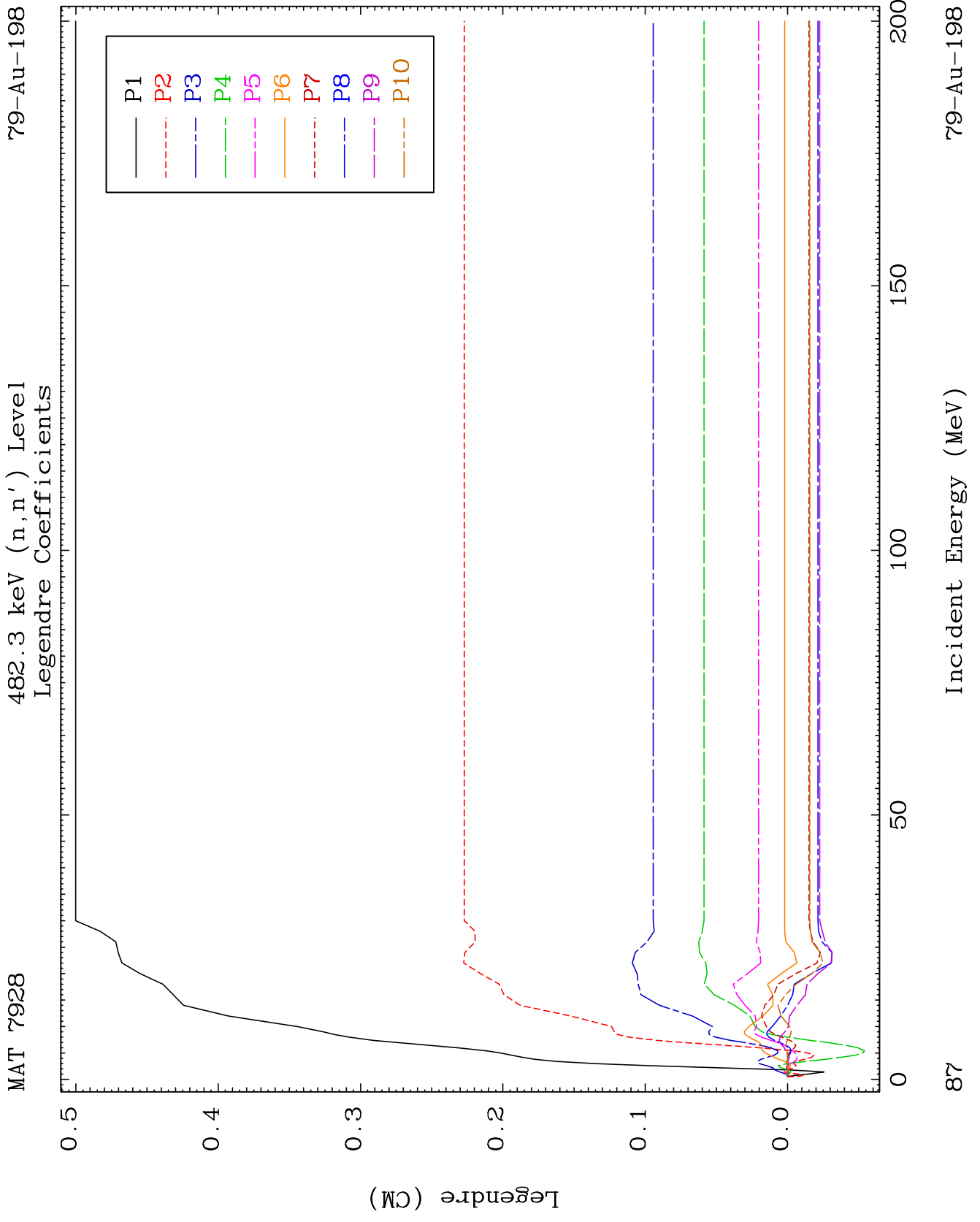


85

Incident Energy (MeV)

79-Au-198

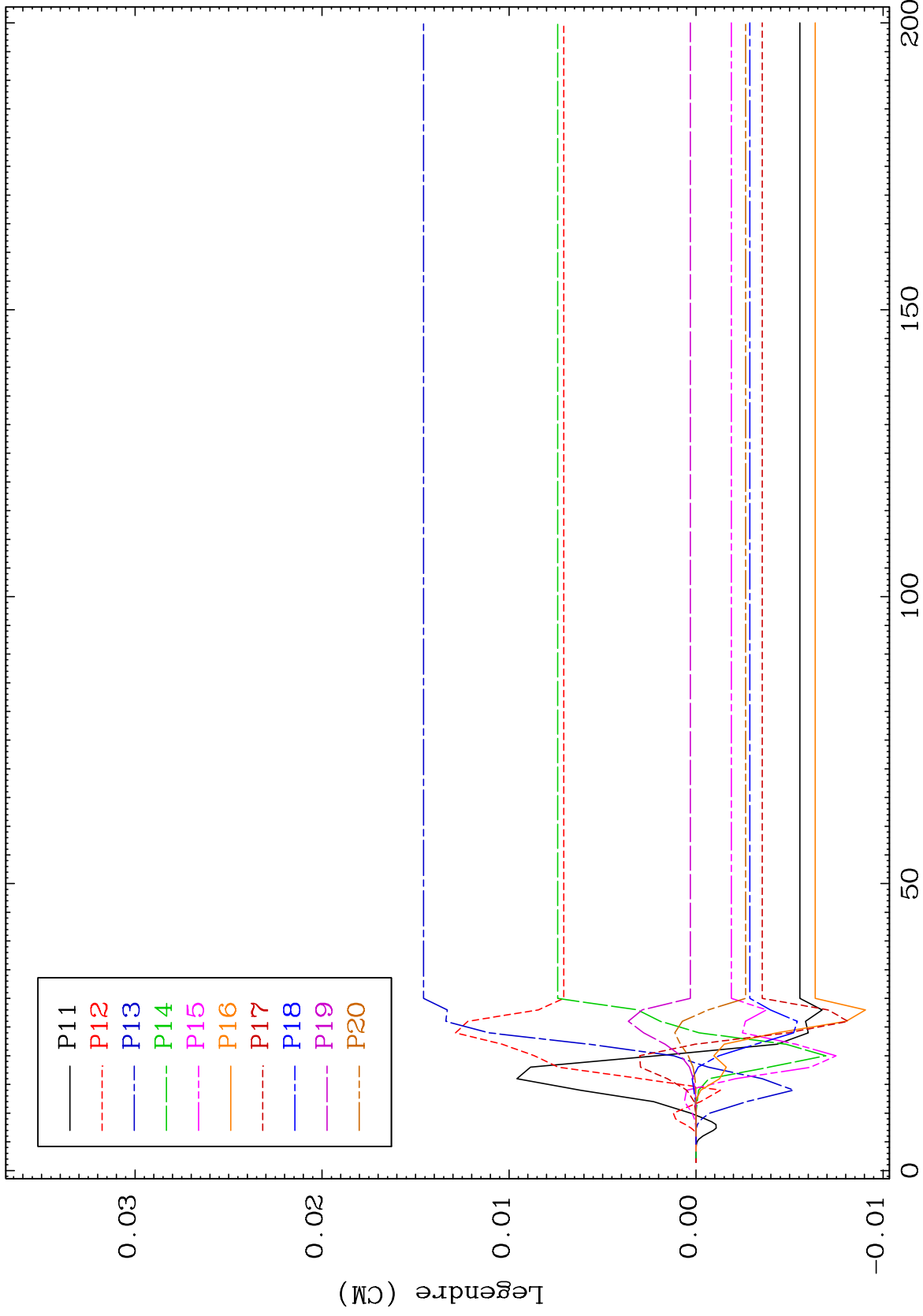




MAT 7928

482.3 keV (n,n') Level
Legendre Coefficients

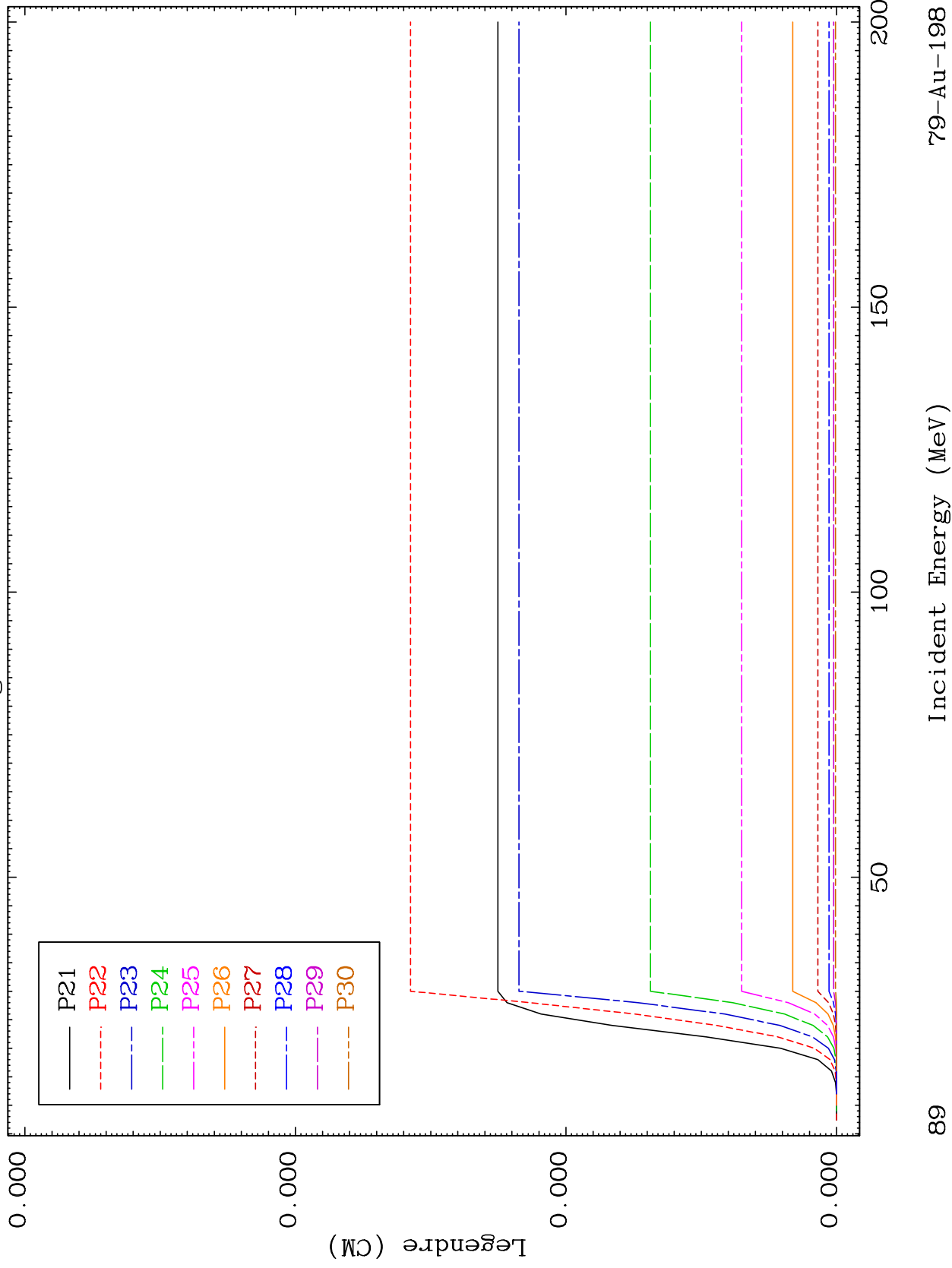
79-Au-198



88

Incident Energy (MeV)

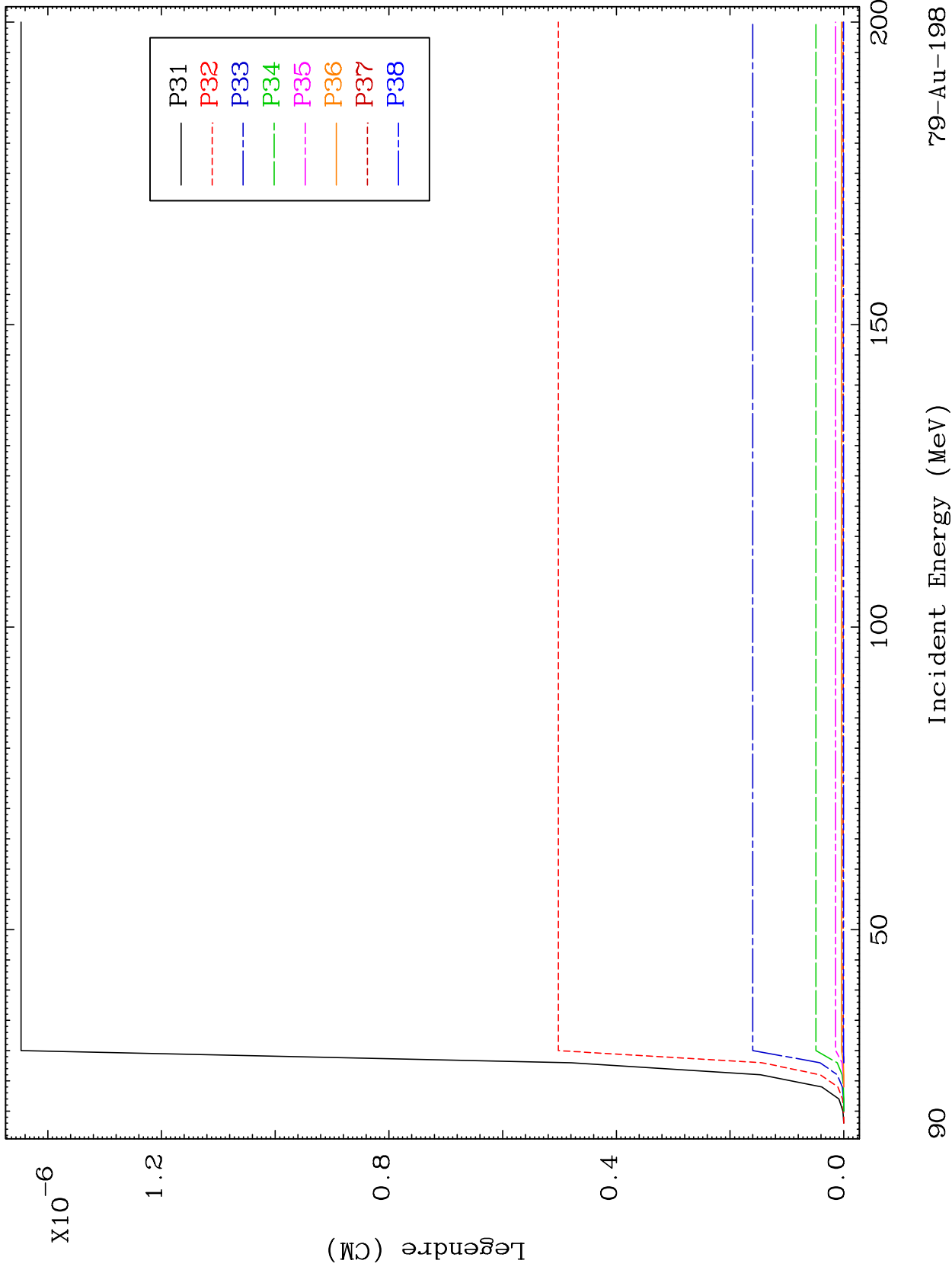
79-Au-198

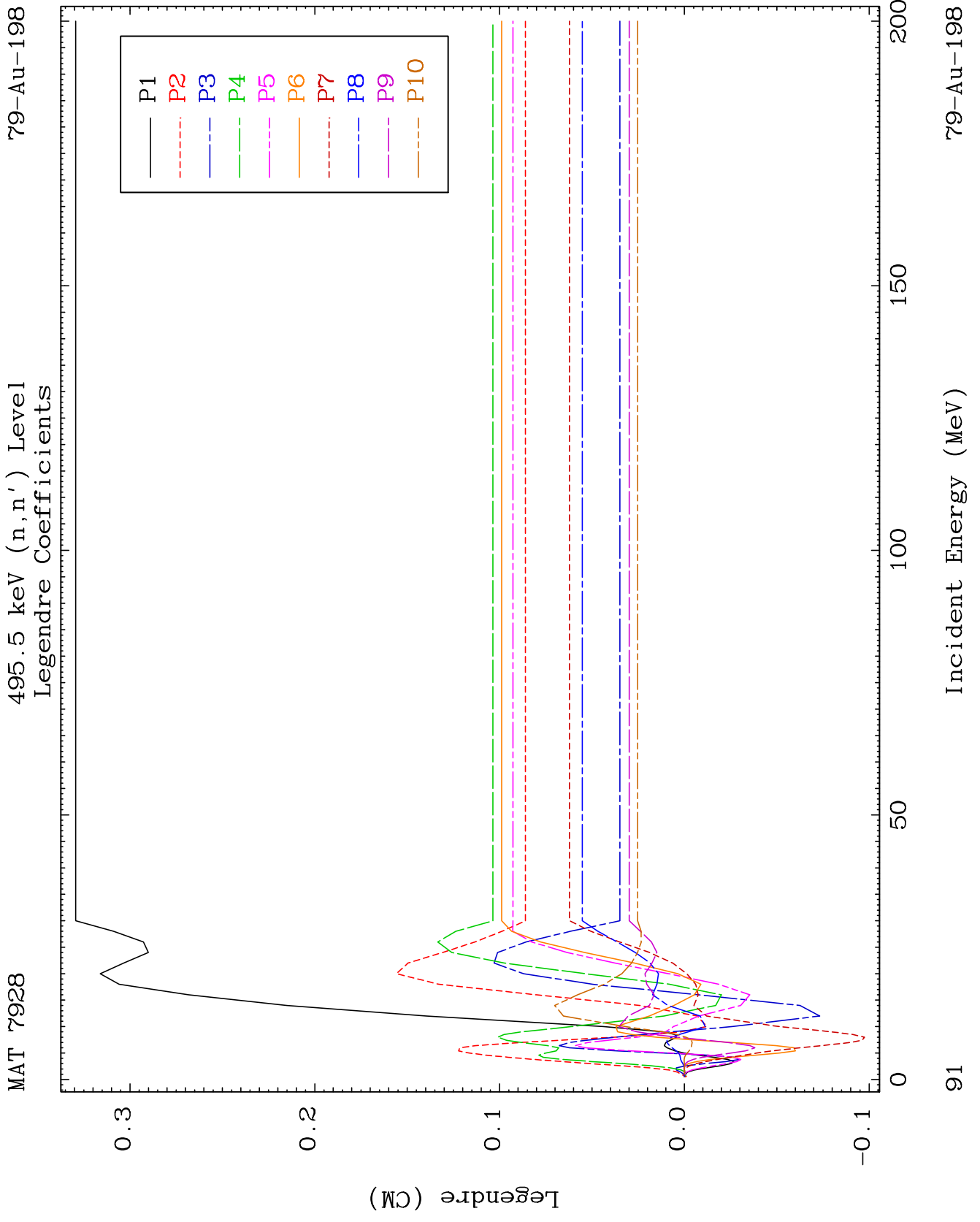


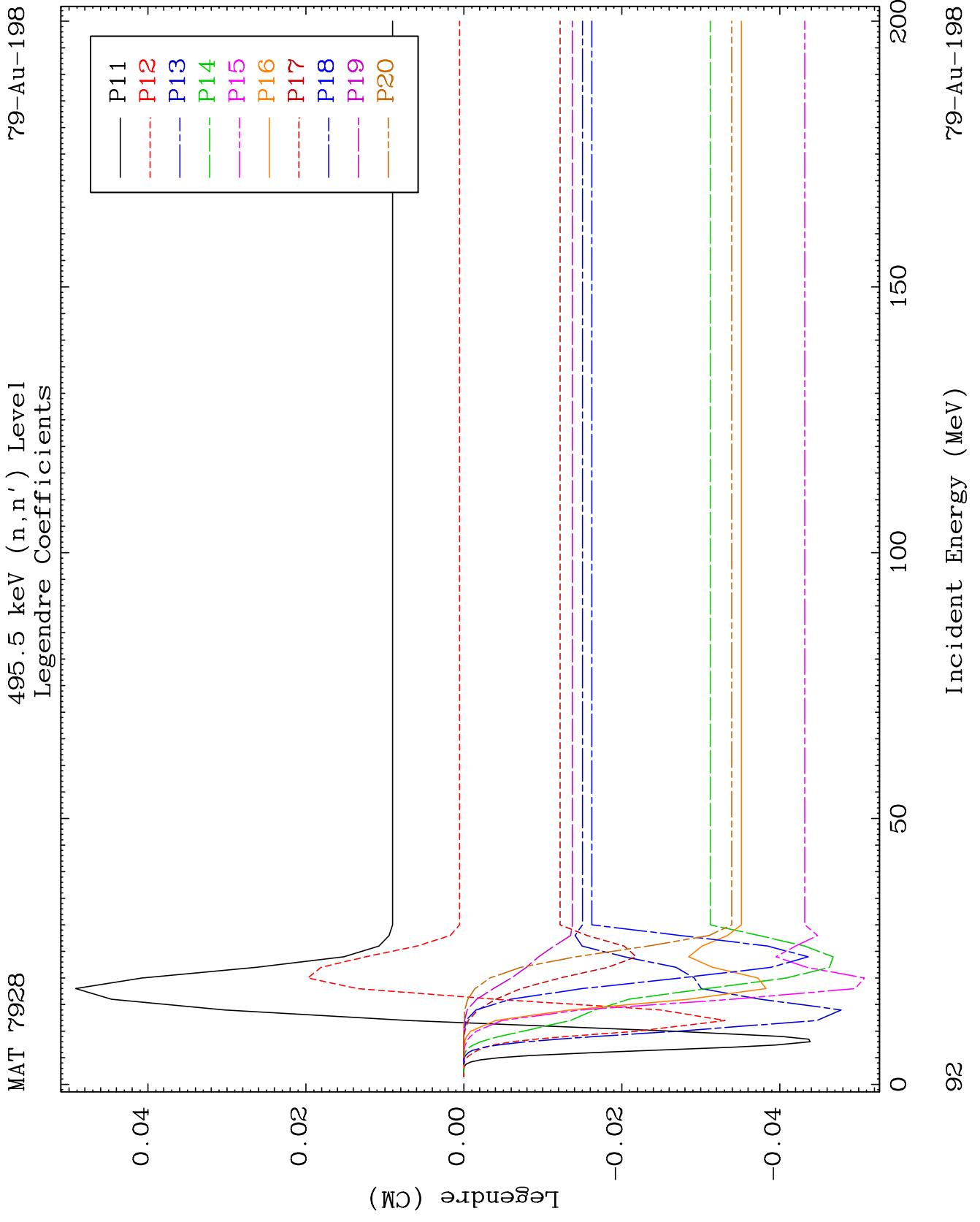
MAT 7928

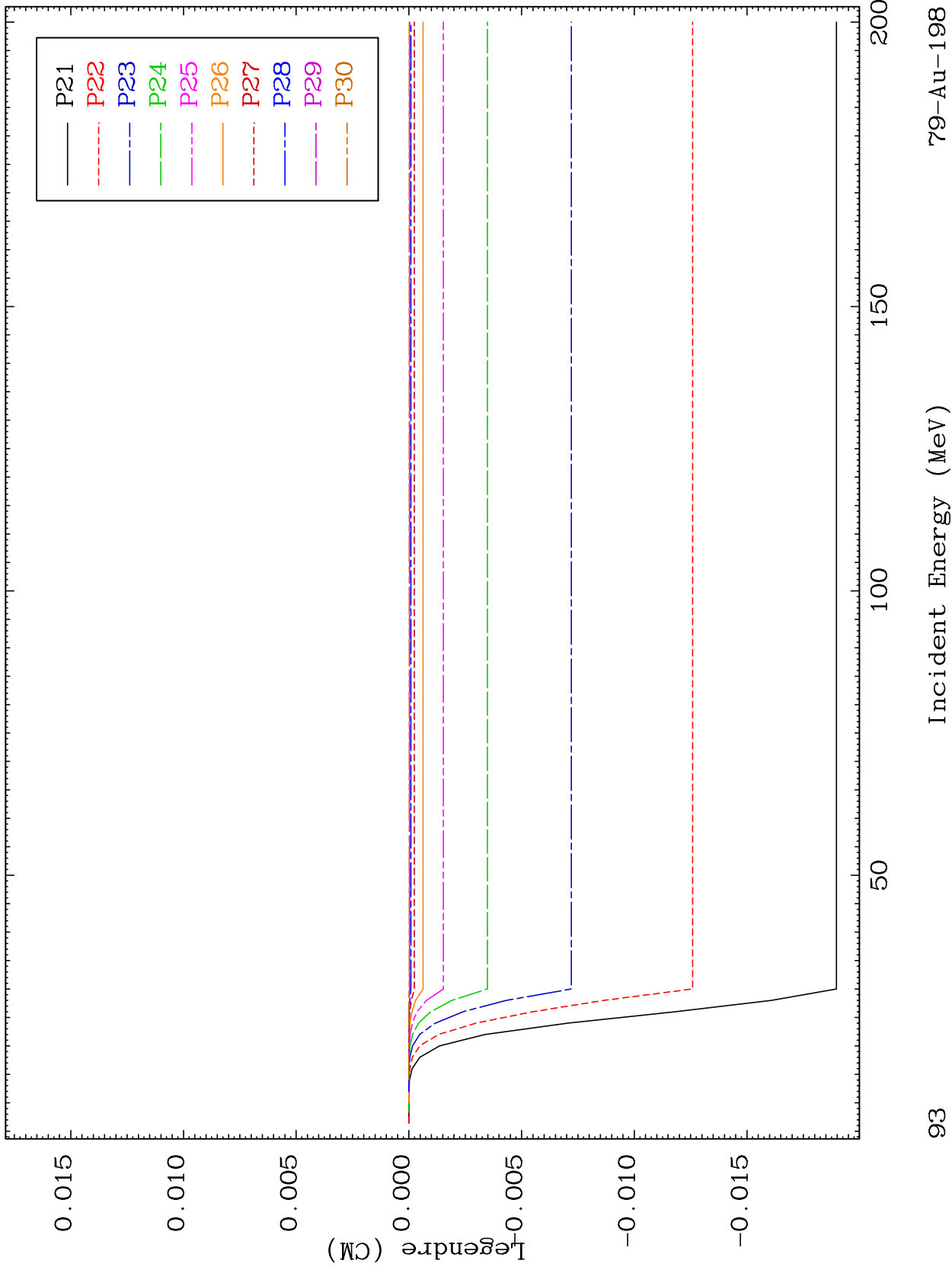
482.3 keV (n,n') Level
Legendre Coefficients

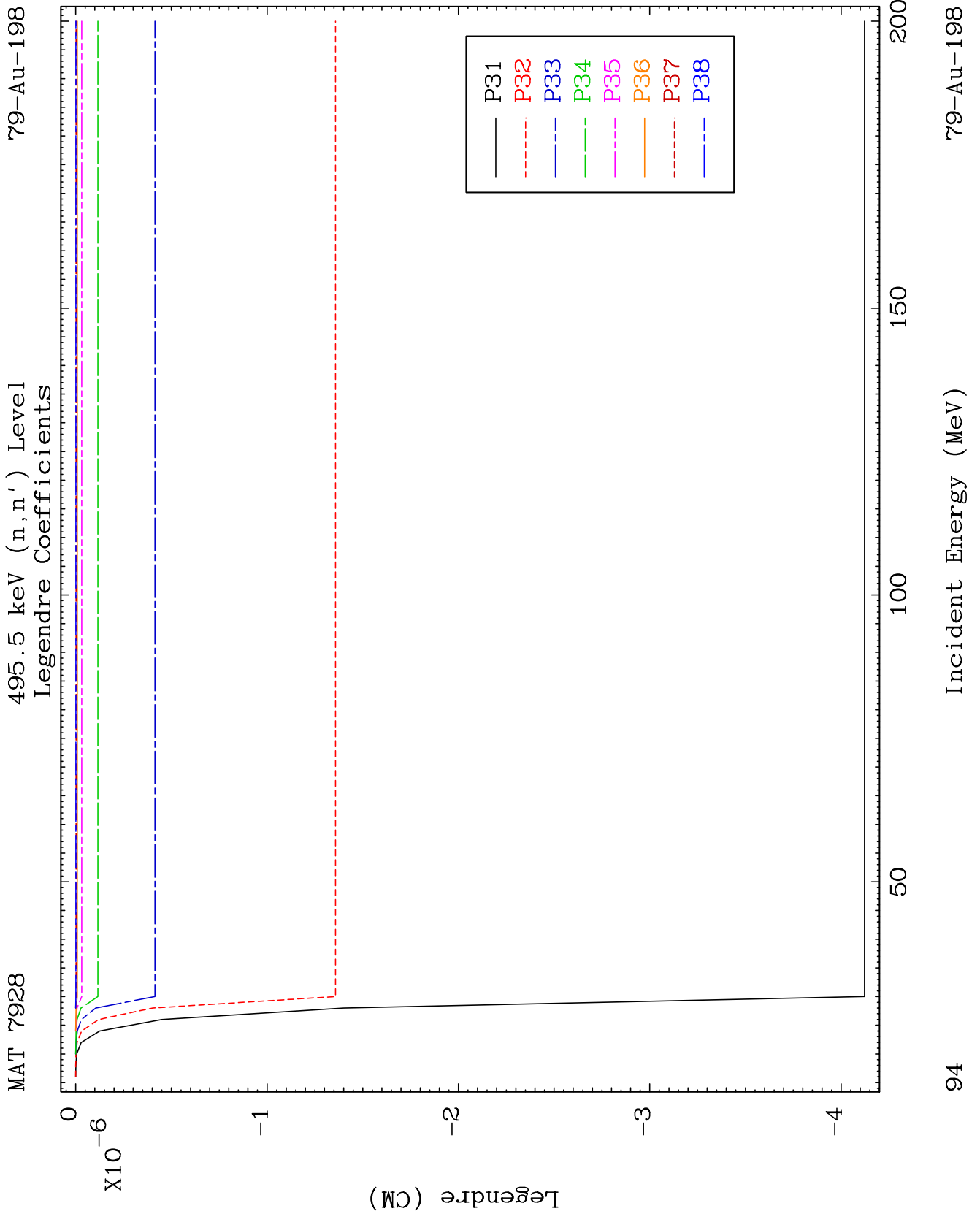
79-Au-198

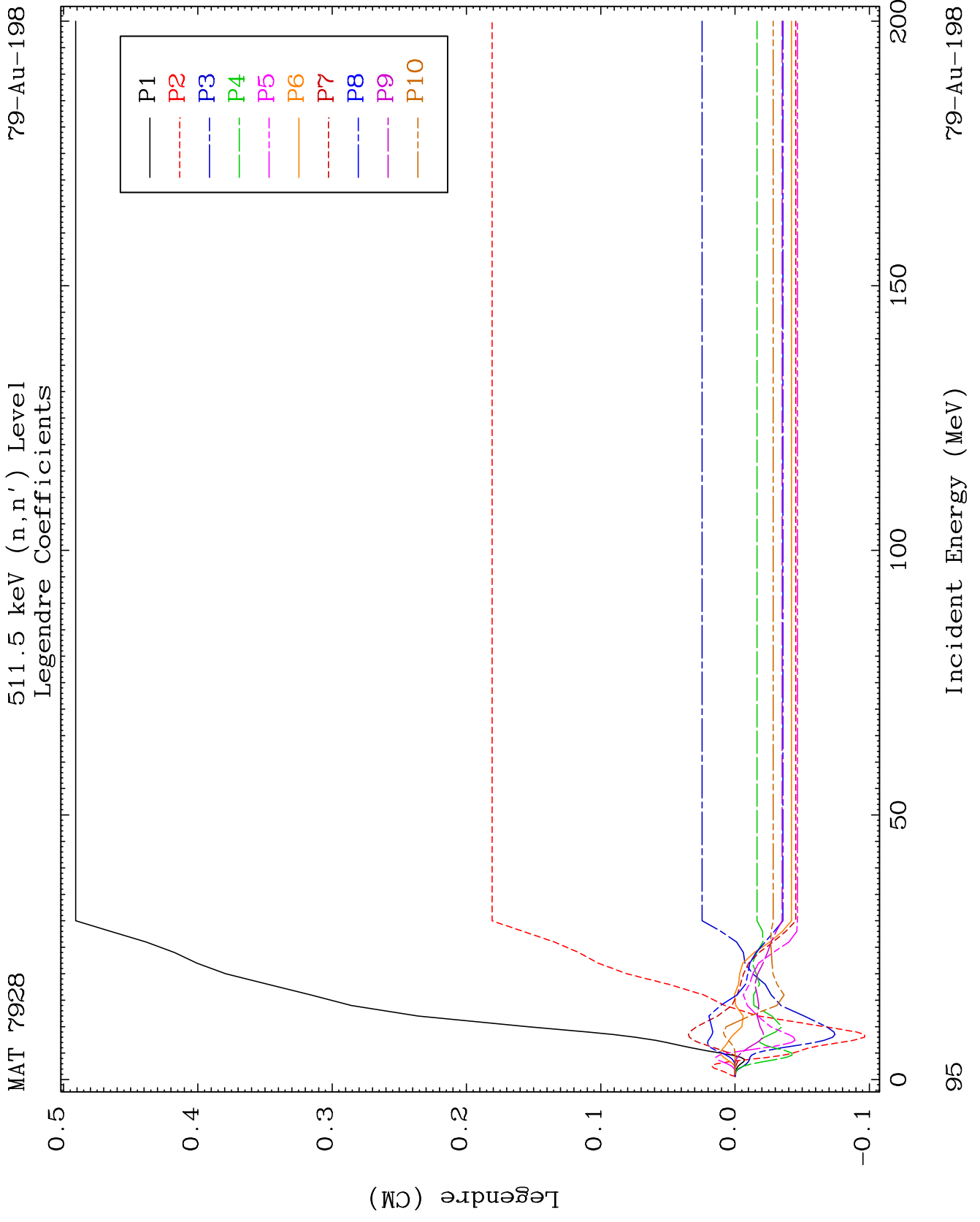








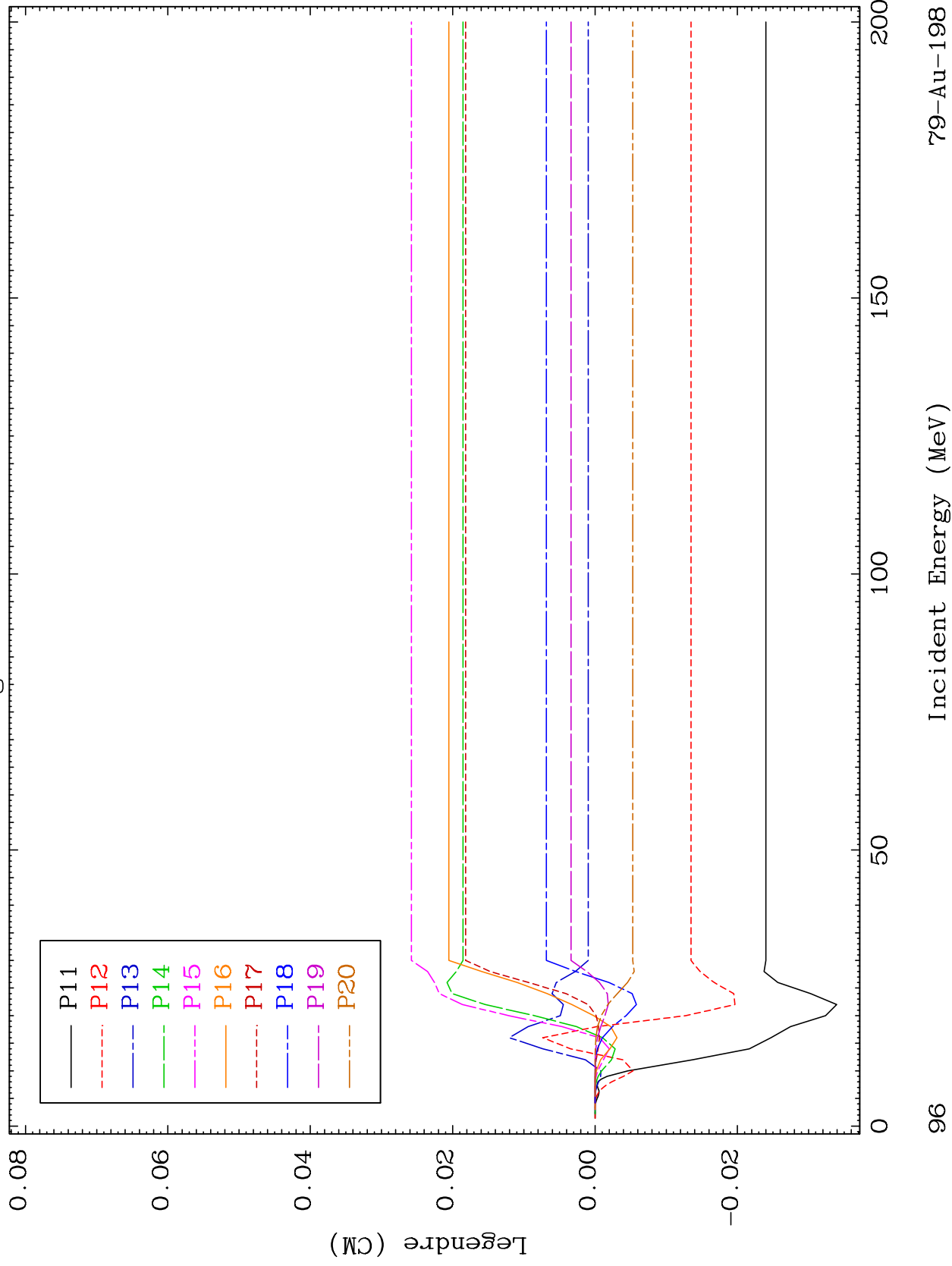




MAT 7928

511.5 keV (n,n') Level
Legendre Coefficients

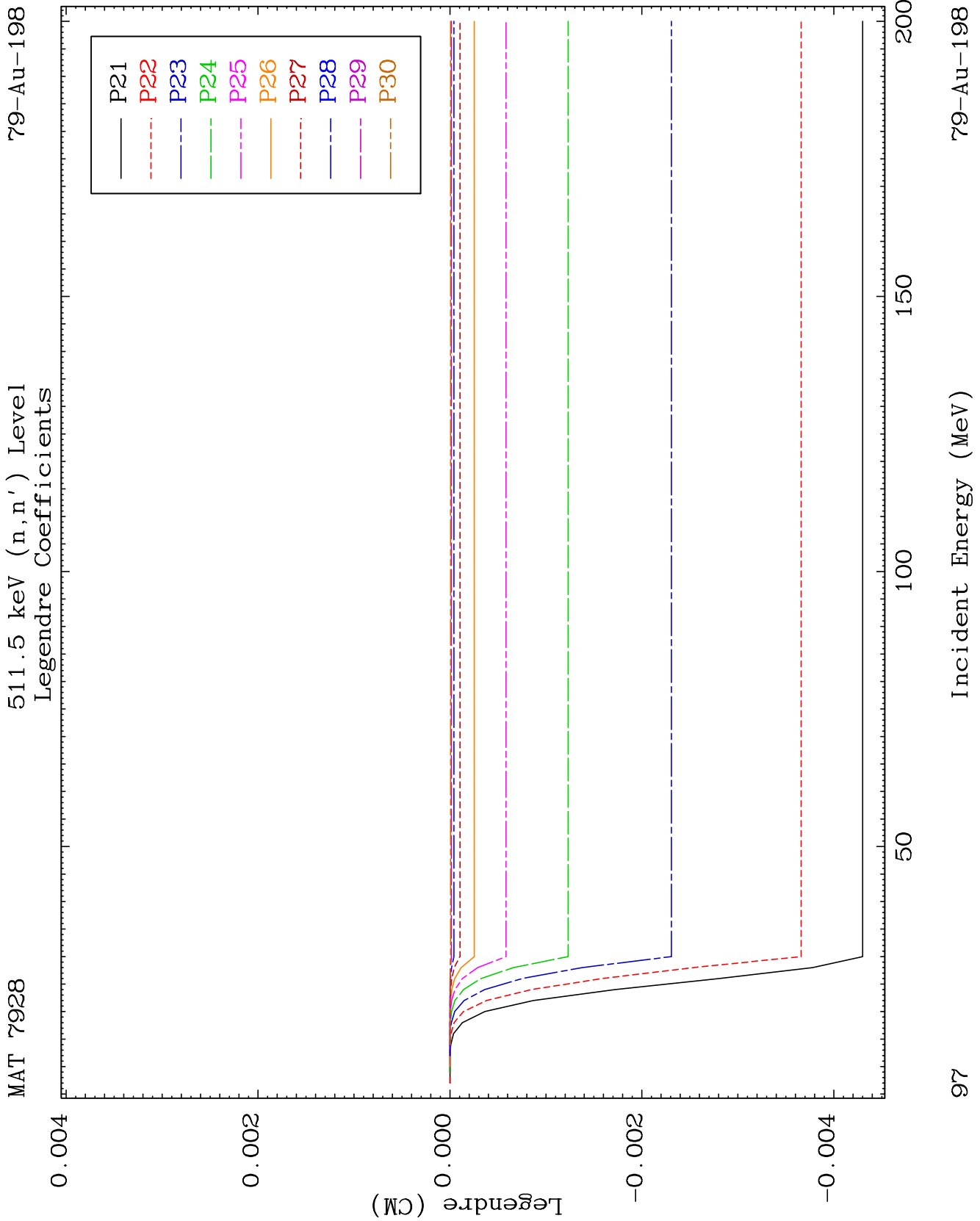
79-Au-198

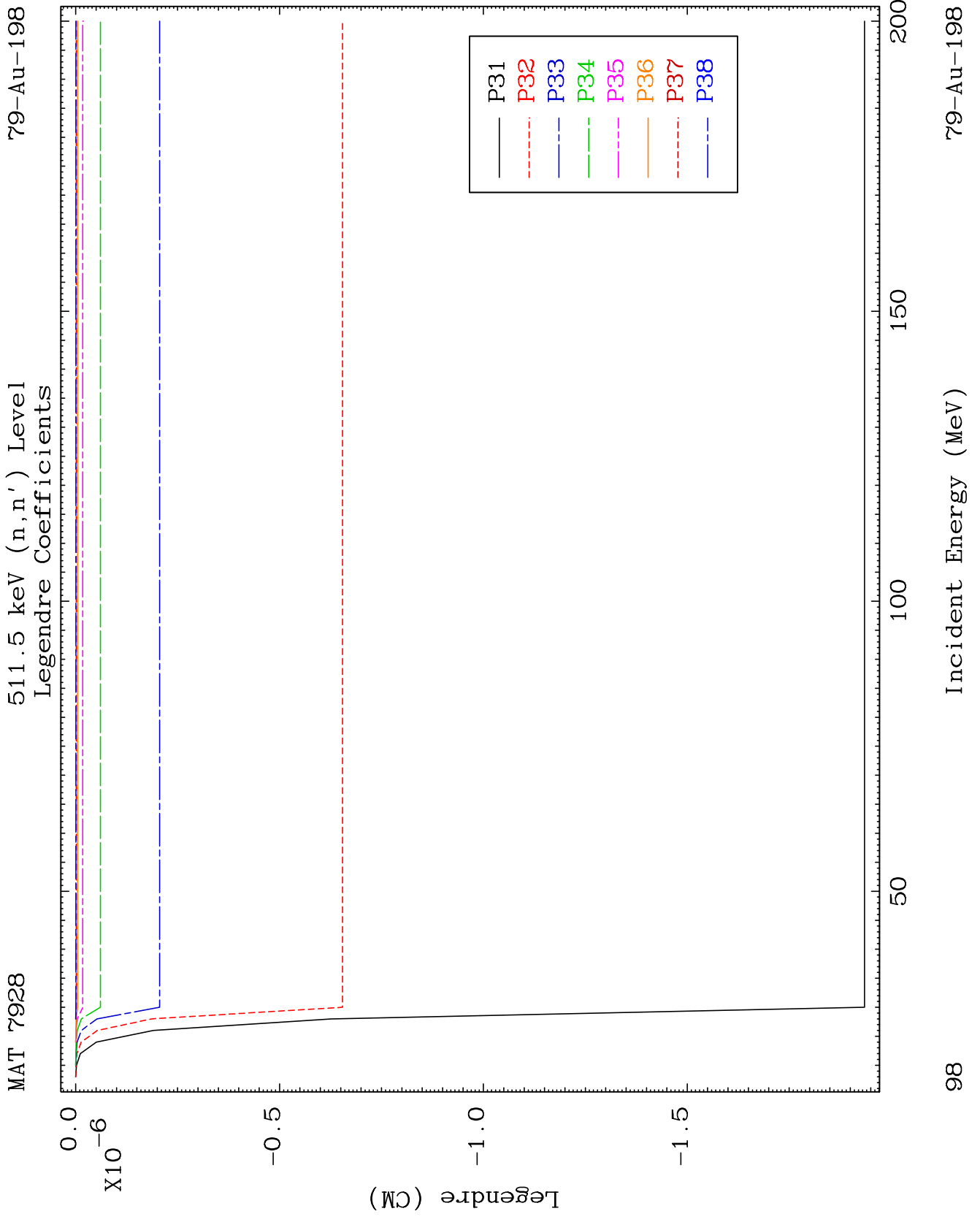


96

Incident Energy (MeV)

79-Au-198

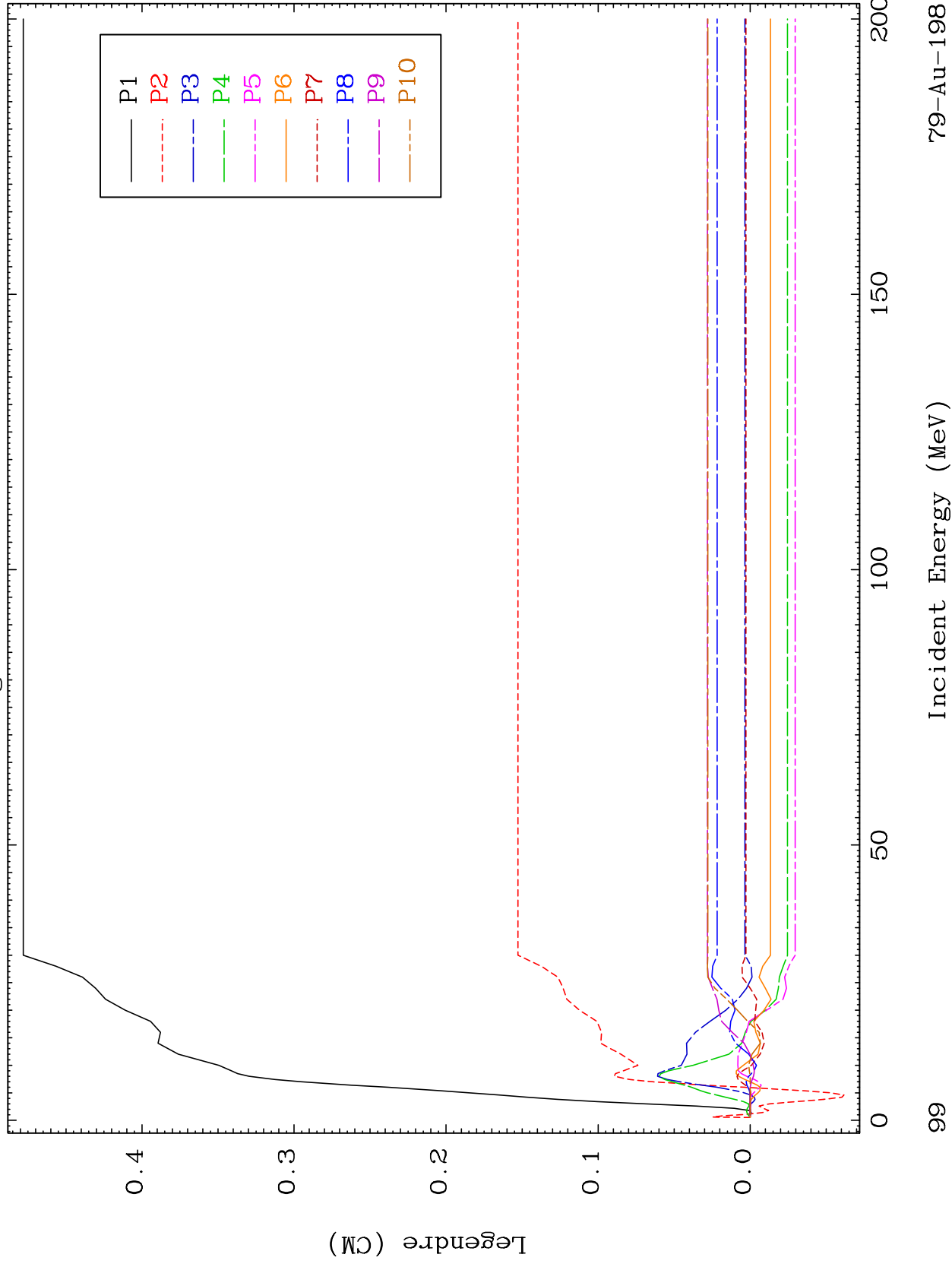




MAT 7928

516.4 keV (n,n') Level
Legendre Coefficients

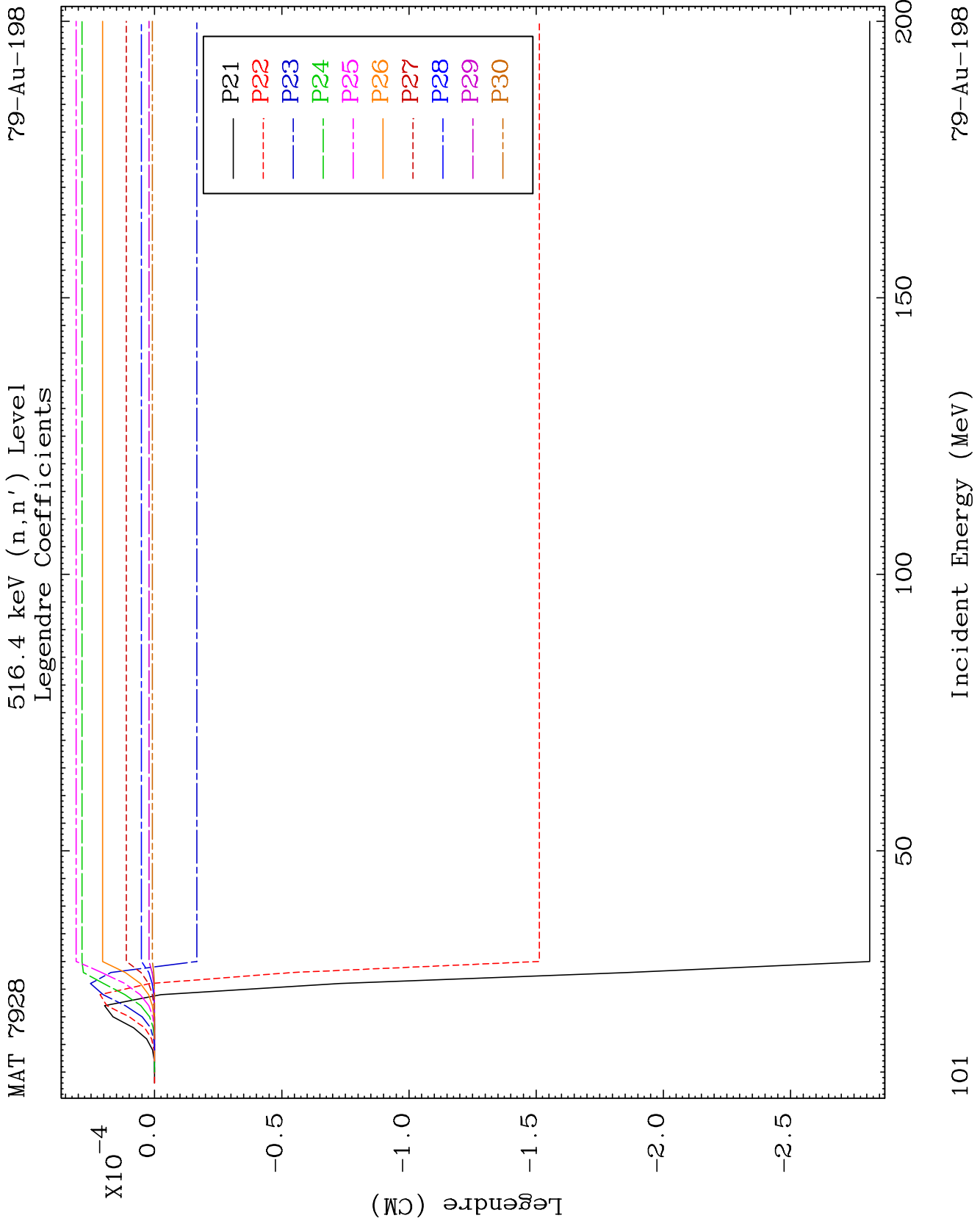
79-Au-198



79-Au-198

Incident Energy (MeV)

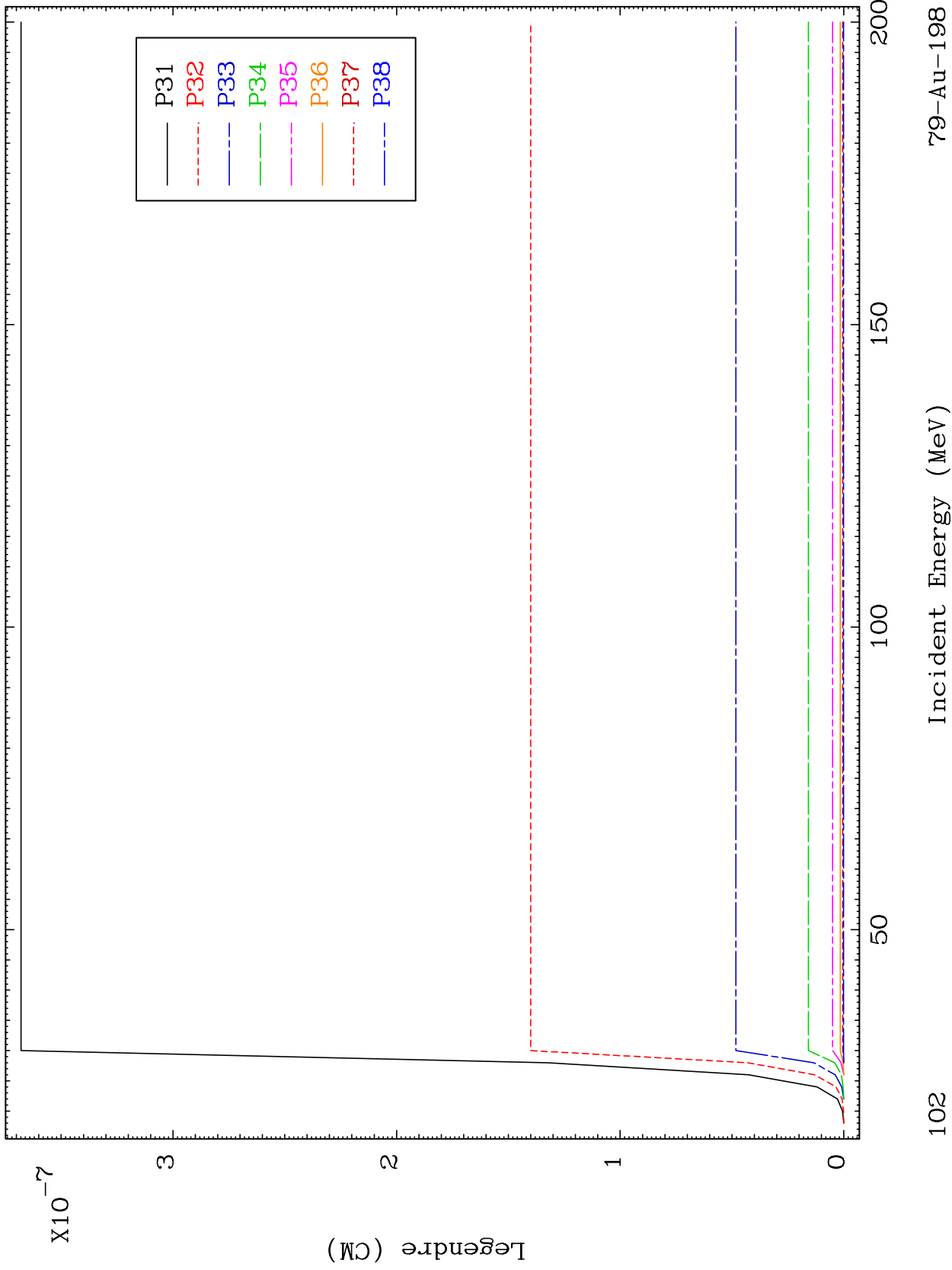
99

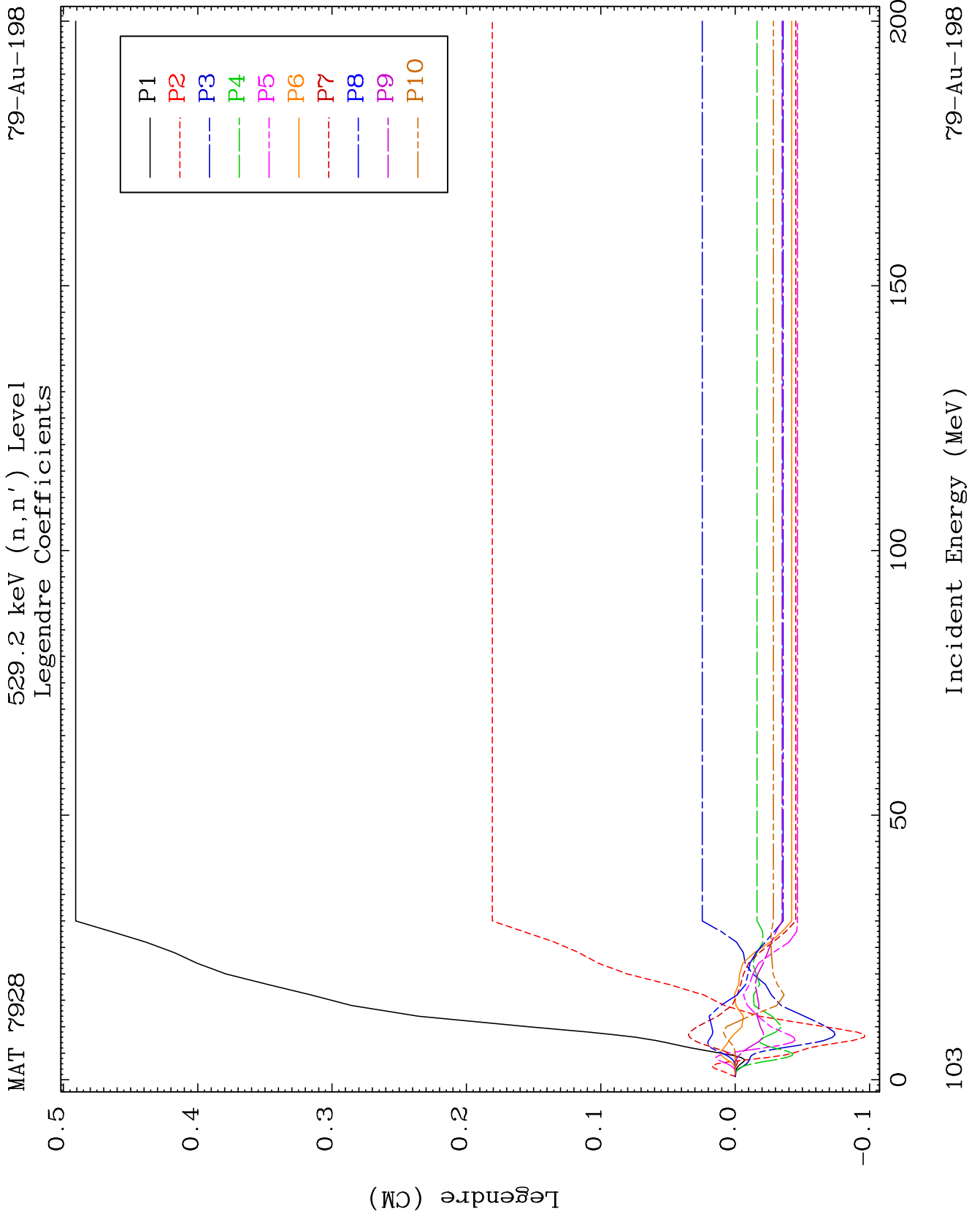


MAT 7928

516.4 keV (n,n') Level
Legendre Coefficients

79-Au-198

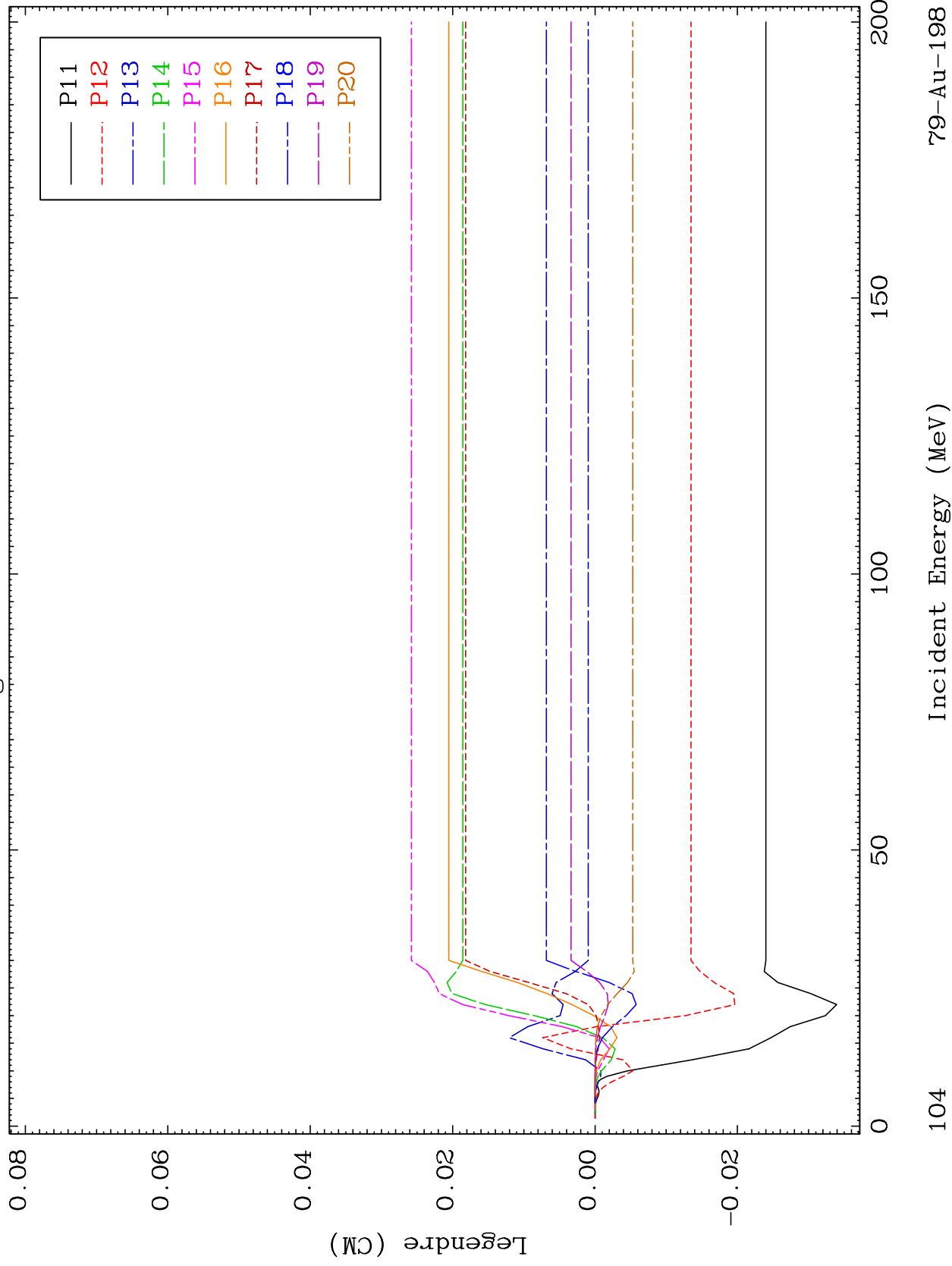




MAT 7928

529.2 keV (n,n') Level
Legendre Coefficients

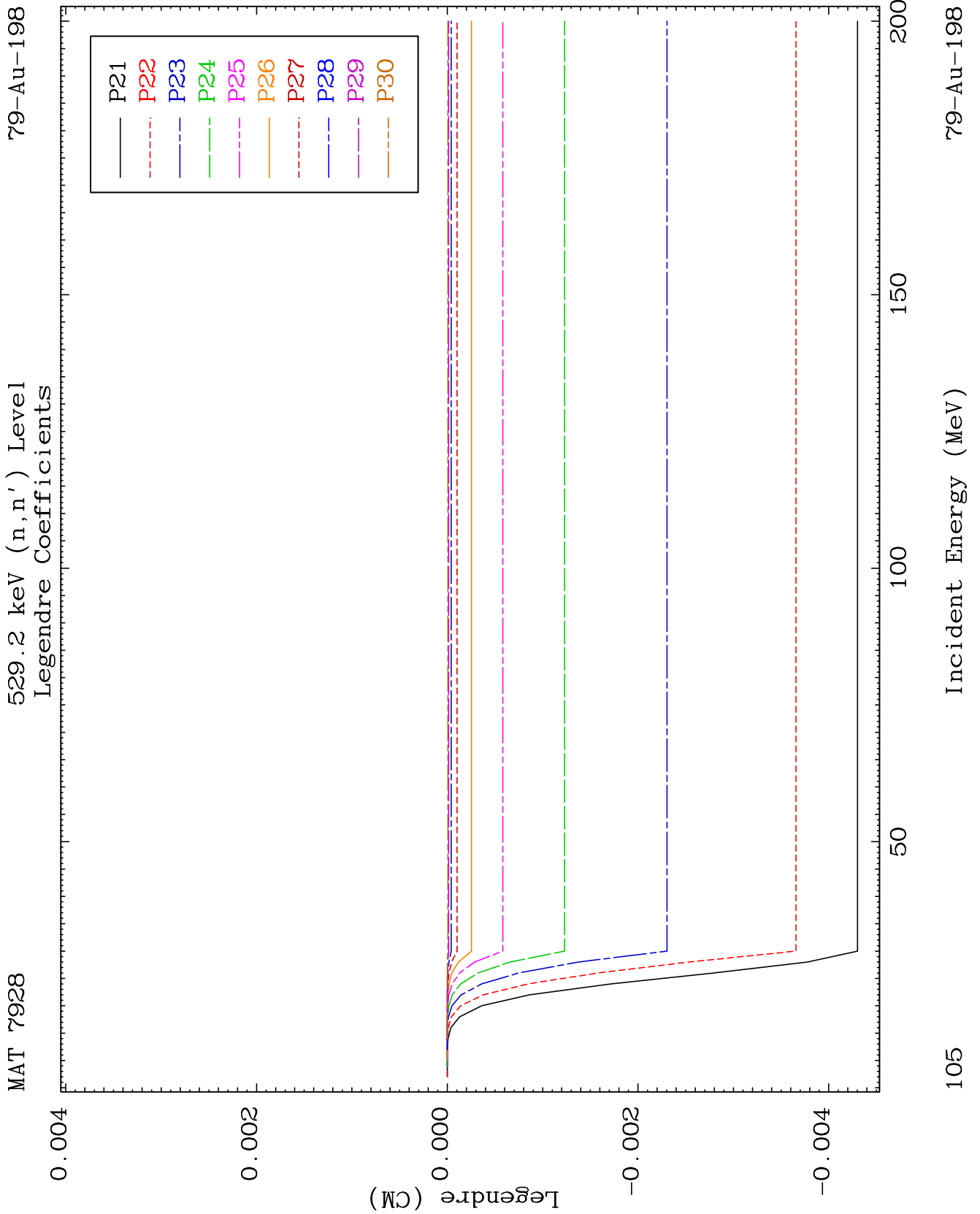
79-Au-198

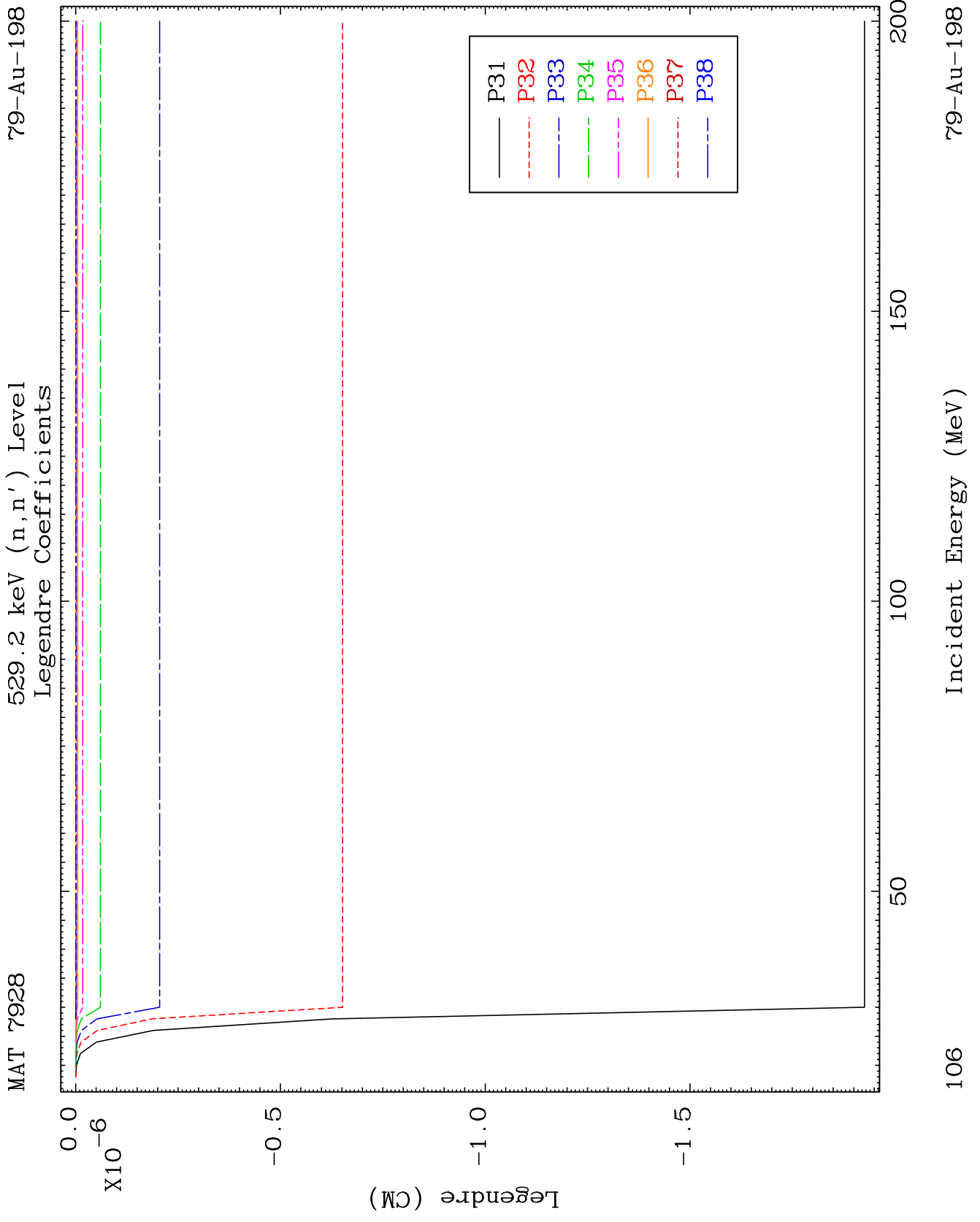


104

Incident Energy (MeV)

79-Au-198

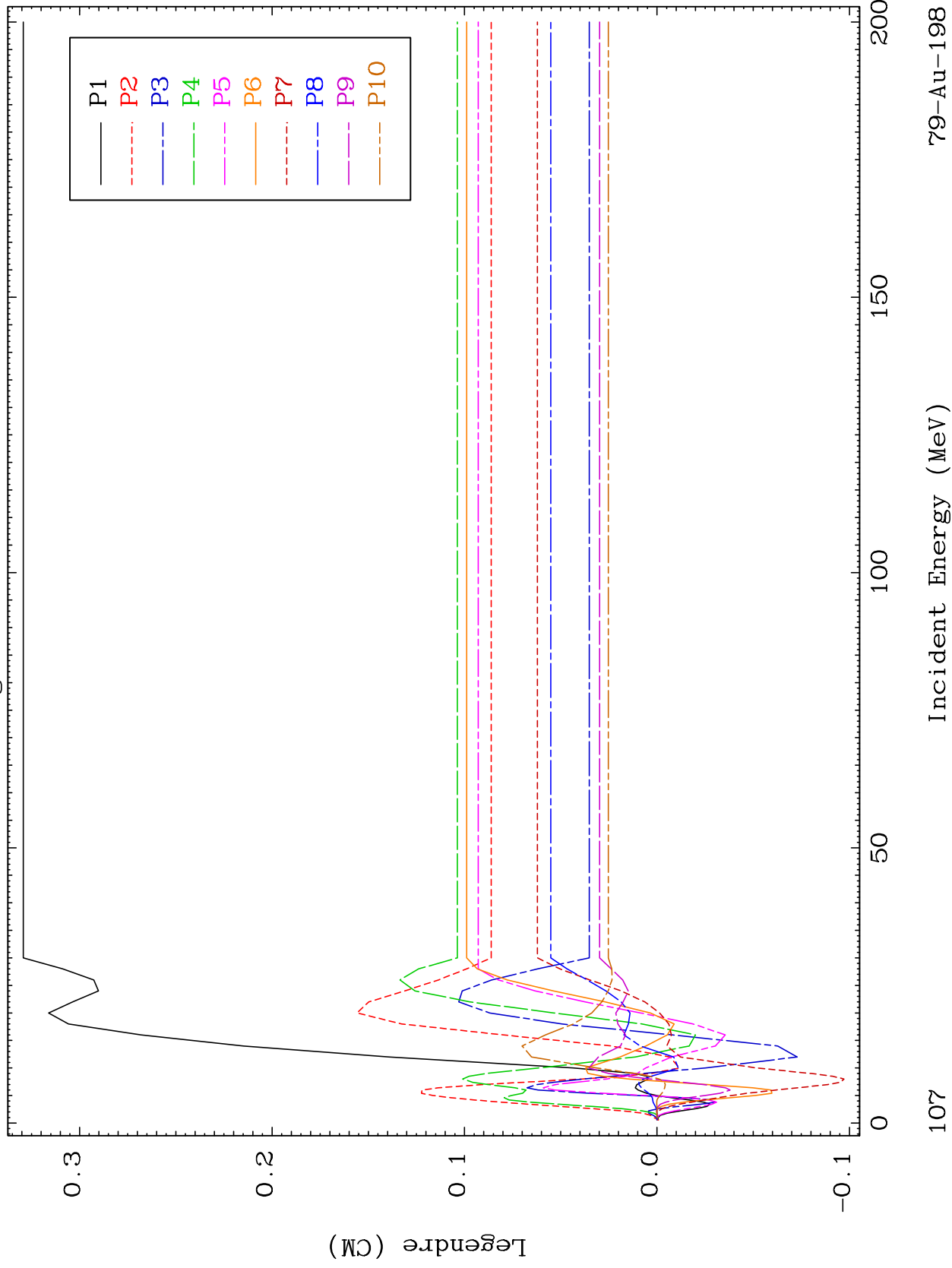




MAT 7928

530.5 keV (n,n') Level
Legendre Coefficients

79-Au-198



79-Au-198

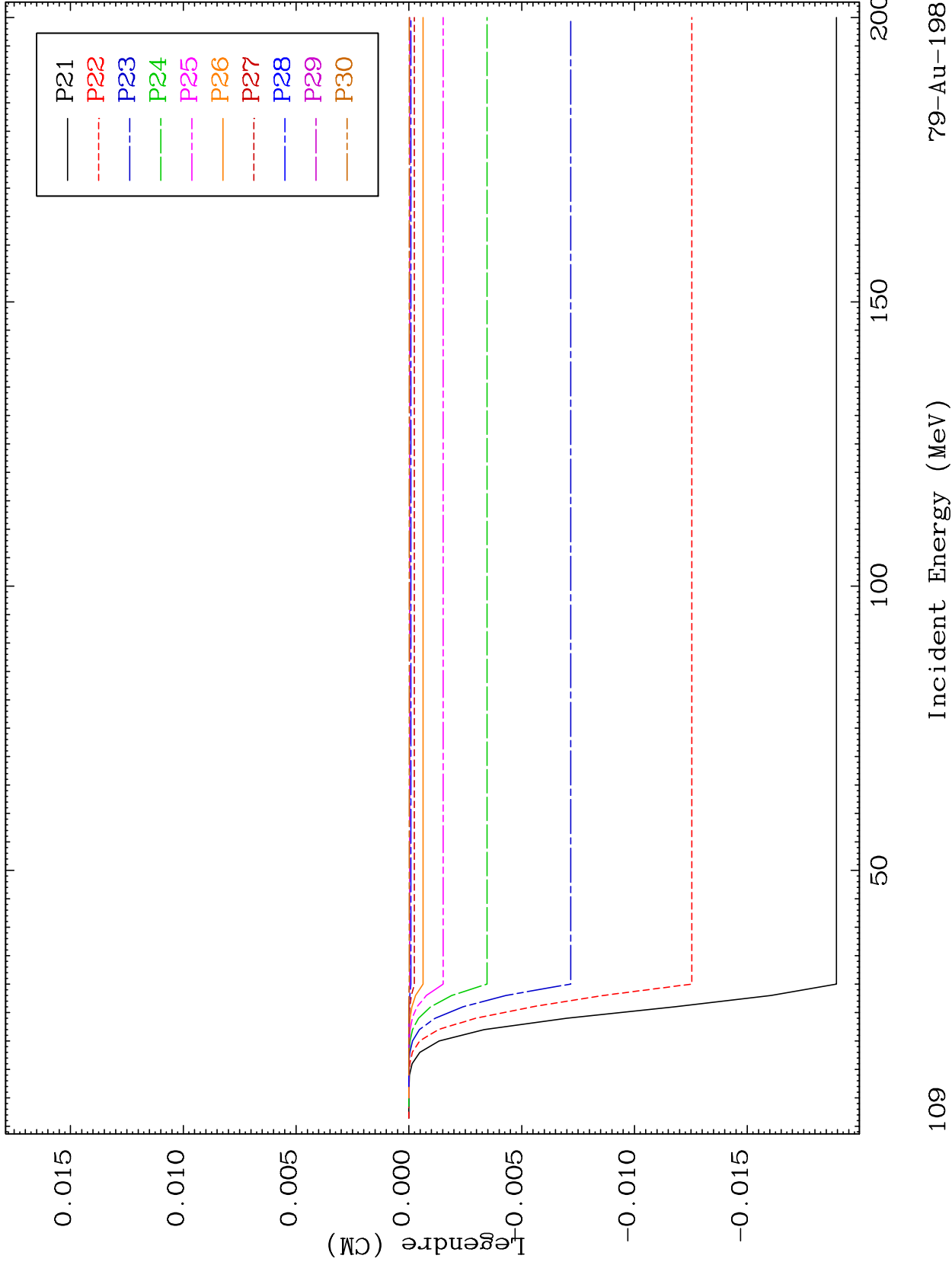
Incident Energy (MeV)

107

MAT 7928

530.5 keV (n,n') Level
Legendre Coefficients

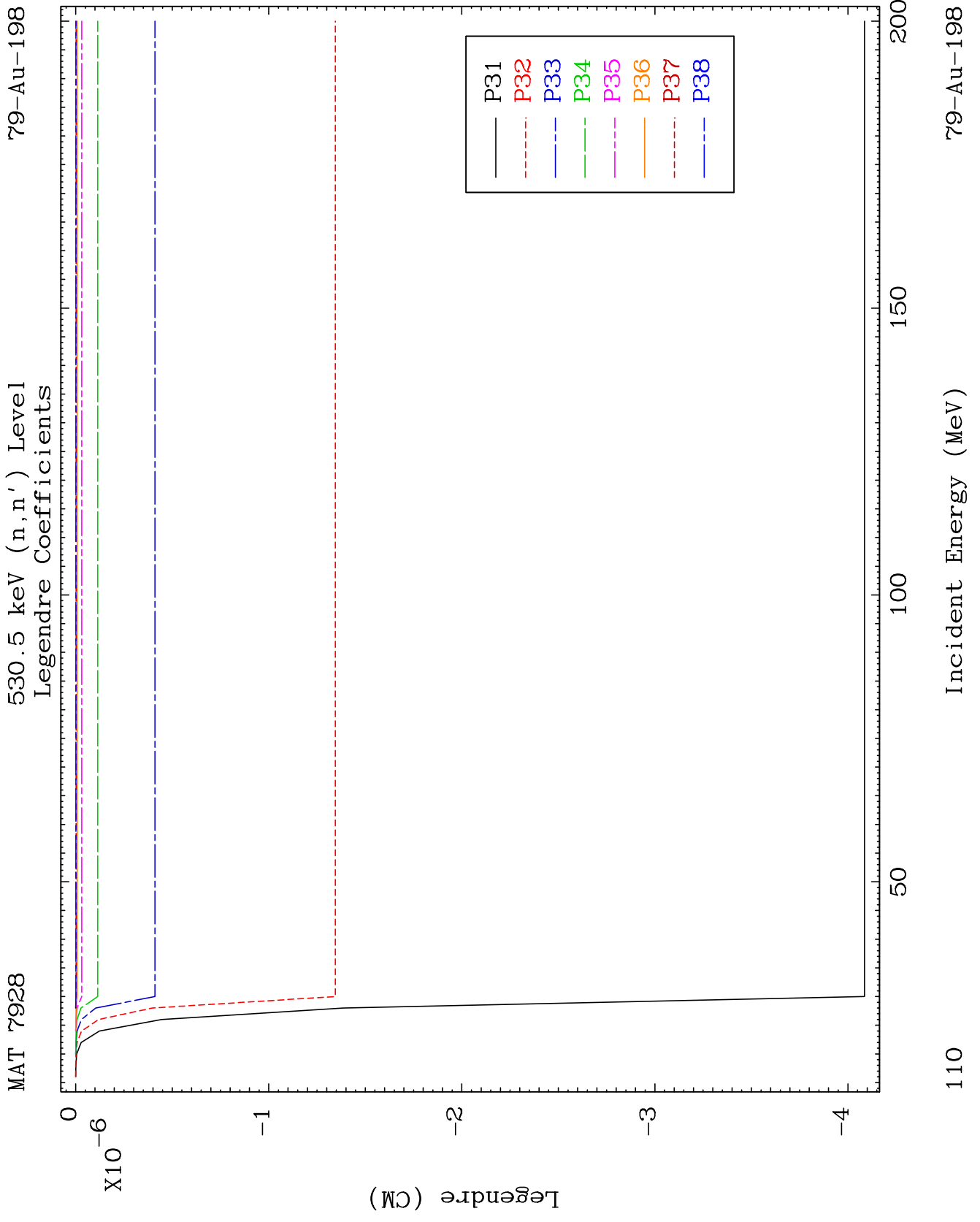
79-Au-198

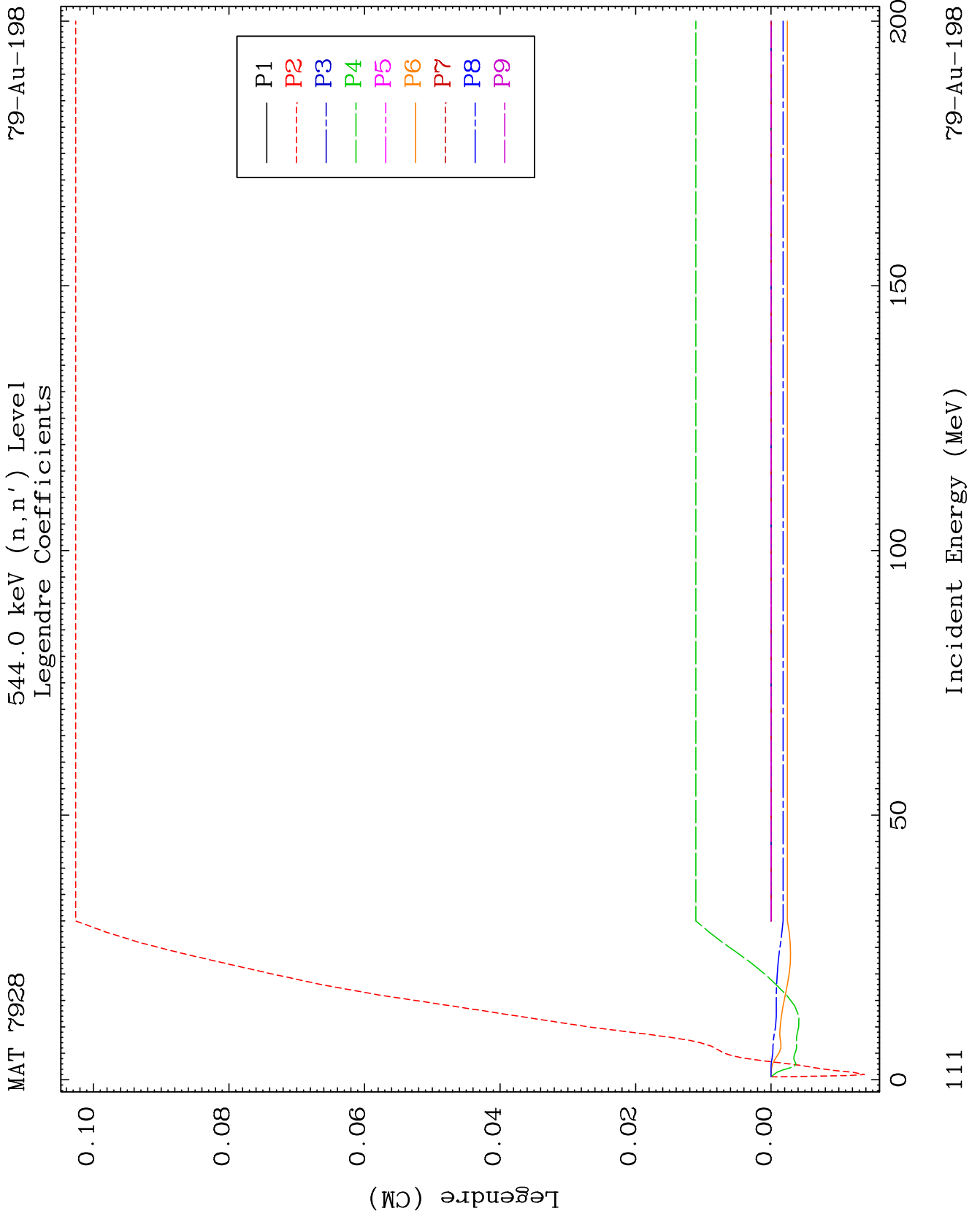


109

Incident Energy (MeV)

79-Au-198

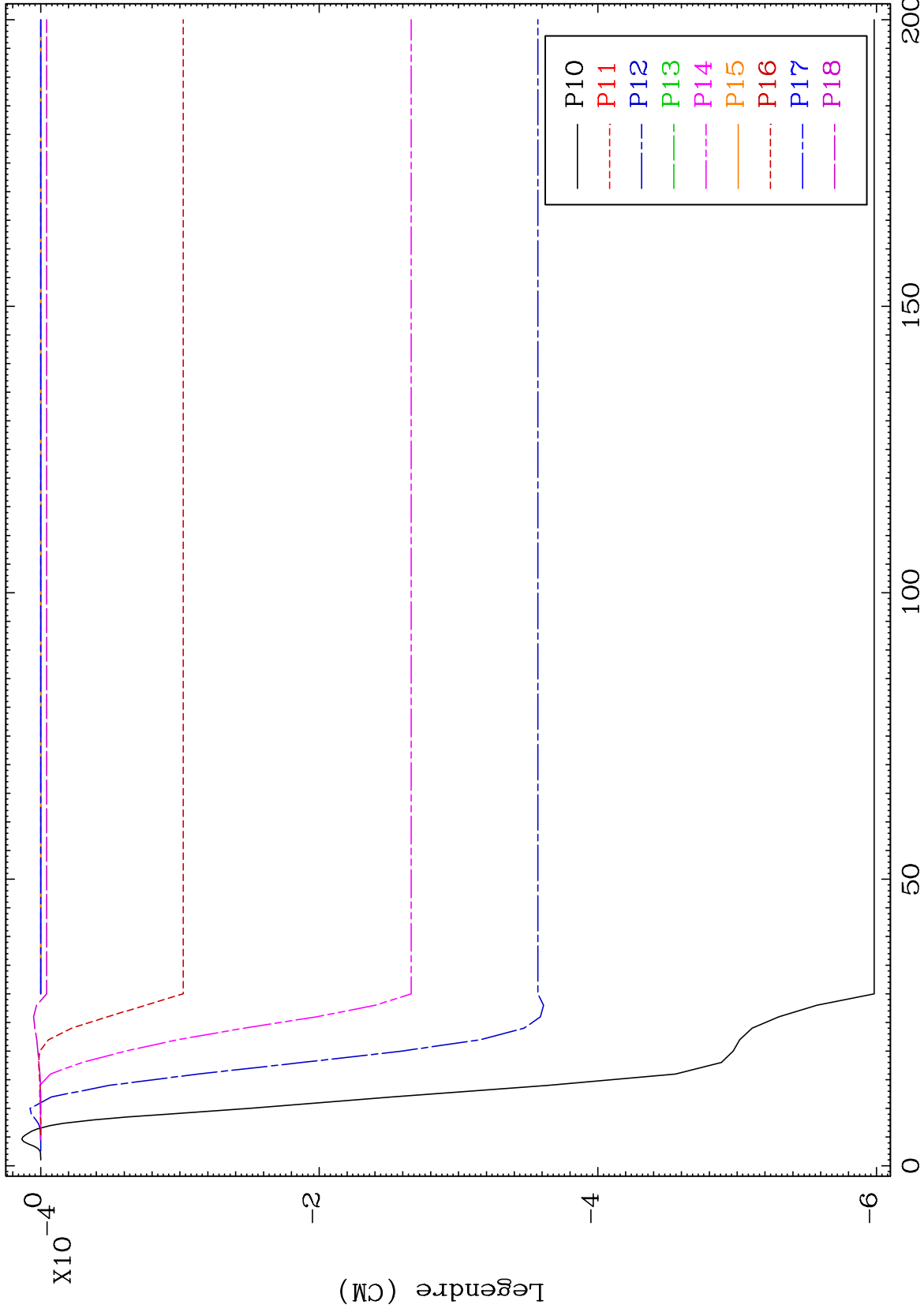




MAT 7928

544.0 keV (n,n') Level
Legendre Coefficients

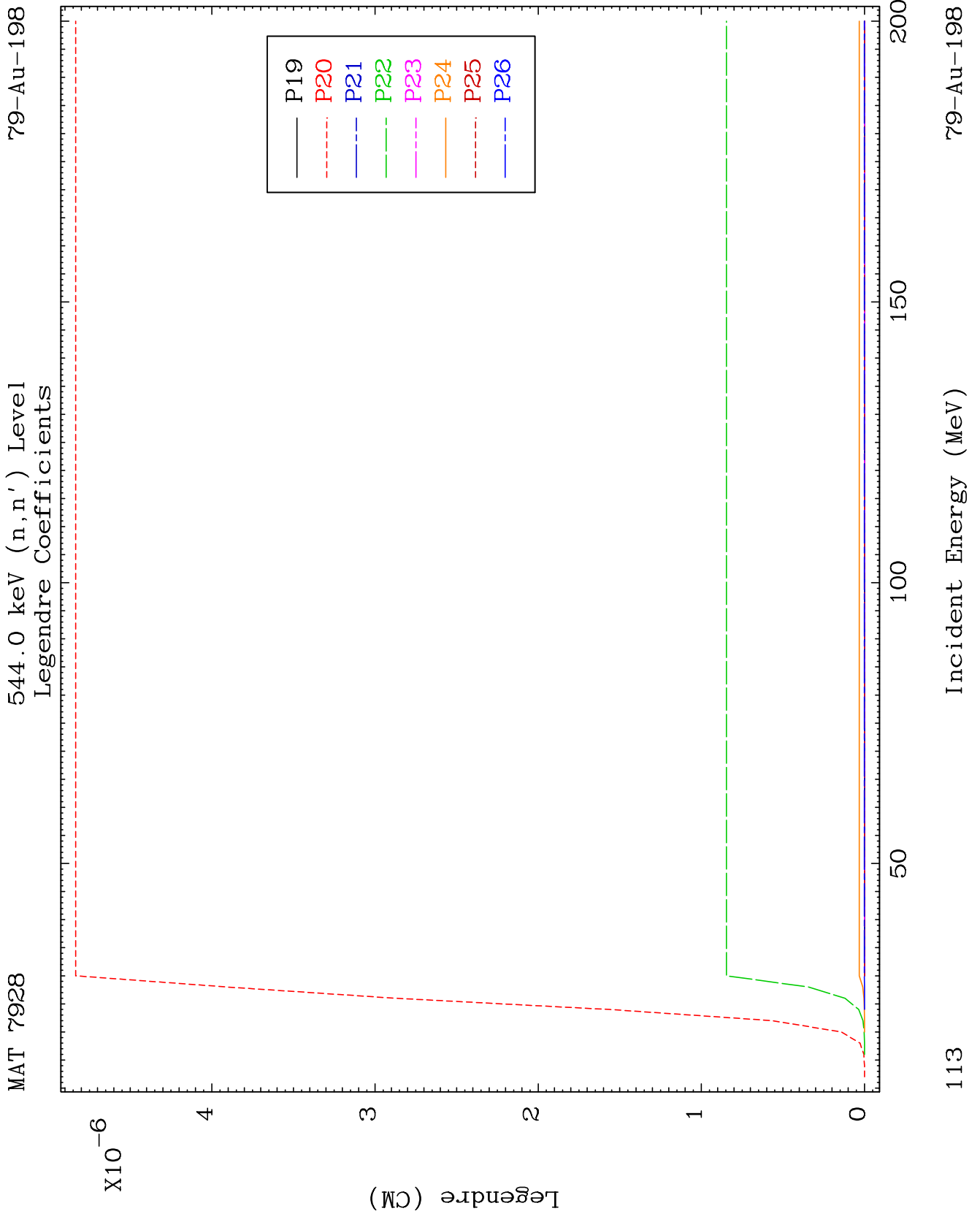
79-Au-198

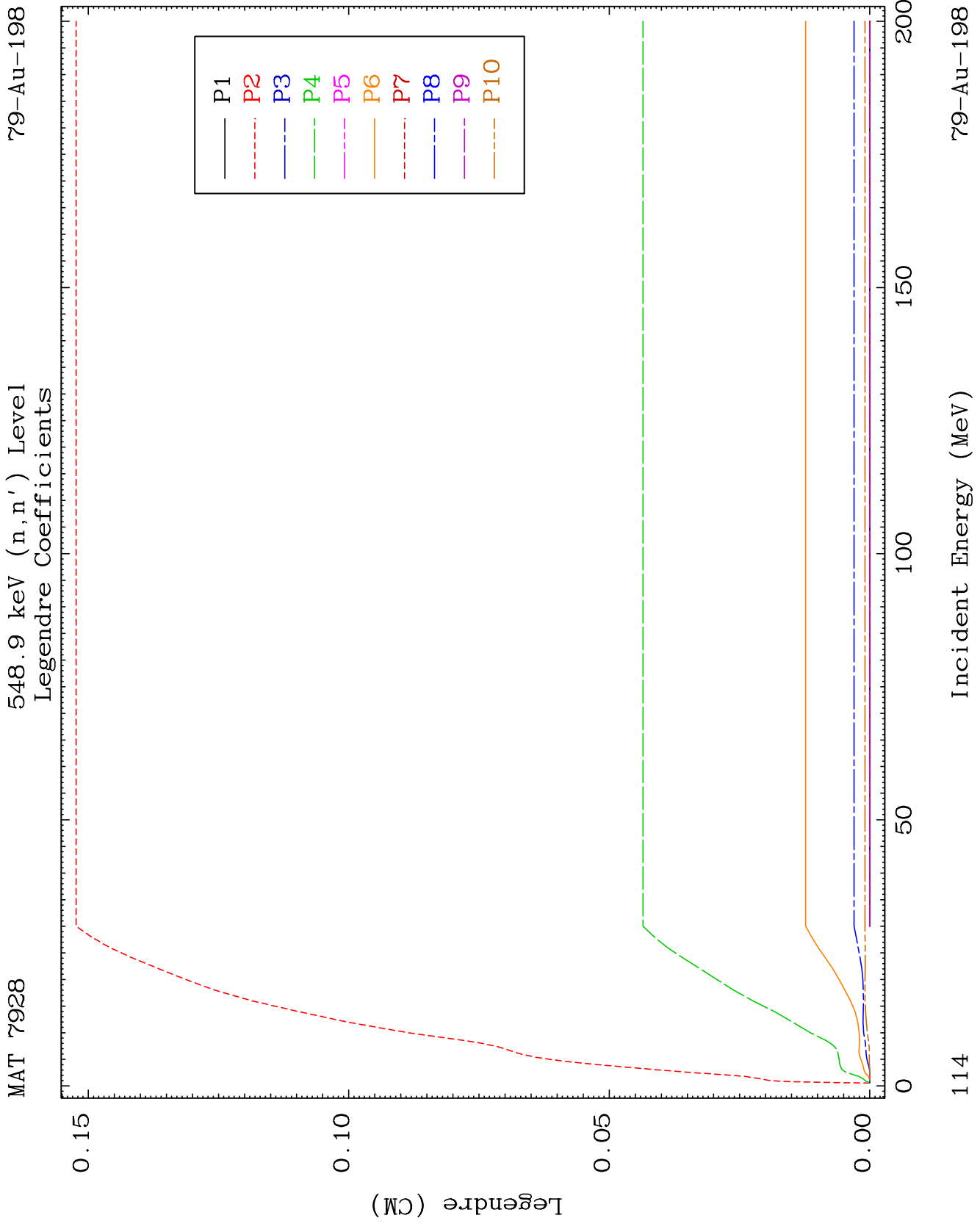


112

Incident Energy (MeV)

79-Au-198

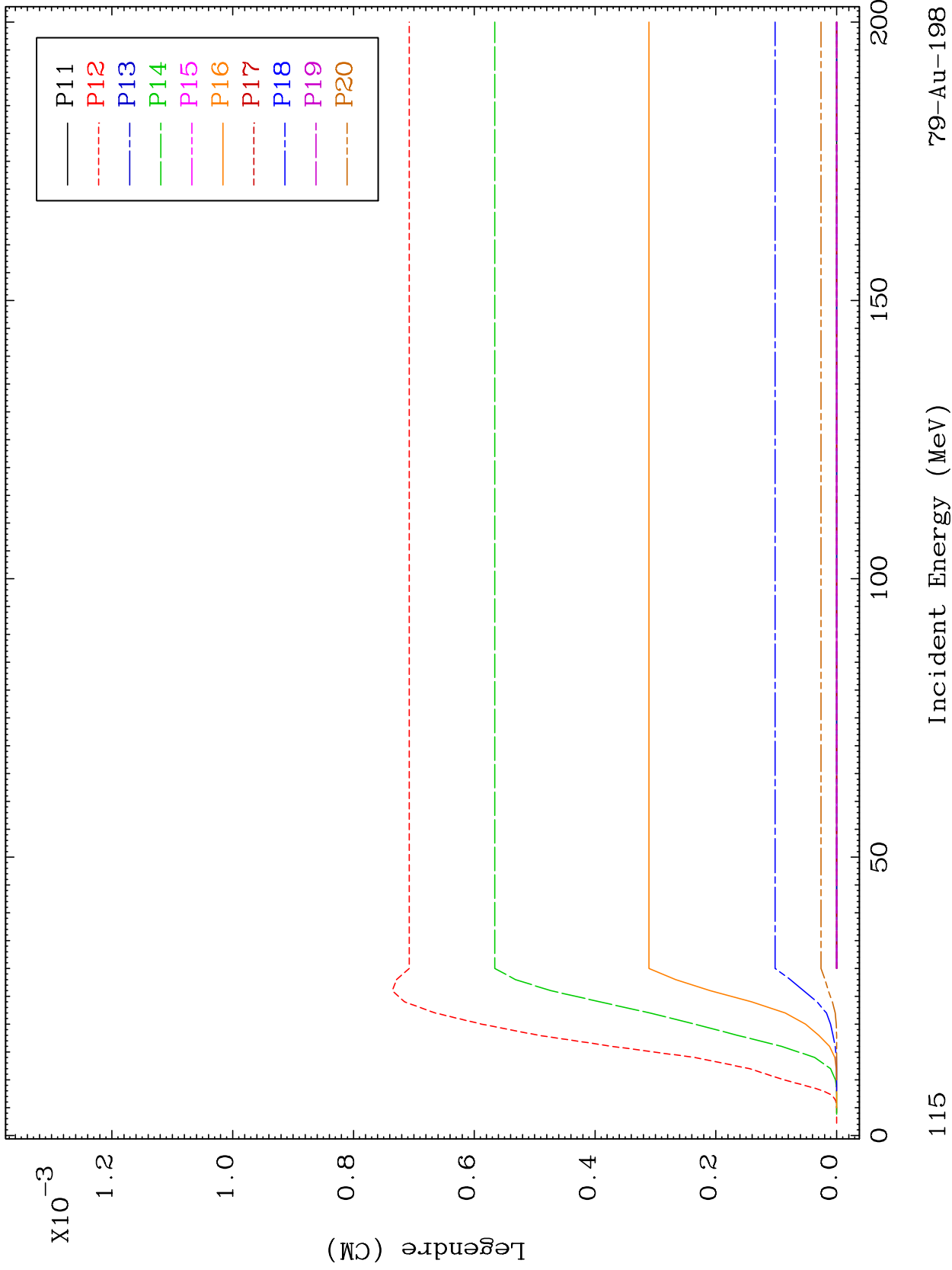




MAT 7928

548.9 keV (n,n') Level
Legendre Coefficients

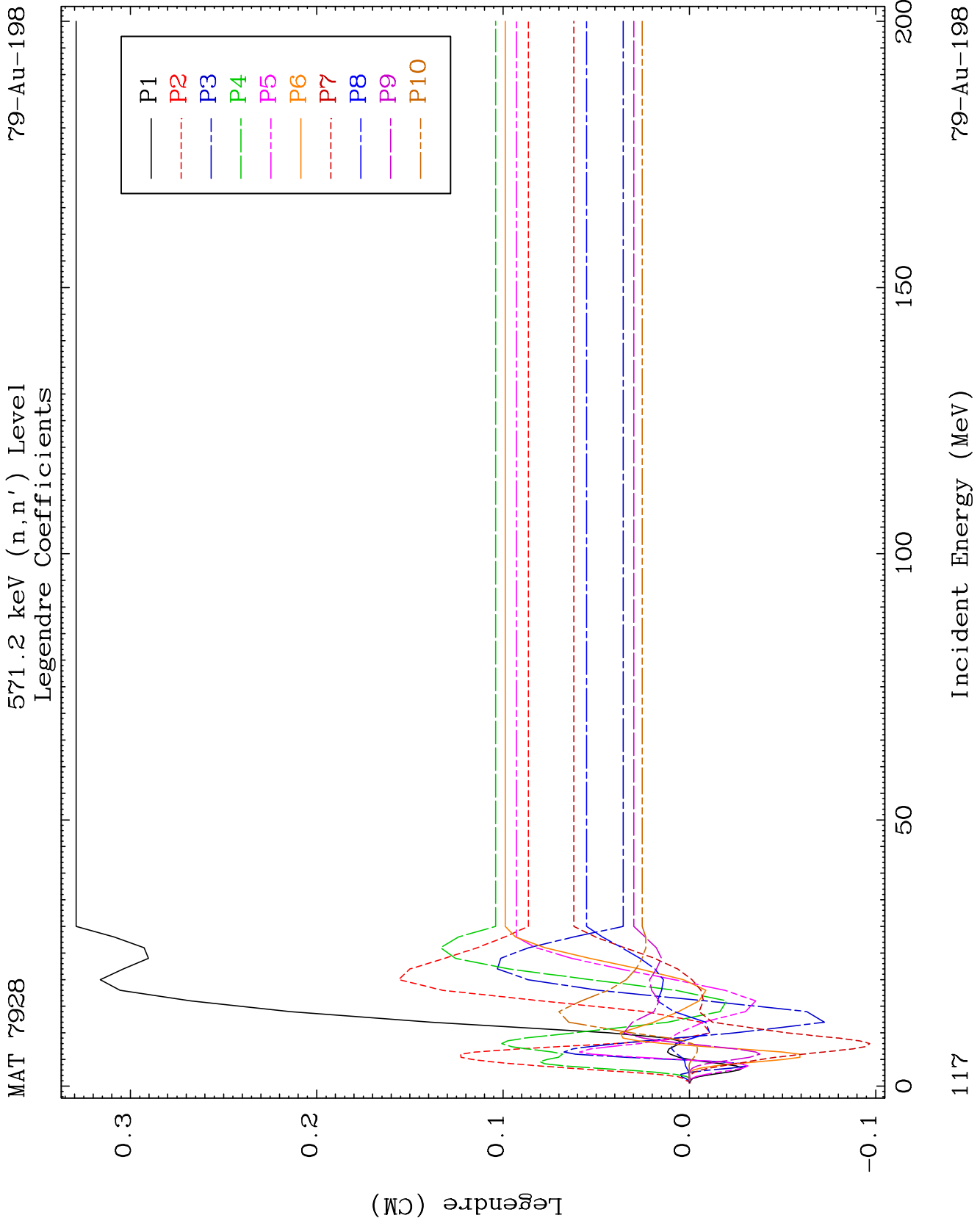
79-Au-198

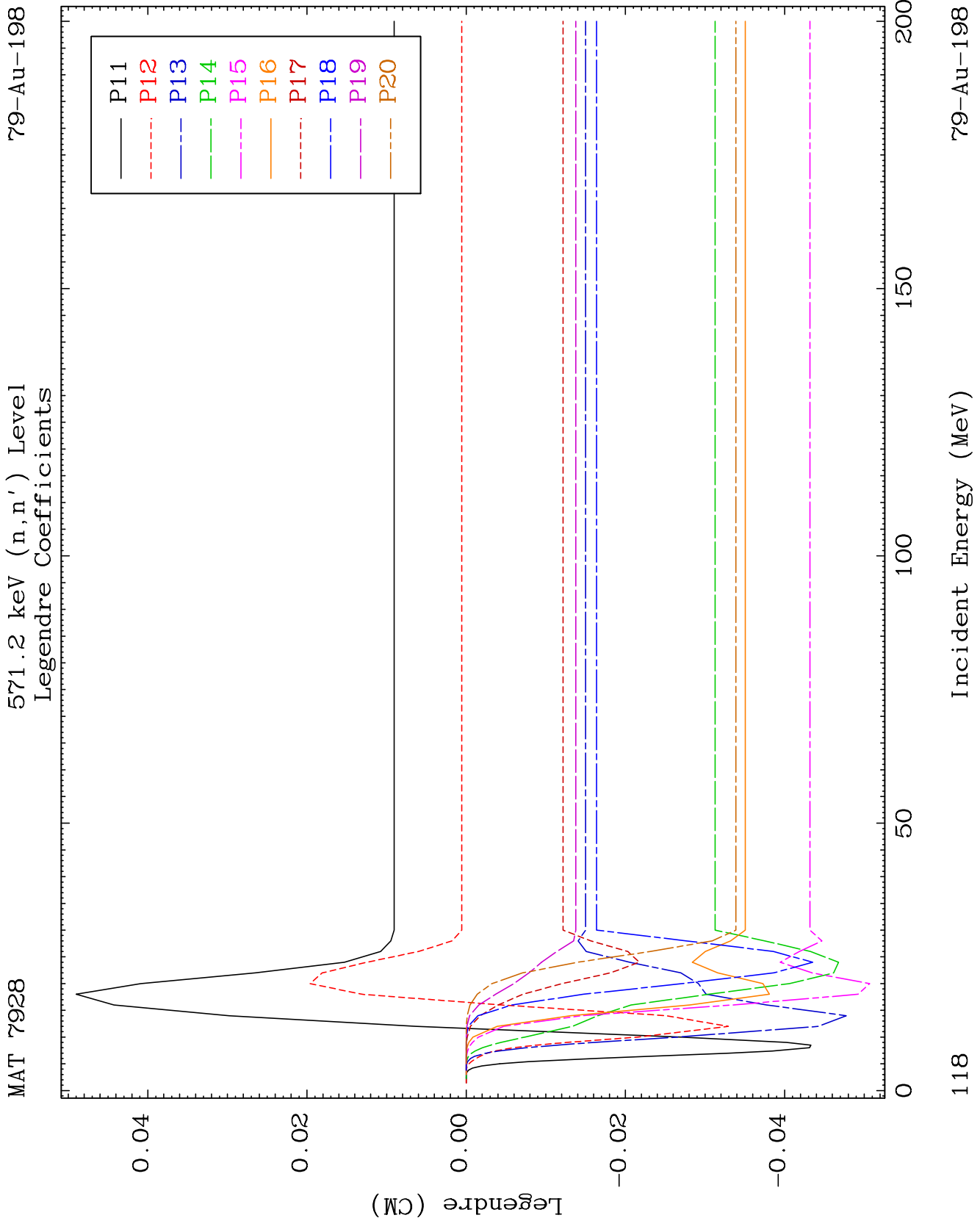


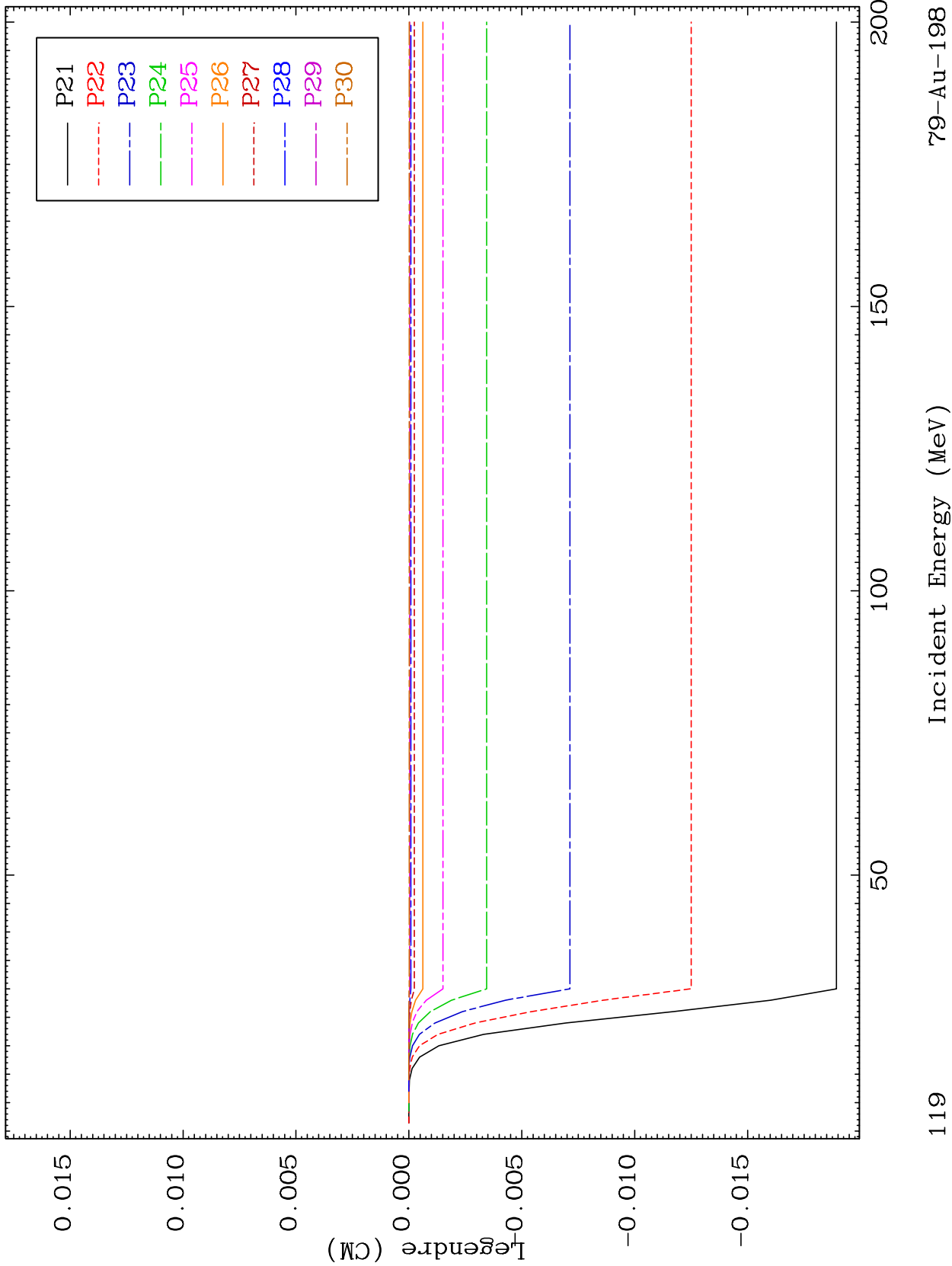
115

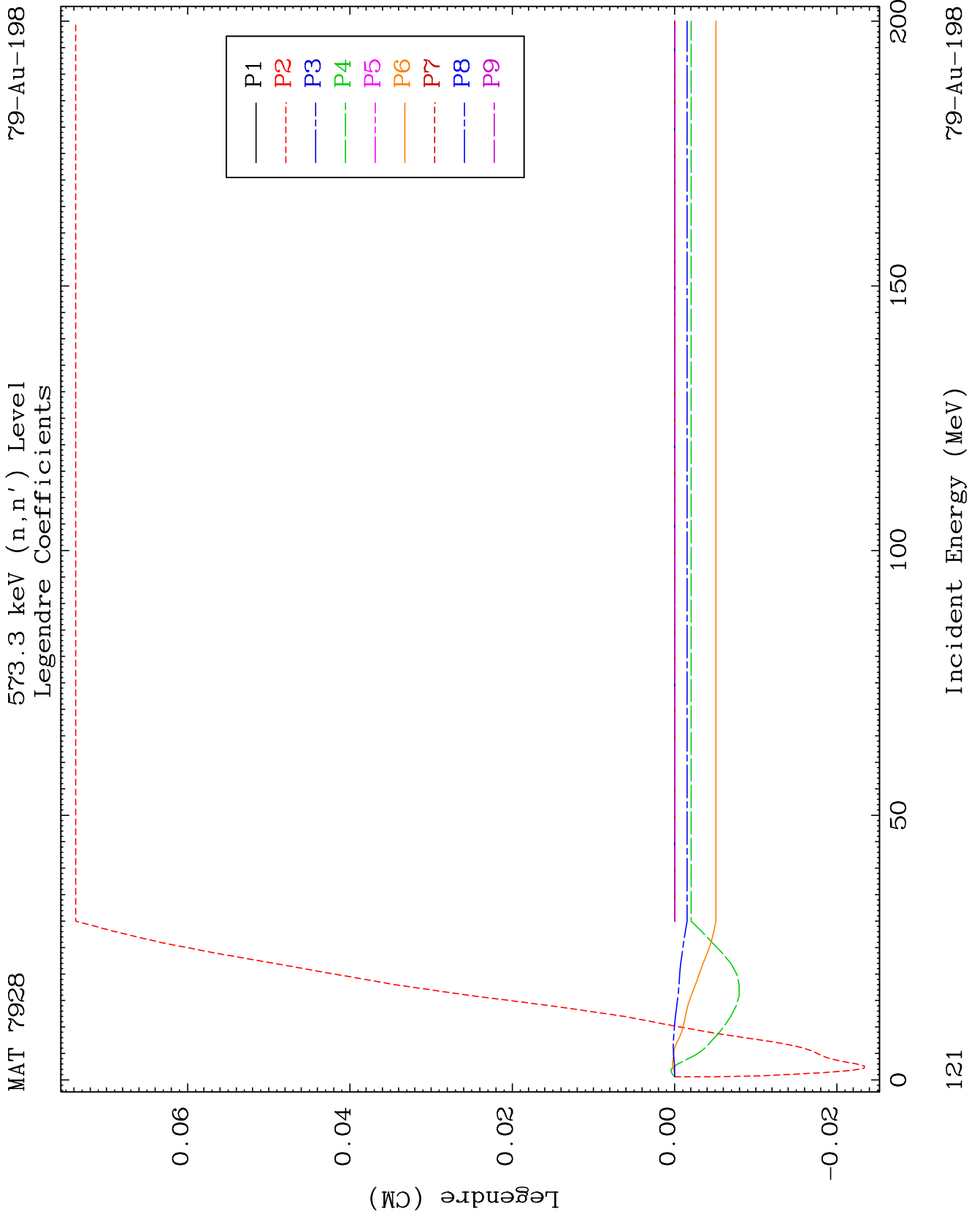
Incident Energy (MeV)

79-Au-198





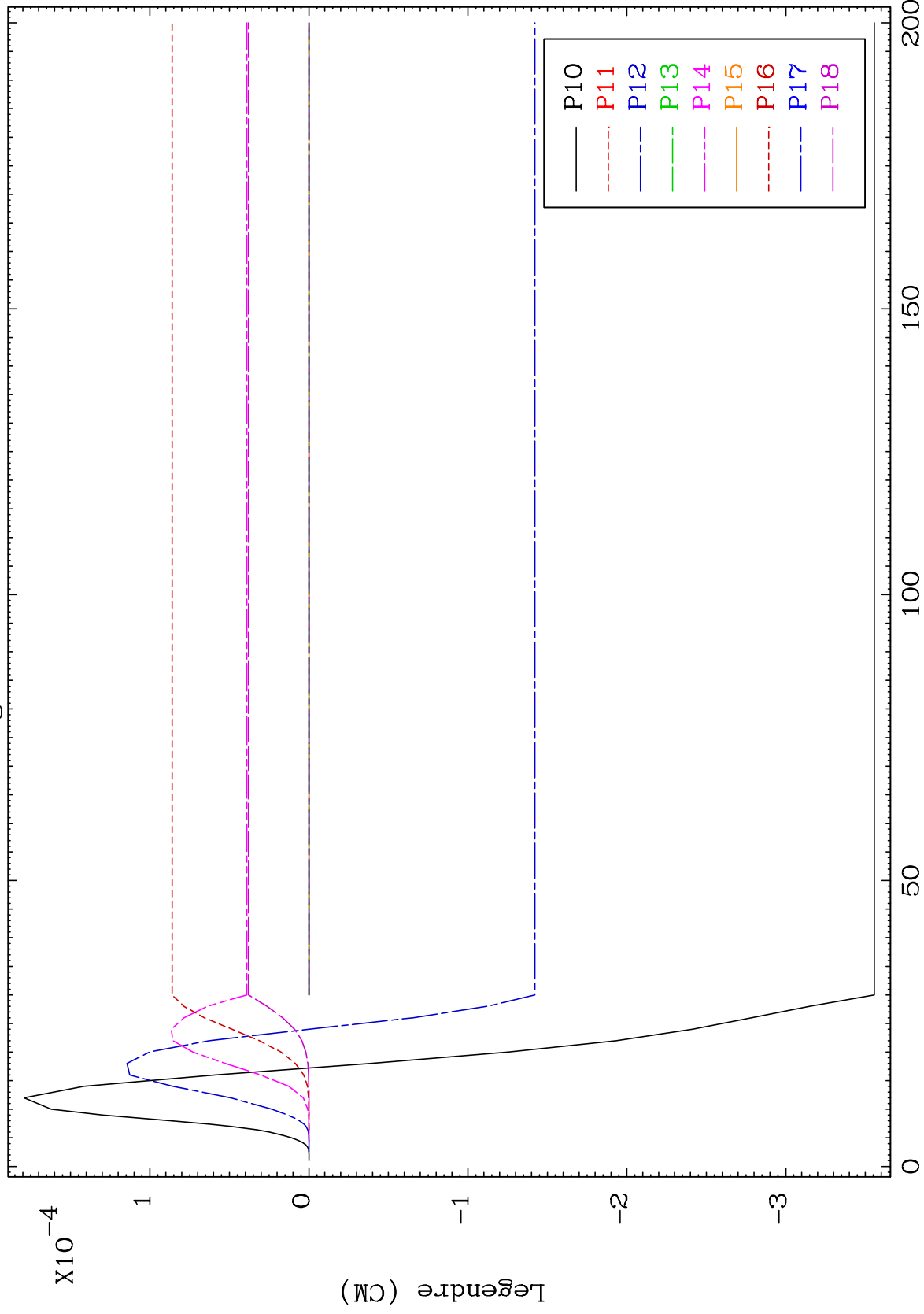




MAT 7928

573.3 keV (n,n') Level
Legendre Coefficients

79-Au-198



122

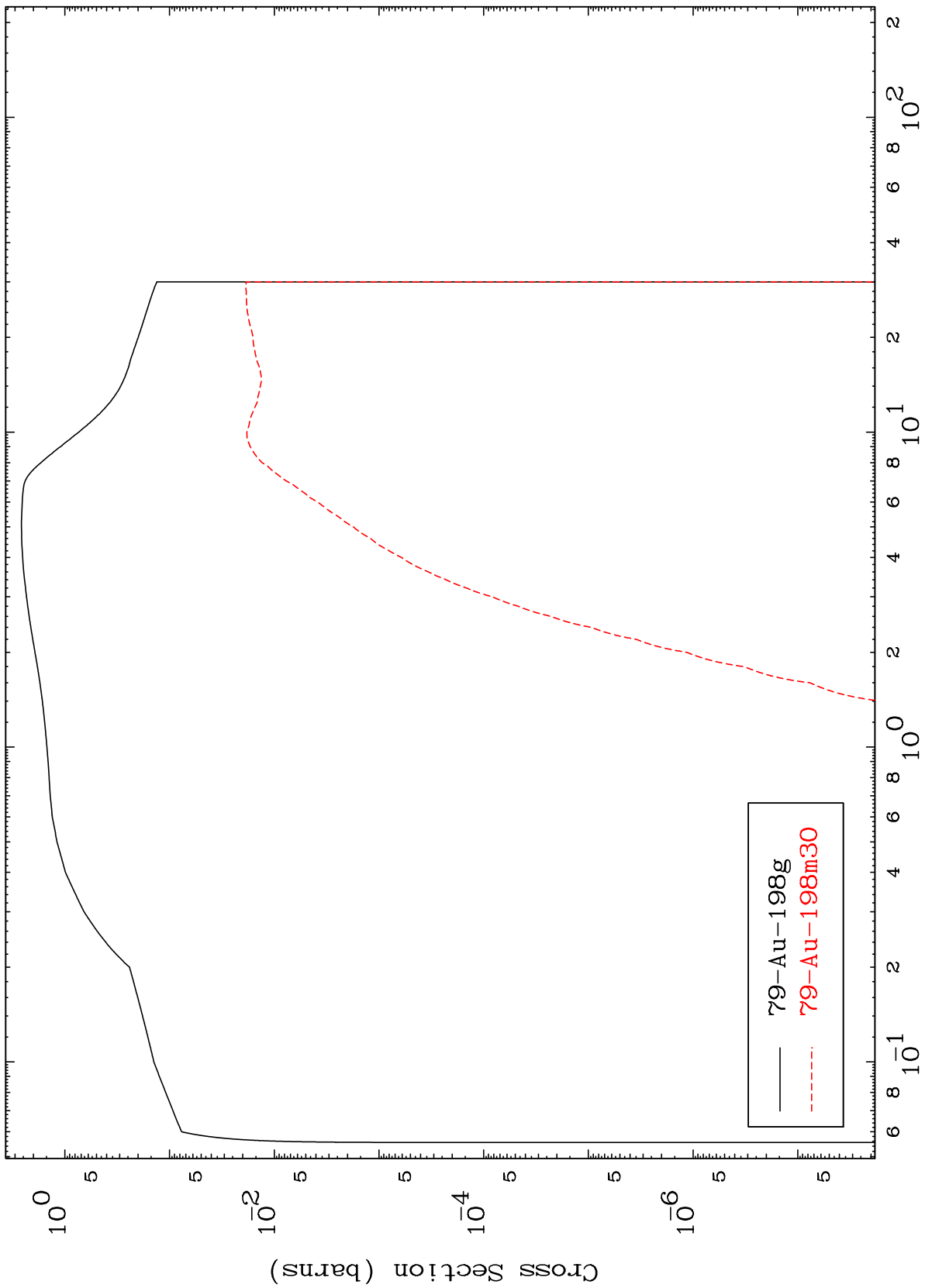
Incident Energy (MeV)

79-Au-198

MAT 7928

79-Au-198

Inelastic
Radionuclide Production Cross Section



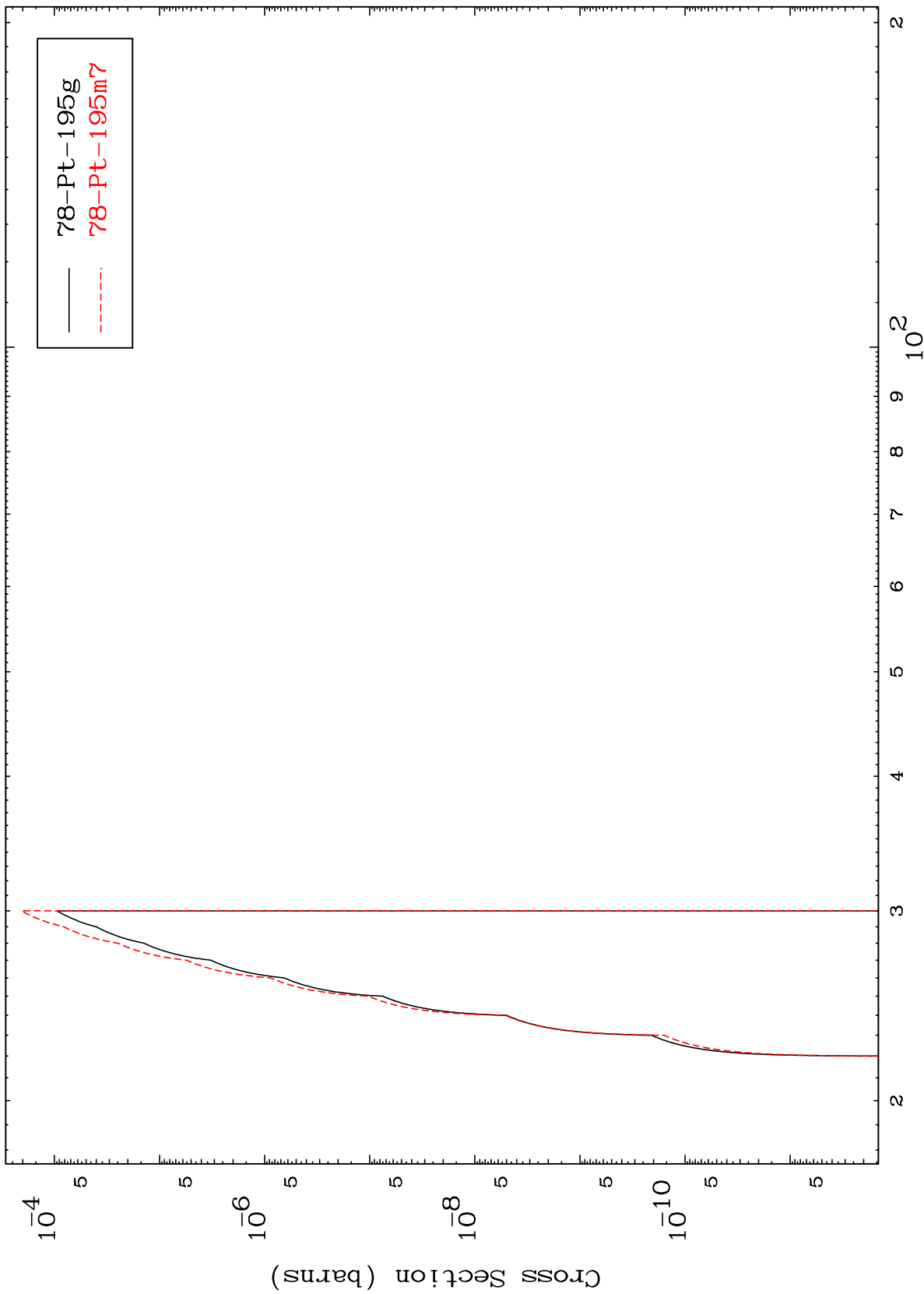
79-Au-198g
79-Au-198m30

79-Au-198

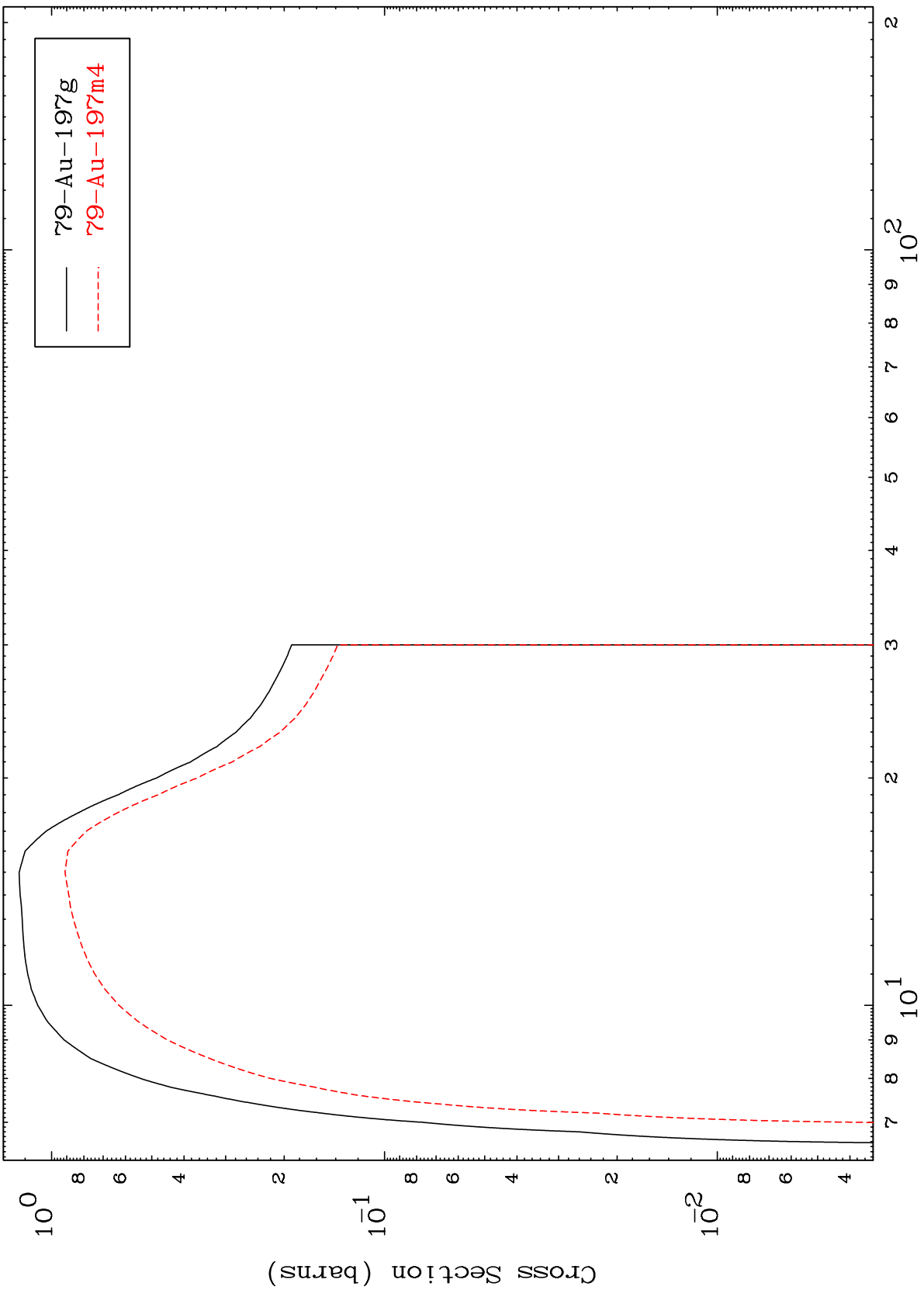
Incident Energy (MeV)

124

Radionuclide Production Cross Section



(n,2n)
Radionuclide Production Cross Section



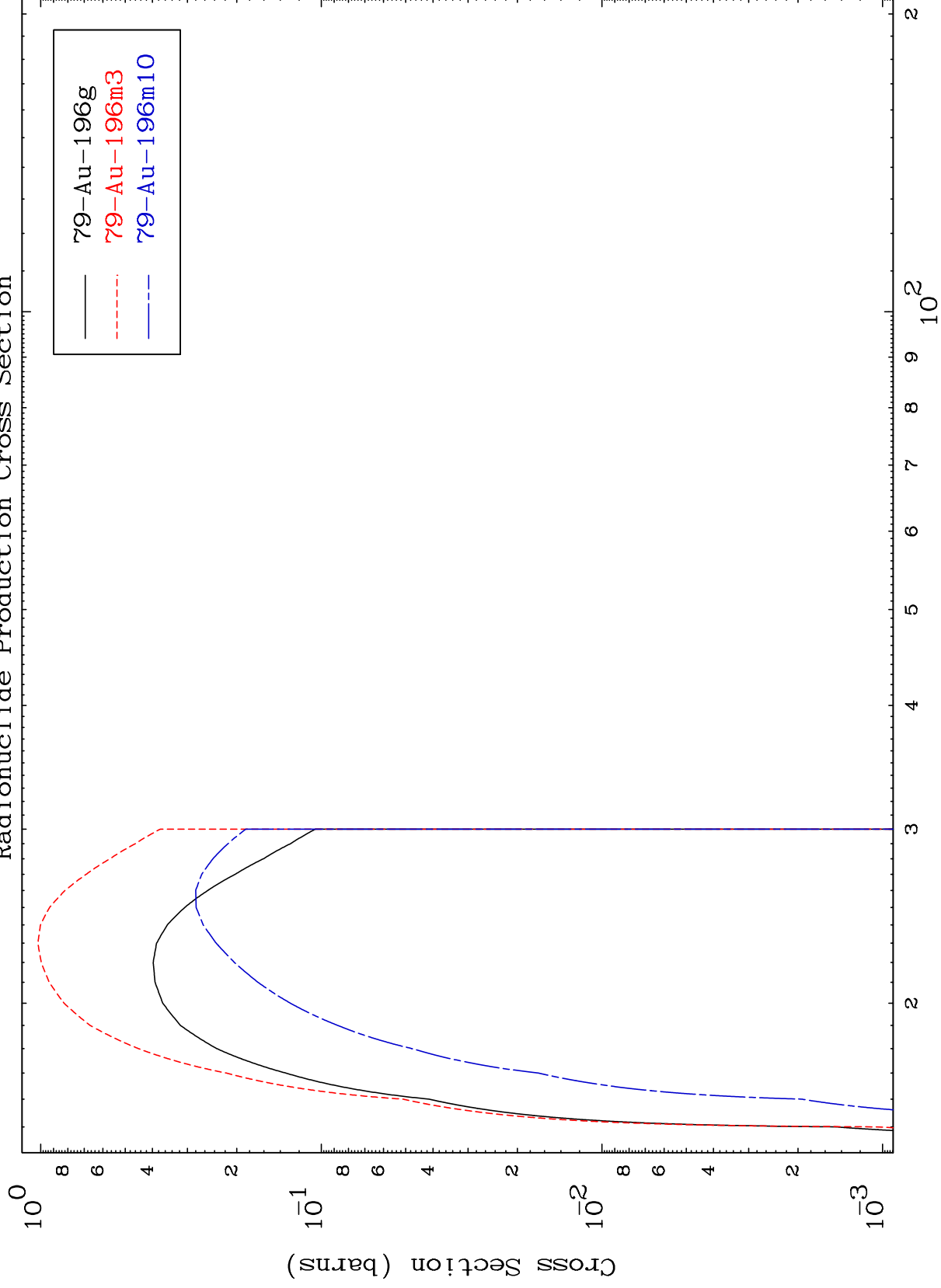
79-Au-197g
79-Au-197m4

MAT 7928

(n,3n)

79-Au-198

Radionuclide Production Cross Section



127

Incident Energy (MeV)

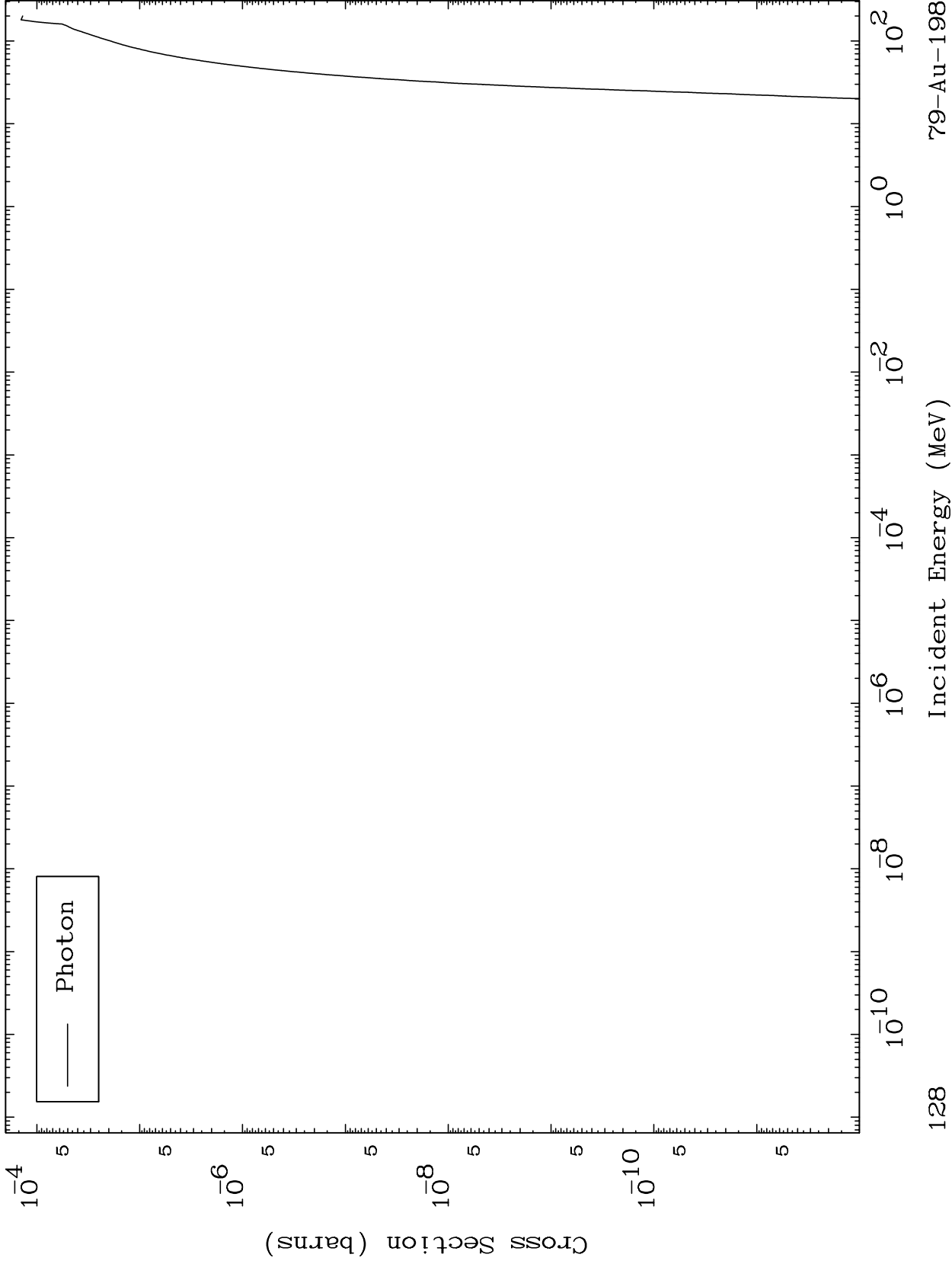
79-Au-198

MAT 7928

Fission

79-Au-198

Radionuclide Production Cross Section

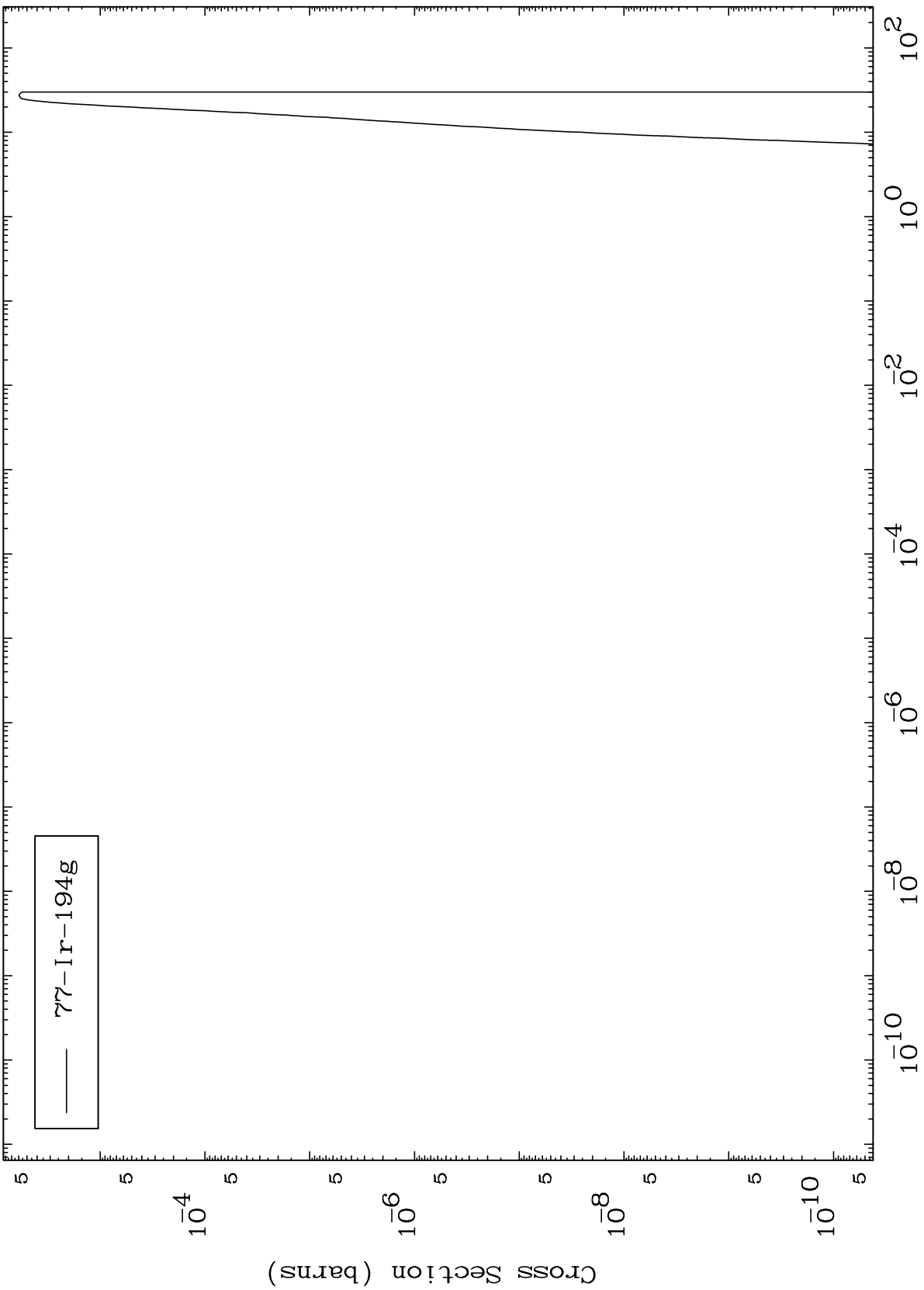


MAT 7928

$(n, n') \alpha$

79-Au-198

Radionuclide Production Cross Section

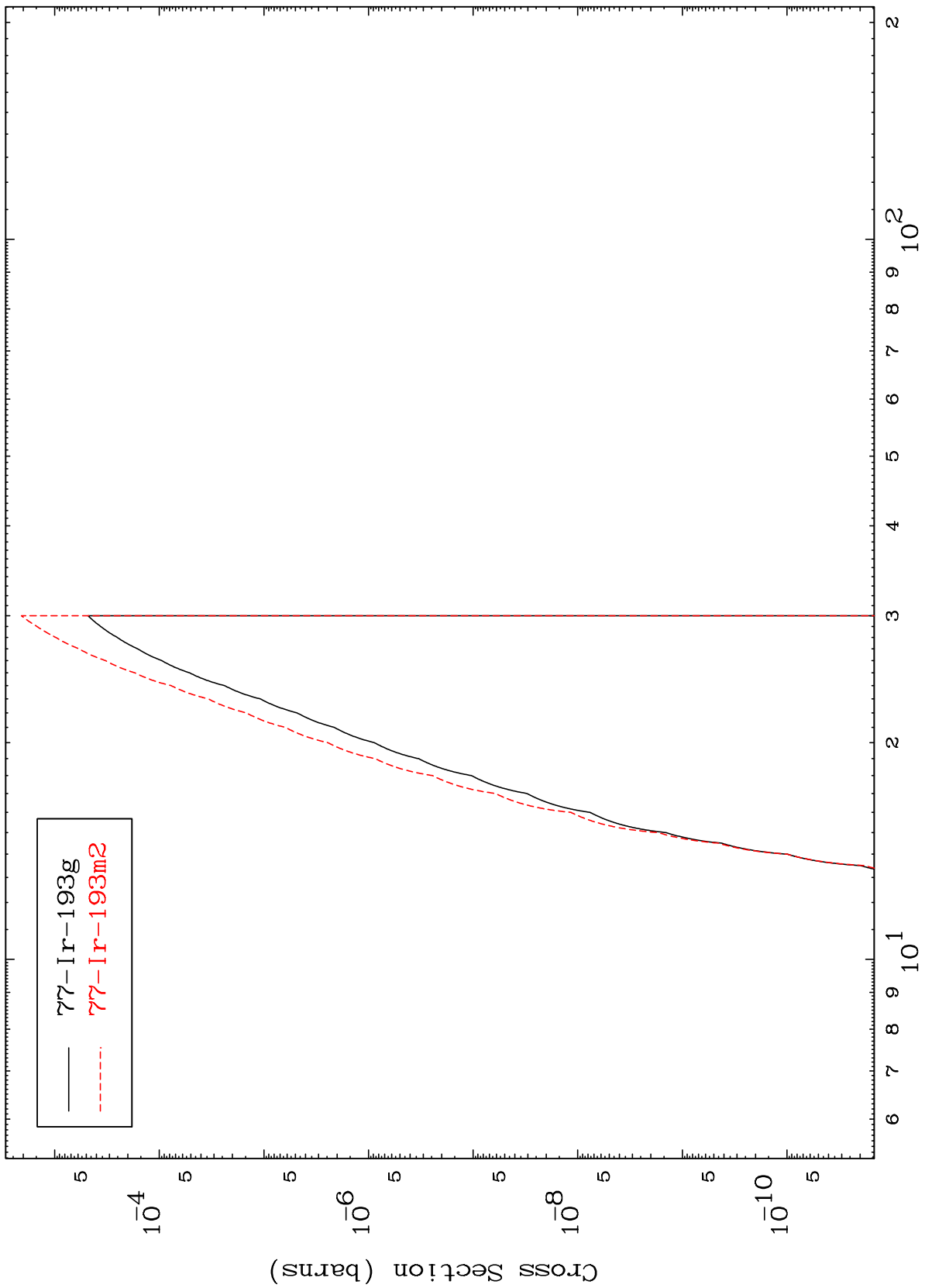


MAT 7928

$(n,2n) \alpha$

79-Au-198

Radionuclide Production Cross Section



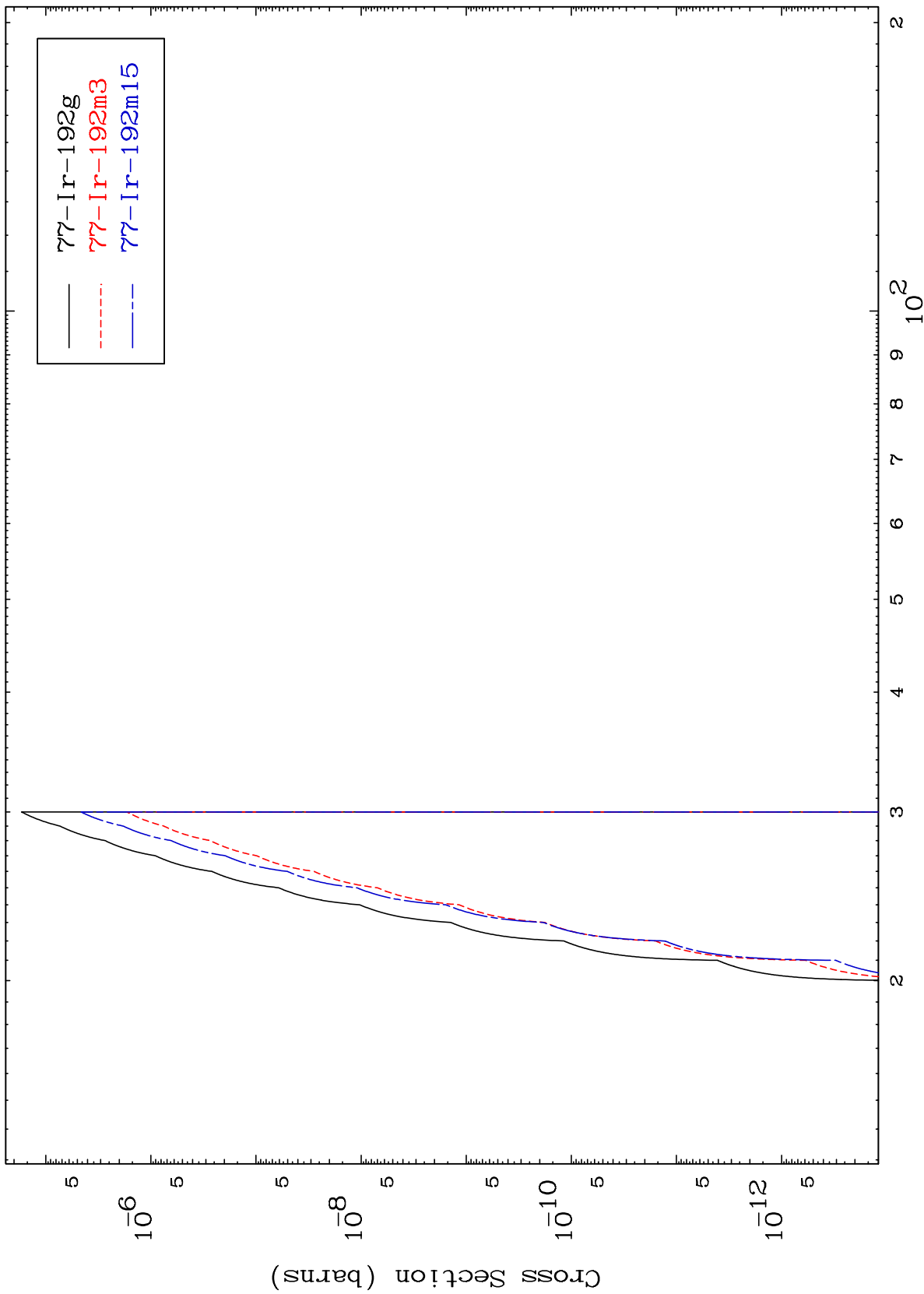
77-Ir-193g
77-Ir-193m2

130

Incident Energy (MeV)

79-Au-198

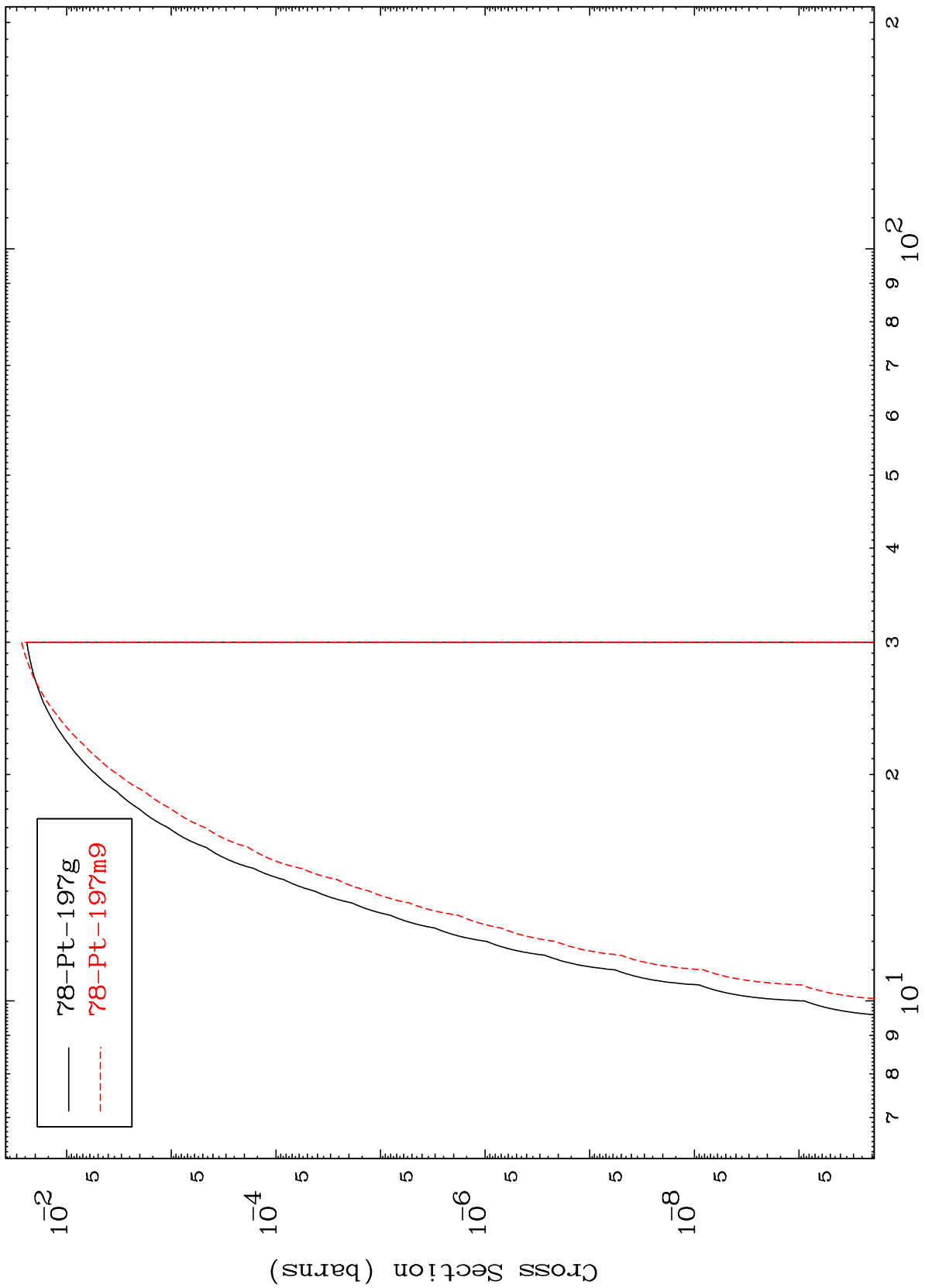
Radionuclide Production Cross Section



MAT 7928

79-Au-198

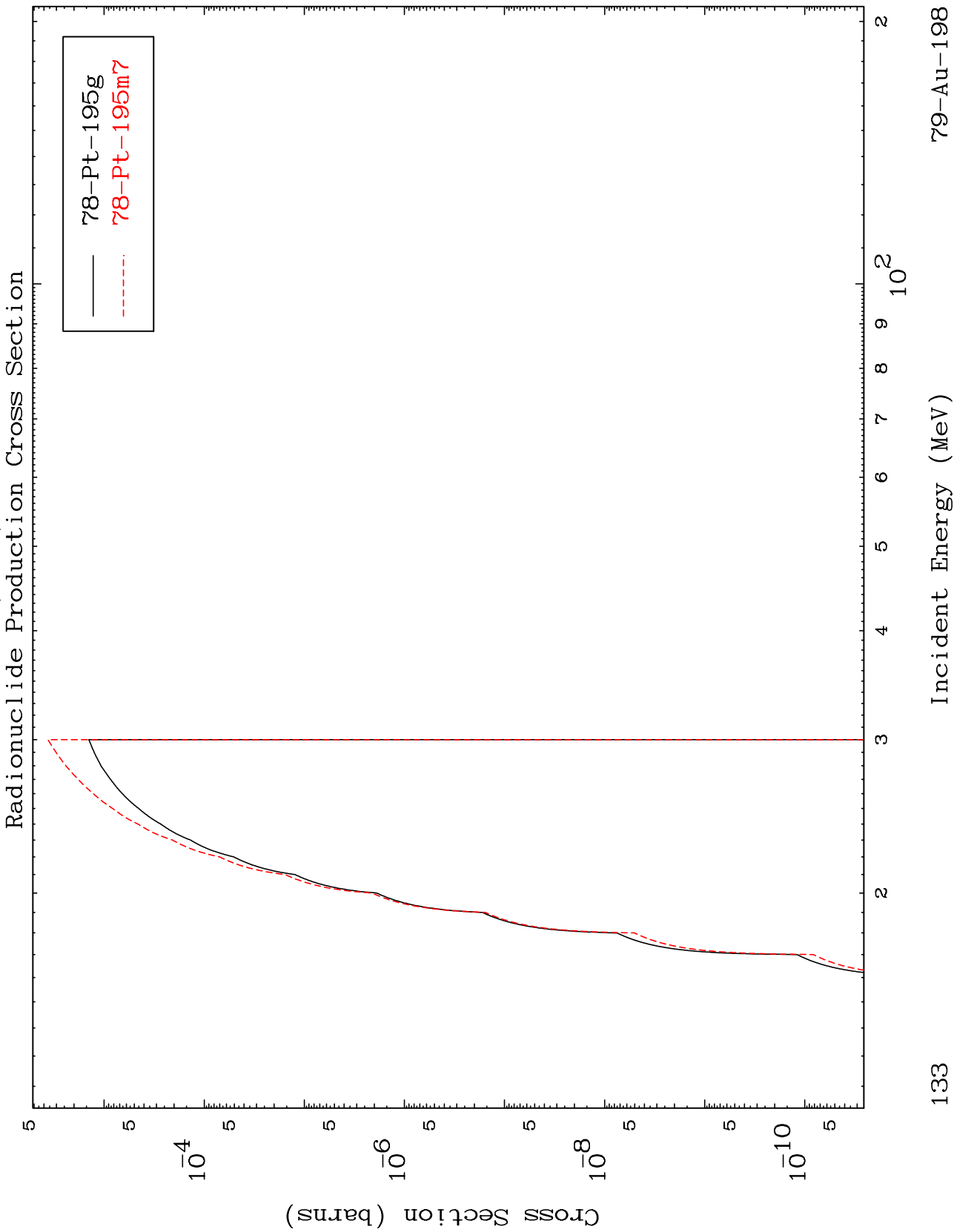
(n,n') p
Radionuclide Production Cross Section



132

Incident Energy (MeV)

79-Au-198

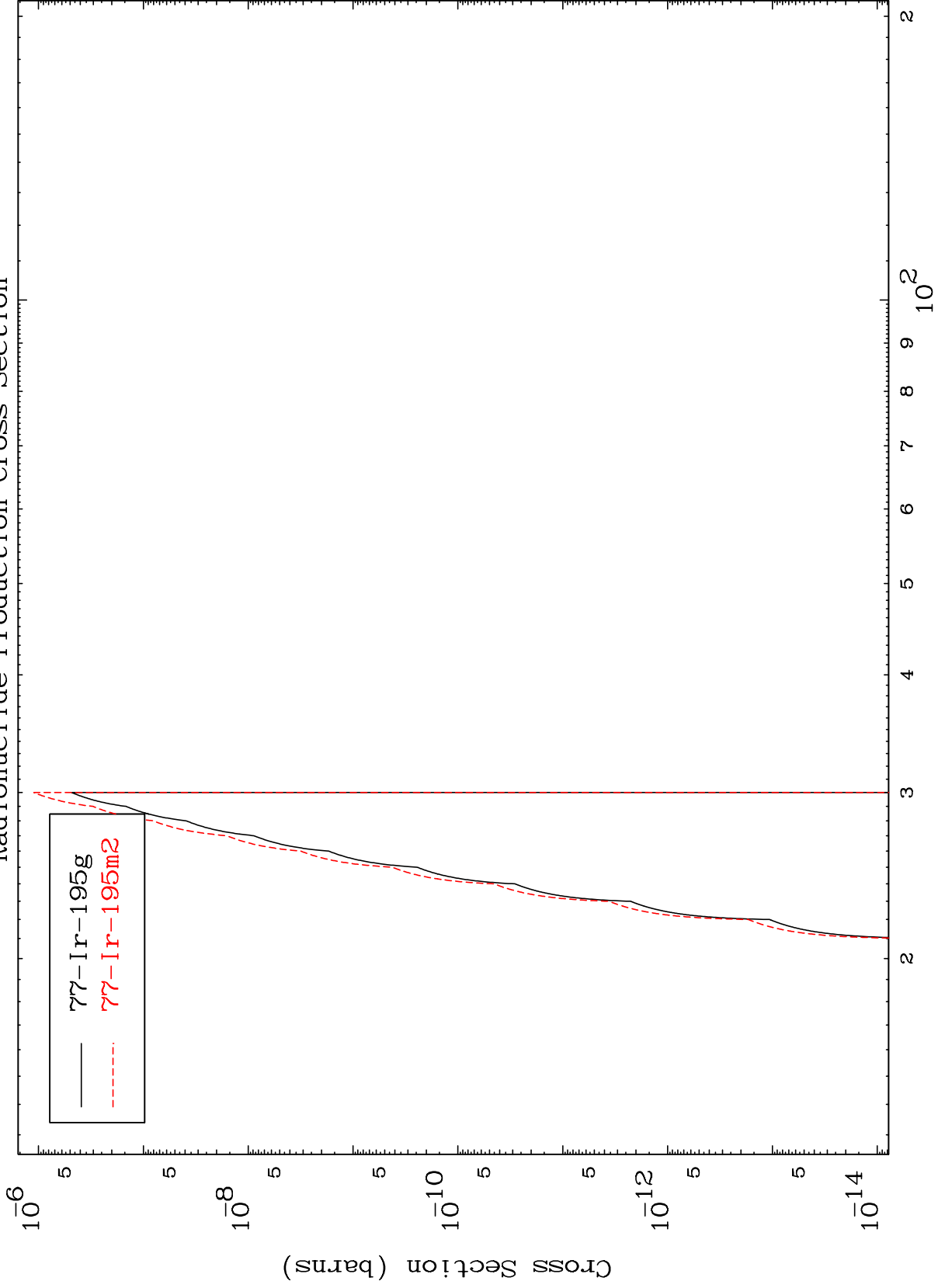


MAT 7928

(n,n') He-3

79-Au-198

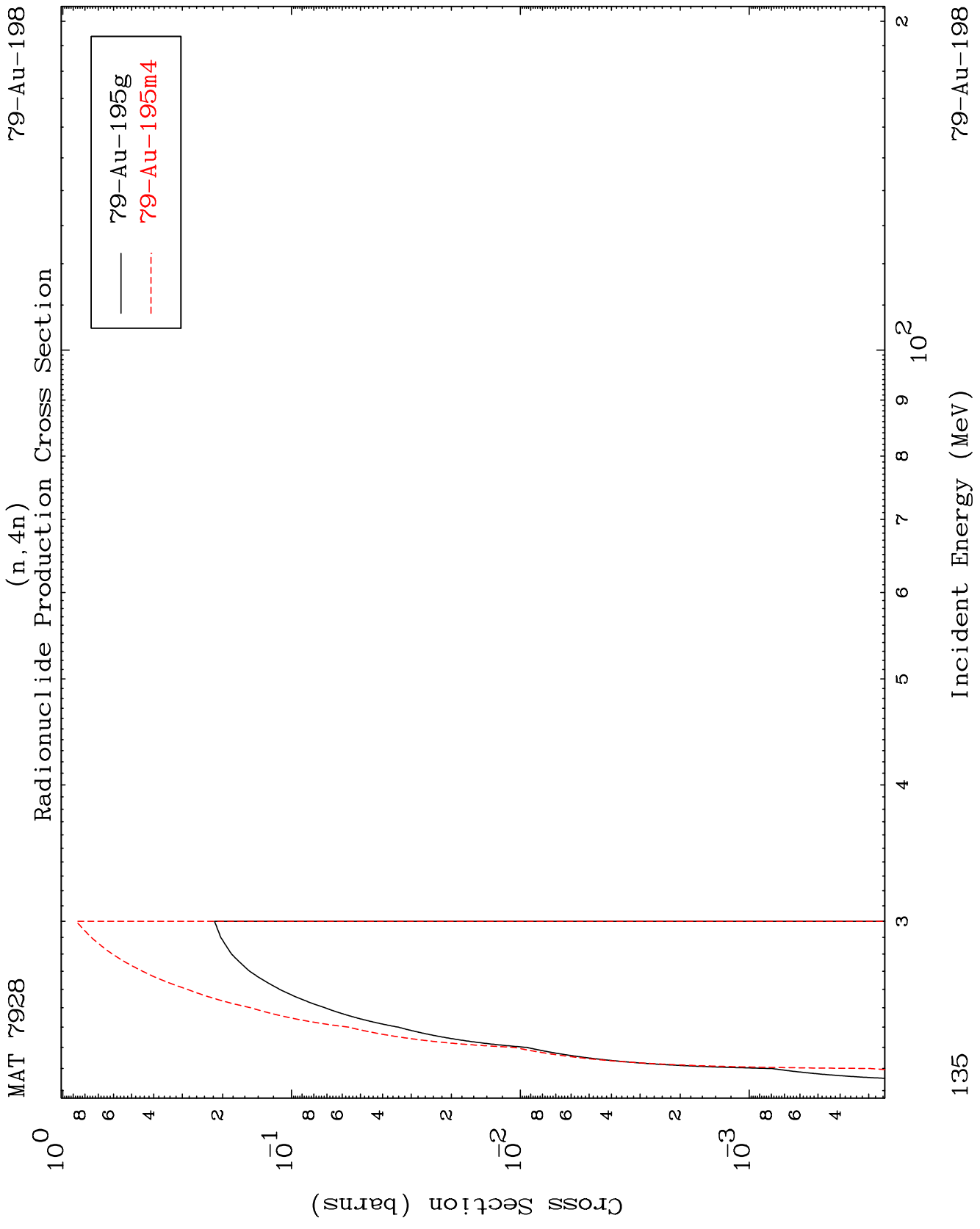
Radionuclide Production Cross Section



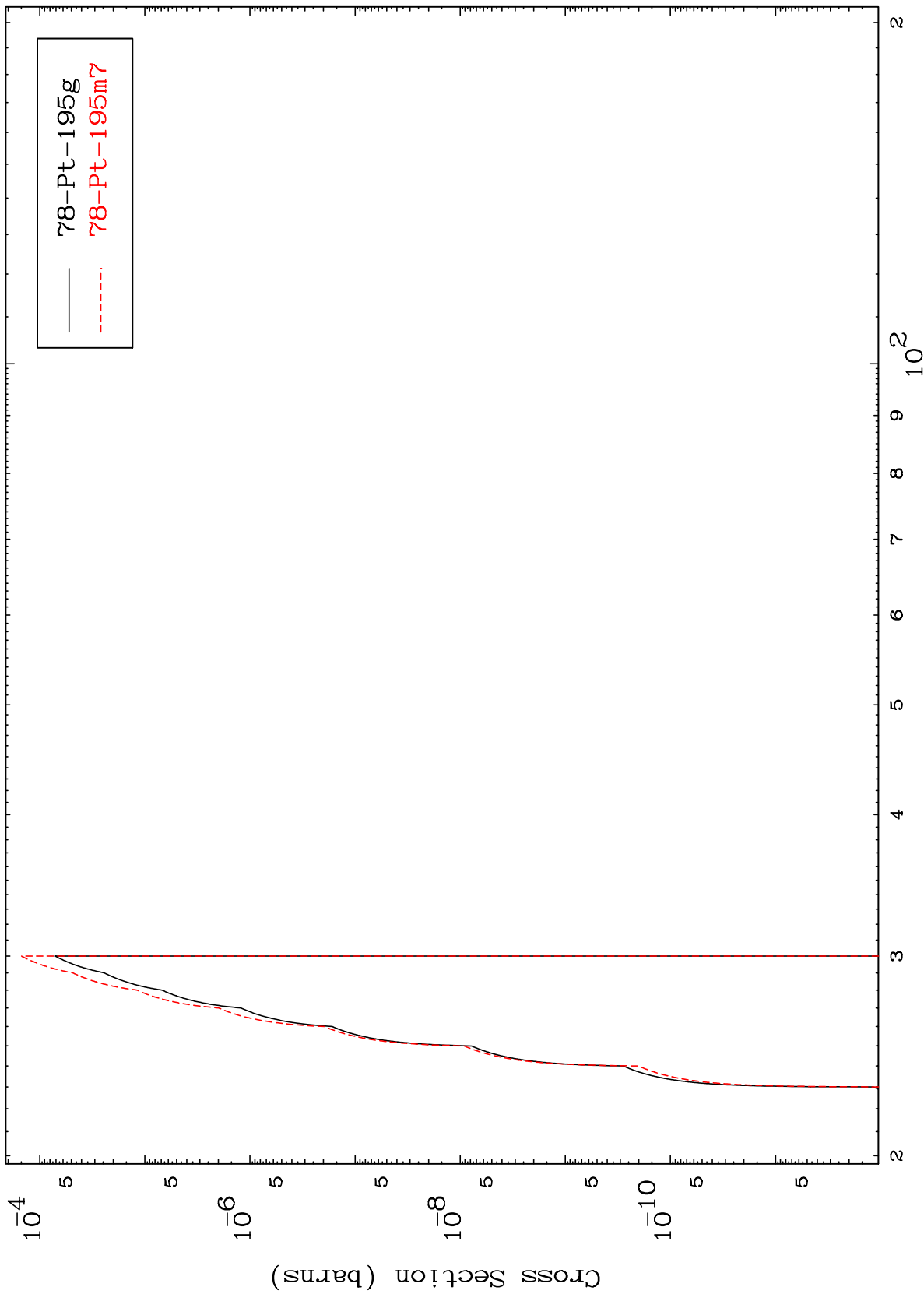
134

Incident Energy (MeV)

79-Au-198



Radionuclide Production Cross Section

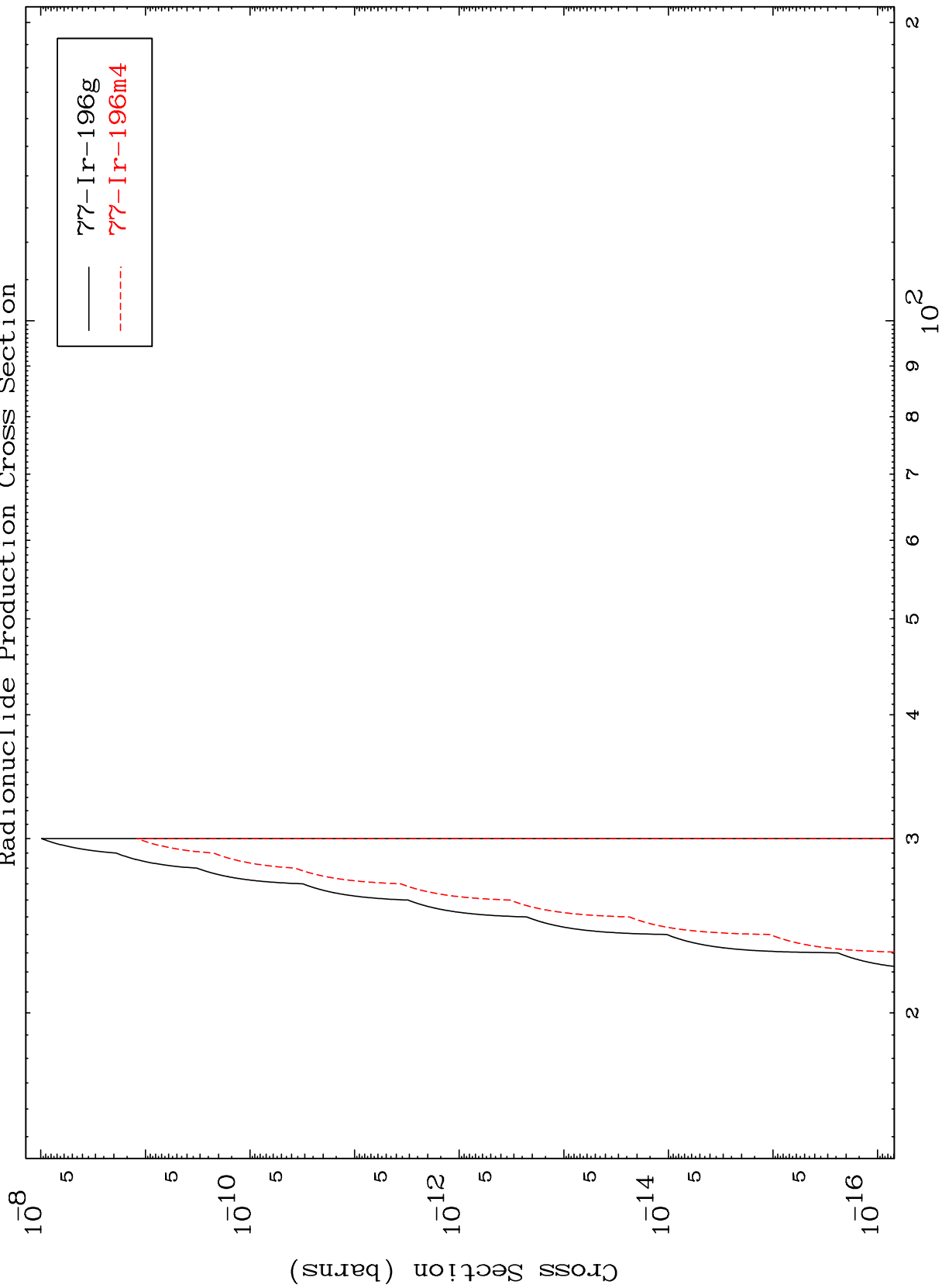


MAT 7928

(n,2n) p

79-Au-198

Radionuclide Production Cross Section

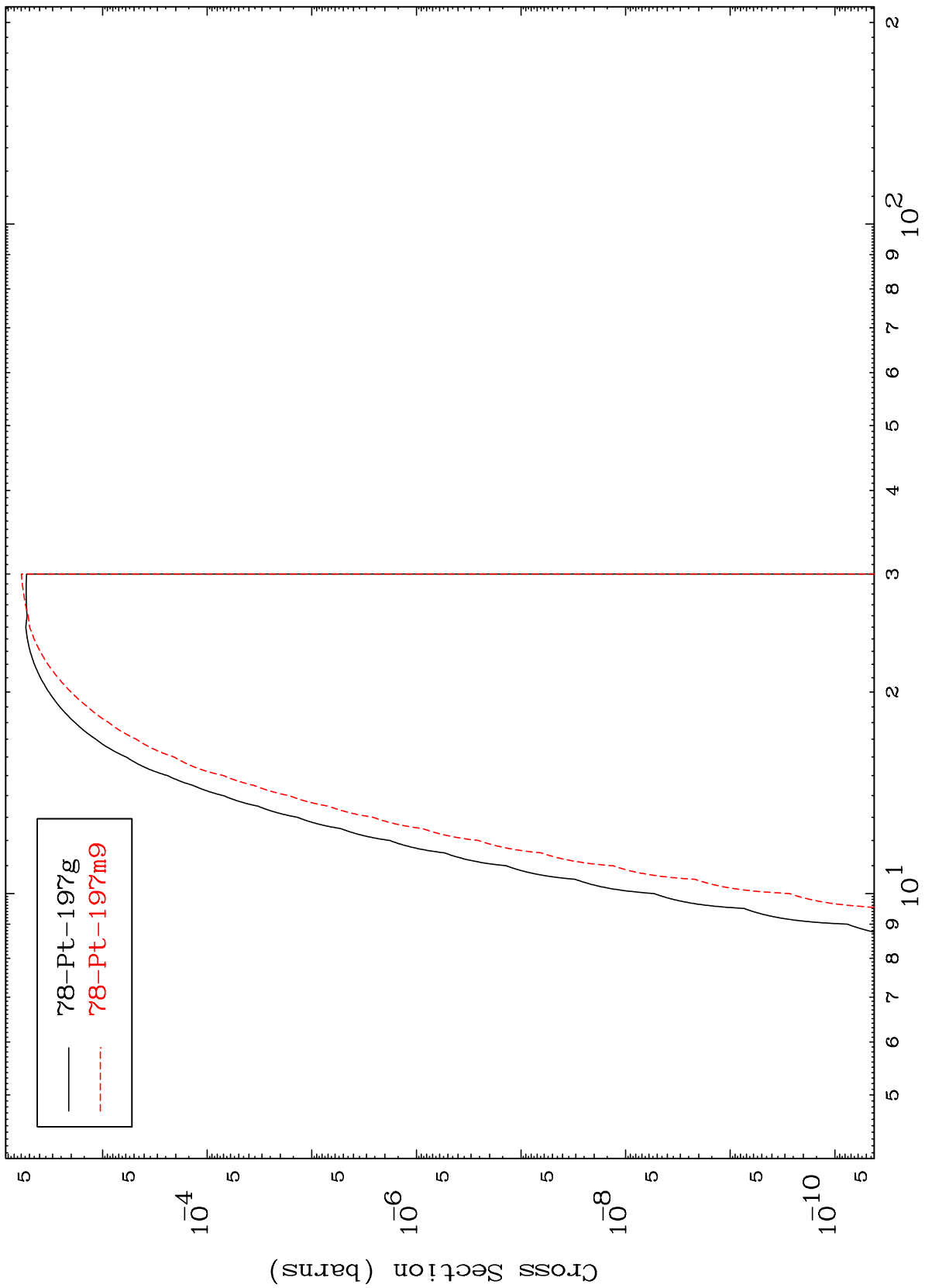


137

Incident Energy (MeV)

79-Au-198

(n,d)
Radionuclide Production Cross Section

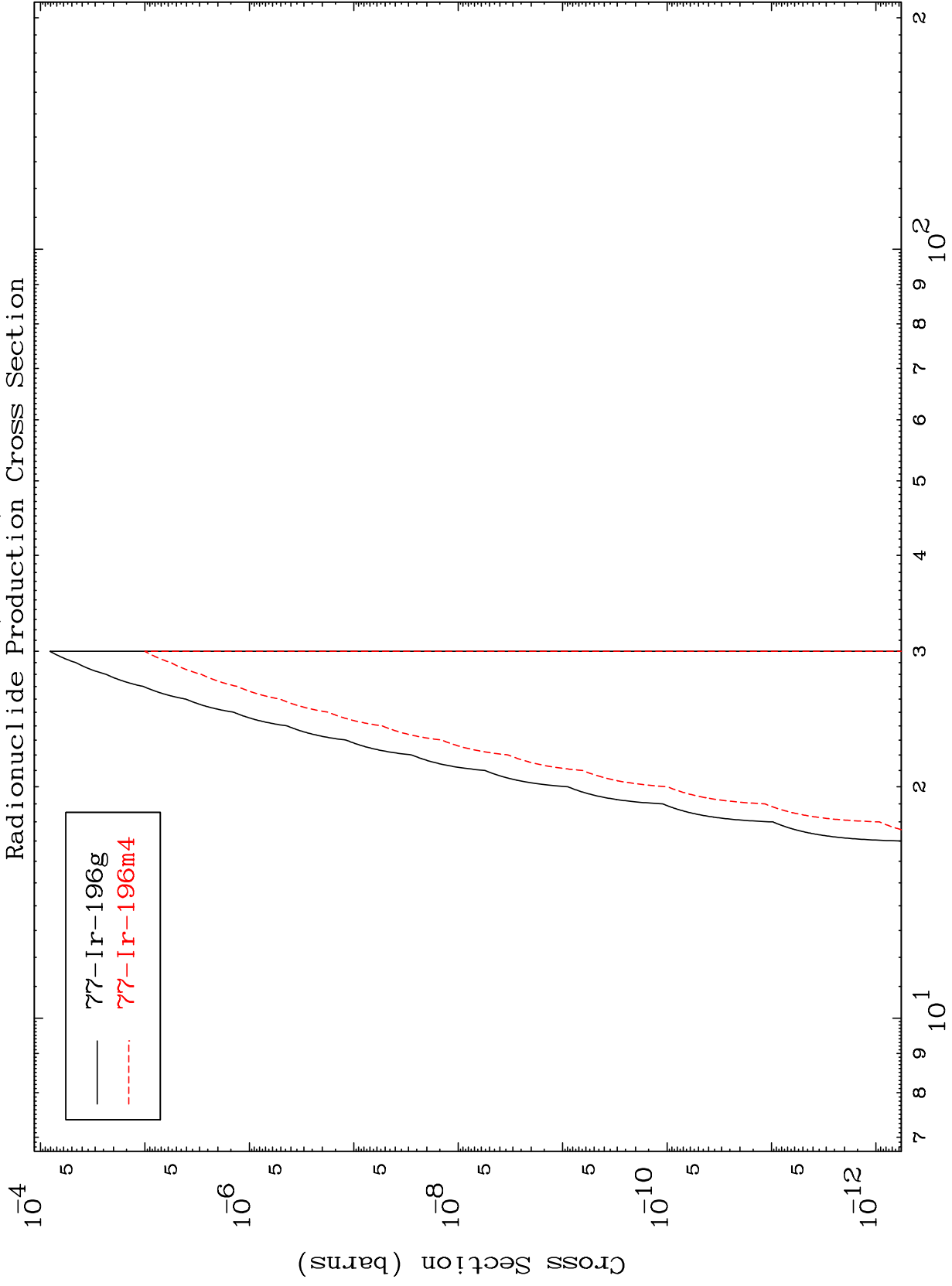


MAT 7928

(n,He-3)

79-Au-198

Radionuclide Production Cross Section



— $^{77}\text{Ir-196g}$
- - - $^{77}\text{Ir-196m4}$

139

Incident Energy (MeV)

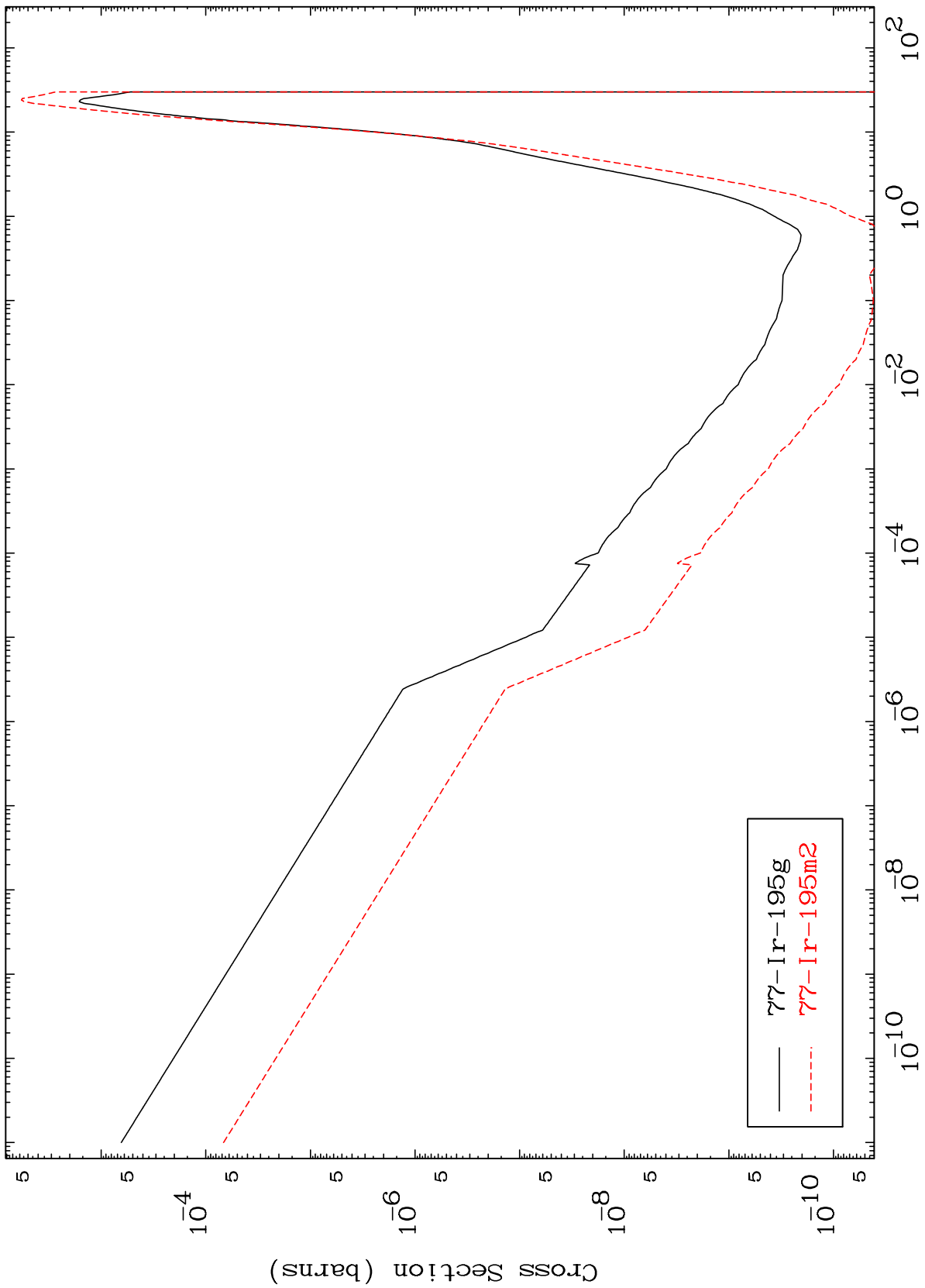
79-Au-198

MAT 7928

79-Au-198

Radionuclide Production Cross Section

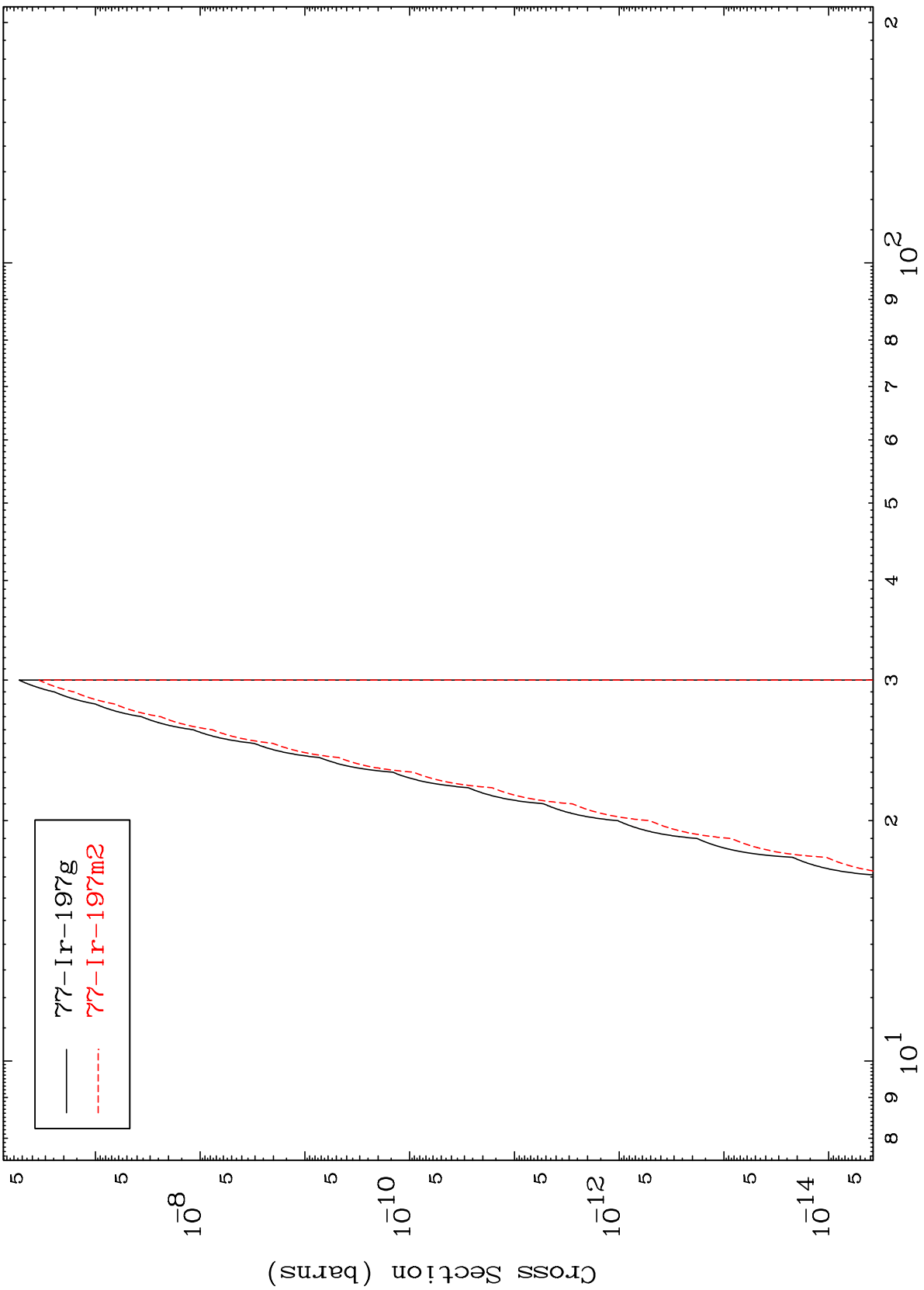
(n, α)



MAT 7928

79-Au-198

(n,2p)
Radionuclide Production Cross Section



141

Incident Energy (MeV)

79-Au-198